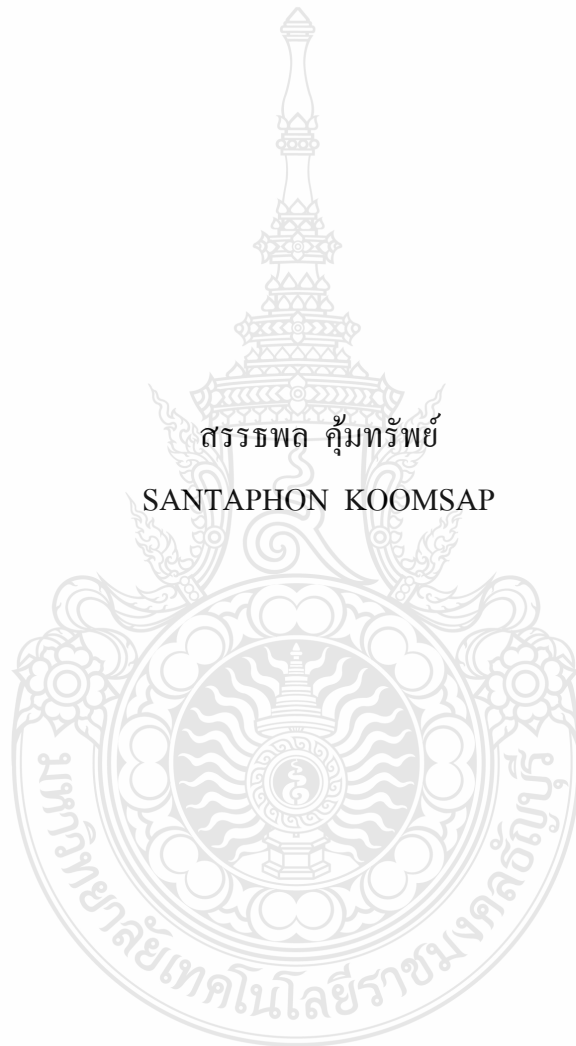


วงจรถับระดับแรงดันแบบสามระดับสำหรับกังหันลม

**THREE LEVEL BOOST DC TO DC CONVERTER FOR WIND TURBINE**



สรรธพล คุ่มทรัพย์

SANTAPHON KOOMSAP

วิทยานิพนธ์นี้เป็นส่วนหนึ่งของการศึกษาตามหลักสูตรปริญญาวิศวกรรมศาสตรมหาบัณฑิต

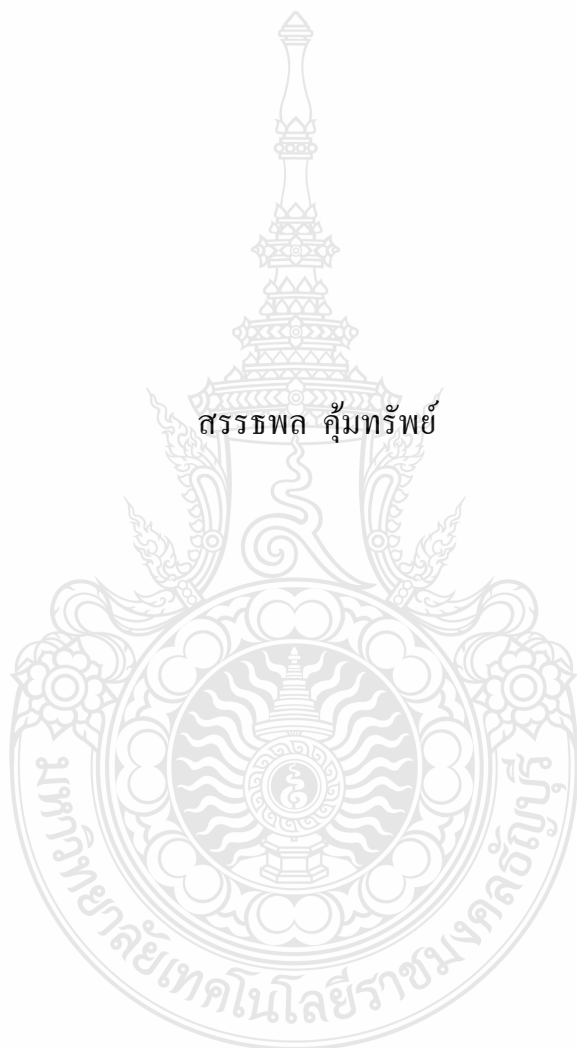
สาขาวิชาวิศวกรรมไฟฟ้า ภาควิชาวิศวกรรมไฟฟ้า

คณะวิศวกรรมศาสตร์

มหาวิทยาลัยเทคโนโลยีราชมงคลธัญบุรี

พ.ศ. 2554

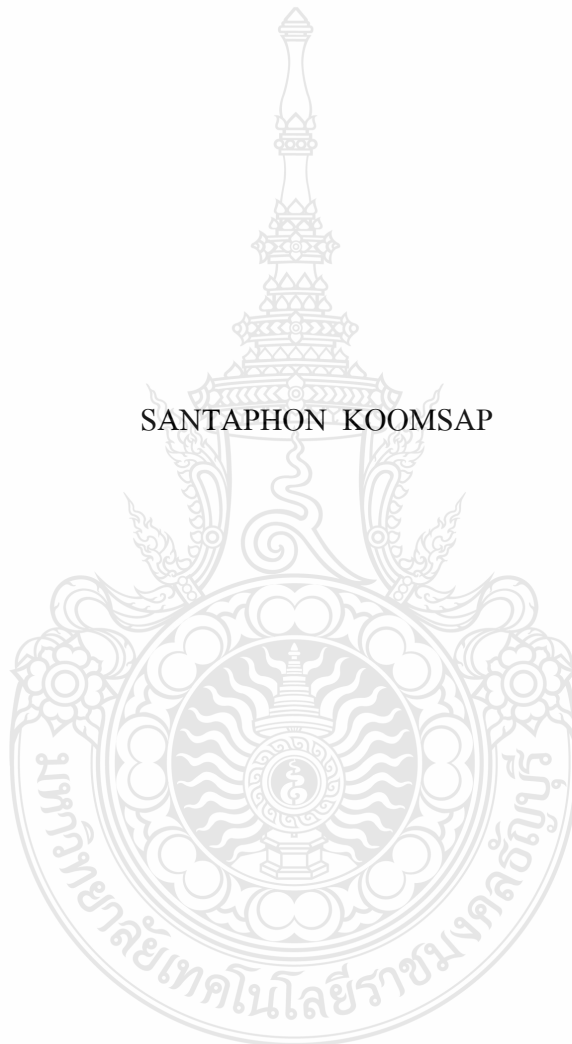
วงจรถดับแรงดันแบบสามระดับสำหรับกังหันลม



วิทยานิพนธ์นี้เป็นส่วนหนึ่งของการศึกษาตามหลักสูตรปริญญาวิศวกรรมศาสตรมหาบัณฑิต  
สาขาวิชาวิศวกรรมไฟฟ้า ภาควิชาวิศวกรรมไฟฟ้า  
คณะวิศวกรรมศาสตร์  
มหาวิทยาลัยเทคโนโลยีราชมงคลธัญบุรี  
พ.ศ. 2554

**THREE LEVEL BOOST DC TO DC CONVERTER FOR WIND TURBINE**

SANTAPHON KOOMSAP



A THESIS SUBMITTED IN PARTIAL FULFILMENT OF THE REQUIREMENTS FOR  
THE DEGREE OF MASTER OF ENGINEERING  
IN ELECTRICAL ENGINEERING DEPARTMENT OF ELECTRICAL ENGINEERING  
FACULTY OF ENGINEERING  
RAJAMANGALA UNIVERSITY OF TECHNOLOGY THANYABURI

2011

วิทยานิพนธ์ฉบับนี้ เป็นงานวิจัยที่เกิดจากการค้นคว้าและวิจัยขณะที่ข้าพเจ้าศึกษาอยู่ในคณะ  
วิศวกรรมศาสตร์ มหาวิทยาลัยเทคโนโลยีราชมงคลธัญบุรี ดังนั้นงานวิจัยในวิทยานิพนธ์ฉบับนี้  
ถือเป็นลิขสิทธิ์ของมหาวิทยาลัยเทคโนโลยีราชมงคลธัญบุรีและข้อความต่าง ๆ ในวิทยานิพนธ์ฉบับนี้  
ข้าพเจ้าขอรับรองว่าไม่มีการคัดลอกหรือนำงานวิจัยของผู้อื่นมานำเสนอในชื่อของข้าพเจ้า

นายสรรรพผล คุ้มทรัพย์





ใบรับรองวิทยานิพนธ์  
คณะวิศวกรรมศาสตร์  
มหาวิทยาลัยเทคโนโลยีราชมงคลธัญบุรี

หัวข้อวิทยานิพนธ์  
วงจรถบะดับแรงดันแบบสามระดับสำหรับกังหันลม  
THREE LEVEL BOOST DC TO DC CONVERTER FOR  
WIND TURBINE

ชื่อนักศึกษา  
นายสรรรพล คุ่มทรัพย์

รหัสประจำตัว  
114970402002-7

ปริญญา  
วิศวกรรมศาสตรมหาบัณฑิต

สาขาวิชา  
วิศวกรรมไฟฟ้า

อาจารย์ที่ปรึกษาวิทยานิพนธ์หลัก  
ดร.วันชัย ทรัพย์สิงห์

วัน เดือน ปี ที่สอบ  
26 เมษายน 2554

สถานที่สอบ  
ห้องประชุมชมพูปันธุ์ทิพย์ ภาควิชาวิศวกรรมไฟฟ้า  
คณะวิศวกรรมศาสตร์ มหาวิทยาลัยเทคโนโลยีราชมงคลธัญบุรี

คณะกรรมการสอบวิทยานิพนธ์

..... ประธานกรรมการ  
(รองศาสตราจารย์ ดร.เวคิน ปียรรัตน์)

..... กรรมการ  
(ดร.กฤษณ์ชนย์ ภูมิภิตติพิชญ์)

..... กรรมการ  
(ดร.สุรินทร์ แห่งมงาม)

..... กรรมการ  
(ดร.วันชัย ทรัพย์สิงห์)

.....  
(ผู้ช่วยศาสตราจารย์ ดร.สมหมาย ผิวสอาด)  
คณบดีคณะวิศวกรรมศาสตร์

หัวข้อวิทยานิพนธ์	วงจรทระดับแรงดันแบบสามระดับสำหรับงานกึ่งहनลม
นักศึกษา	นายสรรพล คุ้มทรัพย์
รหัสประจำตัว	114970402002-7
ปริญญา	วิศวกรรมศาสตรมหาบัณฑิต
สาขาวิชา	วิศวกรรมไฟฟ้า
ปีการศึกษา	2553
อาจารย์ผู้ควบคุมวิทยานิพนธ์	ดร.วันชัย ทรัพย์สิงห์

### บทคัดย่อ

วิทยานิพนธ์นี้นำเสนอวงจรแปลงผันไฟฟ้ากระแสตรงเป็นกระแสตรงแบบทระดับแบบคาสเคดแรงดันสามระดับ โดยทดสอบร่วมกับแบบจำลองกึ่งहनลม ทั้งนี้วงจรแปลงผันไฟฟ้ากระแสตรง จะได้รับการควบคุมและแสดงผลสัญญาณผ่านบอร์ดประมวลผลสัญญาณดิจิทัลรุ่น DS1104 ของบริษัท dSPACE GmbH. แบบจำลองกึ่งहनลมในวิทยานิพนธ์นี้สามารถจำลองพฤติกรรมของกึ่งहनลมได้ตามต้องการเช่น ค่าความเร็วลม ขนาดและชนิดใบกึ่งहनลม ขนาดพิกัดกำลังของกึ่งहनลม ตลอดจนความสูงของเสากึ่งहनลม เป็นต้น

วงจรทระดับแรงดันทำหน้าที่แปลงผันไฟฟ้ากระแสตรงจากแรงดันขนาด 35-65 โวลต์ให้มีค่า 311 โวลต์คงที่ ซึ่งมีค่าสูงเพียงพอสำหรับผลิตแรงดันไฟฟ้าขนาด 220 โวลต์ ความถี่ 50 เฮิร์ตซ์ โดยผ่านวงจรอินเวอร์เตอร์แบบหนึ่งเฟส และระบบทั้งหมดในงานวิจัยนี้กระทำได้โดยการประยุกต์ใช้ซอฟต์แวร์ Orcad/Pspice และ Matlab/Simulink ในการจำลองระบบทั้งหมดให้อยู่ในสถานะเสถียรตามที่ต้องการ

จากการทดสอบระบบทั้งหมดในงานวิจัยจะเห็นว่า ขณะระบบอยู่ในสถานะวงเปิด ค่าแรงดันเอาต์พุตของวงจรแปลงผันไฟฟ้ากระแสตรงจะตกลงทุกครั้งขณะที่มีโหลดต่อเข้าสู่ระบบอย่างทันที ในทางตรงข้าม ระบบในสถานะวงปิดด้วยการประยุกต์ใช้ตัวควบคุมแบบพีไอ จะเห็นว่าแรงดันเอาต์พุตของวงจรแปลงผันไฟฟ้ากระแสตรงจะมีค่าคงที่ที่ 311 โวลต์เสมอ ในขณะที่ต่อโหลดขนาด 200 วัตต์ เข้าสู่ระบบโดยทันที อย่างไรก็ตามประสิทธิภาพของระบบวงจรแปลงผันไฟฟ้ากระแสตรงนี้จะมีค่าเฉลี่ยอยู่ที่ 73% โดยประมาณ

คำสำคัญ : วงจรทระดับแรงดันแบบสามระดับ กึ่งहनลม เครื่องจำลองกึ่งहनลม

**Thesis Title :** THREE LEVEL BOOST DC TO DC CONVERTER FOR  
WIND TURBINE

**Student Name :** Mr. Santaphon Koomsap

**Student ID :** 114970402002-7

**Degree Award :** Master of Engineering

**Study Program :** Electrical Engineering

**Academic year :** 2010

**Thesis Advisor :** Dr. Wanchai Subsingha

### ABSTRACT

This paper presents the three level boost DC to DC converter for wind turbine which was tested together with wind turbine simulator which can controls and monitoring using a digital signal processing board DS1104 of dSPACE GmbH. The simulator can simulate any characteristics of wind turbine such as wind velocity, turbine's blade, sizing of wind turbine and height of turbine pole etc.

The function of the boost Converter converts DC voltage from 35-65 Vdc to 311 Vdc which is enough for a establish a 220 Vac 50 Hz output voltage through a single phase inverter circuit. Orcad/Pspice and Matlab/Simulink software are also used for simulating the overall system in order to stabilize the output voltage as desired.

The results of this thesis prove that output voltage will drop in every voltage level with sudden load change under the open loop control condition. When PI controller is applied in closed loop of the DC Boost converter control, DC output voltage of the converter is stabilized at 311 Vdc while the 200W load is injected into the converter output, However, the efficiency of the DC Converter system in this experiment is about 73%.

Keywords: Three level boost dc to dc converter, Wind turbine, Wind simulator.

## กิตติกรรมประกาศ

วิทยานิพนธ์นี้สำเร็จลุล่วงได้ด้วยดีด้วยความกรุณาจากอาจารย์ที่ปรึกษา อาจารย์ ดร.วันชัย ทรัพย์สิงห์ ที่แนะนำแนวทางและให้คำปรึกษาในการทำวิทยานิพนธ์เล่มนี้มาโดยตลอด รวมทั้งคณาจารย์ และบุคลากรในสาขาวิชาวิศวกรรมไฟฟ้าทุกท่านที่ได้ให้ความรู้และคำปรึกษา ผู้วิจัยซาบซึ้งในความอนุเคราะห์ของท่านและกราบขอบพระคุณเป็นอย่างสูง

ขอขอบคุณ อาจารย์ชาญฤทธิ์ ชาราสันติสุข ที่คอยให้ความอนุเคราะห์และช่วยเหลือแนะนำ การออกแบบสร้างและแนวทางในการแก้ปัญหา และแนะนำแนวทางในการเขียนและนำเสนอบทความวิจัยทั้งยังคอยห่วงใยและให้กำลังใจมาโดยตลอด

ขอขอบคุณมหาวิทยาลัยเทคโนโลยีราชมงคลกรุงเทพ ที่มอบทุนการศึกษาพร้อมทั้ง อนุเคราะห์ให้ใช้สถานที่ เครื่องวัดในการทำวิจัย

ผู้วิจัยขอกราบขอบพระคุณ บิดา มารดา และขอบคุณบุคคลในครอบครัวที่เห็นใจและคอยเป็นกำลังใจตลอดระยะเวลาในการศึกษาด้วยดีตลอดมาจนผู้วิจัยสามารถสำเร็จการศึกษา

ท้ายที่สุดนี้ขออาราธนาพระคุณแห่งพระศรีรัตนตรัย จงช่วยปกป้องคุ้มภัย ผู้มีพระคุณทุกท่าน ให้มีสุขภาพพลานามัยที่สมบูรณ์ ปราศจากโรคภัยทั้งปวง

สรรรพล คุ่มทรัพย์

26 เมษายน 2554



## สารบัญ

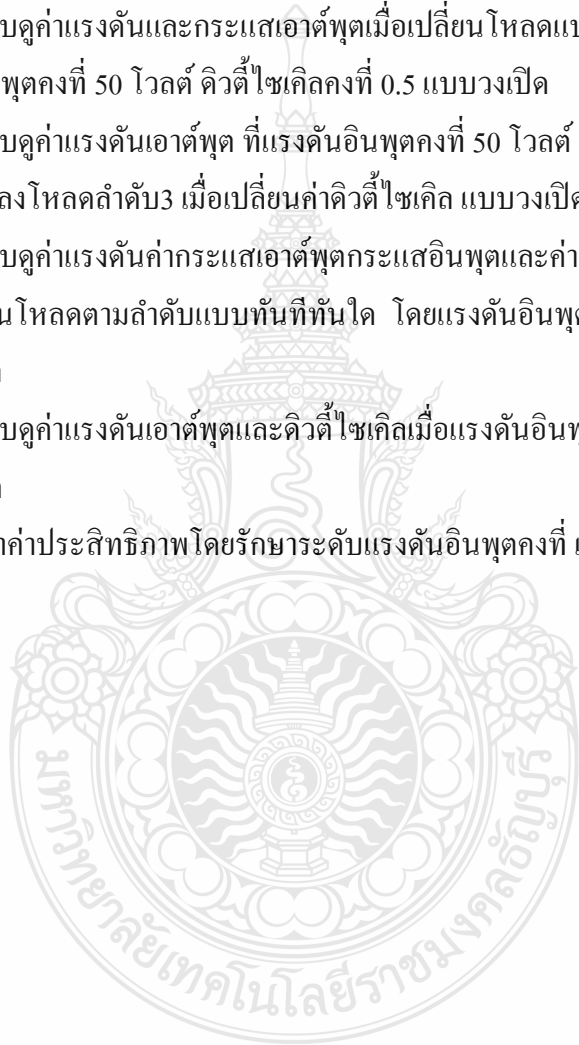
	หน้า
บทคัดย่อภาษาไทย	ก
บทคัดย่อภาษาอังกฤษ	ข
กิตติกรรมประกาศ	ค
สารบัญ	ง
สารบัญตาราง	ฉ
สารบัญรูป	ช
บทที่ 1 บทนำ	1
1.1 ความเป็นมาและความสำคัญของปัญหา	1
1.2 วัตถุประสงค์ของการศึกษา	2
1.3 ขอบเขตของการศึกษา	2
1.4 ขั้นตอนการดำเนินการ	2
1.5 เครื่องมือที่ใช้	3
1.6 ข้อยกเว้นของการศึกษา	4
1.7 ประโยชน์ที่คาดว่าจะได้รับ	4
บทที่ 2 วรรณกรรมหรืองานวิจัยที่เกี่ยวข้อง	5
2.1 งานวิจัยที่เกี่ยวข้อง	5
2.2 วงจรทระดับแรงดันไฟฟ้าหรือวงจรบัสคอนเวอร์เตอร์	6
2.3 อุปกรณ์ที่ใช้งานในวงจรทระดับแรงดันไฟฟ้า	12
2.4 วงจรควบคุมวงจรทระดับแรงดันไฟฟ้า	14
2.5 วงจรทระดับแรงดันไฟฟ้าหลายระดับแบบคาสเคด	17
2.6 การวิเคราะห์แรงดันตกคร่อมที่สวิตช์และไดโอด	23
2.7 หลักการของพลังงานลม	25
2.8 ช่วงการทำงานของกังหันลม	27
2.9 สํารวจและเก็บข้อมูลลม	29
2.10 แบบจำลองกังหันลม	31
2.11 เครื่องกำเนิดไฟฟ้ากระแสตรงแบบแยกกระตุ่น	33
บทที่ 3 วิธีการดำเนินงานวิจัย	34
3.1 ขั้นตอนการดำเนินการวิจัย	34
3.2 โครงสร้างของวงจรทระดับแรงดันไฟฟ้าแบบสามระดับ	35

## สารบัญ (ต่อ)

	หน้า
3.3 วงจรทระดับแรงดันไฟฟ้าหลายระดับแบบคาสเคด	36
3.4 การออกแบบวงจรทระดับ	44
3.5 วงจรที่ใช้ควบคุมแบบวงเปิด	45
3.6 วงจรที่ใช้ควบคุมแบบวงปิด	45
3.7 โครงสร้างของเครื่องจำลองกังหันลม	51
บทที่ 4 ผลการสร้างและการทดสอบ	56
4.1 วงจรทระดับแรงดันไฟฟ้าแบบสามระดับ	56
4.2 วงจรเครื่องจำลองกังหันลมด้วยมอเตอร์เหนี่ยวนำที่มีการควบคุมและแสดงผลด้วย การ์ดอินเตอร์เฟส dSPACE	67
4.3 การทดสอบวงจรทระดับแรงดันไฟฟ้าแบบสามระดับด้วยเครื่องจำลองกังหันลม	70
บทที่ 5 สรุปผลและข้อเสนอแนะ	74
5.1 สรุปผลการวิจัย	74
5.2 ข้อเสนอแนะในการวิจัย	75
เอกสารอ้างอิง	76
ภาคผนวก	
ก รูปเครื่องต้นแบบ	78
ข โปรแกรมที่ใช้ในการจำลองของเครื่องจำลองกังหันลม	81
ค ผลการทดสอบเครื่องจำลองกังหันลมจากโปรแกรม Control Desk กับวงจรทระดับแรงดันไฟฟ้าแบบสามระดับ	86
ง ข้อมูลอุปกรณ์	90
จ ผลงานตีพิมพ์เผยแพร่	118
ประวัติผู้เขียน	133

## สารบัญตาราง

ตารางที่		หน้า
2.1	ข้อมูลศักยภาพพลังงานลม กรุงเทพฯ รวมช่วงลมสงบ-เฉลี่ยรายปี	30
2.2	สถานที่เก็บข้อมูลความเร็วลม	30
3.1	เปรียบเทียบวงจรแปลงผันแต่ละแบบ	38
3.2	พารามิเตอร์ขดลวดทองแดง	42
3.3	ค่าของ $C_p$ เปรียบเทียบกับ $\lambda$	54
4.1	การทดสอบคู่อำแรงดันและกระแสเอาต์พุตเมื่อเปลี่ยนโหลดแบบทันทีทันใดที่แรงดันอินพุตคงที่ 50 โวลต์ คิวดีไอเซลล์คงที่ 0.5 แบบวงเปิด	59
4.2	การทดสอบคู่อำแรงดันเอาต์พุต ที่แรงดันอินพุตคงที่ 50 โวลต์ ทดสอบโดยการเปลี่ยนแปลงโหลดลำดับ3 เมื่อเปลี่ยนค่าคิวดีไอเซลล์ แบบวงเปิด	60
4.3	การทดสอบคู่อำแรงดันค่ากระแสเอาต์พุตกระแสอินพุตและค่าคิวดีไอเซลล์เมื่อปรับเปลี่ยนโหลดตามลำดับแบบทันทีทันใด โดยแรงดันอินพุตคงที่ 50 โวลต์ แบบวงปิด	62
4.4	การทดสอบคู่อำแรงดันเอาต์พุตและคิวดีไอเซลล์เมื่อแรงดันอินพุตเปลี่ยนแปลงแบบวงปิด	64
4.5	ทดสอบหาค่าประสิทธิภาพ โดยรักษาระดับแรงดันอินพุตคงที่ แบบวงปิด	66



## สารบัญรูป

รูปที่	หน้า	
2.1	บล็อกไดโอดะแกรมระบบแปลงผันพลังงานไฟฟ้าจากกังหันลม	6
2.2	ก) วงจรทบทระดับแรงดันไฟฟ้า ข) วงจรสมมูลในช่วง $T_{on}$ ค) วงจรสมมูลในช่วง $T_{off}$	7
2.3	กระแสที่ไหลผ่านตัวเหนี่ยวนำต่อเนื่อง	8
2.4	กระแสที่ไหลผ่านตัวเหนี่ยวนำเริ่มไม่ต่อเนื่อง	9
2.5	กระแสที่ไหลผ่านตัวเหนี่ยวนำไม่ต่อเนื่อง	10
2.6	กระแสไหลผ่านตัวเก็บประจุ และ $V_o$	11
2.7	ไดโอดกำลัง	13
2.8	วงจรควบคุมวงจรทบทระดับแรงดันไฟฟ้าในโหมดควบคุมแรงดัน	15
2.9	รูปร่างสัญญาณที่จุดต่างๆของวงจรในรูปที่ 2.8	16
2.10	วงจรทบทระดับแรงดันไฟฟ้าหลายระดับแบบ $2N - 1$	17
2.11	การทำงานของวงจรทบทระดับแรงดันไฟฟ้าหลายระดับช่วงที่ (ก)	18
2.12	การทำงานของวงจรทบทระดับแรงดันไฟฟ้าหลายระดับช่วงที่ (ข)	19
2.13	การทำงานของวงจรทบทระดับแรงดันไฟฟ้าหลายระดับช่วงที่ (ค)	20
2.14	การทำงานของวงจรทบทระดับแรงดันไฟฟ้าหลายระดับช่วงที่ (ง)	21
2.15	การทำงานของวงจรทบทระดับแรงดันไฟฟ้าหลายระดับช่วงที่ (จ)	22
2.16	การทำงานของวงจรทบทระดับแรงดันไฟฟ้าหลายระดับช่วงที่ (ฉ)	23
2.17	ขณะ $C_4$ ชาร์จจะมีแรงดันตกคร่อมที่ไดโอดและสวิตช์	24
2.18	ขณะ $C_2$ ชาร์จจะมีแรงดันตกคร่อมที่ไดโอดและสวิตช์	24
2.19	ปริมาตรการไหลของอากาศที่ไหลผ่านกังหันลม	26
2.20	ก) กังหันทำงานตามปกติ ข) กังหันเกิดปรากฏการณ์สตอล	28
2.21	การทำงานของกังหันลม	28
2.22	แผนที่ศักยภาพพลังงานลม กรุงเทพฯ รวมช่วงลมสงบ-เฉลี่ยรายปี	29
2.23	ติดตั้งเครื่องวัดความเร็วลมที่ชั้น 11 ตึกคณะวิศวกรรมศาสตร์ มหาวิทยาลัยเทคโนโลยีราชมงคลกรุงเทพ	30
2.24	ผลการวัดความเร็วลมที่วัดได้จริง ณ. ชั้น 11 ตึกคณะวิศวกรรมศาสตร์มหาวิทยาลัย เทคโนโลยีราชมงคลกรุงเทพ	31
2.25	แบบจำลองกังหันลม	31

## สารบัญรูป (ต่อ)

รูปที่		หน้า
2.26	บล็อกไดอะแกรมแบบจำลองของกังหันลมนำ Matlab/Simulink ใช้ในการคำนวณ	32
2.27	วงจรภายในของเครื่องกำเนิดไฟฟ้าแบบแยกกระตุ้น	33
3.1	โครงสร้างวงจรทระดับแรงดันไฟฟ้าแบบสามระดับ	35
3.2	วงจรทระดับแรงดันไฟฟ้าหลายระดับ(2 สถานะ)	38
3.3	การจำลองวงจรทระดับแรงดันไฟฟ้าแบบสามระดับ	39
3.4	ผลจำลองวงจรทระดับแรงดันไฟฟ้าแบบสามระดับแบบวงเปิด	39
3.5	วงจรทระดับแรงดันไฟฟ้า เมื่อเทียบเคียงหม้อแปลงอุดมคติ	46
3.6	วงจรไฟฟ้าสมมูลของวงจรทระดับแรงดันไฟฟ้า	47
3.7	จำลองวงจรทระดับแรงดันไฟฟ้าด้วยโปรแกรม Orcad/Pspice เพื่อหาผลตอบสนองทางความถี่	48
3.8	ผลของการจำลองวงจรทระดับแรงดันไฟฟ้าด้วยโปรแกรม Orcad/Pspice เพื่อหาผลตอบสนองทางความถี่	48
3.9	จำลองผลการตอบสนองของวงจรทระดับแรงดันไฟฟ้าด้วยโปรแกรม Orcad/Pspice เพื่อหาผลตอบสนองทางแรงดันไฟฟ้าโดยใช้วิธีป้อนกลับแรงดัน	51
3.10	ผลการตอบสนองของวงจรทระดับแรงดันไฟฟ้าด้วยโปรแกรม Orcad/Pspice เพื่อหาผลตอบสนองทางแรงดันไฟฟ้าโดยใช้วิธีป้อนกลับแรงดัน	51
3.11	โครงสร้างและส่วนประกอบเครื่องจำลองกังหันลม	52
3.12	บล็อกไดอะแกรมแบบจำลองความเร็วลมและการกำหนดค่าตัวแปร	53
3.13	บล็อกไดอะแกรมแบบจำลองของกังหันลม	53
3.14	บล็อกของ Look-Up Table ใน โปรแกรม Matlab/Simulink ในการคำนวณค่า $C_p$ โดยใช้หลักการ Interpolation	54
3.15	กราฟค่าของ $C_p$ เปรียบเทียบกับค่า $\lambda$ ที่ได้	54
4.1	การทดสอบวงจรต้นแบบวงจรทระดับแรงดันไฟฟ้าแบบสามระดับ	57
4.2	วงจรทระดับแรงดันไฟฟ้าแบบสามระดับที่ใช้ในการทดสอบ	58
4.3	การเปรียบเทียบค่าจำลองด้วยโปรแกรม Orcad/Pspice กับที่ใช้ฮาร์ดแวร์ไมโครคอนโทรลเลอร์ วงจรที่สร้างขึ้น	59
4.4	สัญญาณแรงดันอินพุตและแรงดันเอาต์พุตที่คิววีซีไอ 50%	60
4.5	สัญญาณแรงดันอินพุตและแรงดันเอาต์พุตที่คิววีซีไอ 60%	60
4.6	สัญญาณแรงดันอินพุตและแรงดันเอาต์พุตที่คิววีซีไอ 70%	61
4.7	สัญญาณแรงดันอินพุตและแรงดันเอาต์พุต ความคุมแบบวงปิด	61

## สารบัญรูป (ต่อ)

รูปที่	หน้า
4.8 สัญญาณแรงดันอินพุตและแรงดันเอาต์พุตที่ควิตซ์ไชเกิล 45% ที่การเปลี่ยนแปลงโหลดลำดับ 1 ควบคุมแบบวงปิด	62
4.9 สัญญาณแรงดันอินพุตและแรงดันเอาต์พุตที่ควิตซ์ไชเกิล 50% ที่การเปลี่ยนแปลงโหลดลำดับ 2 ควบคุมแบบวงปิด	63
4.10 สัญญาณแรงดันอินพุตและแรงดันเอาต์พุตที่ควิตซ์ไชเกิล 60% ที่การเปลี่ยนแปลงโหลดลำดับ 3 ควบคุมแบบวงปิด	63
4.11 สัญญาณแรงดันอินพุต 40 โวลต์และที่ควิตซ์ไชเกิล 60% ควบคุมแบบวงปิด	64
4.12 สัญญาณแรงดันอินพุต 50 โวลต์และที่ควิตซ์ไชเกิล 45% ควบคุมแบบวงปิด	65
4.13 สัญญาณแรงดันอินพุต 60 โวลต์และที่ควิตซ์ไชเกิล 35% ควบคุมแบบวงปิด	65
4.14 วงจรวัดค่าประสิทธิภาพ แบบวงปิด	66
4.15 เครื่องจำลองกั้นลมด้วยมอเตอร์เหนี่ยวนำที่มีการควบคุมและแสดงผลด้วย อินเตอร์เฟซการ์ด dSPACE ที่สร้างขึ้น	68
4.16 เปรียบเทียบสัญญาณแรงบิดของมอเตอร์และสัญญาณแรงบิดอินเตอร์เฟซการ์ดที่ ความเร็วลม 3 m/s	69
4.17 เปรียบเทียบสัญญาณแรงบิดของมอเตอร์และสัญญาณแรงบิดอินเตอร์เฟซการ์ดที่ ความเร็วลม 4 m/s	69
4.18 สัญญาณแรงดันอินพุต 35 โวลต์ แรงดันเอาต์พุต 311 โวลต์ ที่ควิตซ์ไชเกิล 60% ควบคุมแบบวงปิด ที่ความเร็วลม 3 m/s และความแปรปรวนลม 2 %	70
4.19 สัญญาณแรงดันอินพุต 40 โวลต์ แรงดันเอาต์พุต 311 โวลต์ ที่ควิตซ์ไชเกิล 40% ควบคุมแบบวงปิด ที่ความเร็วลม 4 m/s และความแปรปรวนลม 2 %	71
4.20 สัญญาณแรงดันอินพุต 60 โวลต์ แรงดันเอาต์พุต 311 โวลต์ ที่ควิตซ์ไชเกิล 30% ควบคุมแบบวงปิด ที่ความเร็วลม 5 m/s และความแปรปรวนลม 2 %	71
4.21 สัญญาณแรงดันอินพุต 35 โวลต์ แรงดันเอาต์พุต 311 โวลต์ ที่ควิตซ์ไชเกิล 60% ควบคุมแบบวงปิด ที่ความเร็วลม 3 m/s และความแปรปรวนลม 5 %	72
4.22 สัญญาณแรงดันอินพุต 50 โวลต์ แรงดันเอาต์พุต 311 โวลต์ ที่ควิตซ์ไชเกิล 40% ควบคุมแบบวงปิด ที่ความเร็วลม 4 m/s และความแปรปรวนลม 5 %	72
4.23 สัญญาณแรงดันอินพุต 65 โวลต์ แรงดันเอาต์พุต 311 โวลต์ ที่ควิตซ์ไชเกิล 30% ควบคุมแบบวงปิด ที่ความเร็วลม 5 m/s และความแปรปรวนลม 5 %	73

# บทที่ 1

## บทนำ

### 1.1 ความเป็นมาและความสำคัญของปัญหา

ในปัจจุบันได้มีการนำเอาพลังงานทดแทน มาผลิตเป็นพลังงานไฟฟ้ากันอย่างแพร่หลาย ไม่ว่าจะเป็นพลังงานน้ำ พลังงานแสงอาทิตย์ พลังงานลม หรือพลังงานความร้อนใต้พิภพ เป็นต้น ซึ่งพลังงานเหล่านี้เป็นพลังงานที่บริสุทธิ์ไร้มลพิษและไม่มีวันหมดสิ้น โดยจะนำเข้าสู่กระบวนการแปรสภาพ จากพลังงานกลไปเป็นพลังงานไฟฟ้า

ไฟฟ้าเป็นปัจจัยสำคัญในการดำรงชีวิตของมนุษย์ในยุคปัจจุบัน จากข้อมูลทางสถิติของการไฟฟ้าฝ่ายผลิตแห่งประเทศไทย [1] ตั้งแต่ปี 2540 – 2549 จะเห็นว่าปริมาณความต้องการไฟฟ้ามีอัตราเพิ่มขึ้นอย่างรวดเร็ว คิดเป็นเกือบ 100% ในระยะเวลา 10 ปีที่ผ่านมา ทั้งนี้การไฟฟ้าฝ่ายผลิตคาดว่าค่าความต้องการพลังงานไฟฟ้าสูงสุดในปี 2554 จะอยู่ที่ประมาณ 30,587 เมกกะวัตต์ เมื่อเทียบกับปี 2549 จะเห็นว่าภายในระยะเวลาเพียง 5 ปีหลัง ความต้องการเพิ่มขึ้นประมาณ 50% ซึ่งการผลิตพลังงานไฟฟ้าในประเทศไทย ยังต้องอาศัยแหล่งพลังงานที่สำคัญคือ ก๊าซธรรมชาติ คิดเป็น 44% รองลงมาคือ น้ำมันเชื้อเพลิง 32% นอกจากนั้นได้มาจากแหล่งพลังงานอื่นๆ เช่น พลังงานน้ำ พลังงานแสงอาทิตย์ ฯลฯ จะเห็นได้ว่าต้นทุนการผลิตส่วนใหญ่มีแนวโน้มที่จะสูงขึ้น เนื่องจากแหล่งก๊าซธรรมชาติมีน้อยลงและจะต้องนำเข้าน้ำมันจากต่างประเทศ ซึ่งมีราคาสูงขึ้นเรื่อยๆ ทำให้ต้นทุนการผลิตไฟฟ้าสูงขึ้นตามความต้องการพลังงาน ทางออกในการแก้ปัญหาวิกฤตพลังงานคือการจัดหาแหล่งพลังงานทดแทน และเพื่อให้ได้แหล่งพลังงานที่สามารถใช้งานได้จริง ต้นทุนการผลิตพลังงานจะต้องต่ำและสามารถผลิตได้ในประเทศ ประเทศไทยตั้งอยู่ในเขตลมมรสุม ในหลายจังหวัดของประเทศไทยเป็นพื้นที่ที่มีลมพัดตลอดทั้งปี พลังงานลมจึงเป็นพลังงานที่สะอาดจึงเป็นทางเลือกที่น่าจะได้รับการพัฒนาให้เกิดประโยชน์ แต่กังหันลมจริงมีค่าใช้จ่ายสูงต้องการพื้นที่ในการติดตั้งมากไม่เหมาะกับการนำมาทดสอบระบบควบคุม ด้วยพฤติกรรมกังหันลมจะมีการเปลี่ยนแปลงความเร็วอยู่ตลอดเวลาไม่แน่นอน

ในวิทยานิพนธ์นี้ ผู้วิจัยจะได้นำเสนอเครื่องจำลองกังหันลม(ต้นกำลัง)ใช้มอเตอร์เหนี่ยวนำที่มีการควบคุมและแสดงผลด้วยอินเตอร์เฟซการ์ด dSPACE โดยใช้วิธีการควบคุมแรงบิดของมอเตอร์เหนี่ยวนำให้เสมือนกับแรงบิดที่เกิดจากกังหันลมจริง อาศัยวิธีการสร้างแรงบิดอ้างอิง(Torque Reference) ควบคุมผ่าน โมเดลทางคณิตศาสตร์ใน โปรแกรม Matlab/Simulink และส่งข้อมูลผ่านอินเตอร์เฟซการ์ด dSPACE ไปที่ตัวอินเวอร์เตอร์สั่งให้มอเตอร์เหนี่ยวนำสร้างแรงบิดตามความสัมพันธ์กับค่าสัมประสิทธิ์ของแรงบิด ( $C_t$ ) ของกังหันลม ซึ่งเป็นข้อดีที่สามารถจำลองเสมือน

การทำงานของกัณฑ์ลมนได้และในการทดสอบได้ต่อเครื่องกำเนิดไฟฟ้ากระแสตรงเอาต์พุตที่ได้มีระดับแรงดันต่ำ ผู้วิจัยจึงได้นำเสนอวงจรทบทระดับแรงดันไฟฟ้าแบบสามระดับ(เครื่องทดสอบ) เพื่อเปลี่ยนแปลงระดับแรงดันไฟฟ้าเป็น 311 โวลต์ โดยใช้ไอซีสำหรับสร้างสัญญาณ PWM และรักษา ระดับแรงดันไฟฟ้าเอาต์พุตให้คงที่โดยควบคุมแบบวงปิด(Phase Lead - Phase Lag) เพื่อสำหรับต่อ ร่วมเข้าวงจรอินเวอร์เตอร์ซึ่งมีหน้าที่แปลงผันแรงดันไฟฟ้ากระแสตรงให้เป็นกระแสสลับต่อไป

## 1.2 วัตถุประสงค์ของการศึกษา

1.2.1 เพื่อศึกษาการจำลองกัณฑ์ลมนโดยเปลี่ยนแปลงสภาวะของความเร็วลมด้วยโปรแกรม Matlab/Simulink เชื่อมต่อกับอินเวอร์เตอร์ควบคุมแรงบิดและแสดงผลด้วยอินเตอร์เฟสการ์ด dSPACE ที่สภาวะความเร็วลมต่างๆ

1.2.2 เพื่อออกแบบและสร้างระบบจำลองกัณฑ์ลมนด้วยมอเตอร์เหนี่ยวนำที่มีการควบคุม และแสดงผลด้วยอินเตอร์เฟสการ์ด dSPACE ที่สภาวะความเร็วลมต่างๆ

1.2.3 เพื่อศึกษาการทำงานวงจรทบทระดับแรงดันไฟฟ้าแบบสามระดับที่เปลี่ยนแปลงระดับแรงดันจาก 35 - 65 โวลต์เป็นแรงดัน 311 โวลต์พร้อมระบบควบคุมแบบป้อนกลับ

1.2.4 เพื่อออกแบบและสร้างวงจรทบทระดับแรงดันไฟฟ้าแบบสามระดับที่เปลี่ยนแปลงระดับแรงดันจาก 35 - 65 โวลต์เป็นแรงดัน 311 โวลต์ เพื่อใช้กับเครื่องจำลองกัณฑ์ลมนสำหรับต่อร่วมกับอินเวอร์เตอร์ 220 โวลต์ 50 เฮิร์ตซ์

## 1.3 ขอบเขตของการศึกษา

1.3.1 ออกแบบและสร้างเครื่องจำลองกัณฑ์ลมนด้วยมอเตอร์เหนี่ยวนำที่มีการควบคุมและแสดงผลด้วยอินเตอร์เฟสการ์ด dSPACE

1.3.2 ออกแบบและสร้างวงจรทบทระดับแรงดันไฟฟ้าแบบสามระดับที่เปลี่ยนแปลงระดับแรงดันจาก 35 - 65 โวลต์เป็นแรงดัน 311 โวลต์เพื่อใช้งานร่วมกับอินเวอร์เตอร์

1.3.3 ทดสอบแรงดันเอาต์พุตวงจรทบทระดับแรงดันไฟฟ้าแบบสามระดับขณะที่จ่ายโหลดตามความเร็วลมที่ได้เครื่องจำลองกัณฑ์ลมน

## 1.4 ขั้นตอนการดำเนินการ

1.4.1 การศึกษาทฤษฎีและรวบรวมข้อมูลเบื้องต้น

ก. ศึกษาการทำงานของระบบผลิตไฟฟ้าจากกัณฑ์ลมนที่ความเร็วลมต่างๆในเขตกรุงเทพมหานคร

ข. ศึกษาและวัดปริมาณลมจริงด้วยเครื่องมือวัดลมที่อาคาร 48 ชั้น 11 ของมหาวิทยาลัยเทคโนโลยีราชมงคลกรุงเทพ



#### 1.4.2 การวิเคราะห์แบบจำลอง

ก. วิเคราะห์แบบจำลองโปรแกรม Matlab/Simulink เชื่อมต่อกับอินเวอร์เตอร์ควบคุมแรงบิดและแสดงผลด้วยอินเทอร์เฟซการ์ด dSPACE ที่สภาวะความเร็วลมต่างๆ

ข. วิเคราะห์แบบจำลองโปรแกรม Orcad/Pspice วงจรทระดับแรงดันแบบสามระดับที่เปลี่ยนแปลงระดับแรงดันจาก 35 - 65 โวลต์เป็นแรงดัน 311 โวลต์

#### 1.4.3 การออกแบบ

ก. ออกแบบเครื่องจำลองกักกันลมด้วยมอเตอร์เหนี่ยวนำที่มีการควบคุมและแสดงผลด้วยอินเทอร์เฟซการ์ด dSPACE ที่สภาวะความเร็วลมต่างๆ

ข. ออกแบบวงจรทระดับแรงดันไฟฟ้าแบบสามระดับที่เปลี่ยนแปลงระดับแรงดันจาก 35 - 65 โวลต์เป็นแรงดัน 311 โวลต์ที่ต่อร่วมกับอินเวอร์เตอร์ 220 โวลต์ 50 เฮิรตซ์

#### 1.4.4 การสร้างเครื่องจำลองกักกันลมและสร้างวงจรทระดับแรงดันไฟฟ้าแบบสามระดับ

ก. ทำการทดสอบเครื่องจำลองกักกันลมและทำการทดสอบวงจรทระดับแรงดันไฟฟ้าแบบสามระดับ

ข. เก็บผลการทดสอบเครื่องจำลองกักกันลมและเก็บผลการทดสอบวงจรทระดับแรงดันไฟฟ้าแบบสามระดับ

#### 1.4.5 วิเคราะห์ผลจากการทดสอบ แล้วนำเสนอ

### 1.5 เครื่องมือที่ใช้

1.5.1 ดิจิตอลสโตเรจอสซิลโลสโคป ยี่ห้อ Agilent Technologies Model DSO5014A

1.5.2 เครื่องคอมพิวเตอร์ควบคุมอินเทอร์เฟซการ์ด dSPACE Model DS1104

1.5.3 มอเตอร์ไฟฟ้าเหนี่ยวนำ 3 เฟส ELWE พิกัด 3 kW

1.5.4 เครื่องกำเนิดไฟฟ้ากระแสตรง ELWE พิกัด 0.37 kW

1.5.5 อินเวอร์เตอร์ 3 เฟส Fuji Model Frenic mega พิกัด 3 kW

1.5.6 โปรแกรม Matlab/Simulink

1.5.7 โปรแกรม Orcad/Pspice

1.5.8 โปรแกรม Control Desk

1.5.9 ดิจิตอลมัลติมิเตอร์ Fluke 179

1.5.10 แหล่งจ่ายไฟฟ้ากระแสตรง 0 – 100 V, 20 A

1.5.11 ชุดโหลดหอคอดไส้ขนาด 100W, 220V ต่ออนุกรมกัน 2 ชุด

1.5.12 ชุดโหลดตัวความต้านทาน 1.5kΩ 50 W

## 1.6 ข้อจำกัดของการศึกษา

จากการศึกษาเบื้องต้นเกี่ยวกับระบบกักเก็บพลังงาน ได้ทำการศึกษา

1.7.1 ศึกษาการเก็บค่าปริมาณลมด้วยเครื่องมือวัดลมที่อาคาร 48 ชั้น 11 มหาวิทยาลัยเทคโนโลยีราชมงคลกรุงเทพ

1.7.2 การใช้โปรแกรม Matlab/Simulink ต่อเชื่อมกับอินเวอร์เตอร์ควบคุมแรงบิดและการใช้โปรแกรม Orcad/Pspice วงจรทบทระดับแรงดันไฟฟ้าแบบสามระดับที่เปลี่ยนแปลงระดับแรงดันจาก 35 - 65 โวลต์เป็นแรงดัน 311 โวลต์

## 1.7 ประโยชน์ที่คาดว่าจะได้รับ

1.8.1 ได้เครื่องต้นแบบวงจรทบทระดับแรงดันไฟฟ้าแบบสามระดับสำหรับกักเก็บลม

1.8.2 สามารถนำไปประยุกต์วงจรทบทระดับแรงดันไฟฟ้าแบบสามระดับสู่อุตสาหกรรมหรือเชิงพาณิชย์ได้



## บทที่ 2

### วรรณกรรมหรืองานวิจัยที่เกี่ยวข้อง

ในปัจจุบันเราสามารถผลิตกระแสไฟฟ้าได้จากหลายแหล่งพลังงานด้วยกัน เช่น พลังงาน พลังงานความร้อน พลังงานแสงอาทิตย์ เป็นต้น พลังงานลมก็เป็นอีกแหล่งพลังงานที่น่าสนใจในการ นำมาผลิตกระแสไฟฟ้าเป็นพลังงานธรรมชาติที่สะอาด ไม่ก่อให้เกิดมลพิษต่อสิ่งแวดล้อม แต่พลังงาน ลมนั้นเราไม่สามารถที่จะควบคุมให้คงที่ได้ จึงนำเสนอวงจรอิเล็กทรอนิกส์กำลังมาใช้ต่อร่วมกับ เครื่องกำเนิดไฟฟ้าที่ขับเคลื่อนด้วยเครื่องจำลองกังหันลม เพื่อที่จะควบคุมและเปลี่ยนแปลง แรงดันไฟฟ้าเอาต์พุตให้มีค่าคงที่

#### 2.1 งานวิจัยที่เกี่ยวข้อง

จากการศึกษางานวิจัยที่เกี่ยวข้องกับวงจรแปลงผันที่ทำหน้าที่ทบทระดับแรงดันให้มากพอ สำหรับอินเวอร์เตอร์ โดยเฉพาะอย่างยิ่งแหล่งจ่ายพลังงานทดแทน เช่น เซลล์แสงอาทิตย์ เซลล์ เชื้อเพลิง กังหันลม เป็นต้น ที่ผ่านมามีนักวิจัยหลายท่าน ได้เสนอแนวคิดเกี่ยวกับวงจรทบทระดับแรงดัน ที่มีอัตราขยายสูงมาก กระแสตัวเหนี่ยวนำต่อเนื่อง ไร้หม้อแปลงความถี่สูง และประสิทธิภาพสูงดังนี้

Middlebrook R.D. [2] และ Maksimovic D., CUK S. [3] ได้ริเริ่มนำเสนอวงจรแปลงผัน แบบบустที่มีอัตราขยายสูงแบบไม่มีหม้อแปลงความถี่สูง เพื่อลดความสูญเสีย

Dongyan Z., Pietkiewicz., Pietkiewicz A., CUK S. [4] ได้ดัดแปลงนำวงจรบักร่วมกับวงจร พุช-พูล เพื่อทบทระดับแรงดันได้สูงมากขึ้น โดยมีข้อเสียคือมีการต่อวงจรกำลังสองภาค และกระแสที่ ตัวเหนี่ยวนำไม่ต่อเนื่อง

Abutbul O., Gherlitz A., Berkovich Y., Ioinovici A. [5] ได้นำเสนอวงจรบустต่อкаскасสอง ภาค ใช้อุปกรณ์สวิตซ์หนึ่งตัว กระแสตัวเหนี่ยวนำต่อเนื่อง แต่มีข้อด้อยคือต้องใช้ตัวเหนี่ยวนำสองตัว

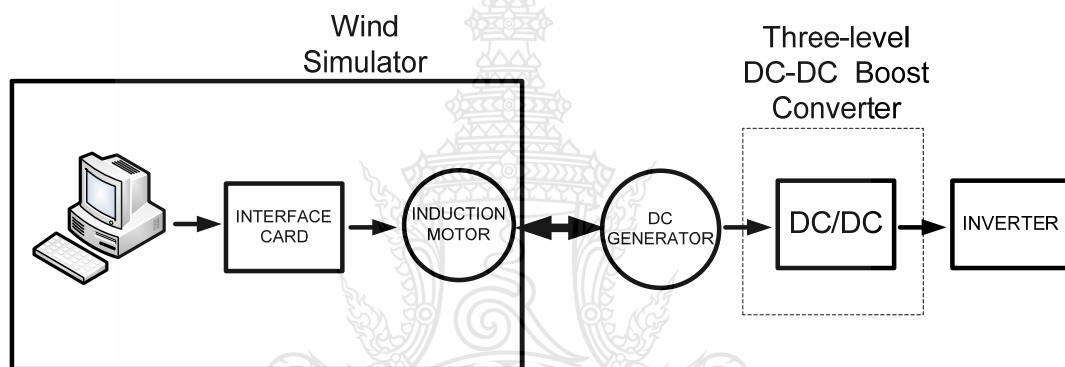
Yonetani S., Kondo Y., Akagi H., Fujita H. [6] และ Rodriguez J., Lai J.-S., Peng F.Z. [7] ได้นำเสนอวงจรอินเวอร์เตอร์แบบหลายระดับด้วยเทคนิคไดโอดแคลมป์(Diode clamped)สำหรับ แหล่งจ่ายพลังงานทดแทนขนาดเล็กโดยไม่ใช้หม้อแปลง และสามารถต่อเข้าระบบโดยตรง แต่ยังมี ข้อด้อยคือไม่สามารถสมดุลแรงดันที่ตัวเก็บประจุได้

Lai J.-S., Peng F.Z. [8] ได้รวบรวมและศึกษาข้อดีข้อด้อยวงจรอินเวอร์เตอร์แบบหลายระดับ เพื่อเป็นแนวทางสำหรับแหล่งจ่ายพลังงานทดแทน

Fan Z., Peng F.Z., Zhaoming Q. [9] ได้สร้างวงจรแปลงผันแบบบустคอนเวอร์เตอร์สำหรับ ทบทระดับแรงดันให้สูงพอสำหรับอินเวอร์เตอร์

Julio C.R.-C., Ramirez J.M., Dedro M.G.-V. [10] ได้นำเสนอวงจรบัสคอนเวอร์เตอร์หลายระดับด้วยอุปกรณ์สวิตช์เพียงหนึ่งตัว ตัวเหนี่ยวนำหนึ่งตัว จำนวนไดโอด  $2N-1$  และจำนวนตัวเก็บประจุ  $2N-1$  มีกระแสที่ตัวเหนี่ยวนำต่อเนื่อง อัตราขยายแรงดันสูงแต่ผู้แต่งไม่ได้นำเสนอวงจรควบคุมแรงดันแบบวงปิดดังนั้น

ผู้วิจัยจึงได้นำเสนอวงจรแปลงผันบัสคอนเวอร์เตอร์แบบสามระดับที่แรงดัน 311 โวลต์ กระแสตัวเหนี่ยวนำต่อเนื่อง และมีการควบคุมแรงดันคงที่ด้วยตัวควบคุมแบบเฟสนำหน้า-ล่าหลัง (Phase Lead - Phase Lag) โดยงานวิจัยนี้เลือกใช้มอเตอร์เหนี่ยวนำที่สามารถปรับความเร็วรอบได้ใช้แทนเครื่องจำลองกังหันลมต่อกับเครื่องกำเนิดไฟฟ้าที่ระดับแรงดัน 35 -65 โวลต์ ป้อนให้กับวงจรแรงดันเอาต์พุตมีการออกแบบและทดสอบทั้งในสภาวะอยู่ตัว และทรานเซียนด้วยการเปลี่ยนแปลงโหลดทันทีทันใด



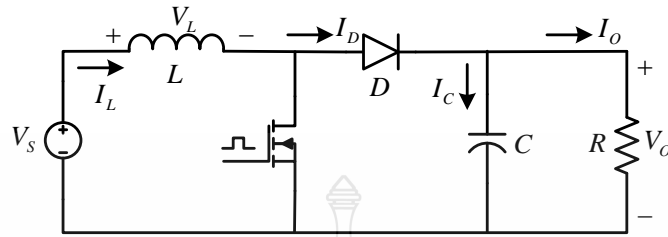
รูปที่ 2.1 บล็อกไดอะแกรมระบบแปลงผันพลังงานไฟฟ้าจากกังหันลม

## 2.2 วงจรทบระดับแรงดันไฟฟ้าหรือวงจรบัสคอนเวอร์เตอร์ (Boost Converter) [11]

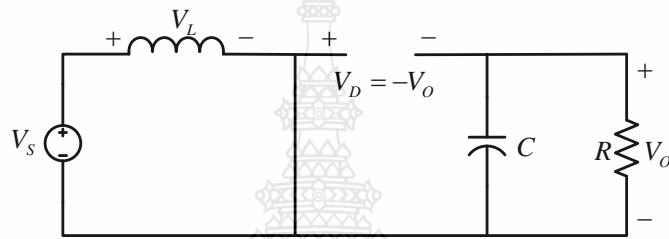
วงจรทบระดับแรงดันไฟฟ้า คือวงจรที่เพิ่มระดับแรงดันไฟฟ้า ซึ่งแรงดันไฟฟ้าด้านเอาต์พุตให้สูงกว่าแรงดันทางด้านอินพุต ที่เรียกวงจรบัสคอนเวอร์เตอร์ก็เพราะแรงดันไฟฟ้าด้านเอาต์พุตสูงกว่าแรงดันไฟฟ้าด้านอินพุตหรืออาจจะเรียกว่า Step up Converter ซึ่งจะประกอบไปด้วย 2 ส่วนหลักๆคือ ส่วนของวงจรกำลัง จะประกอบด้วยตัวเหนี่ยวนำ ตัวเก็บประจุด้านเอาต์พุต ไดโอด อุปกรณ์ที่ทำหน้าที่ในการสวิตช์ และอีกส่วนคือ วงจรควบคุมการทำงานของวงจรบัสคอนเวอร์เตอร์เพื่อรักษาระดับแรงดันเอาต์พุต โดยมีเงื่อนไขในการทำงานของวงจรทบระดับแรงดันไฟฟ้า เพื่อให้ง่ายต่อการวิเคราะห์ดังนี้

- 1) กระแสไฟฟ้าที่ไหลผ่านตัวเหนี่ยวนำ ณ ตำแหน่งเดียวกันในแต่ละค่าจะมีค่าเท่ากันและมีค่าเป็นบวกเสมอ
- 2) แรงดันไฟฟ้าเฉลี่ยตกคร่อมตัวเหนี่ยวนำในแต่ละคาบจะเท่ากับศูนย์

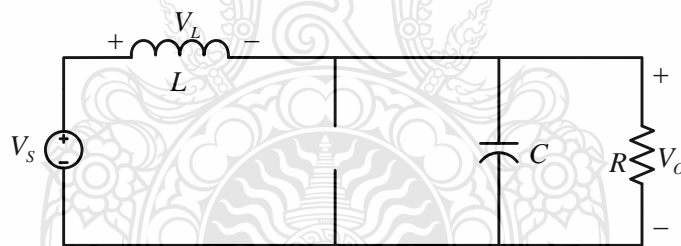
- 3) ตัวเก็บประจุต้องมีขนาดใหญ่เพื่อให้แรงดันเอาต์พุตมีค่าคงที่
- 4) กำลังไฟฟ้าอินพุต เท่ากับกำลังไฟฟ้าด้านเอาต์พุต กรณีนี้ไม่คำนึงถึงการสูญเสียเนื่องจากการทำงานของวงจร



(ก)



(ข)



(ค)

รูปที่ 2.2 ก) วงจรทบระดับแรงดันไฟฟ้า

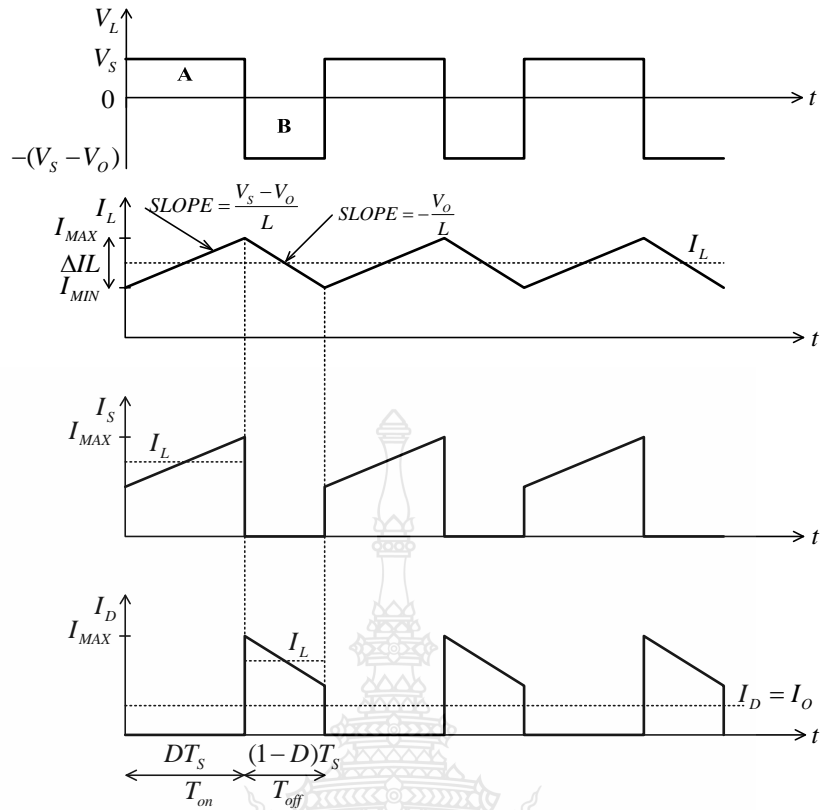
ข) วงจรสมมูลในช่วง  $T_{on}$

ค) วงจรสมมูลในช่วง  $T_{off}$

### 2.2.1 คุณสมบัติวงจรกรณีกระแสต่อเนื่อง

กระแสไหลผ่านตัวเหนี่ยวนำ ( $i_L$ ) จะต่อเนื่อง เมื่อ  $L > \frac{D(1-D)^2 R}{2f_s}$  ลักษณะรูปคลื่น

แสดงดังรูปที่ 2.3



รูปที่ 2.3 กระแสที่ไหลผ่านตัวเหนี่ยวนำต่อเนื่อง

ขณะช่วง  $T_{on}$

$$V_L = V_S$$

ความชัน (Slope) ของกระแส

$$i_L = \frac{\Delta I_L}{\Delta t} = \frac{-V_L}{L} = \frac{V_S}{L}$$

ขณะช่วง  $T_{off}$

$$V_S - V_O = -(V_O - V_S)$$

ความชัน (Slope) ของกระแส

$$i_L = \frac{\Delta I_L}{\Delta t} = \frac{V_L}{L}$$

จากรูปที่ 2.3 พื้นที่ A = พื้นที่ B

$$V_S D T_s = (V_O - V_S)(1-D) T_s$$

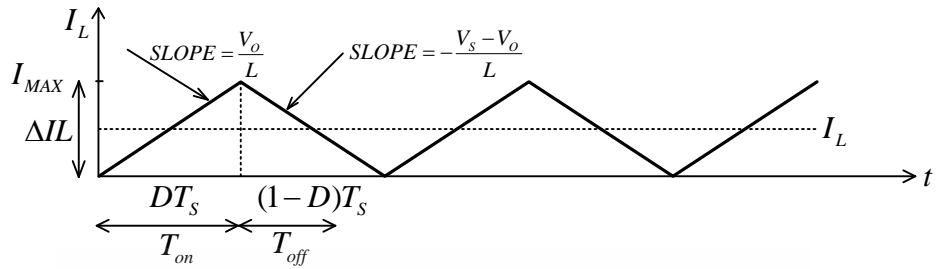
$$V_S D = V_O(1-D) - V_S(1-D)$$

$$V_S = V_O(1-D)$$

$$\frac{V_O}{V_S} = \frac{1}{1-D}$$

(2.1)

## 2.2.2 จุดแบ่งระหว่างการทำงานแบบกระแสต่อเนื่องกับไม่ต่อเนื่อง



รูปที่ 2.4 กระแสที่ไหลผ่านตัวเหนี่ยวนำเริ่มไม่ต่อเนื่อง

พิจารณาช่วง  $T_{on}$

$$\frac{\Delta I_L}{\Delta t} = \frac{V_s DT_s}{L}$$

$$I_L = \frac{\Delta I_L}{2} = \frac{V_s DT_s}{2L}, V_s = V_o(1-D)$$

$$I_L = \frac{V_o T_s}{2L} D(1-D) \quad (2.2)$$

จากรูปที่ 2.4 สังเกตว่า

$$I_D = I_o = \frac{V_o}{R}$$

จากรูปที่ 2.4

$$I_D = \frac{I_L (1-D)T_s}{T_s} = (1-D)I_L$$

$$I_L = \frac{V_o}{(1-D)R} \quad (2.3)$$

จากสมการ (2.2) และ (2.3)

$$\frac{V_o}{(1-D)R} = \frac{V_o T_s}{2L} D(1-D)$$

$$L = \frac{D(1-D)^2 R}{2f_s}$$

ดังนั้นจุดแบ่งระหว่างการทำงานแบบกระแสต่อเนื่องกับกระแสไม่ต่อเนื่อง คือตำแหน่งที่

$$L = \frac{D(1-D)^2 R}{2f_s} \text{ เรียก } L \text{ ค่านี้ว่า } L_{\min}$$

$$L_{\min} = \frac{D(1-D)^2 R}{2f_s} \quad (2.4)$$

เมื่อ  $L_{\min}$  คือค่าความเหนี่ยวนำต่ำสุดที่ยังคงทำให้กระแสไหลต่อเนื่อง

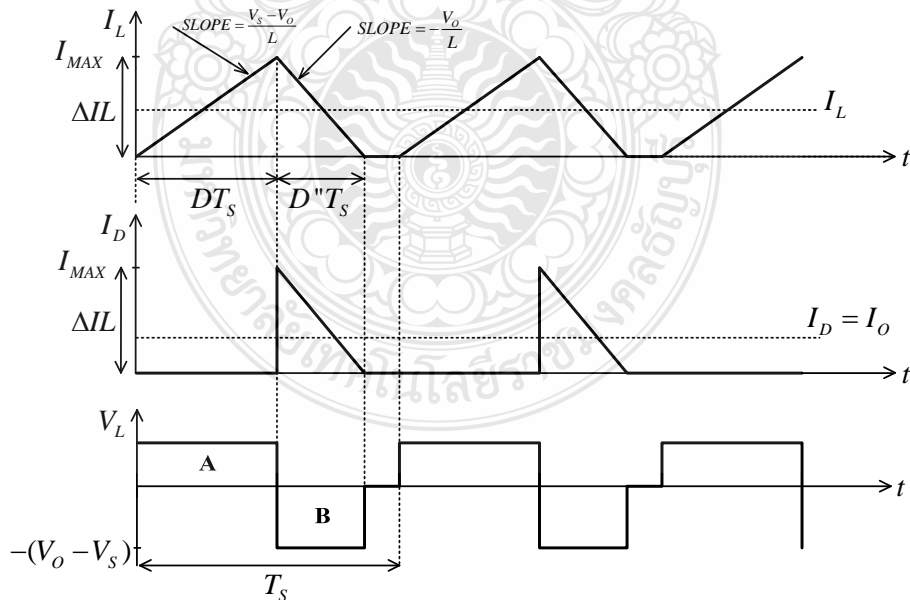
ถ้า  $L > \frac{D(1-D)^2 R}{2f_s}$  เป็นกรณีกระแสต่อเนื่อง (2.5)

ถ้า  $L < \frac{D(1-D)^2 R}{2f_s}$  เป็นกรณีกระแสไม่ต่อเนื่อง (2.6)

### 2.2.3 คุณสมบัติวงจรกรณีกระแสไม่ต่อเนื่อง

วงจรที่ระดับแรงดันไฟฟ้าจะทำงานเป็นแบบกระแสไม่ต่อเนื่อง เมื่อ  $L < \frac{D(1-D)^2 R}{2f_s}$

มีลักษณะดังรูปที่ 2.5



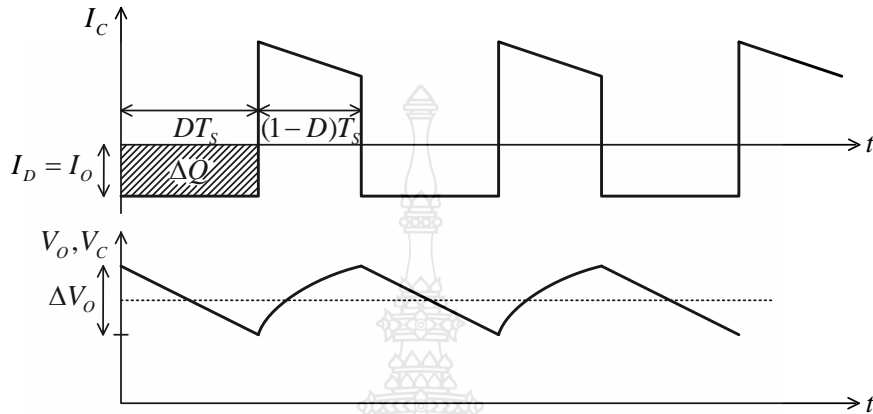
รูปที่ 2.5 กระแสที่ไหลผ่านตัวเหนี่ยวนำไม่ต่อเนื่อง



### 2.2.4 ค่าระลอกคลื่นของแรงดันเอาต์พุต ( $\Delta V_o$ )

กระแสไหลผ่านตัวเก็บประจุ ก็คือค่าระลอกคลื่นของกระแสที่มีค่าเฉลี่ยเป็นศูนย์

$$\Delta V_o = \frac{V_o DT_s}{RCf_s} \quad (2.7)$$



รูปที่ 2.6 กระแสไหลผ่านตัวเก็บประจุ และ  $V_o$

### 2.2.5 การออกแบบวงจรทระดับแรงดันไฟฟ้า

การออกแบบวงจรทระดับแรงดัน การออกแบบจะใช้คุณสมบัติการนิกระแสดต่อเนื่อง เช่นเดียวกับวงจรบัค ซึ่งเป็นกรณีที่  $L > L_{\min}$  โดย  $L_{\min}$

การหาขนาดของตัวเหนี่ยวนำ ( $L$ ) หาได้โดยการพิจารณาจากรูปคลื่นกระแส  $i_L$  ขนาดของตัวเก็บประจุ ( $C$ )

พิกัดแรงดันของตัวเก็บประจุจะต้องไม่ต่ำกว่าค่าแรงดัน  $V_o$  ค่าพิกัดแรงดันของอุปกรณ์ที่เป็นสวิตช์และไดโอดต้องไม่ต่ำกว่าค่าแรงดัน  $V_o$

พิกัดกระแสสูงสุดของอุปกรณ์ที่เป็นสวิตช์และไดโอด ต้องไม่ต่ำกว่า  $I_{\max} = I_L + \frac{\Delta I_L}{2}$

พิกัดกระแสเฉลี่ยของอุปกรณ์ที่เป็นสวิตช์ต้องไม่ต่ำกว่า  $DI_L$

พิกัดกระแสเฉลี่ยของไดโอด ต้องไม่ต่ำกว่า  $I_o$

ความสัมพันธ์ระหว่างกระแส  $I_L$  กับ  $I_o$  พิจารณาได้จากรูปคลื่นกระแส

$$I_D, I_L = \frac{I_o}{1-D}$$

## 2.3 อุปกรณ์ที่ใช้งานในวงจรทระดับแรงดันไฟฟ้า

### 2.3.1 ตัวเหนี่ยวนำ (Inductor)

ตัวเหนี่ยวนำเป็นอุปกรณ์อิเล็กทรอนิกส์ที่สำคัญ โดยมีการใช้งานกับวงจรอิเล็กทรอนิกส์ทั่วไป มีตั้งแต่ขนาดเล็กมาก ๆ จนกระทั่งถึงขนาดใหญ่ ลักษณะของตัวเหนี่ยวนำจะเป็นการนำเอาลวดตัวนำมาพันเรียงกันเป็นขดลวด อาจมีจำนวนรอบไม่กี่ปรอบจนกระทั่งถึงพันรอบแล้วแต่ค่าความเหนี่ยวนำที่ต้องการใช้งาน การพันขดลวดของตัวเหนี่ยวนำอาจพันบนแกนชนิดต่าง ๆ หรือเป็นแบบไม่มีแกน (แกนอากาศ) ซึ่งแต่ละแบบก็จะมีคุณสมบัติที่แตกต่างกัน ดังนั้นการที่จะเข้าถึงการออกแบบตัวเหนี่ยวนำจะต้องทำความเข้าใจเกี่ยวกับทฤษฎีทางแม่เหล็กไฟฟ้า

#### 2.3.1.1 แกนเฟอร์ไรต์ (Ferrite Core)

เป็นวัสดุประเภทเฟอร์โรแมกเนติก (Ferromagnetic Material) การเหนี่ยวนำแม่เหล็กในแกนเฟอร์ไรต์จะมีผลทำให้เกิดการเหนี่ยวนำเส้นแรงแม่เหล็กสูงกว่าการเหนี่ยวนำที่เกิดขึ้นบนแกนอากาศมาก แกนเฟอร์ไรต์มีค่าอิมพีแดนซ์แรงแม่เหล็กค่อนข้างสูง และเกิดการสูญเสียในตัวแกนเฟอร์ไรต์ค่าที่ความถี่สูงๆ ดังนั้นตัวเหนี่ยวนำในการสวิตชิงจึงนิยมใช้แกนเฟอร์ไรต์มากที่สุด เฟอร์ไรต์ที่นำมาใช้ทำแกนตัวเหนี่ยวนำสวิตชิงจะมีรูปร่างที่แตกต่างกันออกไปขึ้นอยู่กับการใช้งานและมาตรฐานในการออกแบบแกนเฟอร์ไรต์

#### 2.3.1.2 บ็อบบิ้น (Bobbin)

ทำจากพลาสติกชนิดทนความร้อนสูง และไม่ติดไฟ บ็อบบิ้นจะช่วยให้การพันขดลวดบนแกนเฟอร์ไรต์สะดวกขึ้น และป้องกันปัญหาการลัดวงจรระหว่างขดลวดและแกนเฟอร์ไรต์

#### 2.3.1.3 ลวดทองแดงอาบน้ำยา (Enamelled Copper Wire)

การพันขดลวดตัวเหนี่ยวนำสวิตชิงจะใช้ลวดทองแดงอาบน้ำยาพันบนแกนบ็อบบิ้น เพื่อให้ได้จำนวนรอบตามที่คำนวณออกแบบไว้

#### 2.3.1.4 เทปฉนวน (Insulation Tape)

เป็นตัวรองระหว่างชั้นของขดลวดในตัวเหนี่ยวนำสวิตชิง เพื่อป้องกันความเสียหายของขดลวด และทำให้ขดลวดมีความแข็งแรง วัสดุที่ใช้ทำเทปฉนวนอาจเป็นพวกไมลาร์ (Mylar) หรือ โพลีเอสเตอร์ (Polyester) ที่มีความหนาอยู่ในช่วง 0.05-0.1 มิลลิเมตร

### 2.3.2 ตัวเก็บประจุ (Capacitor)

วงจรทระดับแรงดันไฟฟ้าตัวเก็บประจุ มีหน้าที่เก็บพลังงานในรูปแบบประจุไฟฟ้า และทำการจ่ายแรงดันออกให้กับเอาต์พุต หรือคายประจุไฟฟ้าเมื่อมอเตอร์อยู่ในช่วงเวลา Turn On และเก็บประจุเมื่ออยู่ในช่วงเวลา Turn Off จะเลือกตัวเก็บประจุที่สามารถทนแรงดันได้เท่ากับแรงดันทางด้านเอาต์พุต หากเลือกตัวเก็บประจุที่มีขนาดใหญ่จะช่วยในส่วนของการลดแรงดันกระเพื่อมทางด้านเอาต์พุตให้ลดลงได้ คูในโหมคกระแสต่อเนื่องของวงจรทระดับแรงดันไฟฟ้าค่าของตัวตัว

เก็บประจุจะพิจารณาได้จากสมการแรงดันกระแสเพื่อทางเอาต์พุต ( $\Delta V_o$ ) และกระแสเอาต์พุต ( $I_o$ ) ที่ใช้งาน ค่าควิตีไซเคิลสูงสุดที่ใช้งาน ความถี่ในการสับสวิตช์ของวงจรระดับแรงดันไฟฟ้า ( $f_s$ ) ดังสมการที่ใช้คำนวณหาค่าตัวเก็บประจุที่จะใช้งาน

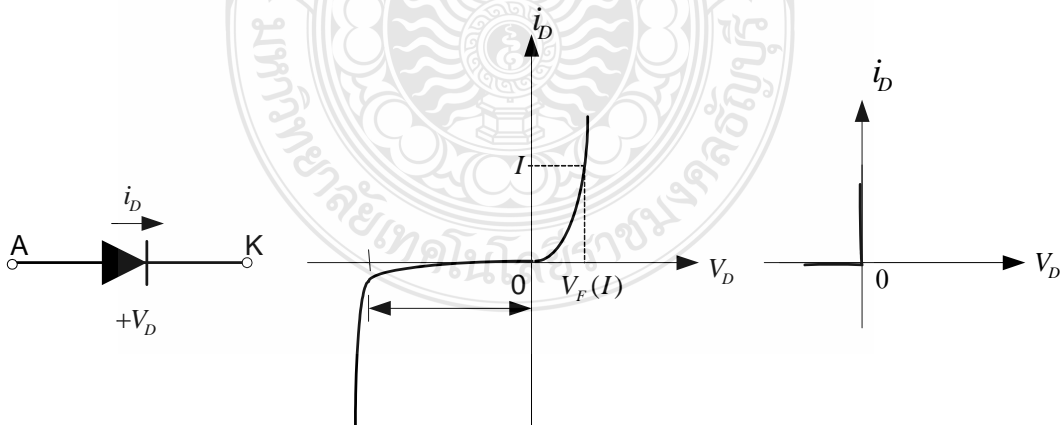
$$C = \frac{I_{O(\max)} D_{(\max)}}{f \Delta V_o} \quad (2.8)$$

เมื่อ  $I_{O(\max)}$  คือ ค่ากระแสไฟฟ้าสูงสุดทางด้านเอาต์พุต  
 $D_{(\max)}$  คือ ค่าควิตีไซเคิลสูงสุด

### 2.3.3 ไดโอดกำลัง (Power Diode)

ไดโอดเริ่มนำกระแส เมื่อแรงดันตกคร่อม มีค่าเพียงเล็กน้อยประมาณ 1 โวลต์ ในทำนองเดียวกันเมื่อไดโอดถูกไบแอสย้อนกลับ กระแสจำนวนหนึ่งซึ่งน้อยมาก ก็สามารถไหลผ่านไดโอดตัวนี้ได้ และกระแสจำนวนนี้มีค่าคงที่ตลอดไป จนกระทั่งถึงค่าเบรกดาวน์ ดังนั้นการนำไปใช้งานแรงดันไบแอสย้อนกลับที่ป้อนไดโอดไม่ควรมีค่าเกินแรงดันเบรกดาวน์นี้ ซึ่งได้แสดงสัญลักษณ์และคุณลักษณะกระแสและแรงดันของไดโอดขณะไบแอสไปหน้า ดังรูปที่ 2.7 (ก) และ (ข)

เนื่องจากกระแสรั่วไหลของไดโอดขณะอยู่ในสถานะกั้นหรือไบแอสย้อนกลับมีค่าน้อย และแรงดันตกคร่อมในขณะนำกระแสหรือไบแอสไปหน้ามีค่าน้อยมากเช่นเดียวกัน ดังนั้นจึงเปรียบเสมือนเป็นไดโอดอุดมคติ ดังคุณลักษณะดังรูปที่ 2.7 (ค)



(ก) สัญลักษณ์

(ข) คุณลักษณะกระแสและแรงดัน

(ค) คุณลักษณะในอุดมคติ

รูปที่ 2.7 ไดโอดกำลัง

การสวิตช์เพื่อนำกระแสของไดโอด เปรียบเสมือนกับเป็นการสวิตช์ทางอุดมคติได้ เนื่องจากใช้เวลาการสวิตช์น้อยมาก เมื่อเทียบกับสถานะชั่วคราวของวงจรกำลัง แต่ถ้าหากเป็นการสวิตช์เพื่อหยุดนำกระแสจะต้องเสียเวลาให้กับกระแสพื้นตัวย้อนกลับ ดังรูปที่ 2.7 ดังนั้นอาจเป็นสาเหตุนำไปสู่การเกิดแรงดันเกินในวงจรที่มีตัวเหนี่ยวนำด้วย และในงานวิจัยนี้เลือกใช้คือ

ฟาสต์-รีคัฟเวอรีไดโอด (Fast Recovery Diode) มีช่วงเวลาในการคืนตัวประมาณ 200-750 นาโนวินาที ซึ่งสั้นกว่าซิลิกอนไดโอดมาก มีอัตราทนแรงดันไบอัสกลับได้สูงถึง 1,000 โวลต์ ด้วยเหตุนี้ซิลิกอนไดโอดที่ใช้ในวงจรเรกติไฟเออร์ทั่วไป จึงไม่สามารถนำมาใช้กับวงจรทบทระดับแรงดันได้ เนื่องจากช่วงเวลาคืนตัวมาก กำลังสูญเสียในรูปความร้อนจะเกิดขึ้นสูงและประสิทธิภาพต่ำ

#### 2.3.4 เพาเวอร์มอสเฟต (Metal-Oxide Semiconductor Field-Effect Transistor)

เพาเวอร์มอสเฟตกำลังเป็นอุปกรณ์ที่ควบคุมด้วยแรงดันและต้องการกระแสอินพุตที่มีค่าต่ำมีความสามารถเป็นสวิตช์ที่มีความเร็วสูงและเวลาในการสวิตช์ที่มีความเร็วสูงและเวลาในการสวิตช์ต่ำอยู่ในระดับนาโนวินาที จึงถูกนำมาใช้งานด้านอิเล็กทรอนิกส์กำลังมากขึ้น และมีแนวโน้มที่จะเข้ามาแทนทรานซิสเตอร์ ด้วยความแตกต่าง ทางฟิสิกส์และโครงสร้างทำให้มอสเฟตกำลัง ไม่มีปัญหาในเรื่องแรงดันพังทลายแบบที่สอง (Secondary Breakdown) เหมือนทรานซิสเตอร์ แต่อย่างไรก็ตามมอสเฟตกำลังยังมีจุดอ่อน ในเรื่องที่เกี่ยวข้องกับไฟฟ้าสถิต การเก็บรักษา และมอสเฟตกำลังที่มีขายตามท้องตลาดยังมีอัตราทนกำลังต่ำอยู่เมื่อเทียบกับอุปกรณ์สวิตช์ประเภทอื่นๆ สามารถทำงานได้ที่ความถี่สูงตั้งแต่ 20 kHz ไปจนถึงประมาณ 200-400 kHz เวลาในการเปลี่ยนสถานะค่อนข้างสั้น

## 2.4 วงจรควบคุมวงจรทบทระดับแรงดันไฟฟ้า

การควบคุมแรงดันเอาต์พุตของวงจรทบทระดับแรงดันไฟฟ้า ทำได้โดยการควบคุมค่าอัตราดิวตีไซเคิลซึ่งที่ใช้ในการควบคุมแรงดันเอาต์พุต คือ

#### 2.4.1 ควบคุมโดยให้ความถี่ในการสับสวิตซ์คงที่

คือการใช้ความถี่การสับสวิตซ์มีค่าคงที่และทำการปรับค่าดิวตีไซเคิลของสวิตซ์ซึ่งเพื่อที่จะควบคุมค่าแรงดันขาออก การควบคุมชนิดนี้รู้จักกันในชื่อ พัลส์วิดมอดูเลชัน (Pulse Width Modulation, PWM)

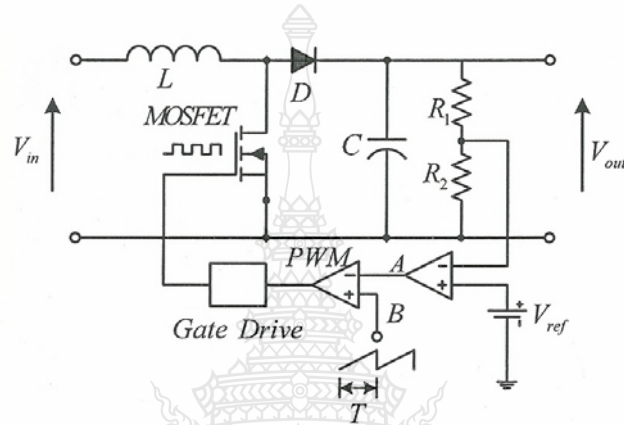
#### 2.4.2 ควบคุมโดยให้ความถี่ในการสับสวิตซ์เปลี่ยนแปลง

คือการใช้ความถี่ในการสับสวิตซ์แปรเปลี่ยนไป โดยอาจให้ช่วงเวลาในการเปิดหรือปิดของสวิตซ์มีค่าคงที่ ซึ่งเรียกว่า พัลส์ ฟิควนซีมอดูเลชัน (Pulse Frequency Modulation ; PFM) เนื่องจากวงจรแปลงผันเกือบทุกแบบจะคงค่าแรงดันเอาต์พุตได้ด้วยการควบคุมช่วงเวลานำกระแสของสวิตซ์ซึ่งวงจรควบคุมการทำงานของวงจรทบทระดับแรงดันไฟฟ้า โดยทั่วไปใช้เทคนิคการพัลส์วิดมอดูเลชัน เป็นหลักการใช้ PWM เพื่อควบคุมการนำกระแสค่าของสวิตซ์ในวงจรแปลงผันสามารถทำ

ได้ใน 2 ลักษณะการทำงานของวงจรควบคุม คือ ในโหมดควบคุมวงจรแรงดันและในโหมดควบคุมกระแส

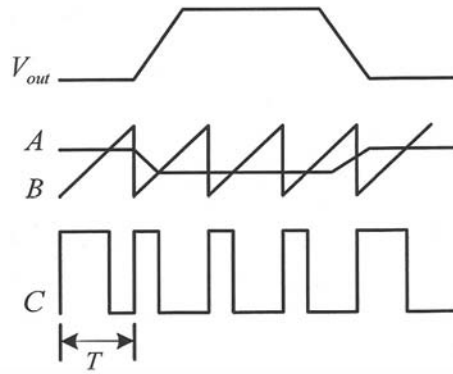
### 2.4.2.1 วงจรควบคุมในโหมดแรงดัน (Voltage Mode Control)

การทำงานของวงจรควบคุมในโหมดนี้จะใช้การตรวจจับการเปลี่ยนแปลงของค่าแรงดันที่เอาต์พุตมาควบคุมช่วงเวลานำกระแสของสวิตช์ซึ่งเพื่อรักษาระดับแรงดันเอาต์พุตพื้นฐานของวงจรควบคุมในโหมดแรงดันดังรูปที่ 2.8



รูปที่ 2.8 วงจรควบคุมวงจรทระดับแรงดันไฟฟ้าในโหมดควบคุมแรงดัน

วงจรควบคุมให้แรงดันเอาต์พุตคงที่โดยจะอาศัยการป้อนกลับค่าแรงดันที่เอาต์พุต และการเปรียบเทียบแรงดันอ้างอิง  $V_{ref}$  ของวงจรเพื่อตรวจจับการเปลี่ยนแปลงของแรงดันที่เอาต์พุตค่าแตกต่างที่ได้จะถูกขยายความแตกต่าง (E/A) ก่อนที่จะส่งไปยังวงจร PWM โดยค่าแรงดันที่ได้จากวงจรขยายความแตกต่างที่ตำแหน่ง A จะถูกเปรียบเทียบแรงดันรูปฟันเลื่อยที่ตำแหน่ง B ของ PWM อีกครั้งหนึ่ง เอาต์พุตที่ได้จากวงจร PWM จะเป็นพัลส์สี่เหลี่ยม ซึ่งมีความยาวคงที่เท่ากับคาบเวลาของแรงดันรูปฟันเลื่อยและมีความกว้างของพัลส์เปลี่ยนไปตามผลการเปรียบเทียบของค่าแรงดันที่ตำแหน่ง A และ B ค่าความกว้างของพัลส์นี้จะเป็นตัวกำหนดช่วงเวลานำกระแสของสวิตช์ในวงจรทระดับแรงดันไฟฟ้า เนื่องจากค่าแรงดันป้อนกลับจะถูกส่งมายังวงจรขยายความแตกต่างที่ขาอินเวอร์ตติ้ง ผลต่างของแรงดันเอาต์พุตและแรงดันอ้างอิงที่จุด A จึงมีลักษณะต่างเฟสที่ 180 องศา กล่าวคือ เมื่อแรงดันเอาต์พุตมีค่ามากขึ้น แรงดันที่จุด A จะมีค่าลดลงความกว้างพัลส์ที่เอาต์พุตของวงจร PWM จึงมีค่าลดลงด้วย และช่วงเวลานำกระแสของเพาเวอร์มอสเฟตจะมีค่าลดลงถ้าแรงดันเอาต์พุตลดลงแรงดันที่จุด A จะมีค่าเพิ่มขึ้นความกว้างพัลส์ที่เอาต์พุตของวงจร PWM จึงมีค่าเพิ่มขึ้น ( $t_{on}$ ) ก็จะมีค่าเพิ่มขึ้นทำให้วงจรทระดับแรงดันไฟฟ้าสามารถคงค่าแรงดันไว้ได้



รูปที่ 2.9 รูปร่างสัญญาณที่จุดต่างๆของวงจรในรูปที่ 2.8

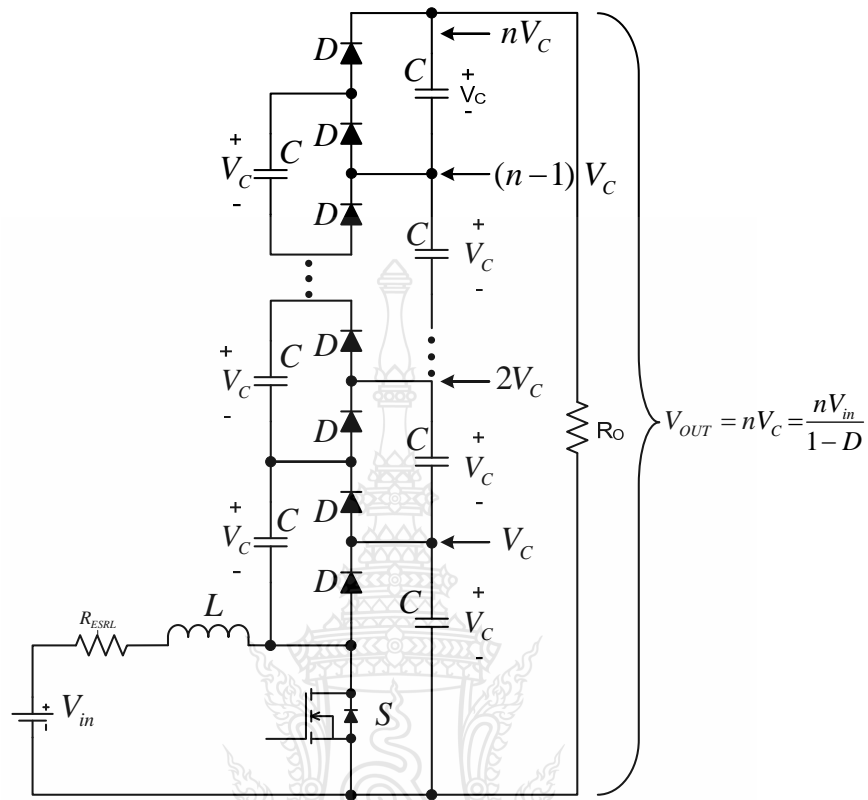
### 2.4.3 ไอซีที่ใช้ในการควบคุม

ไอซีเบอร์ UC3824 เป็นไอซีที่สามารถทำงานโหมคควบคุมแรงดันหรือ โหลดกระแส โครงสร้างภายในและการจัดขาของไอซีเบอร์ UC3824 อาศัยความกว้างของเอาต์พุตพัลส์ของไอซีมา เปรียบเทียบสัญญาณพื้นเลี้ยงที่ขา 7 กับแรงดันที่ได้จากวงจรขยายความต่าง (Error Amp) ถ้าแรงดัน ที่มาจากวงจรขยายความต่างมีค่าสูงขึ้นจะทำให้ความกว้างของเอาต์พุตพัลส์ของไอซีลดลง ในทาง กลับกันถ้าแรงดันจากวงจรขยายความต่างมีค่าลดลงจะทำให้ความกว้างเอาต์พุตของไอซีที่ขา 11 และ ขา 14 โดยที่ขาทั้ง 2 นี้จะทำงานตรงข้ามกันเสมอโดยใช้การสลับการทำงานตามจังหวะของ Flip Flop เพื่อใช้ขับวงจรทบระดับแรงดันไฟฟ้า

ไอซีเบอร์ UC3824 ต้องการไฟเลี้ยง 8-30 โวลต์ มีแรงดันอ้างอิงภายใน 5.1 โวลต์ และสามารถจ่ายกระแสได้ถึง 100 มิลลิแอมป์ เพื่อนำไปใช้กับวงจรภายนอกได้ โดยมีค่าความถูกต้อง  $\pm 15\%$  ความคลาดเคลื่อนทางอุณหภูมิมีค่าน้อยกว่า 50 มิลลิโวลต์ เมื่อทำงานในช่วง 0-70 องศา เซลเซียส สามารถทำงานได้ที่ความถี่สูงสุด 1 MHz

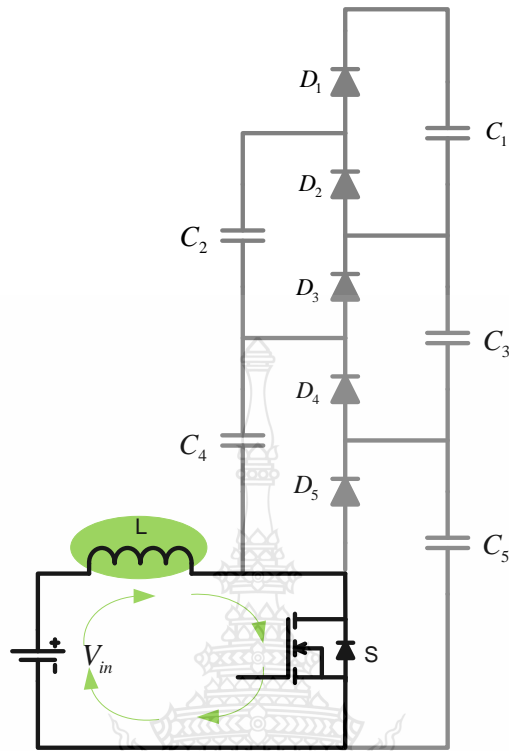
## 2.5 วงจรทบทระดับแรงดันไฟฟ้าหลายระดับแบบคาสเคด (Cascade Multilevel DC - DC

Boost converter) [12]



รูปที่ 2.10 วงจรทบทระดับแรงดันไฟฟ้าหลายระดับแบบ  $2N - 1$

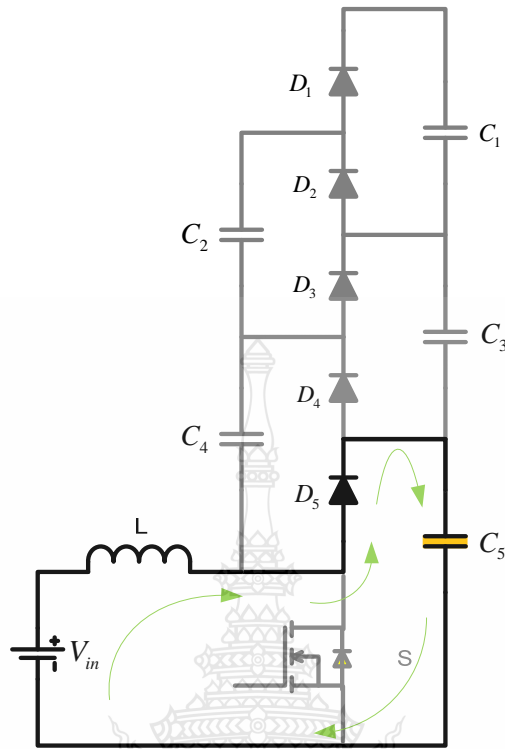
โครงสร้าง ของวงจรทบทระดับแรงดันไฟฟ้าหลายระดับ มีเพิ่มสวิตช์ควบคุม 1 ตัว จะมีไดโอด  $2N - 1$  และ ตัวเก็บประจุ  $2N - 1$  โดย  $N$  คือ จำนวนระดับ งานวิจัยนี้เสนอใช้จำนวน 3 ระดับ ฉะนั้นจำนวนตัวเก็บประจุและไดโอด จึงมีจำนวน 5 ตัว ซึ่งวงจรนี้จะมีข้อดีคือ สามารถเพิ่มจำนวน ระดับชั้นของตัวเก็บประจุและไดโอดได้อีก ซึ่งการทำงานของวงจรทบทระดับแรงดันไฟฟ้าหลายระดับ นั้นจะแบ่งการทำงานออกเป็น 6 ช่วงการทำงาน ดังรูปที่ 2.11 - 2.16



รูปที่ 2.11 การทำงานของวงจรยกระดับแรงดันไฟฟ้าหลายระดับช่วงที่ (ก)

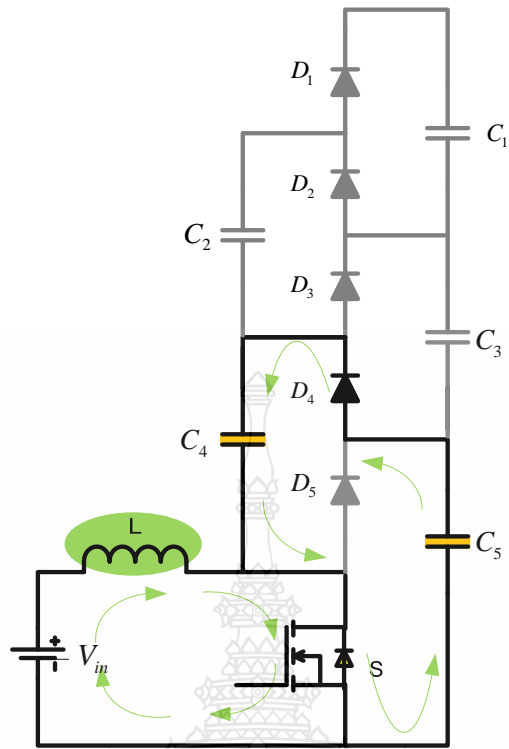
การทำงานของวงจรยกระดับแรงดันไฟฟ้าแบบหลายระดับ เมื่อพิจารณาตามลำดับการป้อนสัญญาณกระตุ้นให้กับสวิตช์อิเล็กทรอนิกส์ จากรูปที่ 2.11 เมื่อสวิตช์อิเล็กทรอนิกส์ ซึ่งใช้ในวงจรคือ เพาเวอร์ MOSFET ได้รับสัญญาณในช่วงการนำกระแส ในครึ่งไซเคิลแรก สวิตช์อิเล็กทรอนิกส์จะนำกระแส ทำให้กระแสไฟฟ้าไหลผ่านสวิตช์และตัวเหนี่ยวนำด้วย เมื่อพิจารณาให้สวิตช์ทำงานในอุดมคติ คือ ไม่มีแรงดันไฟฟ้าตกคร่อม ดังนั้นแรงดันไฟฟ้าที่ตกคร่อมตัวเหนี่ยวนำจะมีค่าเท่ากับแหล่งจ่าย เมื่อเกิดกระแสไฟฟ้าไหลผ่านตัวเหนี่ยวนำ ตัวเหนี่ยวนำก็จะเก็บสะสมพลังงานอยู่ในรูปของสนามแม่เหล็ก อยู่บริเวณ โดยรอบของตัวเหนี่ยวนำหรือแกนที่ตัวเหนี่ยวนำนั้นพันอยู่





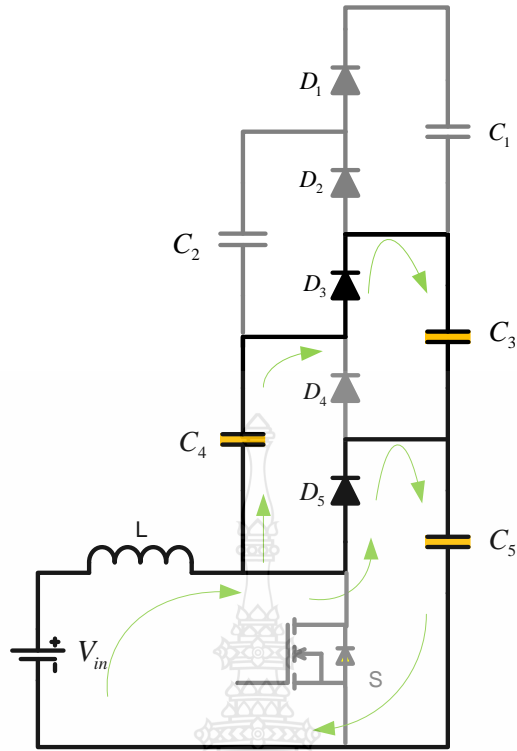
รูปที่ 2.12 การทำงานของวงจรระดับแรงดันไฟฟ้าหลายระดับช่วงที่ (ข)

เมื่อสวิตช์อิเล็กทรอนิกส์ได้รับสัญญาณกระตุ้นในช่วงครึ่งไซเคิลที่หยุดนำกระแส ทำให้สวิตช์อิเล็กทรอนิกส์หยุดนำกระแสเหมือนสวิตช์ที่เปิดวงจรออก ดังแสดงในรูปที่ 2.12 ทำให้กระแสที่ไหลในวงจรลดลงทันทีทันใด จากคุณสมบัติของตัวเหนี่ยวนำที่ไม่ยอมให้กระแสเปลี่ยนแปลงแบบทันทีทันใด เมื่อกระแสลดลงทันที พลังงานที่เก็บสะสมอยู่ในตัวเหนี่ยวนำในรูปของสนามแม่เหล็ก จะเกิดการเหนี่ยวนำออกมาในรูปของแรงดันไฟฟ้า ซึ่งแรงดันไฟฟ้าที่เกิดขึ้นในตัวเหนี่ยวนำจะเสริมกับแรงดันไฟฟ้าจากแหล่งจ่าย ทำให้มีระดับแรงดันไฟฟ้าเพิ่มสูงขึ้น และไหลผ่านไดโอด  $D_5$  ในลักษณะไบแอสไปหน้า อัดประจุยังตัวเก็บประจุ  $C_5$  ดังนั้นแรงดันที่ตกคร่อมที่ตัวเก็บประจุ  $C_5$  จึงมีค่าสูงกว่าแหล่งจ่าย



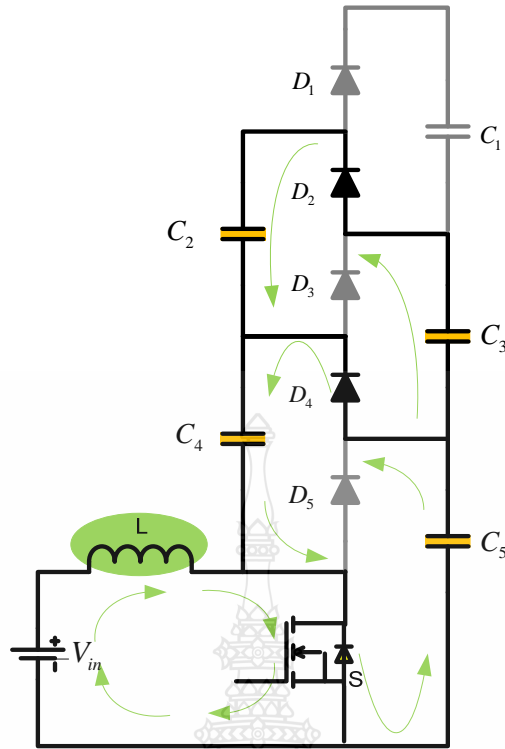
รูปที่ 2.13 การทำงานของวงจรทบระดับแรงดันไฟฟ้าหลายระดับช่วงที่ (ค)

เมื่อสวิตช์อิเล็กทรอนิกส์ได้รับสัญญาณกระตุ้นให้นำกระแสอีกครั้ง ในไซเคิลถัดไป สวิตช์อิเล็กทรอนิกส์จะกลับมาอยู่ในสถานะนำกระแส ดังในรูปที่ 2.13 จะเกิดการเก็บสะสมพลังงานในตัวเหนี่ยวนำอีกครั้ง เช่นเดียวกับที่แสดงในรูปที่ 2.11 ขณะเดียวกันแรงดันไฟฟ้าที่เก็บอยู่ในตัวเก็บประจุ  $C_5$  จะคายประจุผ่านไดโอด  $D_4$  ในลักษณะไบแอสไปหน้า อดประจุยังตัวเก็บประจุ  $C_4$  เนื่องจากแรงดันไฟฟ้าที่ตกคร่อมตัวเก็บประจุ  $C_4$  มีค่าต่ำกว่า ทำให้แรงดันไฟฟ้าที่ตกคร่อมตัวเก็บประจุ  $C_5$  มีค่าลดลง



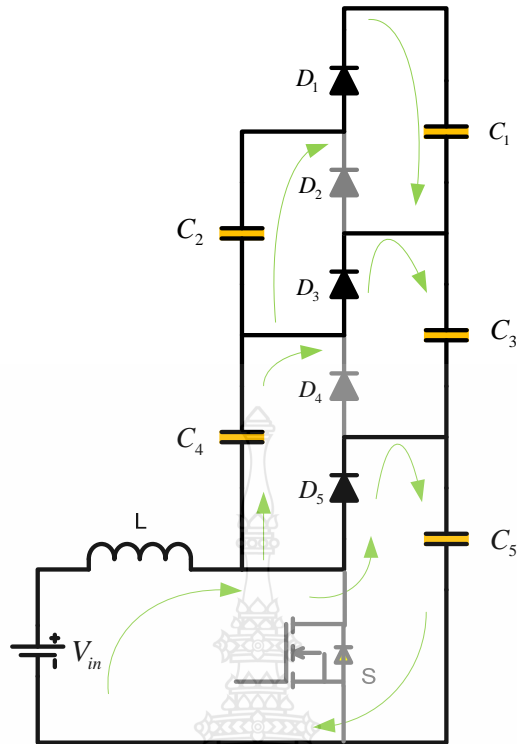
รูปที่ 2.14 การทำงานของวงจรทบระดับแรงดันไฟฟ้าหลายระดับช่วงที่ (ง)

เมื่อสวิตช์อิเล็กทรอนิกส์ได้รับสัญญาณกระตุ้นให้หยุดนำกระแส ในช่วงครึ่งไซเคิลถัดไป ดังในรูปที่ 2.14 ตัวเหนี่ยวนำจะคายพลังงานออกมาในรูปแรงดันไฟฟ้าเสริมกับแรงดันไฟฟ้าจากแหล่งจ่าย ไหลผ่านไดโอด  $D_5$  อัดประจุสะสมยังตัวเก็บประจุ  $C_5$  อีกครั้ง เช่นเดียวกับในรูปที่ 2.12 ขณะเดียวกันแรงดันจากแหล่งจ่ายและแรงดันที่เกิดในตัวเหนี่ยวนำจะเสริมกับแรงดันที่ตกคร่อมอยู่ในคาปาซิเตอร์  $C_4$  ทำให้ศักย์ไฟฟ้าที่ตัวเก็บประจุ  $C_4$  มีค่าสูงกว่าศักย์ไฟฟ้าที่ตกคร่อมตัวเก็บประจุ  $C_3$  และ  $C_5$  กระแสไฟฟ้าจึงสามารถไหลผ่านไดโอด  $D_5$  ไปอัดประจุยังตัวเก็บประจุ  $C_5$  ได้



รูปที่ 2.15 การทำงานของวงจรระดับแรงดันไฟฟ้าหลายระดับช่วงที่ (ฉ)

เมื่อสวิตช์อิเล็กทรอนิกส์กลับมาทำงานในช่วงนำกระแส ดังในรูปที่ 2.15 จะเกิดการสะสมพลังงานในตัวเหนี่ยวนำและเกิดการถ่ายเทประจุจากตัวเก็บประจุ  $C_5$  ไปยังตัวเก็บประจุ  $C_4$  เช่นเดียวกับรูปที่ 2.13 ขณะเดียวกันแรงดันที่ตกคร่อมระหว่างตัวเก็บประจุ  $C_3$  และ  $C_5$  จะสามารถไหลผ่านไดโอด  $D_2$  ไปอัดประจุให้กับตัวเก็บประจุ  $C_2$  ได้ เนื่องจากศักย์ไฟฟ้าที่ตกคร่อมระหว่าง  $C_3$  และ  $C_5$  มีค่าสูงกว่าแรงดันไฟฟ้าที่ตกคร่อมอยู่ที่ตัวเก็บประจุ  $C_4$  ทำให้ตัวเก็บประจุ  $C_2$  มีประจุไฟฟ้าสะสมอยู่



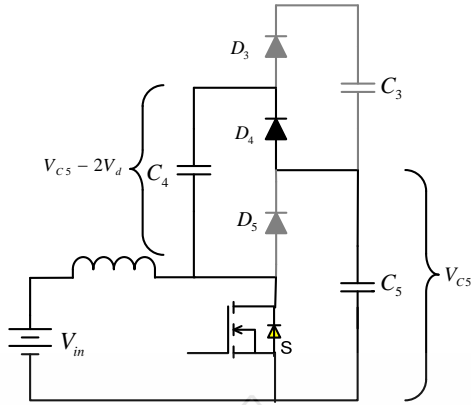
รูปที่ 2.16 การทำงานของวงจรทระดับแรงดันไฟฟ้าหลายระดับช่วงที่ (ข)

เมื่อสวิตช์อิเล็กทรอนิกส์หยุดนำกระแสอีกครั้ง ดังในรูปที่ 2.16 แรงดันไฟฟ้าที่เกิดจากตัวเหนี่ยวนำและแหล่งจ่าย จะอัดประจุยังตัวเก็บประจุ  $C_5$  ค่าแรงดันที่เกิดจากตัวเหนี่ยวนำร่วมกับแหล่งจ่าย จะเสริมกับแรงดันที่ตกคร่อมตัวเก็บประจุ  $C_4$  เกิดการถ่ายเทประจุไปยังตัวเก็บประจุ  $C_3$  ขณะเดียวกันแรงดันที่ตกคร่อมระหว่างตัวเก็บประจุ  $C_4$  และแรงดันที่เกิดจากตัวเหนี่ยวนำกับแหล่งจ่าย จะเสริมให้ศักย์ไฟฟ้าที่ตัวเก็บประจุ  $C_2$  มีค่าสูงกว่าศักย์ไฟฟ้าที่ตกคร่อม  $C_1$ ,  $C_3$  และ  $C_5$  ทำให้ประจุสามารถไหลผ่านไดโอด  $D_1$  ในลักษณะไบแอสไปหน้า อัดประจุให้กับตัวเก็บประจุ  $C_1$  เกิดแรงดันไฟฟ้าตกคร่อมตัวเก็บประจุ  $C_1$  ขึ้น

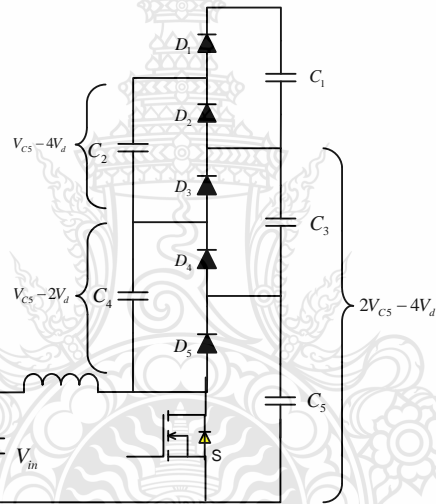
ดังนั้นเมื่อสวิตช์อิเล็กทรอนิกส์ถูกกระตุ้นให้ทำงานแบบต่อเนื่อง แรงดันไฟฟ้าที่ตกคร่อมตัวเก็บประจุจะมีค่าคงที่ สามารถนำแรงดันที่ได้จากการยกกระดบแรงดันสามระดับ ที่ตกคร่อม  $C_1$ ,  $C_3$  และ  $C_5$  ไปใช้ได้

## 2.6 การวิเคราะห์แรงดันตกคร่อมที่สวิตช์และไดโอด

การใช้งานจริงแรงดันที่ตกคร่อมสวิตช์และไดโอดจะต้องนำมาพิจารณา เนื่องจากจะมีการเก็บประจุที่แรงดันในตัวเก็บประจุต่างสุด แรงดันที่ตกคร่อมเพาเวอร์มอสเฟต และไดโอดประมาณ 2 โวลต์ ในพลังงานที่ต่ำมากขนาดเล็ก ซึ่งประมาณปานกลาง และใช้กับไฟแรงสูงหลายร้อยโวลต์ แต่ถ้าเป็นแรงต่ำจะต้องนำมาพิจารณา แรงดันไฟฟ้าที่ตกคร่อมในสวิตช์และไดโอดจะเท่ากับ  $V_d$



รูปที่ 2.17 ขณะ  $C_4$  ชาร์จจะมีแรงดันตกคร่อมที่ไดโอดและสวิตช์



รูปที่ 2.18 ขณะ  $C_2$  ชาร์จจะมีแรงดันตกคร่อมที่ไดโอดและสวิตช์

จากรูปที่ 2.17 และ 2.18 สามารถเขียนสมการที่ผ่าน  $C_4$  ได้ดังนี้

$$V_{C4} = V_{C5} - V_{switch} - V_{Diode}$$

$$V_{C4} = V_{C5} - 2V_d$$

จะสังเกตว่า

$$V_{C3} = V_{C5} - 4V_d \tag{2.9}$$

จะเห็นว่ากระแสที่อัดประจุ อยู่ใน  $C_3$  จะเกิดขึ้นได้ก็ต่อเมื่อ  $D_5$  และ  $C_3$  อยู่ในสถานะนำกระแส กระแสที่  $C_3$  มาจาก ตัวเหนี่ยวนำและแรงดันอินพุท ในรูปที่ 2.18 จะเห็นว่าแรงดันที่ตก

คร่อมระหว่าง  $C_5$  และ  $C_3$  จะเป็นแรงดันที่คร่อมระหว่าง  $C_4$  และ  $C_2$  กับแรงดันที่ตกในไดโอด 2 ตัว แรงดันที่ตกอยู่ในวงจร ขึ้นอยู่กับจำนวนชั้นของวงจรที่เพิ่มขึ้นหลังจาก 2 ชั้นขึ้นไป และแรงดันที่อัดประจุคาปาซิเตอร์ หลังจาก 2 ชั้นขึ้นไป จะมีค่า  $V_{C5} = 4V_d$

## 2.7 หลักการของพลังงานลม [13,14]

พลังงานลม  $E_{wind}$  เป็นพลังงานจลน์ซึ่งเกิดจากการเคลื่อนที่ของมวลอากาศ ดังนั้นอากาศที่มีมวล  $m$  ถูกทำให้เคลื่อนที่ด้วยความเร็ว  $v$  จะก่อให้เกิดพลังงานจลน์

$E_{wind}$  คือพลังงานจลน์

$m$  คือมวล

$v$  คือความเร็ว

$\rho$  คือความหนาแน่นของอากาศ

$A$  คือพื้นที่หน้าตัด

$C_p$  คือค่าสัมประสิทธิ์กำลัง

$C_t$  คือค่าสัมประสิทธิ์แรงบิด

$\lambda$  คืออัตราส่วนความเร็วรอบต่อความเร็วลม

$W_w$  คือพลังงานที่กังหันลมสามารถสกัด

$$E_{wind} = \frac{1}{2}mv^2 \quad (2.10)$$

ถ้าลมเคลื่อนที่ผ่านพื้นที่หน้าตัดใดๆ ( $A$ ) เราสามารถเขียนอัตราการไหลของอากาศเชิงมวลต่อเวลาดังนี้ว่า

$$m = \rho Av \quad (2.11)$$

แทนสมการ (2.10) ใน (2.11) จะได้สมการของพลังงานจลน์ต่อหน่วยเวลา ซึ่งก็คือสมการของกำลังงานลม นั่นเอง

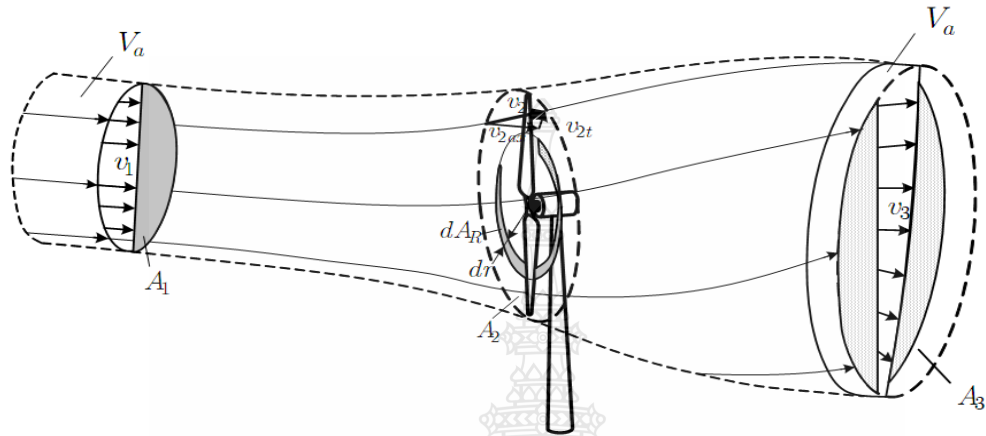
$$P_{wind} = \frac{1}{2}\rho Av^3 \quad (2.12)$$

โดย  $\rho$  คือความหนาแน่นของอากาศ ( $\approx 1.25 \text{ kg/m}^3$  ที่อุณหภูมิ  $20^\circ \text{C}$ )

จากรูปที่ 2.19 พลังงานลมที่สกัดได้จากปริมาตรของอากาศ  $V_a$  ซึ่งมีพื้นที่หน้าตัด  $A_1$  และมีความเร็วลม  $v_1$  เมื่อเคลื่อนที่ผ่านกังหันลมทำให้ความเร็วลมถูกเปลี่ยนเป็น  $v_3$  ซึ่งเห็นได้ว่า

ขนาดพื้นที่หน้าตัด  $A_3$  ถูกขยายขึ้นเมื่อ  $V_a$  เคลื่อนที่ผ่านกังหัน สามารถเขียนสมการพลังงานที่กังหัน  
 ลมสามารถสกัดได้ดังนี้

$$W_w = V_a \frac{\rho}{2} (v_1^2 - v_3^2) \quad (2.13)$$



รูปที่ 2.19 ปริมาตรการไหลของอากาศที่ไหลผ่านกังหันลม

จะได้สมการของพลังงานที่กังหันลมสามารถสกัดต่อหน่วยเวลา

$$P_{turb} = V_a \frac{dW_w}{dt} = d \frac{V_a \rho}{2} \frac{(v_1^2 - v_3^2)}{dt} \quad (2.14)$$

ปริมาตรการไหลของอากาศในพื้นที่หน้าตัดของกังหันลม

$$\frac{dV_a}{dt} = A_{turb} v_2 \quad (2.15)$$

ฉะนั้นจะได้

$$P_{turb} = A_{turb} \frac{\rho}{2} (v_1^2 - v_3^2) v_2 \quad (2.16)$$



ปริมาณกำลังงานที่กังหันลมสามารถสกัดได้ ขึ้นอยู่กับขนาดพื้นที่หน้าตัดของกังหันลม  $A_{turb}$  ความเร็วลม และลักษณะของใบของกังหันลม ตามทฤษฎีของเบทซ์ (Betz) กำลังงานสูงสุดที่กังหันลมสกัดได้คือ

$$P_{turb}^{max} = \frac{16}{27} A_{turb} \frac{\rho}{2} v_1^3 \quad (2.17)$$

โดยมีความสัมพันธ์ความเร็วลม

$$v_2 = \frac{3}{2} v_1 \quad \text{และ} \quad v_3 = \frac{1}{3} v_1 \quad (2.18)$$

$C_p$  เป็นค่าสัมประสิทธิ์กำลังซึ่งเป็นตัวบ่งชี้ถึงสัดส่วนของกำลังงานที่กังหันลมสามารถนำมาใช้ประโยชน์ได้ โดยที่กราฟคุณลักษณะเป็นคุณสมบัติเฉพาะของใบพัด

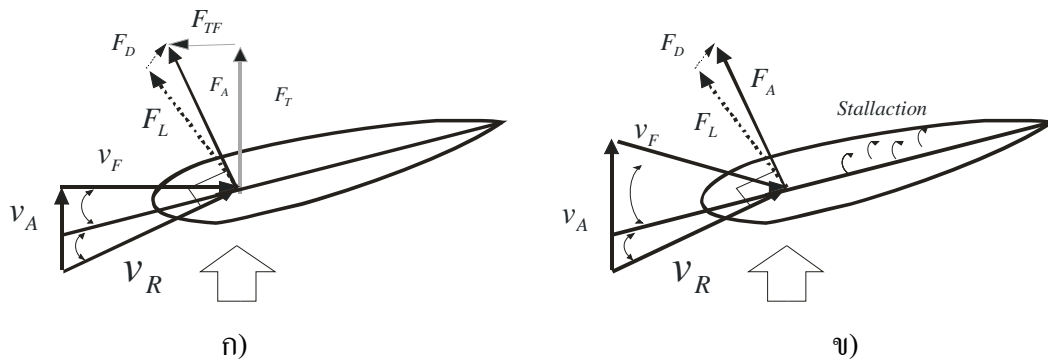
$$C_p = \frac{P_{turb}}{P_{Wind}} \quad (2.19)$$

จากสมการที่ 2.16 ซึ่งจะได้กำลังงานของลมที่ผ่านกังหัน แต่กำลังงานที่กังหันลมสกัดได้จริงนั้นจะแปรผันตาม ค่าสัมประสิทธิ์กำลัง  $C_p$  ด้วย เพราะฉะนั้นสมมติให้กังหันมีพื้นที่หน้าตัดที่รับลมเป็นวงกลม สมการกำลังอากาศพลศาสตร์ (Aerodynamic Power,  $P_a$ ) จะเป็นดังนี้

$$P_a = \frac{\rho}{2} \pi R^2 v^3 C_p \quad (2.20)$$

## 2.8 ช่วงการทำงานของกังหันลม

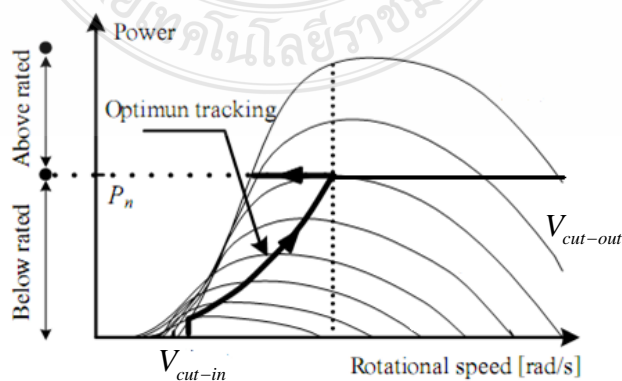
ช่วงการทำงานของกังหันลม ปัจจัยที่เป็นตัวกำหนดว่า กังหันลมจะเริ่มและหยุดทำงานเมื่อใด ก็คือพลังงานที่กังหันได้รับจากลมในขณะนั้นนั่นเอง



รูปที่ 2.20 ก) กังหันทำงานตามปกติ  
ข) กังหันเกิดปรากฏการณ์สตอล

ปรากฏการณ์สตอล[13,14] เป็นปรากฏการณ์ทางอากาศพลศาสตร์อย่างหนึ่ง ที่เกิดขึ้นกับวัตถุที่วางอยู่ในทางไหลของอากาศ เช่น ใบพัดกังหัน โดยจะทำให้อากาศที่กำลังไหลผ่านวัตถุทั้งด้านบนและด้านล่างนั้น เกิดการแยกตัวออกจากกัน ส่งผลให้แรงยกลดลง ถ้าปีกเครื่องบินเกิดการสตอล เครื่องบินจะตก แต่สำหรับใบพัดกังหันนั้น สามารถนำปรากฏการณ์นี้มาใช้ประโยชน์ในการจำกัดพลังงานได้ ซึ่งพบว่าปรากฏการณ์สตอลนี้ จะเกิดขึ้นเมื่อมุมกระทบ มีขนาดเพิ่มขึ้นจนถึงค่า ๆ หนึ่ง

โดยปกติใบกังหันลมจะยังไม่เริ่มรับลมจนกว่าพลังงานที่ได้รับจะมีค่ามากเพียงพอและจะหยุดรับพลังงานที่ได้รับมีค่ามากเกินไป อันเนื่องมาจากพลังงานแปรผันตามความเร็วลมที่กระทำต่อใบกังหันเมื่อลมมีความเร็วอยู่ในช่วงที่เรียกว่าความเร็วลมต่ำกว่าพิกัดซึ่งกำลังที่ผลิตได้จะแปรผันกับความเร็วลมกำลังสาม แต่เมื่อลมมีความเร็วอยู่ในช่วงที่  $V_{cut-out}$  จะเรียกช่วงนี้ว่าความเร็วลมสูงกว่าพิกัดซึ่งกำลังที่ผลิตได้จะต้องถูกจำกัดให้มีค่าใกล้เคียงกับค่าพิกัดกำลัง โดยใช้วิธีจำกัดพลังงานทางอากาศพลศาสตร์ แบบใดแบบหนึ่ง ระหว่างแบบควบคุมให้เกิดปรากฏการณ์การสตอล กับวิธีการปรับมุมพิช สำหรับงานวิจัยนี้จะสนใจเฉพาะกังหันแบบปรับความเร็วได้ ซึ่งใช้วิธีจำกัดพลังงานแบบสตอล



รูปที่ 2.21 การทำงานของกังหันลม

จากรูปที่ 2.21 จะเห็นได้ว่าในช่วงที่ความเร็วลมมีค่าน้อยกว่า  $V_{cut-in}$  จะทำให้กังหันไม่ทำงาน เช่นเดียวกันกับ ช่วงที่ ความเร็วลมมีค่าสูงเกินไปซึ่งอาจทำให้กังหันเกิดความเสียหายได้ กังหันจะถูกสั่งให้หยุดทำงานทันที กังหันจะทำงานเมื่อความเร็วลมมีค่ามากกว่า  $V_{cut-in}$  ถ้าลมมีความเร็วอยู่ในช่วง Optimum Tracking โดยที่พลังงานที่สกัดได้จะอยู่ที่ 100 % คือค่าที่คำนวณไว้แล้ว ว่าเมื่อลมมีความเร็วเท่ากับค่า ดังกล่าว กำลังที่สกัดได้จะมีค่าเท่ากับพิกัดกำลังพอดี

โดยกังหันที่มีขนาดและลักษณะของใบพัดต่างกันก็จะมีกราฟคุณลักษณะต่างกันด้วย ดังนั้นจึงแสดงสมการกำลังที่กังหันสกัดได้จากลมนดังสมการที่ 2.21

$$P_a = \frac{P}{2} \pi R^2 v^3 C_p(v, \omega, \beta) \quad (2.21)$$

ในที่นี้พิจารณาเฉพาะกังหันลมที่ไม่มีการปรับมุมพิช ดังนั้นที่มุมพิชคงที่ค่าหนึ่ง  $C_p$  จะขึ้นอยู่กับ  $v$  และ  $\omega$  เท่านั้น ถ้ากำหนดให้  $\lambda$  คือ อัตราส่วนความเร็วรอบต่อความเร็วลม (Tip Speed Ratio) ซึ่งนิยามตามสมการที่ 2.22

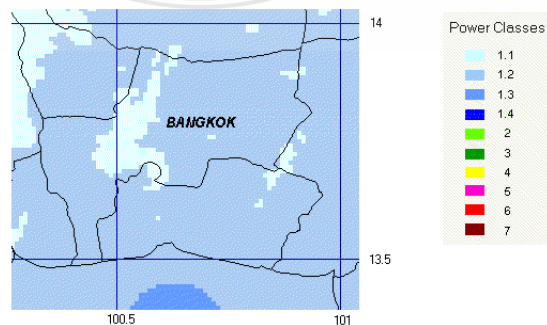
$$\lambda = \frac{\omega R}{v} \quad (2.22)$$

จะได้

$$P_a = \frac{P}{2} \pi R^2 v^3 C_p(\lambda) \quad (2.23)$$

## 2.9 สํารวจและเก็บข้อมูลลม

จากการศึกษาจากแผนที่ศักยภาพพลังงานลมในเขตกรุงเทพ จะทราบถึงปริมาณพลังงานลม บริเวณกรุงเทพดังตารางข้อมูลศักยภาพพลังงานลม กรุงเทพ รวมช่วงลมสงบ-เฉลี่ยรายปี[15] เพื่อนำมาเปรียบเทียบกับ การเก็บข้อมูลความเร็วลมที่วัดได้บริเวณตึกคณะวิศวกรรมศาสตร์ ชั้นที่ 11 มหาวิทยาลัยเทคโนโลยีราชมงคลกรุงเทพ



รูปที่ 2.22 แผนที่ศักยภาพพลังงานลม กรุงเทพ รวมช่วงลมสงบ-เฉลี่ยรายปี

ตารางที่ 2.1 ข้อมูลศักยภาพพลังงานลม กรุงเทพ รวมช่วงลมสงบ-เฉลี่ยรายปี

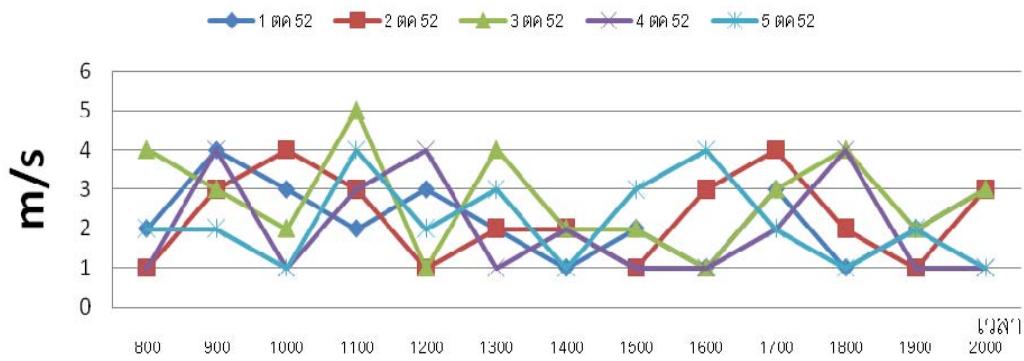
Elevation		THAILAND WIND POWER CLASSES										
		1.1	1.2	1.3	1.4	2	3	4	5	6	7	
10 m	m/s	0	2.8	3.6	4.0	4.4	5.1	5.6	6.0	6.4	7.0	9.4
	W/m <sup>2</sup>	0	25	50	75	100	150	200	250	300	400	1,000
30 m	m/s	0	3.3	4.1	4.7	5.2	5.9	6.5	7.0	7.4	8.2	11.0
	W/m <sup>2</sup>	0	40	80	120	160	240	320	400	480	640	1,600
50 m	m/s	0	3.6	4.4	5.1	5.6	6.4	7.0	7.5	8.0	8.8	11.9
	W/m <sup>2</sup>	0	50	100	150	200	300	400	500	600	800	2,000

ตารางที่ 2.2 สถานที่เก็บข้อมูลความเร็วลม

สถานที่	ตึกคณะวิศวกรรมศาสตร์ มหาวิทยาลัยเทคโนโลยีราชมงคลกรุงเทพ
ระดับความสูง	ชั้นที่ 11 ประมาณ 30 เมตร
ช่วงเวลา	09.00 - 19.00 น.
ระหว่างวันที่	5 ตุลาคม 2552 – 9 ตุลาคม 2552
ความถี่การเก็บข้อมูล	1 ชั่วโมง ต่อ ครั้ง



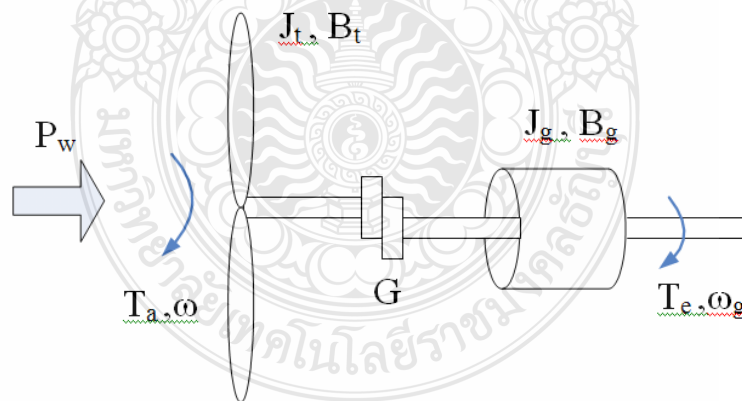
รูปที่ 2.23 ติดตั้งเครื่องวัดความเร็วลมที่ชั้น 11 ตึกคณะวิศวกรรมศาสตร์ มหาวิทยาลัยเทคโนโลยีราชมงคลกรุงเทพ



รูปที่ 2.24 ผลการวัดความเร็วลมที่วัดได้จริง ณ.ชั้น11 ตึกคณะวิศวกรรมศาสตร์มหาวิทยาลัยเทคโนโลยีราชมงคลกรุงเทพ

จากการเก็บข้อมูลการวัดความเร็วลมจำนวน 5 วัน ทราบว่าความเร็วลมแต่ละวันมีค่าไม่สม่ำเสมอเมื่อคิดเป็นค่าเฉลี่ยประมาณ 3 เมตรต่อวินาที (3m/s) เมื่อนำข้อมูลที่ได้นี้มาเปรียบเทียบกับข้อมูลศักยภาพพลังงานลม กรุงเทพ รวมช่วงลมสงบ-เฉลี่ยรายปี ณ ที่ระดับความสูง 30 เมตร จะทราบว่าความเร็วลมมีค่าที่ใกล้เคียงกันคือที่ ประมาณ 3 เมตรต่อวินาที (3m/s) เช่นกัน

### 2.10 แบบจำลองกังหันลม (Wind Turbine Rotor Model) [13,14]



รูปที่ 2.25 แบบจำลองกังหันลม

สมมติให้อัตราทดเกียร์  $G = 1$  เพราะฉะนั้น  $\omega_g = \omega$  สามารถเขียนสมการไดนามิกของกังหันได้เป็นโดยที่  $J = J_t + J_g$  และ  $B = B_t + B_g$  แปลงให้อยู่ในรูปแบบพีชคณิต

$$T_a - T_e = (JD + B)\omega \quad (2.24)$$

โดยตัวดำเนินการ  $D = \frac{d}{dt}$  แรงบิดอากาศพลศาสตร์  $T_a$  เป็นค่าที่ได้รับผลส่วนหนึ่งจาก  $\omega$  ดังต่อไปนี้

$$P_a = \frac{\rho}{2} \pi R^2 v^3 C_p(\lambda) \quad (2.25)$$

แทนค่าใน  $T_a = \frac{P_a}{\omega}$  จะได้ว่า

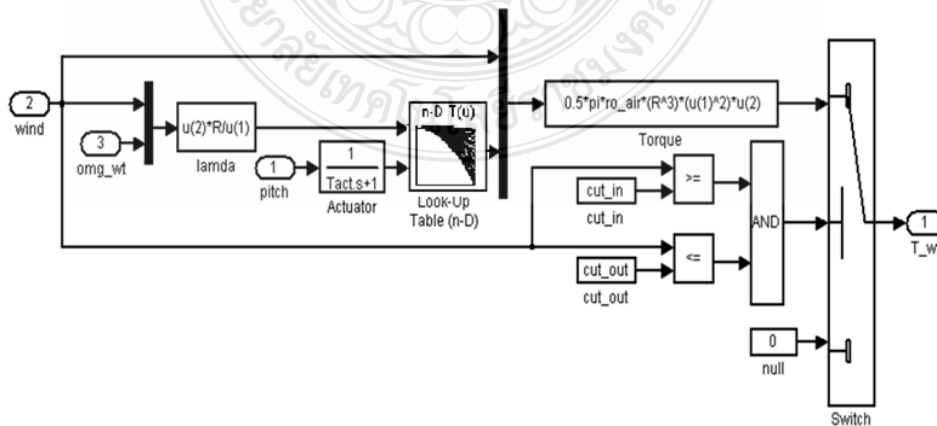
$$T_a = \frac{\rho}{2} \pi R^2 \frac{v^3}{\omega} C_p(\lambda) \quad (2.26)$$

แทนค่าใน  $\omega = \frac{\lambda v}{R}$  จะได้

$$T_a = \frac{\rho}{2} \pi R^3 v^2 \frac{1}{\lambda} C_p(\lambda) = \frac{\rho}{2} \pi R^3 v^2 C_T(\lambda) = \frac{\rho}{2} \pi R^3 v^2 C_T(v, \omega) \quad (2.27)$$

โดยที่ค่าของ  $C_T(\lambda) = \frac{C_p(\lambda)}{\lambda}$  เรียกว่าสัมประสิทธิ์แรงบิด

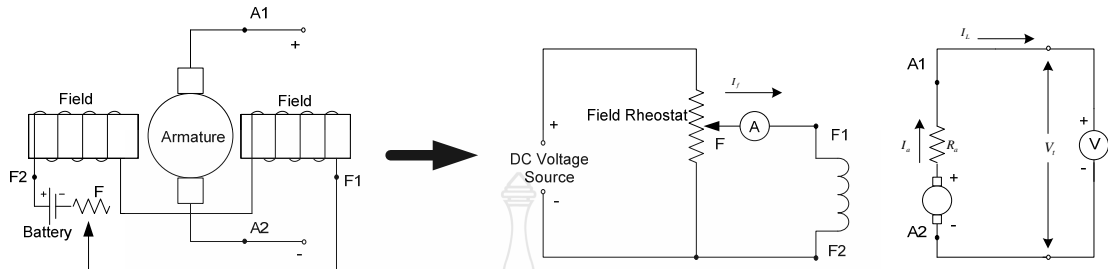
กังหันลมมีอินพุต (Input) คือแรงบิดของกังหันลม มีเอาต์พุตคือ ความเร็วรอบถือว่าลมที่กระทำต่อกังหันคือสัญญาณรบกวน (Disturbance) จึงเขียนบล็อกไดอะแกรมแบบจำลองของกังหันได้



รูปที่ 2.26 บล็อกไดอะแกรมแบบจำลองของกังหันลมนำ Matlab/Simulink ใช้ในการคำนวณ

## 2.11 เครื่องกำเนิดไฟฟ้ากระแสตรงแบบแยกกระตุ้น

เครื่องกำเนิดไฟฟ้าแบบแยกกระตุ้น เป็นเครื่องกำเนิดไฟฟ้าที่ได้รับการกระตุ้นให้เกิดสนามแม่เหล็กจากแหล่งจ่ายภายนอก



รูปที่ 2.27 วงจรภายในของเครื่องกำเนิดไฟฟ้าแบบแยกกระตุ้น

วงจรภายในของเครื่องกำเนิดไฟฟ้าแบบแยกกระตุ้นจะแสดงในรูปที่ 2.27 ซึ่งประกอบด้วย วงจรฟิลด์และวงจรอาร์เมเจอร์แยกจากกัน และเขียนวงจรเทียบเคียงได้ดังรูปที่ 2.27 สำหรับ F ในรูป หมายถึง ฟิลด์รีโอสตัท (Field Rheostat) ซึ่งเป็นความต้านทานที่ปรับค่าได้เพื่อจำกัดกระแสไฟฟ้าที่ไหลผ่านขดลวดฟิลด์ ส่วนแบตเตอรี่หรือแหล่งจ่ายแรงดันไฟฟ้าตรง เป็นแหล่งจ่ายแรงดันไฟฟ้าจากภายนอกทำหน้าที่จ่ายไฟฟ้าเพื่อกระตุ้นสนามแม่เหล็กที่ขดลวดฟิลด์

## บทที่ 3

### วิธีการดำเนินการวิจัย

การออกแบบวงจรทระดับแรงดันไฟฟ้าแบบสามระดับสำหรับกักเก็บพลังงานวิจัยนี้ได้แบ่งออกเป็น 2 ส่วน ซึ่งประกอบไปด้วย ส่วนต่างดังนี้

- 1) วงจรทระดับแรงดันไฟฟ้าแบบสามระดับ (เครื่องทดสอบ)
- 2) เครื่องจำลองกักเก็บด้วยมอเตอร์เหนี่ยวนำที่มีการควบคุมและแสดงผลด้วยอินเทอร์เฟซการ์ด dSPACE เพื่อเป็นต้นกำลังแทนกักเก็บจริง

#### 3.1 ขั้นตอนการดำเนินการวิจัย

การดำเนินการวิจัยวงจรทระดับแรงดันไฟฟ้าแบบสามระดับสำหรับกักเก็บพลังงานนั้นจะประกอบไปด้วยขั้นตอนการวางแผนการดำเนินงานดังนี้

##### 3.1.1 วางแผนการดำเนินงาน

การวางแผนการดำเนินการ เริ่มต้นจากการศึกษารวบรวมข้อมูลวงจรทระดับแรงดันไฟฟ้า จากงานวิจัยต่างๆ ดังที่กล่าวแล้วในบทที่ 2 เพื่อเป็นแนวทางการออกแบบวงจรทระดับแรงดันไฟฟ้า เมื่อได้รูปแบบหรือโครงสร้างที่ต้องการแล้วจึงทำการจำลองการทำงานต่อไป

##### 3.1.2 การจำลองการทำงานวงจรทระดับแรงดันไฟฟ้าและจำลองกักเก็บ

วงจรทระดับแรงดันไฟฟ้าจะถูกจำลองการทำงาน ด้วยโปรแกรม Orcad/Pspice เพื่อหาคุณลักษณะต่างๆ เช่น ค่าตัวเหนี่ยวนำ ค่าตัวเก็บประจุไฟฟ้า ใดโอด เมื่อได้คุณลักษณะตามที่ต้องการแล้ว จึงสร้างวงจรทระดับแรงดันไฟฟ้าแบบสามระดับตามที่จำลอง แล้วจึงนำวงจรที่สร้างเสร็จแล้ว ไปทำการวัดการทำงานจริง เพื่อเปรียบเทียบที่ได้จากการจำลอง และในส่วนเครื่องจำลองกักเก็บจะถูกจำลองการทำงาน ด้วยโปรแกรม Matlab/Simulink เพื่อหาคุณลักษณะต่างๆ เช่น ขนาด ไบ ความเร็วลม ความแปรปรวนของลม เมื่อได้คุณลักษณะตามที่ต้องการแล้ว จึงสร้างเครื่องจำลองกักเก็บด้วยมอเตอร์เหนี่ยวนำที่มีการควบคุมและแสดงผลด้วยอินเทอร์เฟซการ์ด dSPACE เสร็จแล้วส่งกำลังไปขับเครื่องกำเนิดไฟฟ้ากระแสตรงเพื่อเป็นอินพุตให้วงจรทระดับแรงดันไฟฟ้าต่อไป

##### 3.1.3 การวัดคุณลักษณะของวงจรทระดับแรงดันไฟฟ้าที่ออกแบบ

จากการจำลองการทำงานของวงจรทระดับแรงดันไฟฟ้าที่ออกแบบจนได้คุณลักษณะตามต้องการแล้ววงจรทระดับแรงดันไฟฟ้าจะถูกสร้างขึ้น โดยมีขนาดเดียวกันกับวงจรทระดับแรงดันไฟฟ้าที่ได้จากการจำลอง วงจรที่ถูกสร้างขึ้นนี้จะถูกไปวัดหาคุณลักษณะต่างๆ เช่น ระดับแรงดันที่เปลี่ยนแปลงแต่ละระดับ

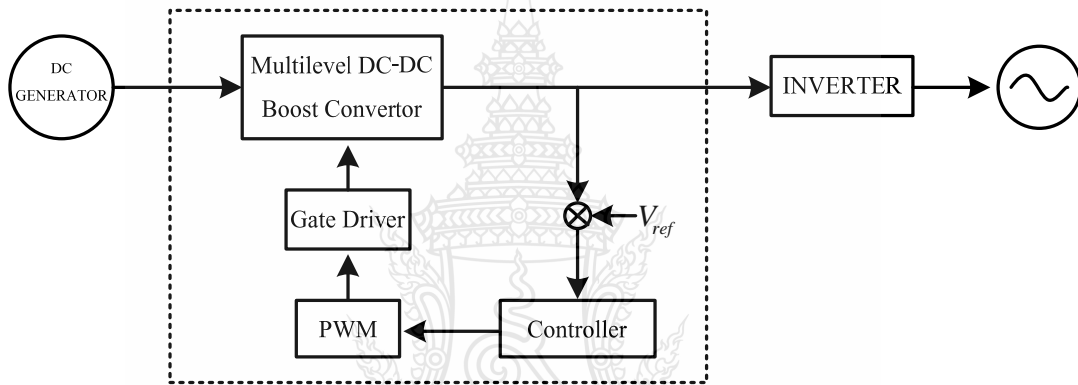


### 3.1.4 การวิเคราะห์ผล

ทำการเปรียบเทียบผลการวัดจริงของวงจรทระดับแรงดันไฟฟ้าที่ออกแบบ กับผลที่ได้จากการจำลองด้วยโปรแกรม Orcad/Pspice แล้วนำวงจรที่สร้างขึ้นไปต่อร่วมกับเครื่องกำเนิดไฟฟ้ากระแสตรงที่ส่งกำลังจากเครื่องจำลองกักั้นลม แล้ววิเคราะห์ผล ดังจะได้อกล่าวในบทที่ 4 จากนั้นจะสรุปผล ดังจะกล่าวในบทที่ 5

## 3.2 โครงสร้างของวงจรทระดับแรงดันไฟฟ้าแบบสามระดับ

โครงสร้างโดยรวมของวงจรทระดับแรงดันไฟฟ้าแบบสามระดับสำหรับกักั้นลมจะประกอบไปด้วยสองส่วนหลัก คือ ชุดวงจรกำลังและชุดวงจรควบคุม



รูปที่ 3.1 โครงสร้างวงจรทระดับแรงดันไฟฟ้าแบบสามระดับ

จากรูปที่ 3.1 จะแสดงให้เห็นลักษณะโครงสร้างการทำงานของวงจรทระดับแรงดันไฟฟ้าแบบสามระดับโดยจะมีขบวนการทำงานดังนี้

3.2.1 เครื่องกำเนิดไฟฟ้ากระแสตรง จะเป็นต้นกำเนิดแรงดันไฟฟ้าอินพุตให้วงจรทระดับแรงดันไฟฟ้า โดยประมาณ 50 โวลต์ โดยอาศัยการส่งกำลังจากมอเตอร์เหนี่ยวนำในการขับ

3.2.2 วงจรทระดับแรงดันไฟฟ้าแบบสามระดับรับอินพุตจากเครื่องกำเนิดไฟฟ้ากระแสตรง เพื่อทำการเปลี่ยนแปลงแรงดันไฟฟ้าให้เพิ่มสูงขึ้นในแต่ละระดับ

3.2.3 วงจรขับนำเกตและควบคุม เป็นชุดควบคุมการสวิตช์ของมอสเฟต ซึ่งจะใช้อิซีเบอร์ UC3824 ในการกำเนิดสัญญาณพัลส์และควบคุมการทำงาน

3.2.4 วงจรป้องกันกลับแรงดันเอาต์พุต จะใช้ในการรักษาระดับแรงดันให้คงที่ ซึ่งจะทำงานควบคู่ไปกับชุดควบคุม โดยอาศัยแรงดันไฟฟ้าอ้างอิง เพื่อให้แรงดันเอาต์พุตมีลักษณะคงที่

3.2.5 อินเวอร์เตอร์ 220 โวลต์ 50 Hz ที่จะต่อใช้งาน

### 3.3 วงจรทบทระดับแรงดันไฟฟ้าหลายระดับแบบคาสเคด [12]

#### 3.3.1 การออกแบบวงจรทบทระดับแรงดันไฟฟ้าหลายระดับแบบคาสเคด

ในงานวิจัยนี้ใช้วงจรทบทระดับแรงดันไฟฟ้าเบื้องต้นมายกระดับแรงดันไฟฟ้าเป็นขั้นๆ ให้สูงขึ้นตามที่ได้จำลองจากโปรแกรม Orcad/Pspice เมื่อแรงดันไฟฟ้าด้านเอาต์พุต มีแรงดันกระเพื่อมเล็กน้อยที่ความถี่สวิทช์สามารถลดได้ด้วยการเลือกค่าของตัวเก็บประจุที่ถูกต้อง ซึ่งขั้นตอนการออกแบบสามารถใช้อ้างอิงในรูปที่ 3.2 วงจรทบทระดับแรงดันไฟฟ้าหลายระดับ ก) และ ข) ซึ่งแสดงสถานการณ์สวิทช์ได้ดังรูปที่ 3.2 ค) แสดงแรงดันกระเพื่อมที่ตัวเก็บประจุ  $V_1$  ที่ตกคร่อม  $C_1$  ค่าคิวดีไซเคิลที่ 0.5 เริ่มต้นด้วยสวิทช์เปิดวงจร  $C_2$  จะถ่ายโอนพลังงานไปที่ตัวเก็บประจุ  $C_3$  และ  $C_1$  ในสภาวะประจุที่ครึ่งไซเคิลหลัง ตัวเก็บประจุ  $C_1$  จะมีแรงดันสูงกว่า  $C_2$  เมื่อตัวเก็บประจุ  $C_1$  ประจุตัวเก็บประจุ  $C_2$  ผ่าน  $d_2$  จะได้แรงดันไฟฟ้าเดียวกันคือ

$$V_{1ac} = V_{2ac} = \frac{V_{1bc} C_1 + V_{2bc} C_2}{C_1 + C_2} \quad (3.1)$$

เมื่อ แรงดัน  $V_{1ac}$  คือแรงดัน  $V_1$  หลังจากสวิทช์ปิดวงจร

แรงดัน  $V_{1bc}$  คือแรงดัน  $V_1$  ก่อนการสวิทช์

เมื่อ  $C_2$  ไม่สามารถส่งผ่านพลังงานไปที่โหลดได้ แรงดันไฟฟ้าจะคงที่ตลอดช่วงครึ่งไซเคิลถัดมา ตัวเก็บประจุ  $C_1$  และ  $C_3$  จะมีแรงดันไฟฟ้าตกคร่อมจากด้านโหลด ซึ่งแรงดันตกคร่อม  $\Delta_{V1}$  ในรูปที่ 3.2 ค) สามารถเขียนสมการได้ดังนี้

$$\Delta_{V1} = \Delta_{V12} = \frac{1}{C_1} I_{OUT} \Delta_{t1} = \frac{1}{C_2} I_{OUT} \Delta_{t1} \quad (3.2)$$

ในช่วงเวลา  $\Delta_{t1}$  ตัวเก็บประจุ  $C_1$  และ  $C_3$  จะต่ออนุกรมกับโหลดและตัวเก็บประจุ  $C_2$  จะเก็บพลังงานเพื่อจะคายพลังงานไปที่  $C_3$  ในช่วงเวลา  $\Delta_{t3}$  เมื่อสวิทช์เปิดวงจร ในช่วงเวลา  $\Delta_{t2}$  จะสามารถแบ่งเป็นสองช่วงคือ  $\Delta_{t3}$  และ  $\Delta_{t4}$  เมื่อสวิทช์เปิดวงจรตัวเก็บประจุ  $C_2$  จะมีแรงดันสูงกว่าแรงดันที่ตัวเก็บประจุ  $C_3$  และ  $C_2$  เมื่อคายประจุ เมื่อตัวเก็บประจุ  $C_3$  ทำการประจุจนได้สมการแรงดัน

$$\Delta_{V4} = \frac{1}{C_2} I_L \Delta_{t3} \quad (3.3)$$

และแรงดันกระเพื่อม  $\Delta_{V2}$  ที่ตัวเก็บประจุ  $C_3$  สามารถเขียนได้คือ

$$\Delta_{V4} = \frac{1}{C_2} (I_L - I_{OUT}) \Delta_{t3} \quad (3.4)$$

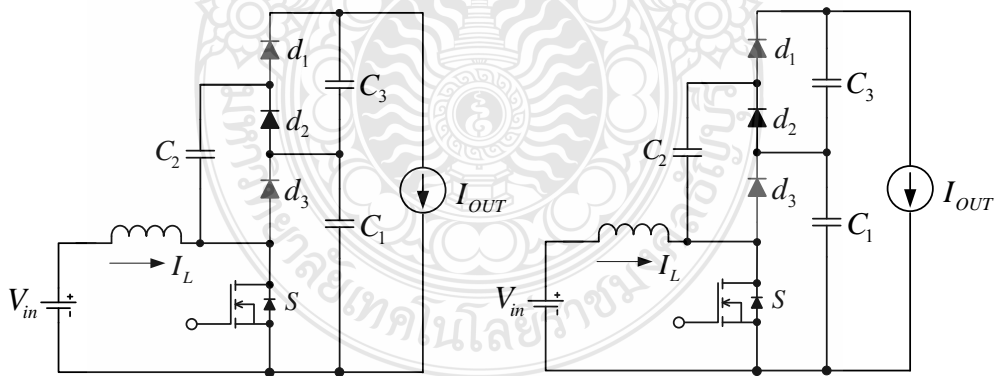
หลังจากนั้นตัวเก็บประจุทั้งสองจะขนานและอนุกรมอยู่กับ  $C_1$  โดยแรงดันตกคร่อมกระเพื่อม  $\Delta_{V3}$  สามารถเขียนได้ดังสมการคือ

$$\Delta_{V3} = \frac{1}{C_2} \left( \frac{I_{OUT}}{2} \right) \Delta_{t4} = \frac{1}{C_3} \left( \frac{I_{OUT}}{2} \right) \Delta_{t4} \quad (3.5)$$

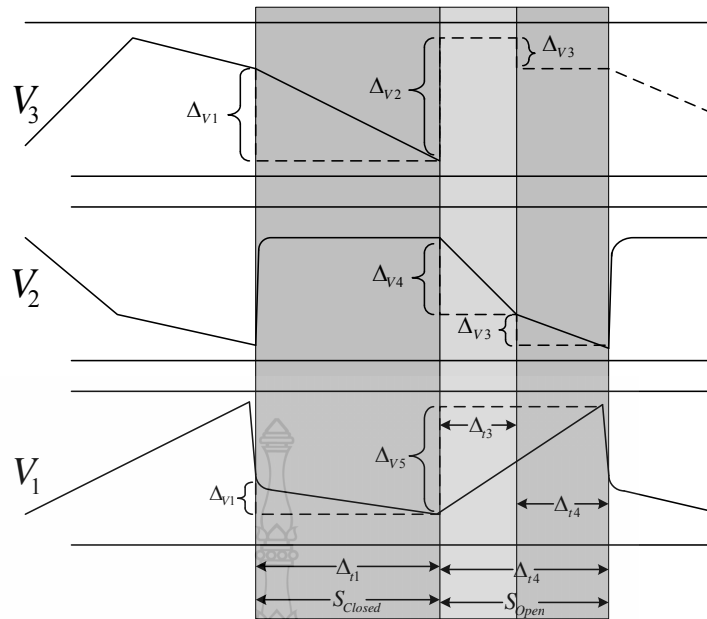
และแรงดันกระเพื่อม  $\Delta_{V5}$

$$\Delta_{V5} = \frac{1}{C_1} (I_L - I_{OUT}) \Delta_{t2} = \frac{1}{C_1} (I_L - I_{OUT}) (\Delta_{t3} + \Delta_{t4}) \quad (3.6)$$

แรงดันเอาต์พุต  $V_1$  รวมกับแรงดัน  $V_3$  จะได้แรงดันกระเพื่อมรวมที่ตัวเก็บประจุ  $C_1$  และ  $C_3$  ตามสมการที่ 3.1 – 3.6 ซึ่งความถี่สวิตช์ซึ่งสามารถคำนวณจากกระแสที่ตัวเหนี่ยวนำเหมือนกับวงจรแปลงผันแบบทบระดับแรงดันไฟฟ้าแบบเบื่องต้น



(ก) วงจรสมมูลในสถานะสวิตช์ปิด (ON)    (ข) วงจรสมมูลในสถานะสวิตช์เปิด (OFF)



(ค) แรงดันกระแสที่ตัวเก็บประจุในแต่ละช่วง

รูปที่ 3.2 วงจรทบทระดับแรงดันไฟฟ้าหลายระดับ(2 สถานะ)

ตารางที่ 3.1 เปรียบเทียบวงจรแปลงผันแต่ละแบบ

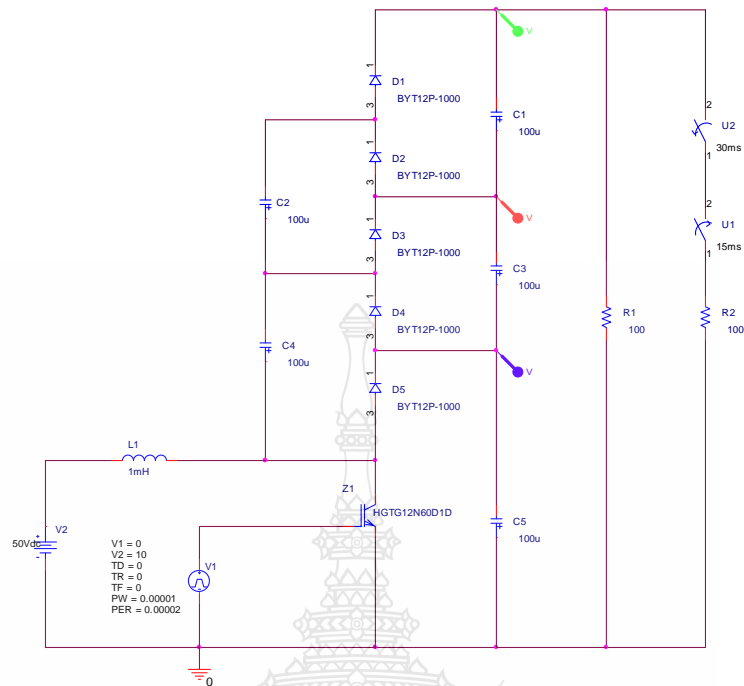
วงจรแปลงผัน	ตัวเหนี่ยวนำ	ตัวเก็บประจุ	อุปกรณ์สวิตช์	ไดโอด	อัตราขยายแรงดัน	แรงดันตกคร่อมสวิตช์
SCBS	1	3	3	5	$(3 - 2xD)/(1 - D)$	$V_{OUT}$
QBC	2	2	3	3	$1/(1 - D)^2$	$V_{OUT}$
2x MBC	1	3	3	3	$2/(1 - D)$	$V_{OUT} / 2$

SCBS = Switched Capacitor With Boost State (วงจรบัสแบบสวิตช์คาปาซิเตอร์)

QBC = Quadratic Boost Converter (วงจรบัสแบบครอดาคติก)

2x MBC = Multilevel Boost Converter (วงจรบัสแบบหลายระดับ(2สถานะ))

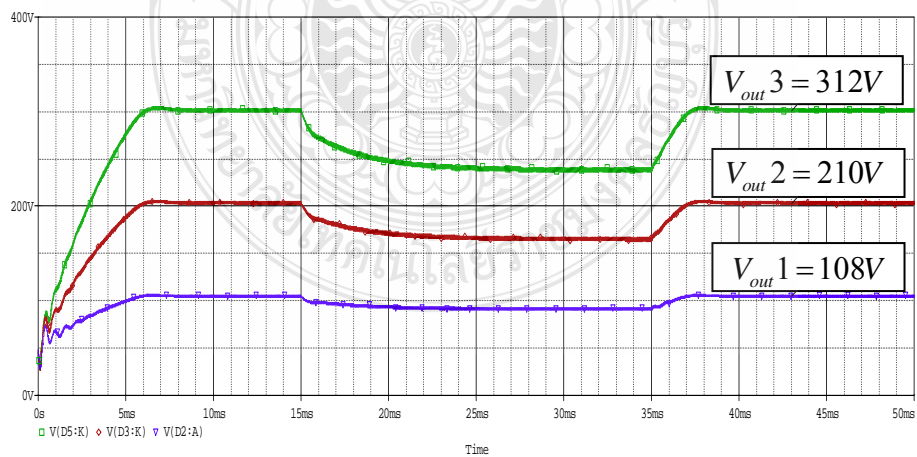
### การจำลองโปรแกรม Orcad/Pspice



รูปที่ 3.3 การจำลองวงจรทระดับแรงดันไฟฟ้าแบบสามระดับ

ผลจำลองวงจรทระดับแบบสามระดับแสดงระดับแรงดันสภาวะอยู่ตัวที่ได้ในแต่ละระดับ

จำนวน 3 ระดับ ใช้  $C = 100 \mu F$



รูปที่ 3.4 ผลจำลองวงจรทระดับแรงดันไฟฟ้าแบบสามระดับแบบวงเปิด

### 3.3.1.1 การคำนวณหาค่าตัวเหนี่ยวนำความถี่สูง

ในวงจรทบทระดับแรงดันไฟฟ้าตัวเหนี่ยวนำเป็นอุปกรณ์ที่สำคัญมาก เนื่องจากมีหน้าที่ในการเก็บและคายพลังงาน เป็นผลให้ระดับแรงดันไฟฟ้าด้านเอาต์พุตมีค่าสูงกว่าระดับแรงดันไฟฟ้าด้านอินพุต การคำนวณหาค่าตัวเหนี่ยวนำสามารถหาได้จากสมการที่ 3.7

$$L = \frac{V_s D}{f \Delta i_L} \quad (3.7)$$

เมื่อ  $L$  คือ ค่าตัวเหนี่ยวนำ  
 $V_s$  คือ แรงดันอินพุต  
 $D$  คือ ดิวตี้ไซเคิล  
 $f$  คือ ความถี่ที่ใช้ในวงจร  
 $\Delta i_L$  คือ กระแสกระแสเพื่อทางอินพุต

แทนค่าในสมการที่ 3.7 เพื่อหาค่าตัวเหนี่ยวนำ เมื่อ  $V_s$  คือแรงดันอินพุตมีค่าเท่ากับ 50 โวลต์

$$L = \frac{50 \times 0.5}{50 \times 10^3 \times 0.5} = 1mH$$

เมื่อได้ค่าของตัวเหนี่ยวนำแล้วจะหาขนาดของแกนที่ใช้โดยเลือกชนิดแกนเป็นแกนเฟอร์ไรต์ เพราะมีค่าสูญเสียต่ำเมื่อทำงานที่ความถี่สูง การคำนวณขนาดใช้วิธีคำนวณแบบ  $A_p$  (Area Approach) วิธีนี้เป็นการออกแบบเพื่อใช้ค่า  $T_{rise}$  ซึ่งอยู่ในรูปของความหนาแน่นกระแสของลวดตัวนำ โดยคำนวณหาขนาดของแกนเฟอร์ไรต์ดังนี้

**ขั้นตอนที่ 1** จากขีดจำกัดและข้อกำหนดในการคำนวณหา  $A_p$  ในการกำหนดค่าต่างๆดังนี้  $J = 4A / mm^2 = 4 \times 10^6 A / m^2$ ,  $k = 0.45$  กระแสอินพุต ( $I_{rms}$ ) = 7.071 กระแสอินพุตสูงสุด ( $I_{peak}$ ) = 10A และ  $B = 0.25$  แทนค่าลงในสมการที่ 3.8

$$A_p = \frac{LI_{peak} I_{rms}}{BJK} \quad (3.8)$$

$$= \frac{1 \times 10^{-3} \times 10 \times 7.071}{0.25 \times 4 \times 10^6 \times 0.45}$$

$$= 1571.33 \times 10^{-9}$$

$$= 1571333.33 \text{ mm}^3$$

**ขั้นตอนที่ 2** เลือกขนาดของแกนเฟอไรต์ที่มีค่า  $A_p$  มากกว่าที่ได้คำนวณจากขั้นตอนที่ 1 เนื่องจากถ้าเลือก  $A_p$  น้อยกว่าที่คำนวณได้อาจจะทำให้ไม่ได้ค่าต่างๆ ตามต้องการ โดยจะเลือกใช้แกนเฟอไรต์เบอร์ UF160 ซึ่งมีค่าต่างๆดังนี้

$$A_p = 1103300 \text{ mm}^3, A_w = 1526 \text{ mm}^2, S = 723 \text{ mm}^2$$

**ขั้นตอนที่ 3** กำหนดให้  $L = 1 \text{ mH}$ ,  $I_{peak} = 10 \text{ A}$ ,  $B = 0.25$  และ  $S = 723 \text{ mm}^2$  แทนค่าเพื่อหาจำนวนรอบของขดลวดตัวเหนี่ยวนำจะได้ ดังนี้

$$N = \frac{LI_{peak}}{BS} \quad (3.9)$$

$$= \frac{1 \times 10^{-3} \times 10}{0.25 \times 723 \times 10^{-6}}$$

$$= 55 \text{ รอบ}$$

**ขั้นตอนที่ 4** คำนวณหาขนาดของขดลวดตัวนำ  $A_w$

$$A_w = \frac{I_{rms}}{J} \quad (3.10)$$

$$= \frac{7.071}{4 \times 10^6 \text{ A/m}^2}$$

$$= 1.767 \text{ mm}^2$$

**ขั้นตอนที่ 5** เลือกเบอร์ลวดทองแดงให้มี  $A_w$  ใหญ่กว่า  $A_w$  ที่ได้จากการคำนวณขั้นตอนที่ 4 โดยคำนวณเส้นผ่านศูนย์กลางของขดลวดได้จากสมการที่ 3.11

$$d = \sqrt{\frac{4A_w}{\pi}} \quad (3.11)$$

$$= \sqrt{\frac{4 \times 1.767 \text{mm}^2}{\pi}}$$

$$= 1.5 \text{mm}$$

ตารางที่ 3.2 พารามิเตอร์ขดลวดทองแดง

หมายเลข AWG	เส้นผ่าน ศูนย์กลาง (mm)	ความต้านทาน ( $\Omega/\text{km}$ )	น้ำหนัก Kg/km	จำนวนรอบ cm
13	1.83	7.99	23.3	27
14	1.63	10.1	18.5	34
15	1.45	12.7	14.7	40

จากตารางที่ 3.2 เลือกขดลวดเบอร์ 14 มีเส้นผ่านศูนย์กลางมากกว่าที่คำนวณได้ เนื่องจากเส้นผ่านศูนย์กลาง มีผลต่อการไหลของกระแสไฟฟ้าในขดลวด ถ้าค่าน้อยกว่าที่คำนวณได้กระแสจะไหลได้ไม่ถึงที่ต้องการ ทำให้กระแสไหลไม่ต่อเนื่อง

ขั้นตอนที่ 6 คำนวณหาพื้นที่หน้าตัดของขดลวดที่ใช้งานจริงว่าสามารถนำไปใช้กับแกนเฟอร์ไรต์ได้หรือไม่

$$A_w = \frac{\pi d^2}{4} \quad (3.12)$$

$$= \frac{\pi(1.5)^2}{4}$$

$$= 1.767 \text{mm}^2$$

$$W = \frac{N \times A_w}{k} \quad (3.13)$$



$$= \frac{55 \times 1.767}{0.45}$$

$$= 215.96 \text{ mm}^2$$

ดังนั้นจะได้  $W$  ที่ใช้ได้จะมีค่า  $\leq 1526 \text{ mm}^2$

ขั้นตอนที่ 7 คำนวณหาค่าความกว้างของ Air Gap ( $l_g$ )

$$l_g = \frac{\mu_o N^2 S}{2L} \quad (3.14)$$

$$= \frac{4\pi \times 10^{-7} \times (55)^2 \times 723 \times 10^{-6}}{2 \times 1 \times 10^{-3}}$$

$$= 1.37 \text{ mm}$$

### 3.3.1.2 การคำนวณหาตัวเก็บประจุด้านเอาต์พุต

วงจรกำลังของวงจรทบทระดับแรงดันไฟฟ้า ตัวเก็บประจุด้านเอาต์พุตของวงจรมีหน้าที่ในการเก็บพลังงานในรูปของประจุไฟฟ้าและทำการจ่ายแรงดันไฟฟ้าออกให้กับเอาต์พุตหรือภาระ (Load) คายประจุไฟฟ้าเมื่ออุปกรณ์สวิตช์  $T_{on}$  และทำการเก็บประจุเมื่ออุปกรณ์สวิตช์  $T_{off}$  ดังนั้นจำเป็นต้องเลือกตัวเก็บประจุที่สามารถทนแรงดันได้เท่าแรงดันเอาต์พุต หากเลือกตัวเก็บประจุที่มีขนาดใหญ่จะมีส่วนช่วยในการลดแรงดันกระเพื่อมทางเอาต์พุต การคำนวณหาตัวเก็บประจุทางด้านเอาต์พุตหาได้จากสมการที่ 3.15

$$C = \frac{I_o D}{f \Delta V_o} \quad (3.15)$$

เมื่อ	$C$	คือ ค่าตัวเก็บประจุ
	$I_o$	คือ กระแสด้านเอาต์พุต
	$D$	คือ ดิวตี้ไซเคิล
	$f$	คือ ความถี่ที่ใช้ในวงจร
	$\Delta V_o$	คือ แรงดันกระเพื่อมทางด้านเอาต์พุต

แทนค่าลงในสมการที่ 3.15 เพื่อหาค่าตัวเก็บประจุทางด้านเอาต์พุต

$$C \geq \frac{2 \times 0.5}{50 \times 10^3 \times 0.2} = 100 \mu F$$

### 3.4 การออกแบบวงจรควบคุม

ในส่วนของวงจรที่ควบคุมการทำงานของวงจรระดับแรงดันไฟฟ้า จะทำหน้าที่ควบคุมให้แรงดันเอาต์พุตคงที่ 311 โวลต์ โดยใช้วิธีการป้อนกลับของแรงดันทางด้านเอาต์พุตนอกจากนี้วงจรควบคุมยังทำหน้าที่ผลิตความถี่ที่ใช้ในการสวิตช์ของอุปกรณ์สวิตช์ในการออกแบบวงจรควบคุมจะประกอบไปด้วยวงจรต่างๆ ดังนี้

- 1) วงจรกำเนิดสัญญาณความถี่ด้วยไอซี UC3824 [ภาคผนวก ง]
- 2) วงจรขับนำเกตด้วยไอซี TPL250 [ภาคผนวก ง]

#### 3.4.1 วงจรกำเนิดสัญญาณความถี่

ไอซี UC3824 สามารถควบคุมการทำงานแบบ PWM โดยที่มีความถี่คงที่ และคาบเวลาในการทำงานของเอาต์พุต กำหนดได้โดยค่าของ  $C_T$  และ  $R_T$  ที่ต่ออยู่ภายในที่ขา 5 และ 6 ของไอซี วงจรนี้จะทำหน้าที่กำเนิดความถี่และควบคุมความถี่ให้คงที่ ค่าความถี่สามารถหาได้จากสมการที่ 3.16

$$f = \frac{1}{R_T C_T} \quad (3.16)$$

เมื่อ  $f$  คือ ความถี่ในการทำงานของอุปกรณ์สวิตช์

$C_T$  คือ กำหนดให้มีค่า  $0.01 \mu F$

ดังนั้น  $R_T$  มีค่า

$$\begin{aligned} R_T &= \frac{1}{f C_T} \\ &= \frac{1}{50 \times 10^3 \times 0.01 \times 10^{-6}} \\ &= 2 k\Omega \end{aligned}$$

#### 3.4.2 วงจรขับนำเกตด้วยไอซี TPL250

สัญญาณที่ผ่านการมอดูเลตความกว้างของพัลส์ มีลักษณะเป็นสัญญาณพัลส์สี่เหลี่ยม สัญญาณนี้ถูกส่งไปยังวงจรสร้างสัญญาณขับนำเกต ด้วยไอซีสร้างสัญญาณนำขับเกต TPL250 เพื่อควบคุมการทำงานของมอสเฟต จากวงจรสัญญาณด้านเข้าเป็นสัญญาณที่ถูกส่งมาจากวงจรมอดูเลต

ตามความกว้างของพัลส์และสัญญาณนี้ถูกส่งเข้าไปไบอัสให้แอลอีดี ใน TLP250 นำกระแสโดยมีความต้านทาน  $470 \Omega$

ทำหน้าที่จำกัดกระแสในการไบอัส เมื่อแอลอีดีนำกระแส ทำให้ทรานซิสเตอร์ชนิด NPN ทางด้านเอาต์พุตของ TLP250 นำกระแส แรงดันที่ขา 6 ของ TLP250 จะเทียบกับกราวด์และแรงดัน  $V_{GS}$  มีค่าเป็นบวกสามารถทำให้มอสเฟตนำกระแสได้ ส่วนในกรณีที่แรงดันอินพุตน้อยกว่า  $0.7 V$  แอลอีดีภายใน TLP250 หยุดนำกระแสส่งผลให้ทรานซิสเตอร์ชนิด NPN ทางด้านเอาต์พุตของ TLP250 หยุดนำกระแสเช่นเดียวกัน แต่ทรานซิสเตอร์ชนิด PNP จะนำกระแสแทน ส่งผลให้ที่สภาวะนี้แรงดันที่ขา 6 ของ TLP250 เทียบกับกราวด์มีค่าประมาณ  $0 V$  เมื่อแรงดันที่  $V_{GS}$  มีค่าเป็น  $0 V$  ก็จะทำให้มอสเฟตหยุดนำกระแส

### 3.5 วงจรที่ใช้ควบคุมแบบวงเปิด

วงจรการทดสอบและใช้งานของไอซีเบอร์ UC3824 ใช้วงจรพื้นฐาน

#### 3.5.1 วงจรกำเนิดความถี่ทำงาน(Oscillator , OSC)

ซึ่งกำหนดความถี่ทำงานและความถี่ของสัญญาณ PWM ที่จ่ายออกมา กำหนดได้โดยค่าความต้านทาน  $R_T$  และค่าตัวเก็บประจุ  $C_T$  ที่ตำแหน่งขา 5 และ 6 การเลือกใช้ค่า  $R_T$  ,  $C_T$  สามารถดูความสัมพันธ์ได้จากกราฟ การปรับตั้งความถี่โดยการเลือกค่าตัวเก็บประจุและค่าความต้านทานชนิดปรับค่าได้ ให้อยู่ในช่วงความถี่ที่ต้องการ จากนั้นใช้ออสซิลโลสโคป วัดสัญญาณความถี่ที่ขา 4 ของตัวไอซี และทำการปรับค่าความต้านทาน จนได้ค่าความถี่ที่ต้องการ ซึ่งความถี่ที่ใช้ในการทดสอบนี้อยู่ที่  $50kHz$

### 3.6 วงจรที่ใช้ควบคุมแบบวงปิด(ตัวควบคุมแบบเฟสนำหน้า-ล่าหลัง (Phase Lead - Phase Lag)) [16]

วงจรที่ใช้ควบคุมแบบวงปิดในโหมดแรงดันและวงจรชดเชยแรงดัน ตรวจจับวัดแรงดันเอาต์พุตจะใช้แบบแรงดันเอาต์พุต ซึ่งเป็นสัญญาณบวก จะใช้ค่าความต้านทาน 2 ตัว โดยอาศัยหลักการแบ่งแรงดันมาเปรียบเทียบกับแรงดันอ้างอิง  $V_{ref}$  เมื่อแรงดันเอาต์พุตมีค่าลดลงจะทำให้  $V_{error}$  มีค่ามากขึ้นและนำสัญญาณที่ได้จากการเปรียบเทียบระหว่าง  $V_{error}$  และ  $V_{ref}$  ไปเข้ากับชุดชดเชยระบบเพื่อใช้ในการปรับค่าดิฟเฟอเรนเชียล โดยจะนำสัญญาณ  $V_{error}$  ที่ได้ไปเปรียบเทียบกับสัญญาณ Ramp Oscillator ทำให้ได้สัญญาณ DTC Comp ไปควบคุมการเปิดและปิดของเพาเวอร์มอสเฟต วงจรนี้จะถูกควบคุมแรงดันเอาต์พุตให้คงที่และชดเชยให้ระบบมีเสถียรภาพ

การหาค่าความต้านทาน  $R_4$  และ  $R_5$  จะใช้หลักการของวงจรแบ่งแรงดันคำนวณค่าได้จากสมการที่ 3.17

$$V_{out} = \left[ \frac{R_4}{R_5} + 1 \right] \times V_{ref} \quad (3.17)$$

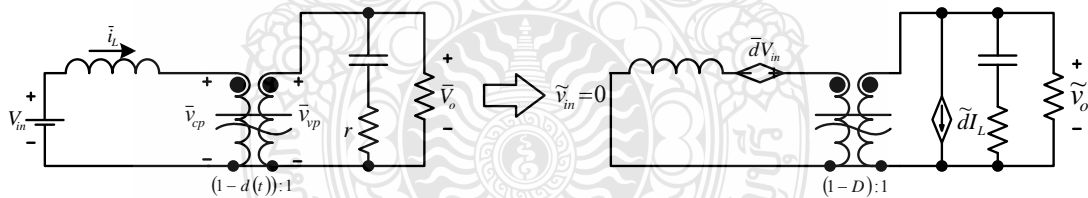
- เมื่อ  $V_{out}$  คือ แรงดันเอาต์พุตของวงจรระดับแรงดันไฟฟ้าแบบหลายระดับ  
 $V_{ref}$  คือ แรงดันอ้างอิงที่ขา 1 มีค่าเท่ากับขา 2 กำหนดให้มีค่า 5.1 โวลต์  
 $R_4$  คือ กำหนดให้มีค่า  $75 \text{ k}\Omega$

แทนค่าลงในสมการที่ 3.17 เพื่อหาค่า  $R_5$  จะได้

$$311 = 5.1 \left[ \frac{75 \times 10^3}{R_5} + 1 \right]$$

$$\therefore R_5 = 1.25 \text{ k}\Omega$$

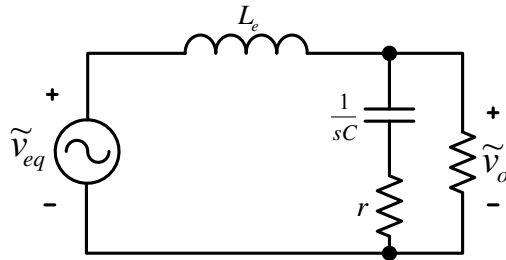
การออกแบบวงจรป้อนกลับของวงจรระดับแรงดันไฟฟ้า จะต้องเปลี่ยนวงจรภาคกำลังให้ทำงานในแบบเชิงเส้น โดยการไม่พิจารณาสัญญาณรบกวนขนาดเล็กของระบบ จะได้วงจรเทียบเคียงวงจรระดับแรงดันไฟฟ้า ในแบบหม้อแปลงอุดมคติ เพื่อให้สามารถทดสอบการตอบสนองความถี่ของวงจรดังนี้



รูปที่ 3.5 วงจรระดับแรงดันไฟฟ้า เมื่อเทียบเคียงหม้อแปลงอุดมคติ

จากรูปที่ 3.5 สามารถเขียนวงจรไฟฟ้าสมมูล โดยพิจารณาให้ตัวเหนี่ยวนำ ( $L_e$ ) มีคุณสมบัติเช่นเดียวกับตัวเหนี่ยวนำที่ใช้งานจริง โดยมีค่าเท่ากับ

$$L_e = \frac{L}{(1-D)^2} \quad (3.18)$$



รูปที่ 3.6 วงจรไฟฟ้าสมมูลของวงจรทระดับแรงดันไฟฟ้า

จะได้สมการสำหรับทดสอบผลการตอบสนองความถี่ และ ทรานเฟอร์ฟังก์ชัน ดังนี้

$$\frac{\tilde{v}_o}{\tilde{d}} = \frac{V_{in}}{(1-D)^2} \left(1 - s \frac{L_e}{R}\right) \frac{1 + srC}{L_e C \left( s^2 + s \left( \frac{1}{RC} + \frac{r}{L_e} \right) + \frac{1}{L_e C} \right)} \quad (3.19)$$

การคำนวณหาค่าอุปกรณในวงจรชดเชยระบบ (Compensation Network) สมการ ทรานเฟอร์ฟังก์ชันวงเปิดดังนี้

$$|G_L(s)|_{fc} = |G_C(s)|_{fc} \cdot |G_{PWM}(s)|_{fc} \cdot |G_{PS}(s)|_{fc} \cdot K_{FB} = 1$$

อัตราขยายสัญญาณไฟฟ้ากระแสตรง  $|G_{PWM}(s)|$  หาได้จาก

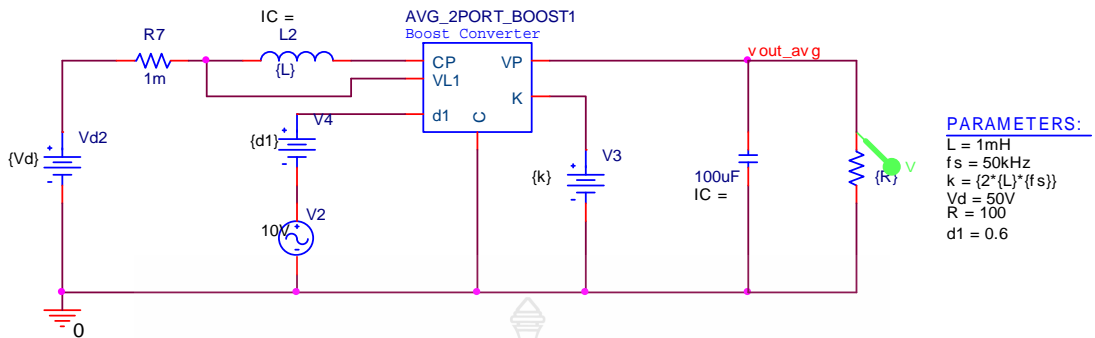
$$|G_{PWM}(s)|_{fc} = \frac{1}{V_r} = \frac{1}{1.8} = 0.556$$

เมื่อ

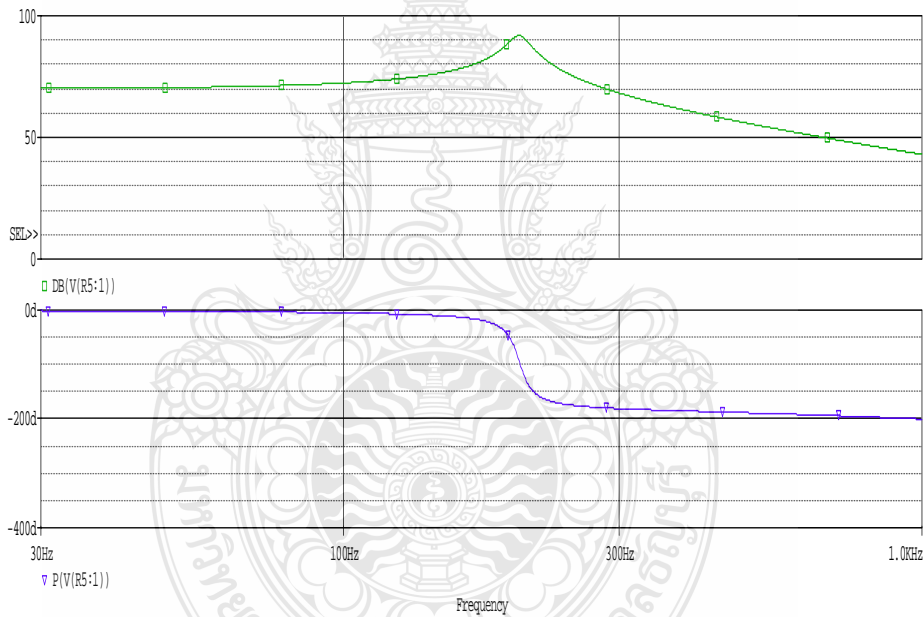
$$K_{FB} = 0.047$$

Power State of Boost Converter  $|G_{PS}(s)|_{fc}$

จำลองวงจรทระดับแรงดันไฟฟ้า โดยใช้โปรแกรม Orcad/Pspice เพื่อหาผลตอบสนองทาง  
ความถี่



รูปที่ 3.7 จำลองวงจรทระดับแรงดันไฟฟ้าด้วยโปรแกรม Ocad/Pspice เพื่อหาผลตอบสนองทาง  
ความถี่



รูปที่ 3.8 ผลของการจำลองวงจรทระดับแรงดันไฟฟ้าด้วยโปรแกรม Ocad/Pspice เพื่อหา  
ผลตอบสนองทางความถี่

จากผลของการจำลองดังรูปที่ 3.8 สามารถนำไปหาค่าต่างๆได้ดังนี้

เลือกใช้ความถี่

$$f_c = 300\text{Hz}$$

$$|G_{PS}(s)|_{f_c} = 40\text{dB} = 100$$

$$\angle |G_{PS}(s)|_{f_c} = -181.1^\circ$$

$$\begin{aligned} \therefore |G_C(s)|_{f_c} &= \frac{1}{|G_{PWM}(s)|_{f_c} \cdot |G_{PS}(s)|_{f_c} \cdot K_{FB}} \\ &= \frac{1}{(0.556)(100)(0.047)} = 0.382 \end{aligned}$$

หาค่า  $\phi_{boost}$  หาได้จาก

$$\phi_{boost} = -90^\circ + \phi_{PM} - \angle |G_{PS}(s)|_{f_c}$$

ซึ่ง  $\phi_{PM} = 60^\circ$  ซึ่งเป็นค่านิยมในการออกแบบ

$$\therefore \phi_{boost} = -90^\circ + 60^\circ + 181.1^\circ = 151.1^\circ$$

หาค่า  $K_{boost}$  ได้จาก

$$K_{boost} = \tan \left[ 45^\circ + \frac{\phi_{boost}}{4} \right]$$

$$= \tan \left[ 45^\circ + \frac{151.1^\circ}{4} \right]$$

$$= 7.88$$

หาค่า  $f_z$

$$f_z = \frac{f_c}{K_{boost}} = \frac{300}{7.88} = 38.07 \text{ Hz} \quad ; \quad \omega_z = 2\pi f_z = 2\pi(38.07) = 239.2 \text{ rad}$$

หาค่า  $f_p$

$$f_p = (K_{boost})(f_c) = (7.88)(300) = 2364 \text{ Hz} \quad ; \quad \omega_p = 2\pi f_p = 2\pi(2364) = 14853 \text{ rad}$$

หาค่า  $K_C$

$$K_C = |G_C(s)|_{f_c} \cdot \frac{\omega_z}{K_{boost}} = \frac{(0.382)(239.2)}{7.88} = 11.6$$

กำหนดให้  $R_1 = 100k\Omega$

หาค่า  $C_2$  ได้จาก

$$C_2 = \frac{\omega_z}{K_C \omega_p R_1} = \frac{239.2}{(11.6)(14853)(100 \times 10^3)} = 13.86 nF$$

หาค่า  $C_1$  ได้จาก

$$C_1 = C_2 \left( \frac{\omega_p}{\omega_z - 1} \right) = (13.86 \times 10^{-9}) \left( \frac{14853}{239.2 - 1} \right) = 0.864 \mu F$$

หาค่า  $R_2$  ได้จาก

$$R_2 = \frac{1}{\omega_z C_1} = \frac{1}{(239.2)(0.864 \times 10^{-6})} = 4.835 k\Omega$$

หาค่า  $R_3$  ได้จาก

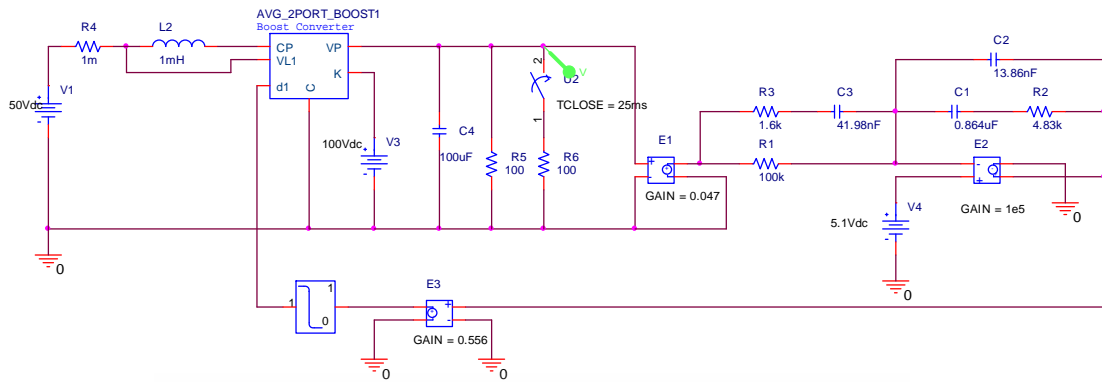
$$R_3 = \frac{R_1}{(\omega_p)/(\omega_z - 1)} = \frac{100 \times 10^3}{(14853)/(239.2 - 1)} = 1.603 k\Omega$$

หาค่า  $C_3$  ได้จาก

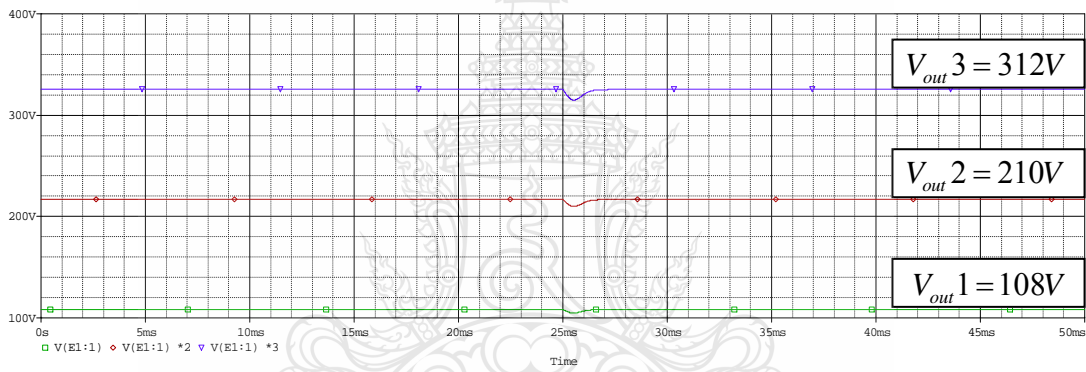
$$C_3 = \frac{1}{\omega_p R_3} = \frac{1}{(14835)(1.603 \times 10^3)} = 41.98 nF$$

จำลองวงจรทบระดับแรงดันไฟฟ้า โดยใช้โปรแกรม Orcad/Pspice เพื่อหาผลตอบสนองทางแรงดันไฟฟ้าโดยใช้วิธีป้อนกลับแรงดัน





รูปที่ 3.9 จำลองผลการตอบสนองวงจรถระดับแรงดันไฟฟ้าด้วยโปรแกรม Orcad /Pspice เพื่อหาผลตอบสนองทางแรงดันไฟฟ้าโดยใช้วิธีป้อนกลับแรงดัน



รูปที่ 3.10 ผลการตอบสนองวงจรถระดับแรงดันไฟฟ้าด้วยโปรแกรม Orcad/Pspice เพื่อหาผลตอบสนองทางแรงดันไฟฟ้าโดยใช้วิธีป้อนกลับแรงดัน

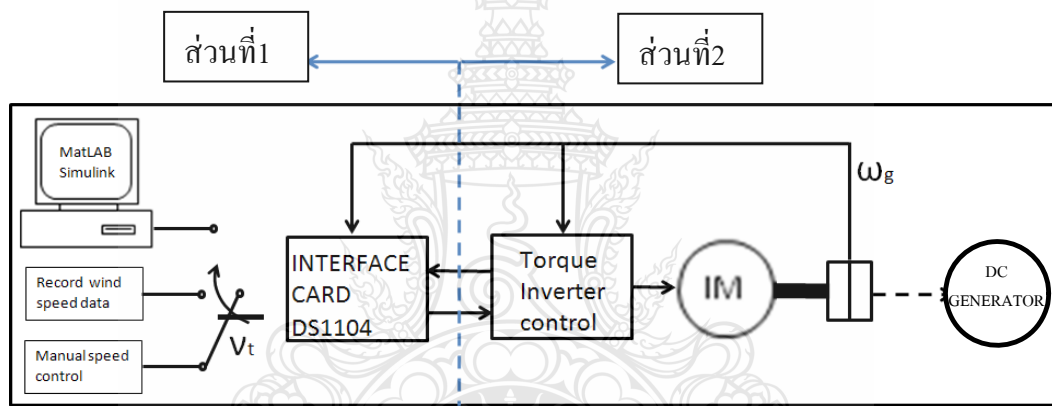
จากรูปที่ 3.10 จะเห็นได้ว่าผลตอบสนองเมื่อเราทำการใช้วิธีป้อนกลับแรงดันและออกแบบตัวควบคุมแล้ว สามารถควบคุมแรงดันเอาต์พุตให้คงที่ได้เมื่อมีโหลดมีการเปลี่ยนแปลงทันทีทันใด จากผลการตอบสนองแรงดันในระดับที่ 2 และ 3 ได้จากการคูณผลของแรงดันในระดับที่ 1 เนื่องจากวงจรถทดสอบในส่วนบล็อกไดอะแกรมของวงจรถระดับแรงดันไฟฟ้า ไม่สามารถจำลองการทำงานแบบหลายระดับได้ จึงใช้การคูณผลที่ได้ เพื่อแสดงให้เห็นถึงการลดลงของแรงดันไฟฟ้าเมื่อเปลี่ยนโหลดแบบทันทีทันใดในแต่ละระดับของแรงดันไฟฟ้า

### 3.7 โครงสร้างของเครื่องจำลองกึ่งหุ่นยนต์

โครงสร้างโดยรวมของเครื่องจำลองกึ่งหุ่นยนต์ด้วยมอเตอร์เหนี่ยวนำที่ควบคุมและแสดงผลด้วยอินเทอร์เฟซการ์ด dSPACE จะประกอบไปด้วย 2 ส่วนหลักดังรูปที่ 3.11

**ส่วนที่ 1** ประกอบไปด้วยแบบจำลองความเร็วลมใช้สร้างความเร็วลมที่ต้องการ รูปแบบของพลังงานความเร็วของลมสามารถสร้างได้จากแบบจำลองทางคณิตศาสตร์จากหลักการสุ่มของ Kaimal Spectrum โดยโปรแกรม Matlab/Simulink หรือสร้างจากการปรับค่าขึ้นลงด้วยตัวเองหรือจากข้อมูลบันทึกความเร็วลมที่เก็บค่าได้และต่อมาจะเป็นแบบจำลองกักหนลมที่ได้จากแบบจำลองทางคณิตศาสตร์ของหลักการและทฤษฎีกักหนลมที่คำนวณสัญญาณอ้างอิงในรูปของแรงบิดอ้างอิง (Torque Reference) ผ่านอินเทอร์เฟซการ์ด dSPACE เพื่อแปลงสัญญาณให้อยู่ในรูปแบบทันเวลา (Real-time) ส่งไปที่อินเวอร์เตอร์เลือกใช้ในโหมดควบคุมแรงบิดของมอเตอร์เหนี่ยวนำซึ่งอยู่ในส่วนที่สอง

**ส่วนที่ 2** เป็นส่วนที่รับสัญญาณในรูปแบบทันเวลามาควบคุมให้มอเตอร์เหนี่ยวนำให้แสดงคุณลักษณะของกักหนลมที่แกนโรเตอร์ออกมาในลักษณะสัญญาณแรงบิด (Torque Output) เสมือนของกักหนลม



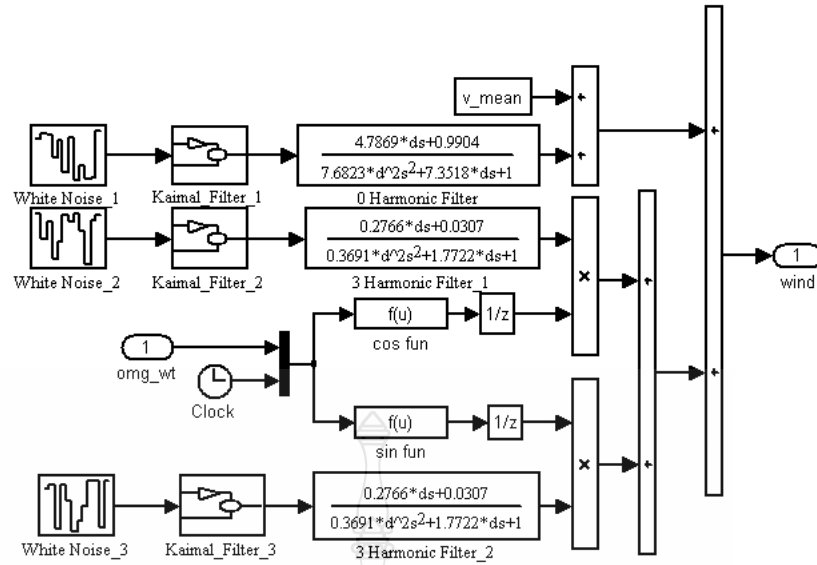
รูปที่ 3.11 โครงสร้างและส่วนประกอบเครื่องจำลองกักหนลม

### 3.7.1 แบบจำลองความเร็วลม (Wind Speed Model)

แบบจำลองความเร็วลมมีความสำคัญในการบอกค่าสมรรถนะของแหล่งกำเนิดลมและพฤติกรรมของลมที่เกิดขึ้นจริง เพื่อนำผลจากแบบจำลองความเร็วลมไปวิเคราะห์และนำพลังงานลมนั้นไปสังเคราะห์ใช้ประโยชน์ต่อไป ในธรรมชาติของความเร็วลมจะมีปัจจัย 2 ส่วนคือ

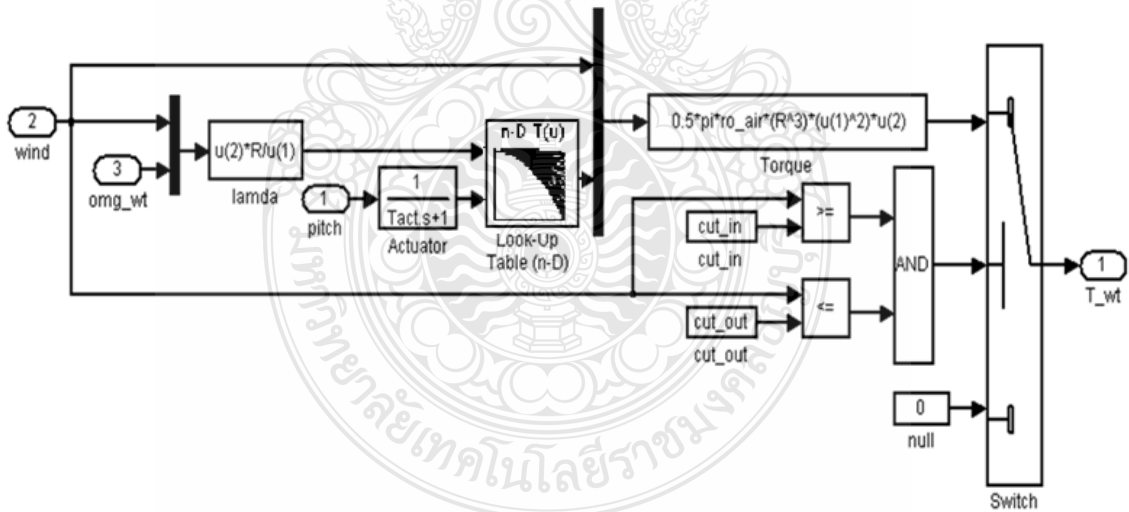
**ส่วนที่ 1** คือส่วนที่เป็นค่ากลางคงที่เฉลี่ย (Steady State) ซึ่งจะเฉลี่ยจากค่าที่เพิ่มขึ้นสูงสุด และลดลงต่ำสุด

**ส่วนที่ 2** คือส่วนของค่าความแปรปรวน (Turbulence) เป็นคุณลักษณะของการสุ่มค่าไปแบบไม่เป็นปกติกับส่วนแรกคือส่วนที่เป็นค่ากลางคงที่เฉลี่ย (Steady State) กับเวลาและระยะทาง และนำมาเขียนเป็นบล็อกไดอะแกรมแบบจำลองความเร็วลมได้ดังนี้



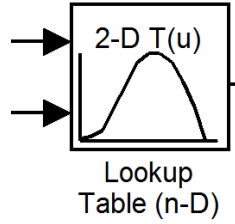
รูปที่ 3.12 บล็อกไดอะแกรมแบบจำลองความเร็วลมและการกำหนดค่าตัวแปร

จากรูปที่ 3.12 กังหันลมเป็นระบบที่มีอินพุตคือแรงบิดของกังหันลม มีเอาต์พุตคือความเร็ว รอบ และถือว่าลมที่กระทำต่อกังหันลมคือสัญญาณรบกวน (Disturbance)

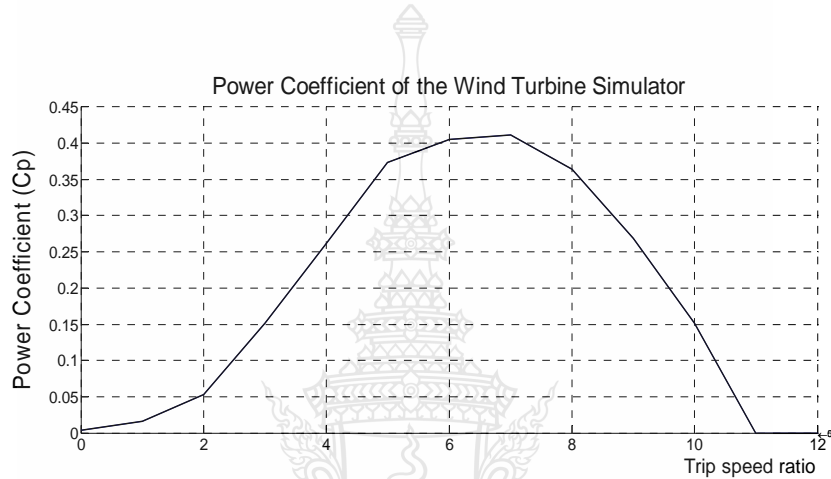


รูปที่ 3.13 บล็อกไดอะแกรมแบบจำลองของกังหันลม

จากรูปที่ 3.13 จากสมการพื้นฐานในบทที่ 2 ของกังหันลมสามารถนำมาประยุกต์ใช้ในโปรแกรม Matlab/Simulink ได้โดยในส่วนของกรคำนวณค่า  $C_p$  จะใช้บล็อกของ Look-Up Table



รูปที่ 3.14 บล็อกของ Look-Up Table ในโปรแกรม Matlab/Simulink ในการคำนวณค่า  $C_p$  โดยใช้หลักการ Interpolation



รูปที่ 3.15 กราฟค่าของ  $C_p$  เปรียบเทียบกับค่า  $\lambda$  ที่ได้

จากกราฟของ  $C_p$  จึงสามารถหาค่าคุณลักษณะของกังหันได้โดยการเปรียบเทียบกับค่า  $\lambda$  ที่ใช้ในการทดลองได้ดังกราฟที่ 3.15 ถ้าทราบความเร็วลมที่กระทำต่อกังหันก็จะสามารถเลือกทำงานที่ความเร็วรอบอันจะทำให้เกิดการสกัดกำลังตามที่ต้องการได้ แต่ในทางปฏิบัติ พบว่าการวัดค่าความเร็วลมมีปัญหาหลายประการและอาจได้ค่าที่ไม่แม่นยำงานวิจัยนี้จะใช้วิธีซึ่งไม่ต้องวัดความเร็วลมแต่จะใช้แบบจำลองความเร็วลม (Wind Speed Model)

ตารางที่ 3.3 ค่าของ  $C_p$  เปรียบเทียบกับ  $\lambda$

$\lambda$	0	1	2	3	4	5	6	7	8	9	10	11
$C_p$	0.003	0.015	0.052	0.151	0.261	0.373	0.405	0.411	0.364	0.268	0.151	0

### 3.7.2 การ์ดอินเทอร์เฟซ DS1104

งานวิจัยนี้ได้นำเทคโนโลยีของอินเทอร์เฟซการ์ดควบคุมแบบทันเวลาร่วมกับโปรแกรม Matlab/Simulink มาใช้ในการควบคุมแรงบิดของมอเตอร์เหนี่ยวนำให้แสดงคุณลักษณะของกังหันลมออกมาให้มีพฤติกรรมเสมือนกังหันลมจริงและมีความสัมพันธ์กับค่าสัมประสิทธิ์ของแรงบิด ของกังหันลมจริง ซึ่งพัฒนาขึ้น โดยบริษัท dSPACE เป็นการ์ดอินเทอร์เฟซที่ออกแบบสำหรับใช้กับงานพัฒนาต้นแบบ (Prototype) และงานวิจัยในอุตสาหกรรมรถยนต์

### 3.7.3 อินเวอร์เตอร์ 3 เฟส FUJI รุ่น FRENIC MEGA (พิกัด 3 kW)

งานวิจัยนี้จะใช้อินเวอร์เตอร์ 3 เฟส ควบคุมแรงบิดเพื่อควบคุมให้มอเตอร์เหนี่ยวนำสร้างแรงบิดตามความสัมพันธ์กับค่าสัมประสิทธิ์ของแรงบิดของกังหันลมทำให้ สามารถสร้างเครื่องจำลองการทำงานของกังหันลมได้ใกล้เคียงเสมือนกังหันลมจริงได้โดยรับสัญญาณแรงบิดอ้างอิงผ่านอินเทอร์เฟซการ์ด dSPACE ออกมาในรูปแบบทันเวลา

### 3.7.4 มอเตอร์ไฟฟ้ากระแสสลับ 3 เฟส แบบเหนี่ยวนำ (พิกัด 3 kW)

งานวิจัยนี้จะใช้คุณสมบัติของมอเตอร์เหนี่ยวนำที่ดีคือมีความเร็วรอบคงที่อันเนื่องมาจากความเร็วรอบเหนี่ยวนำมอเตอร์ขึ้นอยู่กับความถี่ (Frequency) ของแหล่งกำเนิดไฟฟ้ากระแสสลับมีราคาถูก โครงสร้างไม่ซับซ้อนสะดวกในการบำรุงรักษาเพราะไม่มีคอมมิวเตเตอร์และแปรงถ่านเหมือนมอเตอร์ไฟฟ้ากระแสตรงเมื่อใช้ร่วมกับเครื่องควบคุมความเร็วแบบอินเวอร์เตอร์ (Inverter) สามารถควบคุมความเร็ว (Speed Control) ได้ตั้งแต่ศูนย์จนถึงความเร็วตามพิกัดของมอเตอร์นิยมนำใช้กันมากในโรงงานอุตสาหกรรม ขับเคลื่อนลิฟต์ ขับเคลื่อนสายพานลำเลียง ขับเคลื่อนเครื่องจักรไฟฟ้า เช่น เครื่องไส เครื่องกลึง แต่ในงานวิจัยนี้ใช้เสมือนเป็นเครื่องจำลองกังหันลม

### 3.7.5 เครื่องกำเนิดไฟฟ้ากระแสตรงแบบแยกกระตุ้น (พิกัด 0.37 kW)

งานวิจัยนี้จะใช้เครื่องกำเนิดไฟฟ้ากระแสตรงแบบแยกกระตุ้น เพื่อที่จะแสดงให้เห็นถึงพฤติกรรมของกังหันลมที่กระทำต่อเครื่องกำเนิดไฟฟ้าในสถานะที่มีโหลด ซึ่งทราบอยู่แล้วว่ากระแสไฟฟ้า และแรงดันที่ได้ออกมาจากเครื่องกำเนิดไฟฟ้านั้นมีระดับแรงดันไฟฟ้าที่ไม่สูงพอที่จะนำไปใช้งาน กล่าวคือมีลักษณะที่ไม่คงที่ฉะนั้นจำเป็นต้องมีเปลี่ยนแปลงระดับแรงดันไฟฟ้าให้สูงพอด้วยวงจรทบระดับแรงดันไฟฟ้าแบบสามระดับสำหรับกังหันลมต่อไป

## บทที่ 4

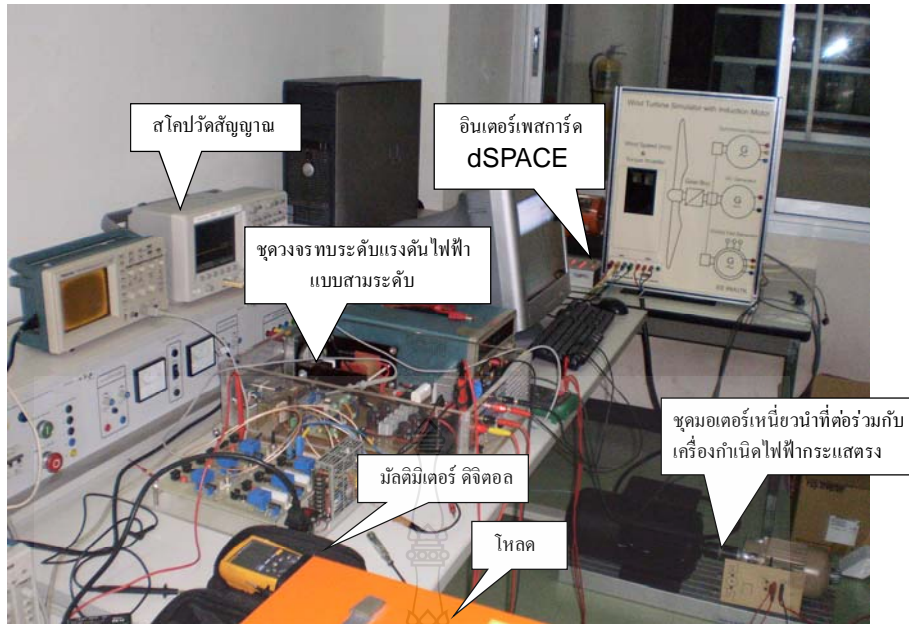
### ผลการสร้างและการทดสอบ

การทดสอบคุณลักษณะของวงจรทระดับแรงดันไฟฟ้าแบบสามระดับที่ได้ทำการสร้างขึ้น แบ่งการทดสอบออกเป็นสองส่วนด้วยกันคือ การทดสอบวัดค่าที่การควบคุมแบบวงเปิดแบบ เปลี่ยนแปลงโหลดทันที และการทดสอบวัดค่าที่การควบคุมแบบวงปิดแบบเปลี่ยนแปลงโหลดทันทีทันใด

#### 4.1 วงจรทระดับแรงดันไฟฟ้าแบบสามระดับ

การทดสอบจากวงจรต้นแบบที่สร้างขึ้นดังที่แสดงในรูปที่ 4.1 โดยมีอุปกรณ์และเครื่องมือที่ใช้ในการทดสอบดังต่อไปนี้

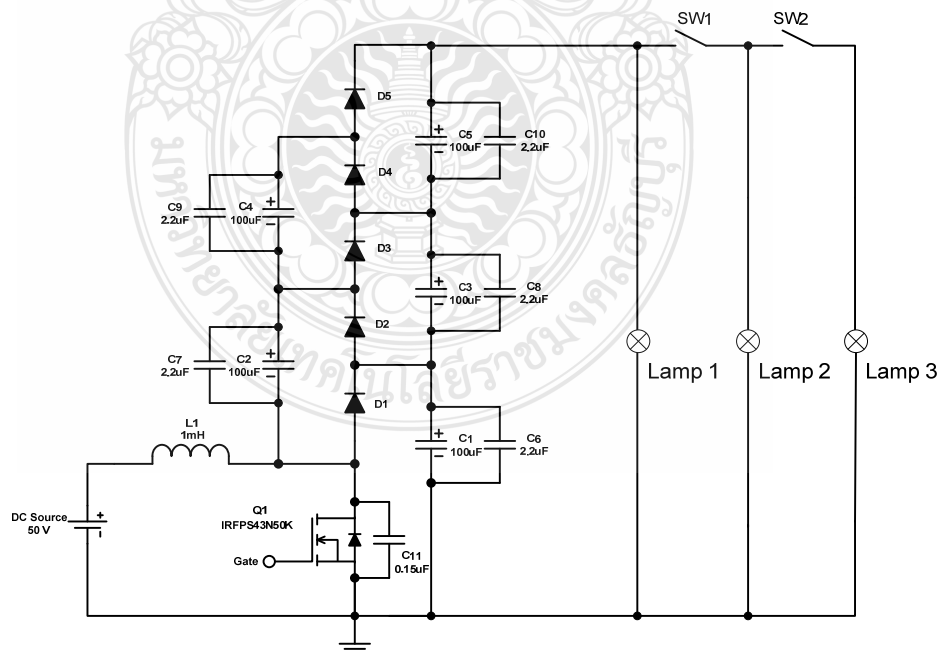
Digital Multimeter	: Fluke 179
Digital Oscilloscope	: Agilent Technologies DSO5014A
Induction Motor 3 Phase	: ELWE 3 kW
Inverter 3 Phase	: Fuji Model Frenic mega
Separately excited D.C Generator	: ELWE 0.37 kW
Load	: Incandescent Lamp 200 W
Load	: Resistance 1.5 k $\Omega$ 50 W
D.C source	: 0 – 100 V, 20 A
Computer & Control	: dSPACE DS1104
Software	: Matlab/Simulink
	: Orcad/Pspice



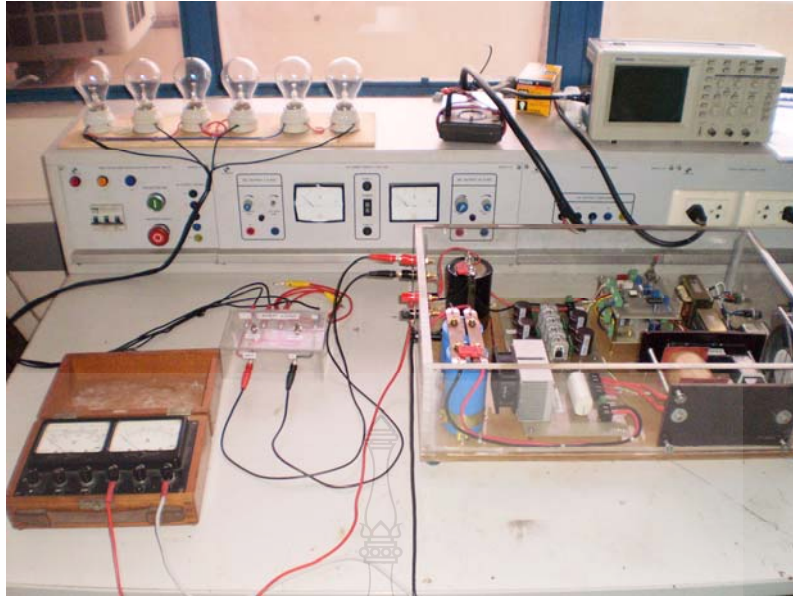
รูปที่ 4.1 การทดสอบวงจรต้นแบบวงจรทระดับแรงดันไฟฟ้าแบบสามระดับ

#### 4.1.1 การทดสอบวงจรกำลังและวงจรควบคุม

เมื่อทำการออกแบบในส่วนของวงจรกำลังและวงจรควบคุมของวงจรทระดับแรงดันไฟฟ้าแบบสามระดับแล้ว ก็จะทำการศึกษาว่าวงจรกำลังและวงจรควบคุมสามารถทำงานได้ตามที่ได้ออกแบบไว้



(ก) วงจรทระดับแรงดันไฟฟ้าแบบสามระดับที่ใช้ในการทดสอบ

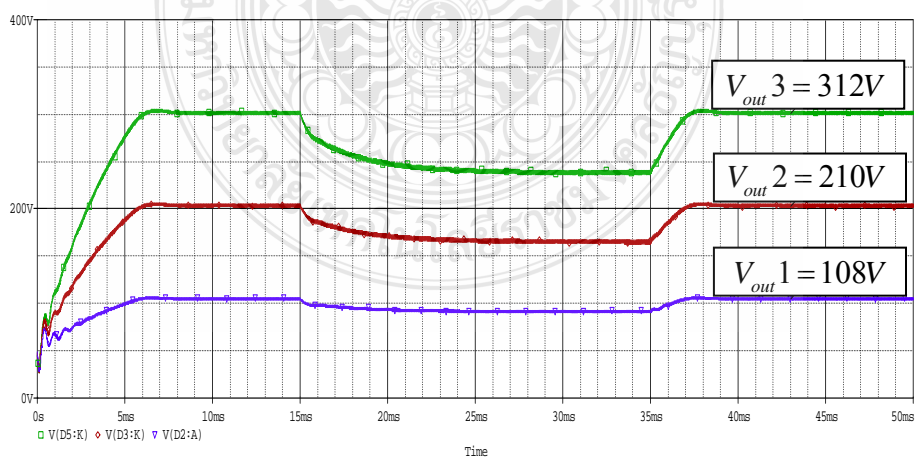


(ข) วงจรทระดับแรงดันไฟฟ้าแบบสามระดับที่ใช้ในการทดสอบที่สร้างขึ้น

รูปที่ 4.2 วงจรทระดับแรงดันไฟฟ้าแบบสามระดับที่ใช้ในการทดสอบ

#### 4.1.2 ผลการวัดค่าแรงดันเอาต์พุตควบคุมแบบวงเปิด

ทำการทดสอบที่ระดับแรงดันอินพุต 50 โวลต์ ความถี่สวิตซิ่ง 50 kHz ปรับค่าดิวตี้ไซเคิลคงที่ 50% เพื่อสังเกตการเปลี่ยนแปลงของกระแสและแรงดันเอาต์พุตว่ามีความสัมพันธ์กันอย่างไร โดยเปลี่ยนแปลงโหลดแบบทันทีทันใดเมื่อมีการควบคุมแบบวงเปิด



(ก) วงจรทระดับแรงดันไฟฟ้าแบบสามระดับที่จำลองด้วยโปรแกรม Orcad/Pspice





(ข) วงจรทระดับแรงดันไฟฟ้าแบบสามระดับที่ใช้ฮอสซิลโลสโคปวัด ควบคุมแบบวงเปิด

รูปที่ 4.3 การเปรียบเทียบค่าจำลองด้วย โปรแกรม Orcad/Pspice กับที่ใช้ฮอสซิลโลสโคปวัด วงจรที่สร้างขึ้น

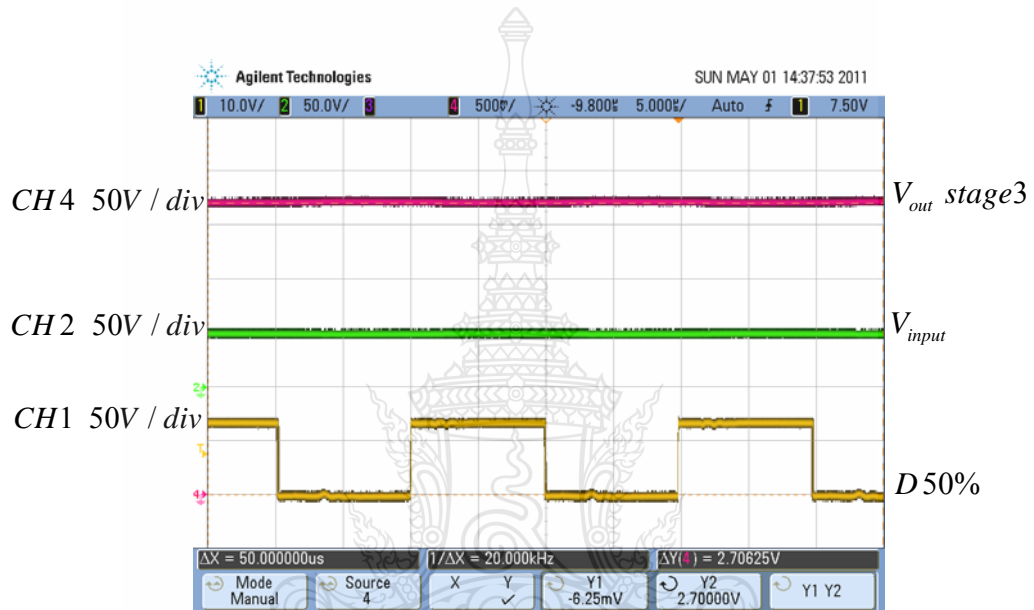
จากรูปที่ 4.3 แสดงการเปรียบเทียบค่าจากการจำลองด้วยโปรแกรมและจากวงจรที่สร้างขึ้นผลที่ได้วัดจริง พบว่า การตอบสนองในการรักษาระดับแรงดันเอาต์พุตไม่คงที่คือแรงดันเปลี่ยนแปลงตามโหลด(โหลดได้100W 2โหลดต่ออนุกรม ค่าความต้านทาน  $66 \Omega$  : ลำดับโหลด)ที่ต่อรวมในวงจรดังที่จะแสดงตามตารางที่ 4.1 และทดสอบเปลี่ยน โหลดลำดับ3ครั้งที่ดูการตอบสนองเมื่อเปลี่ยนแปลงคิวตี้ไซเคิลตามตารางที่ 4.2 ไว้ดังนี้

ตารางที่ 4.1 การทดสอบค่าแรงดันและกระแสเอาต์พุตเมื่อเปลี่ยน โหลดแบบทันทีทันใดที่แรงดันอินพุตคงที่ 50 โวลต์ คิวตี้ไซเคิลคงที่ 0.5 แบบวงเปิด

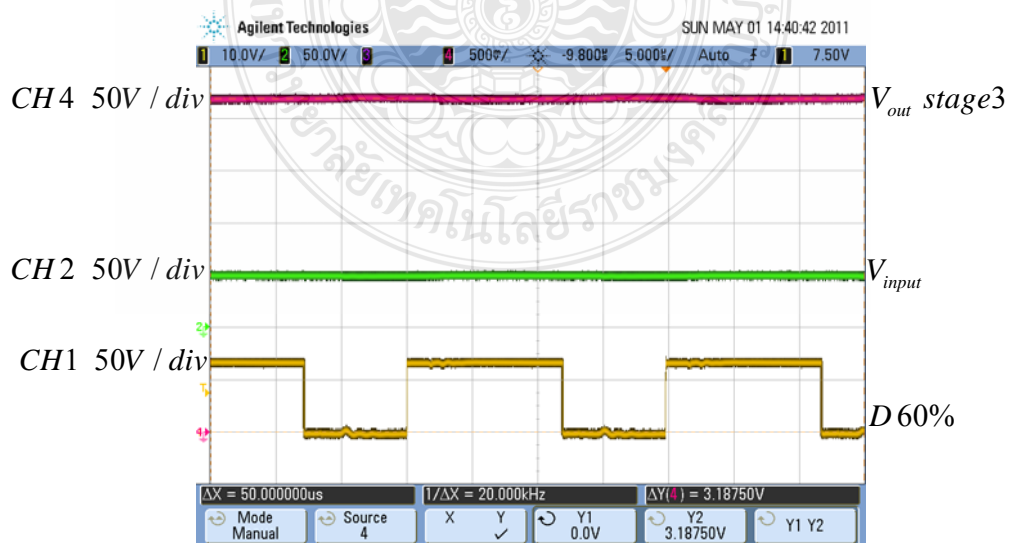
ลำดับ การเปลี่ยน โหลด	แรงดันอินพุต (V)	กระแสอินพุต (A)	แรงดันเอาต์พุต (V)	กระแสเอาต์พุต(A)
1	50	3.62	311	0.37
2	50	5.29	277	0.70
3	50	7.04	255	1.02

ตารางที่ 4.2 การทดสอบค่าแรงดันเอาต์พุต ที่แรงดันอินพุตคงที่ 50 โวลต์ ทดสอบโดยการเปลี่ยนแปลงโวลต์ลำดับ3 เมื่อเปลี่ยนค่าดิวตี้ไซเคิล แบบวงเปิด

แรงดันอินพุต (V)	ระดับแรงดันที่ค่าดิวตี้ไซเคิล (%)		
	50	60	70
50	270.0	318.7	390.0



รูปที่ 4.4 สัญญาณแรงดันอินพุตและแรงดันเอาต์พุตที่ดิวตี้ไซเคิล 50%



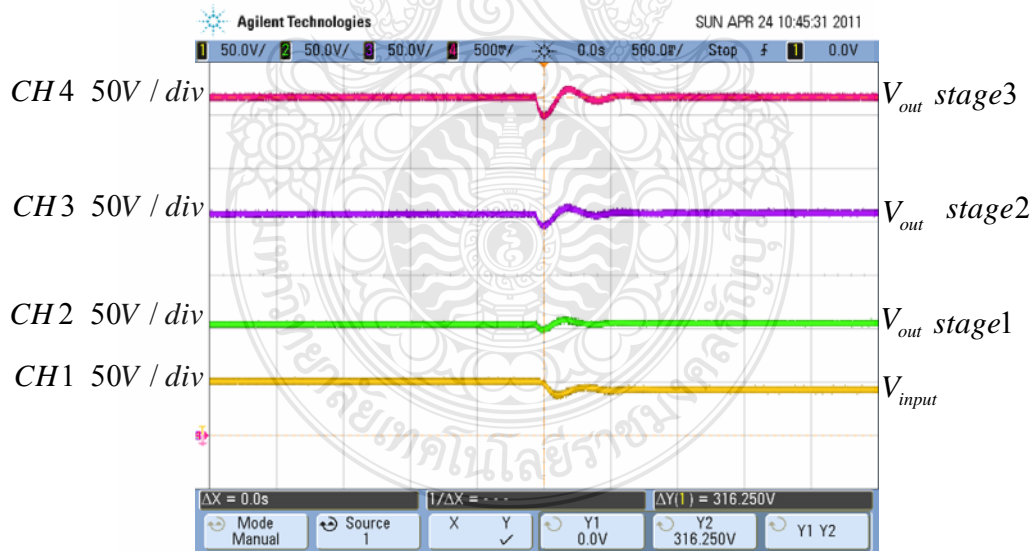
รูปที่ 4.5 สัญญาณแรงดันอินพุตและแรงดันเอาต์พุตที่ดิวตี้ไซเคิล 60%



รูปที่ 4.6 สัญญาณแรงดันอินพุตและแรงดันเอาต์พุตที่คิวตี้ไซเคิล 70%

#### 4.1.3 ผลการวัดค่าแรงดันเอาต์พุตควบคุมวงปิดด้วยตัวควบคุมแบบเฟสหน้า-ล้าหลัง

ทำการทดสอบที่ระดับแรงดันอินพุต 50 โวลต์คิงที่ ความถี่สวิตซิ่ง 50 kHz เพื่อสังเกตการเปลี่ยนแปลงของกระแสและแรงดันเอาต์พุตโดยเปลี่ยนแปลงโหลดแบบทันทีทันใด

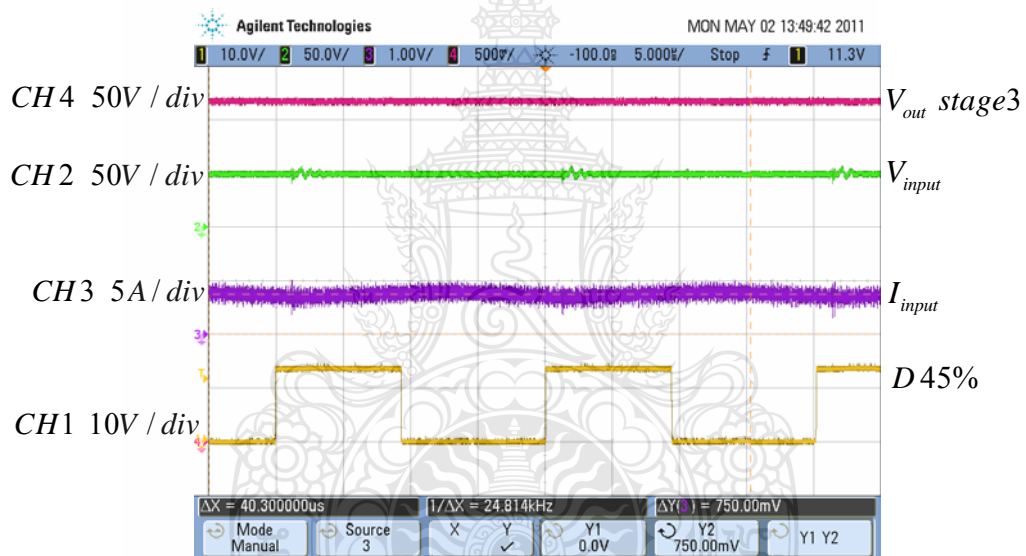


รูปที่ 4.7 สัญญาณแรงดันอินพุตและแรงดันเอาต์พุต ควบคุมแบบวงปิด

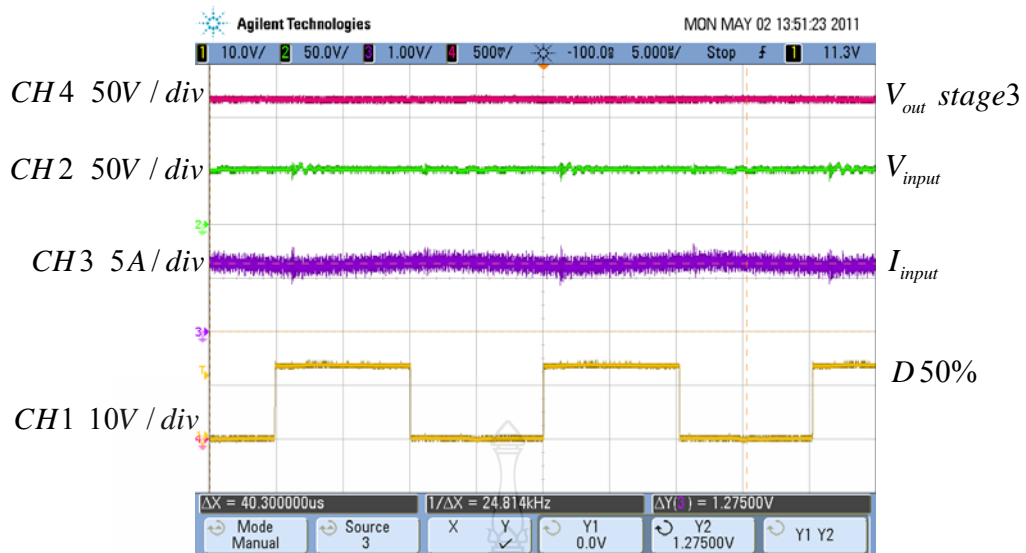
จากรูปที่ 4.7 จากวงจรที่สร้างขึ้นผลที่ได้วัดจริง พบว่า การตอบสนองในการรักษา ระดับแรงดันเอาต์พุตไว้ได้ คือแรงดันไม่ได้เปลี่ยนแปลงตามโหลด(โหลดใส่ 100W 2โหลดต่ออนุกรม ค่าความต้านทาน 66  $\Omega$  : ถ้าดับโหลด)ดังที่จะแสดงตามตารางที่ 4.3

ตารางที่ 4.3 การทดสอบค่าแรงดันค่ากระแสเอาต์พุตกระแสอินพุตและค่าดีวีซีเคิลเมื่อปรับเปลี่ยนโหลดตามลำดับแบบทันทีทันใด โดยแรงดันอินพุตคงที่ 50 โวลต์ แบบวงปิด

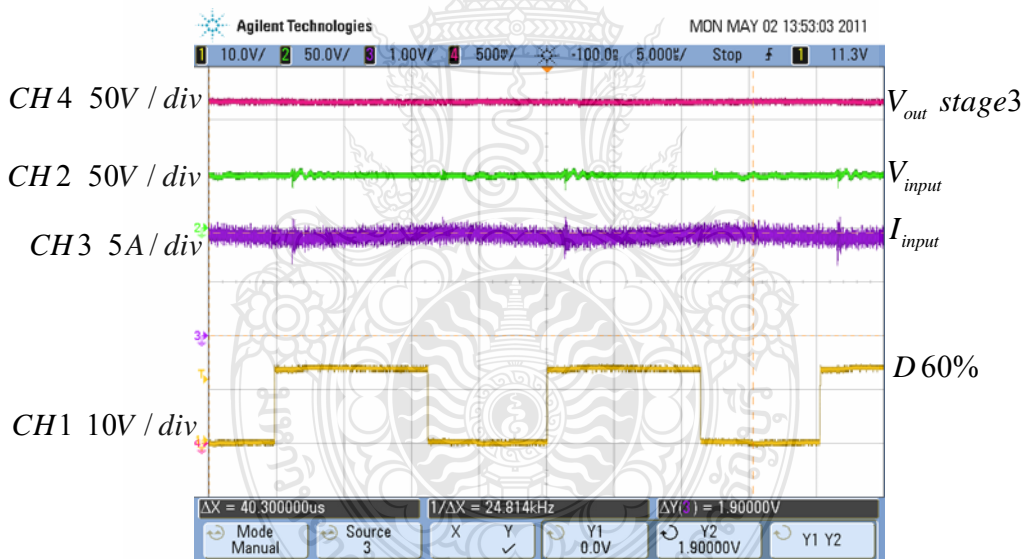
ลำดับการเปลี่ยนแปลงโหลด	แรงดันอินพุต (V)	ดีวีซีเคิล (%)	กระแสอินพุต (A)	แรงดันเอาต์พุต (V)	กระแสเอาต์พุต (A)
1	50	45	3.75	311	0.37
2	50	50	6.37	311	0.75
3	50	60	9.50	311	1.12



รูปที่ 4.8 สัญญาณแรงดันอินพุตและแรงดันเอาต์พุตที่ดีวีซีเคิล 45% ที่การเปลี่ยนแปลงโหลดลำดับ 1 ควบคุมแบบวงปิด



รูปที่ 4.9 สัญญาณแรงดันอินพุตและแรงดันเอาต์พุตที่คัตออฟไซเคิล 50% ที่การเปลี่ยนแปลงโหลดลำดับ 2 ควบคุมแบบวงปิด



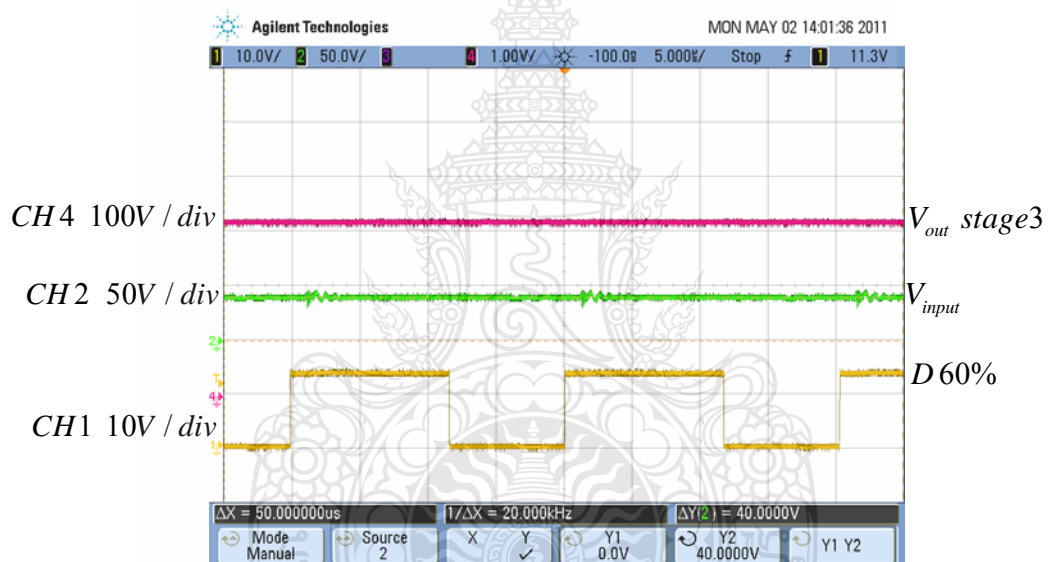
รูปที่ 4.10 สัญญาณแรงดันอินพุตและแรงดันเอาต์พุตที่คัตออฟไซเคิล 60% ที่การเปลี่ยนแปลงโหลดลำดับ 3 ควบคุมแบบวงปิด

จากรูปที่ 4.8 – 4.10 จากวงจรที่สร้างขึ้นผลที่ได้วัดจริง พบว่า การตอบสนองในการรักษาระดับแรงดันเอาต์พุตไว้ได้ คือแรงดันไม่ได้เปลี่ยนแปลงตามโหลดที่เปลี่ยนแปลงทันทีทันใด โดยที่ค่าคัตออฟไซเคิลจะปรับเปลี่ยนไปตามโหลดที่เพิ่มแต่ละระดับ เพื่อชดเชยรักษาระดับแรงดันไฟฟ้าไว้ได้

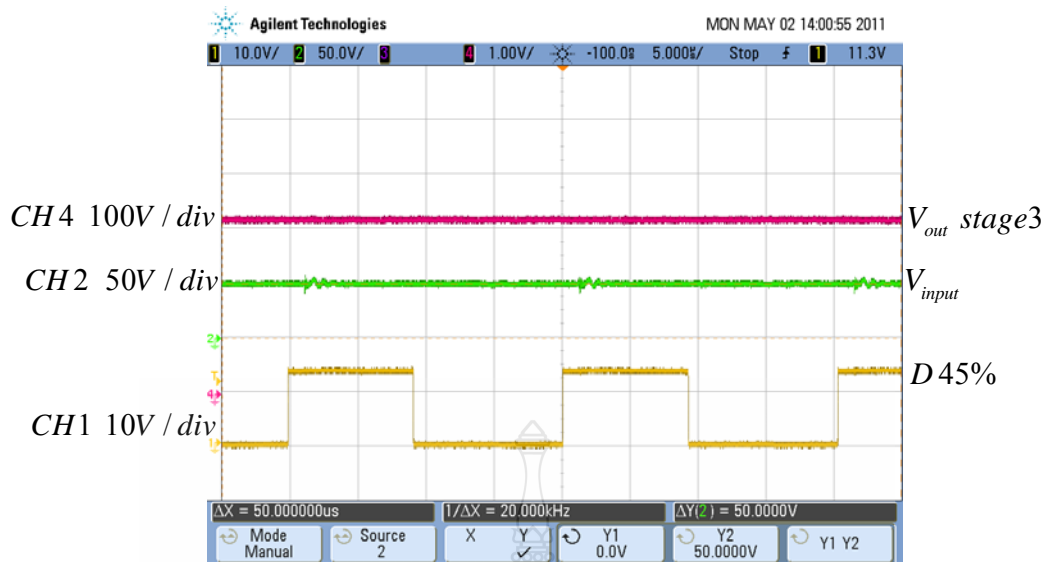
ทำการทดสอบที่เปลี่ยนแปลงระดับแรงดันอินพุต ความถี่สวิตซ์ 50 kHz เพื่อสังเกตการเปลี่ยนแปลงของแรงดันเอาต์พุต โดยต่อโหลด(โหลดได้ 100W 2โหลดต่ออนุกรม ค่าความต้านทาน  $66 \Omega$  : ลำดับโหลด)ดังที่จะแสดงตามตารางที่ 4.4

ตารางที่ 4.4 การทดสอบค่าแรงดันเอาต์พุตและดีวีดีไอที่เกิดขึ้นเมื่อแรงดันอินพุตเปลี่ยนแปลง แบบวงปิด

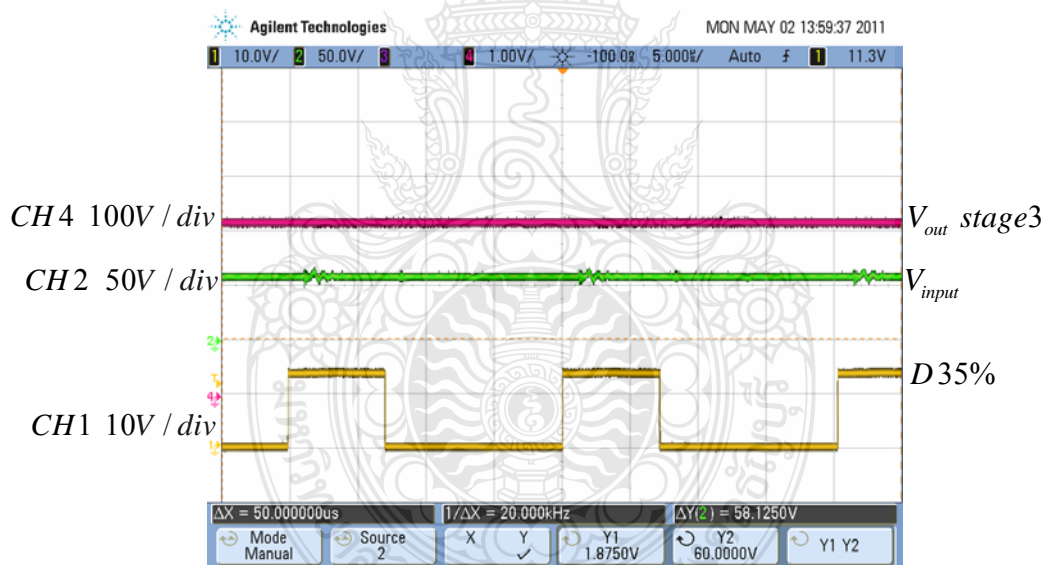
แรงดันอินพุต (V)	40	50	60	70
ดีวีดีไอ (%)	60	45	35	25
แรงดันเอาต์พุต (V)	311	311	311	311



รูปที่ 4.11 สัญญาณแรงดันอินพุต 40 โวลต์และที่ดีวีดีไอเกิด 60% ควบคุมแบบวงปิด

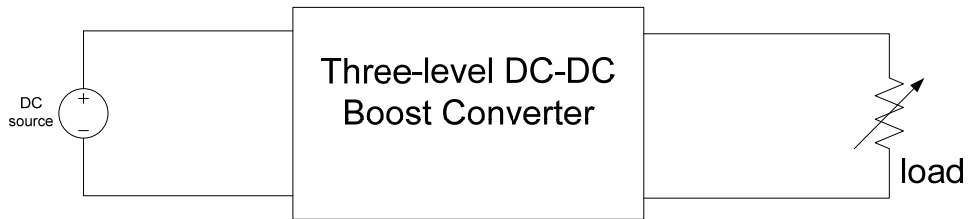


รูปที่ 4.12 สัญญาณแรงดันอินพุต 50 โวลต์และที่ดิวตี้ไซเคิล 45% ควบคุมแบบวงปิด



รูปที่ 4.13 สัญญาณแรงดันอินพุต 60 โวลต์และที่ดิวตี้ไซเคิล 35% ควบคุมแบบวงปิด

#### 4.1.4 การทดสอบหาประสิทธิภาพโดยรักษาระดับแรงดันอินพุต 50 โวลต์คงที่ แบบวงปิด



รูปที่ 4.14 วงจรวัดค่าประสิทธิภาพ แบบวงปิด

ทดสอบหาประสิทธิภาพวงจรทบทระดับแรงดันไฟฟ้า โดยรักษาระดับแรงดันอินพุต 50 โวลต์ ใช้มัลติมิเตอร์วัดกระแสและแรงดันไฟฟ้าทั้งอินพุตและเอาต์พุต ที่ความถี่ 50 kHz ทำการเปลี่ยนแปลงโหลดตามระดับ และสามารถคำนวณหาประสิทธิภาพได้จากสมการ

$$\eta = \frac{P_{output}}{P_{input}} \times 100\%$$

กำลังไฟฟ้าด้านเอาต์พุตหาได้จาก  $P_{output} = V_{output} \times I_{output}$

กำลังไฟฟ้าด้านอินพุตหาได้จาก  $P_{input} = V_{input} \times I_{input}$

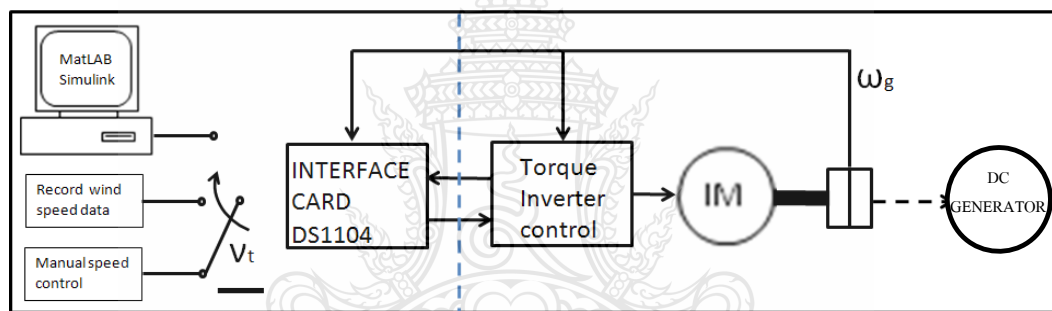
ตารางที่ 4.5 ทดสอบหาค่าประสิทธิภาพโดยรักษาระดับแรงดันอินพุตคงที่ แบบวงปิด

ลำดับ การ เปลี่ยน โหลด	แรงดัน อินพุต (V)	กระแส อินพุต (A)	แรงดัน เอาต์พุต (V)	กระแส เอาต์พุต (A)	กำลังไฟฟ้า อินพุต (W)	กำลังไฟฟ้า เอาต์พุต (W)	ประสิทธิภาพ (%)
1	50	3.75	311	0.37	187	115	61
2	50	6.37	311	0.75	318	233	73
3	50	9.50	311	1.12	475	348	73



## 4.2 เครื่องจำลองกังหันลมด้วยมอเตอร์เหนี่ยวนำที่ควบคุมและแสดงผลด้วยอินเทอร์เฟซการ์ด dSPACE

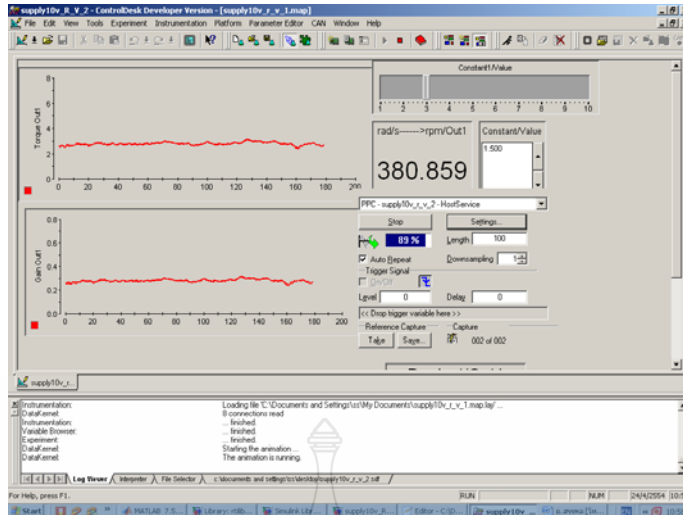
เครื่องจำลองกังหันลมด้วยมอเตอร์เหนี่ยวนำที่มีการควบคุมและแสดงผลด้วยอินเทอร์เฟซการ์ด dSPACE สามารถกำหนดค่าความเร็วลมต่างๆได้โดยผ่าน โปรแกรม Matlab/Simulink แต่จะมีความล่าช้าในกระบวนการประมวลผลอันเนื่องมาจากการต้องมีการเปลี่ยนแปลงค่าพารามิเตอร์ต่างๆ เช่น ขนาดใบ ความแปรปรวน ก่อนแล้วจึงทำการส่งผ่านสัญญาณให้กับอินเทอร์เฟซการ์ด dSPACE ทำการประมวลผลแปลงค่าเป็นแบบทันทีเวลา ทุกครั้งซึ่งเสียเวลามาก ในงานวิจัยนี้จึงได้ใช้โปรแกรม Control Desk เป็นโปรแกรมที่ใช้ควบคุมค่าพารามิเตอร์ผ่านหน้าต่างของ Graphic User Interface เมื่อได้ทำการส่งผ่านสัญญาณให้กับอินเทอร์เฟซการ์ด ทำการประมวลผลแปลงเป็นแบบทันทีเวลาในครั้งแรกแล้วการเปลี่ยนแปลงค่าพารามิเตอร์ต่างๆจะถูกควบคุมที่หน้าต่างของโปรแกรม Control Desk



(ก) โครงสร้างและส่วนประกอบเครื่องจำลองกังหันลม



(ข) เครื่องจำลองกังหันลมต้นแบบที่สร้างขึ้น

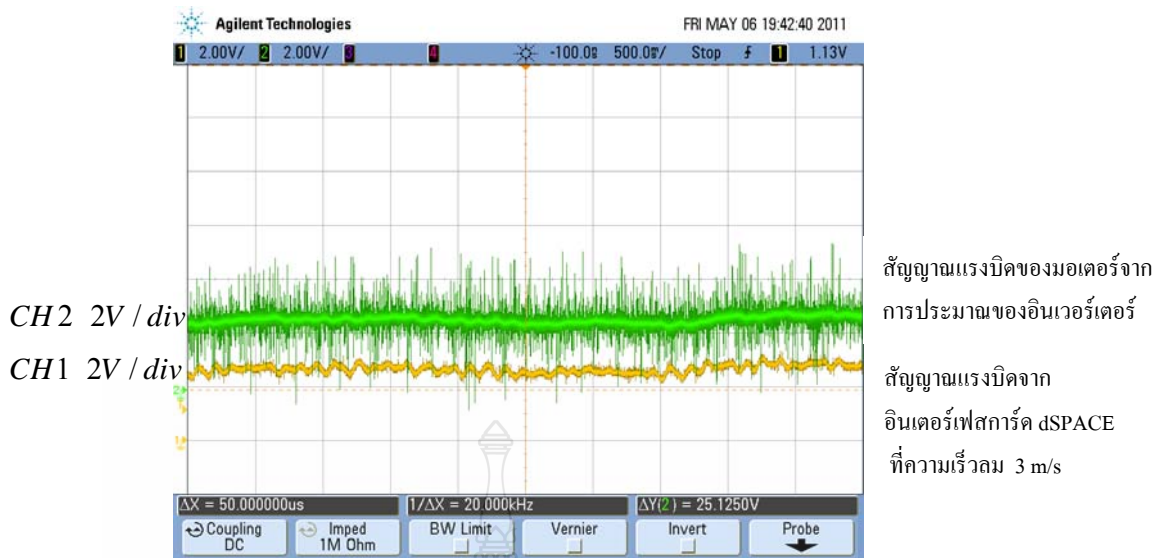


(ค) โปรแกรม Control Desk ใช้ปรับเปลี่ยนความเร็วลม

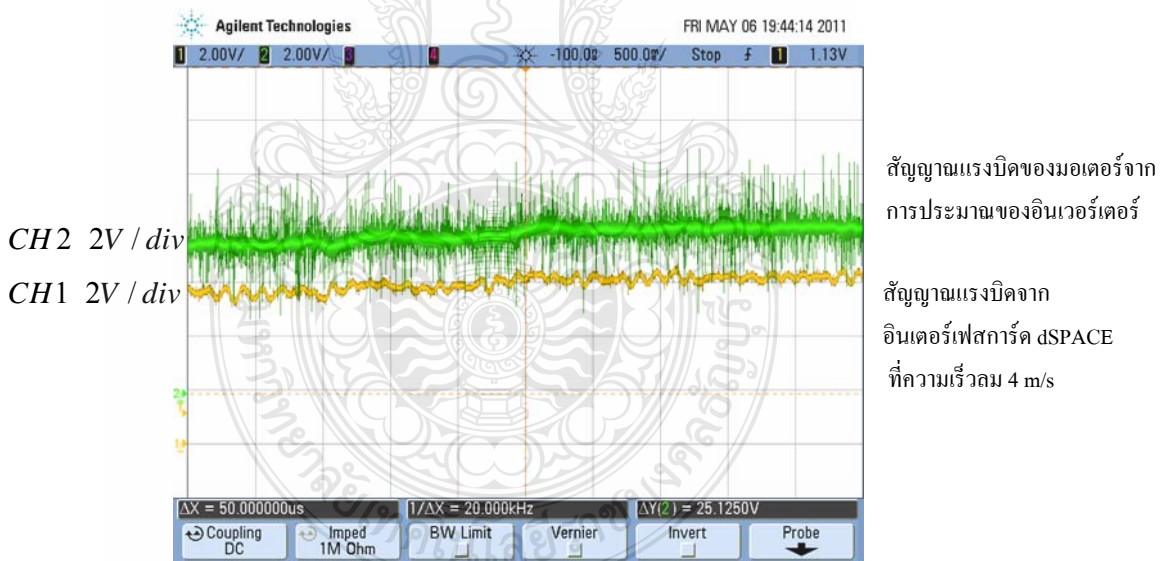
รูปที่ 4.15 เครื่องจำลองกังหันลมด้วยมอเตอร์เหนี่ยวนำที่มีการควบคุมและแสดงผลด้วย อินเทอร์เน็ต dSPACE ที่สร้างขึ้น

#### 4.1.5 การทดสอบเครื่องจำลองกังหันลม

จากการเก็บข้อมูลการวัดความเร็วลม ณ ตึกคณะวิศวกรรมศาสตร์ มหาวิทยาลัยเทคโนโลยีราชมงคลกรุงเทพ ที่ความสูง 30 เมตร จำนวน 5 วัน ที่กล่าวไว้ในบทที่ 2 ทราบว่าความเร็วลมแต่ละวันมีค่าไม่สม่ำเสมอเมื่อคิดเป็นค่าเฉลี่ยประมาณ 3 เมตรต่อวินาที (3m/s) มาเป็นข้อมูลเริ่มต้นเสมือนเครื่องจำลองกังหันลมด้วยมอเตอร์เหนี่ยวนำ โดยการกำหนดค่าพารามิเตอร์ต่างๆไว้ที่โปรแกรม Matlab/Simulink ทำการประมวลผลส่งผ่านสัญญาณให้กับอินเทอร์เน็ตเฟสการ์ด dSPACE แล้วส่งผ่านเข้าอินเทอร์เน็ตสั่งการให้มอเตอร์เหนี่ยวนำหมุนเสมือนกังหันลม เราสามารถวัดรูปสัญญาณดังกล่าวจากวงจรที่สร้างขึ้นมาได้ดังนี้



รูปที่ 4.16 เปรียบเทียบสัญญาณแรงบิดของมอเตอร์และสัญญาณแรงบิดอินเตอร์เฟสการ์ด ที่ความเร็วลม 3 m/s

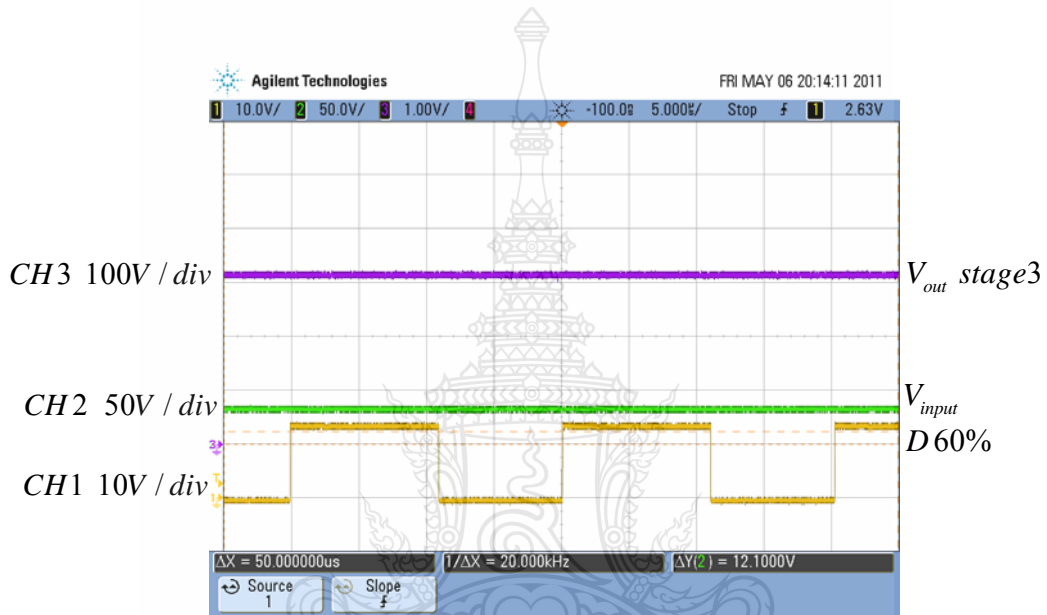


รูปที่ 4.17 เปรียบเทียบสัญญาณแรงบิดของมอเตอร์และสัญญาณแรงบิดอินเตอร์เฟสการ์ด ที่ความเร็วลม 4 m/s

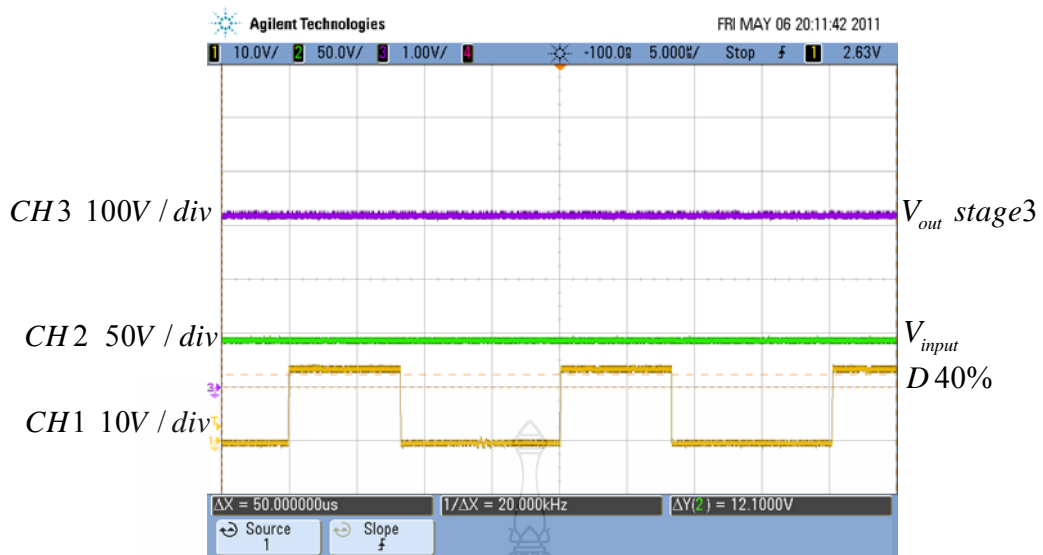
จากรูปที่ 4.16 – 4.17 แสดงการเปรียบเทียบสัญญาณแรงบิดของมอเตอร์จากการประมาณของอินเวอร์เตอร์และสัญญาณแรงบิดอินเตอร์เฟสการ์ด dSPACE จากวงจรที่สร้างขึ้นผลที่ได้วัดจริง พบว่า การตอบสนองสัญญาณทั้งสองมีความใกล้เคียงกันเสมือนเป็นสัญญาณเดียวกัน

### 4.3 การทดสอบวงจรทระดับแรงดันไฟฟ้าแบบสามระดับด้วยเครื่องจำลองกังหันลม

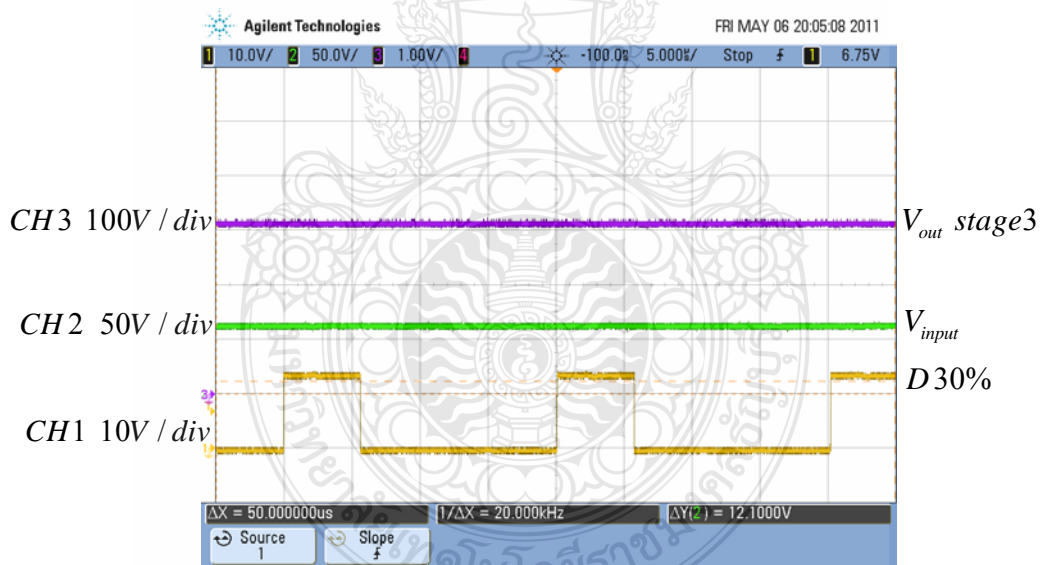
เมื่อทำการออกแบบในส่วนของวงจรกำลังและวงจรควบคุมของวงจรทระดับแรงดันไฟฟ้าแบบสามระดับแล้ว นำวงจรมาสร้างเป็นเครื่องต้นแบบแล้วมาต่อร่วมกับเครื่องจำลองกังหันลมด้วยมอเตอร์เหนี่ยวนำที่มีการควบคุมและแสดงผลด้วยอินเตอร์เฟซการ์ด dSPACE โดยทดสอบวัดค่าที่การควบคุมแบบวงปิดแบบเปลี่ยนแปลงโหลดทันที และกำหนดค่าการแปรปรวนลมเป็น สองระดับ ดังจะได้แสดงดังต่อไปนี้



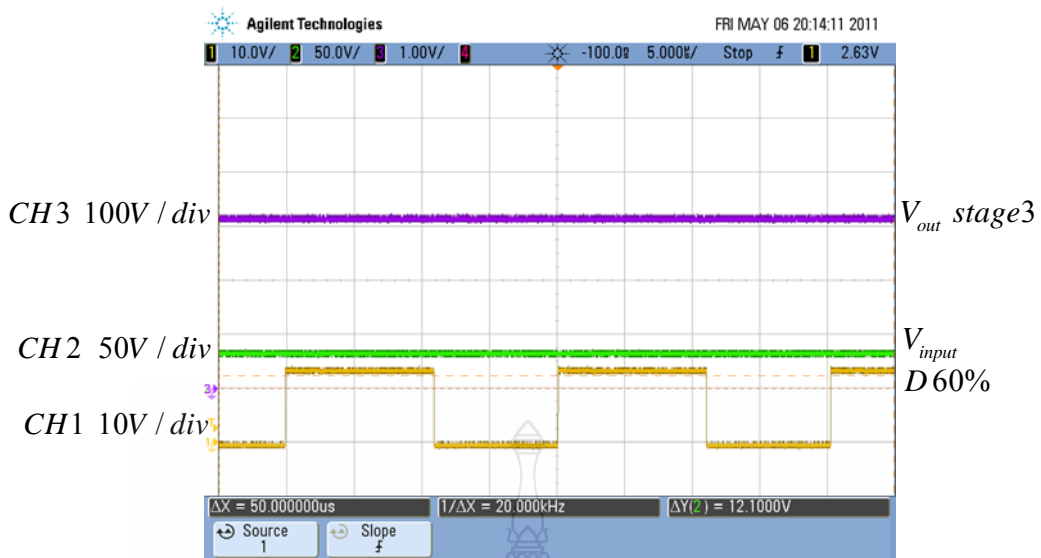
รูปที่ 4.18 สัญญาณแรงดันอินพุต 35 โวลต์ แรงดันเอาต์พุต 311 โวลต์ ที่คิวซีไซเคิล 60% ควบคุมแบบวงปิด ที่ความเร็วลม 3 m/s และความแปรปรวนลม 2 %



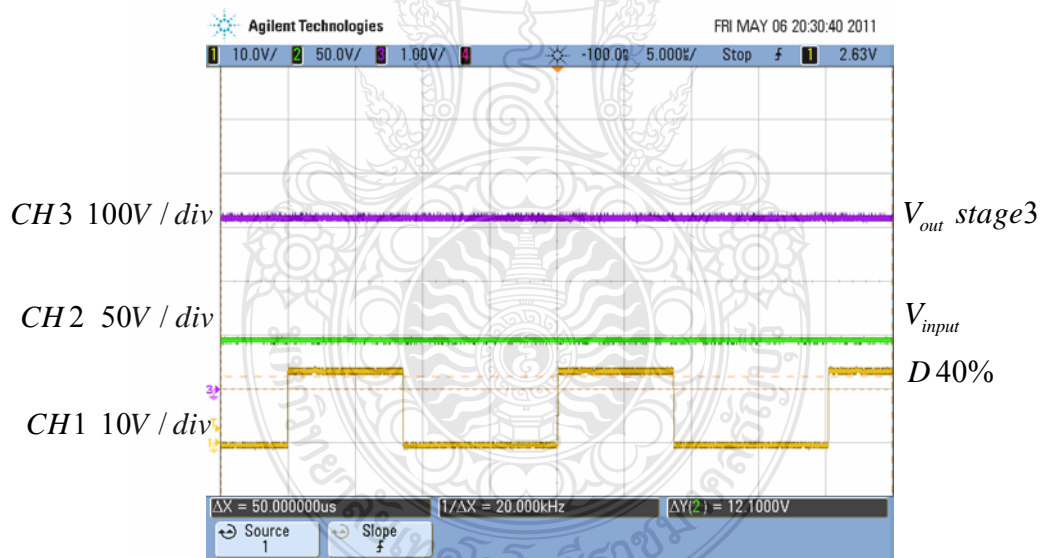
รูปที่ 4.19 สัญญาณแรงดันอินพุต 40 โวลต์ แรงดันเอาต์พุต 311 โวลต์ ที่คิวตี้ไซเคิล 40%  
ควบคุมแบบวงปิด ที่ความเร็วลม 4 m/s และความแปรปรวนลม 2 %



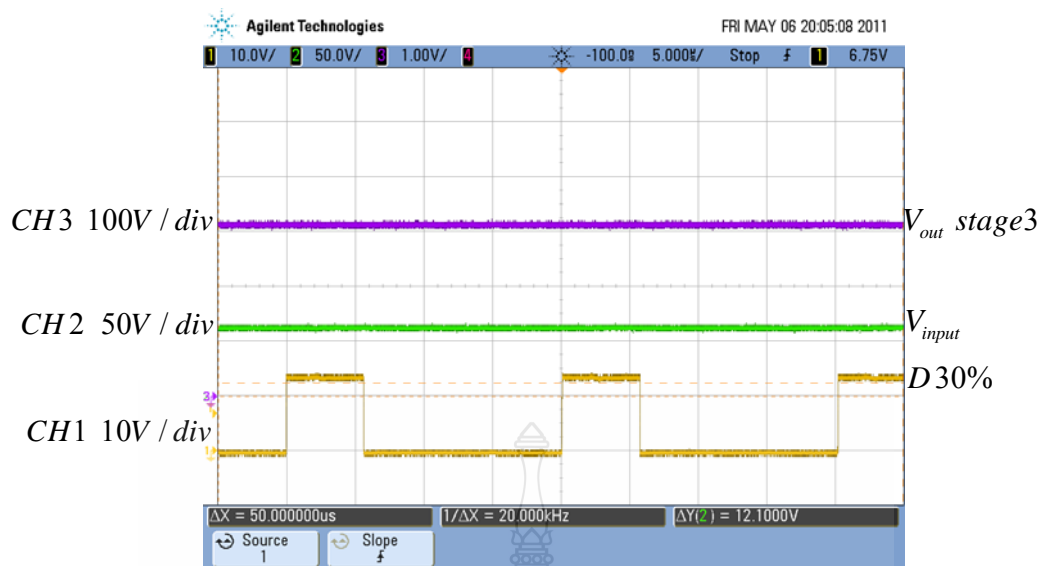
รูปที่ 4.20 สัญญาณแรงดันอินพุต 60 โวลต์ แรงดันเอาต์พุต 311 โวลต์ ที่คิวตี้ไซเคิล 30%  
ควบคุมแบบวงปิด ที่ความเร็วลม 5 m/s และความแปรปรวนลม 2 %



รูปที่ 4.21 สัญญาณแรงดันอินพุต 35 โวลต์ แรงดันเอาต์พุต 311 โวลต์ ที่คิวตี้ไซเคิล 60%  
ควบคุมแบบวงปิด ที่ความเร็วลม 3 m/s และความแปรปรวนลม 5 %

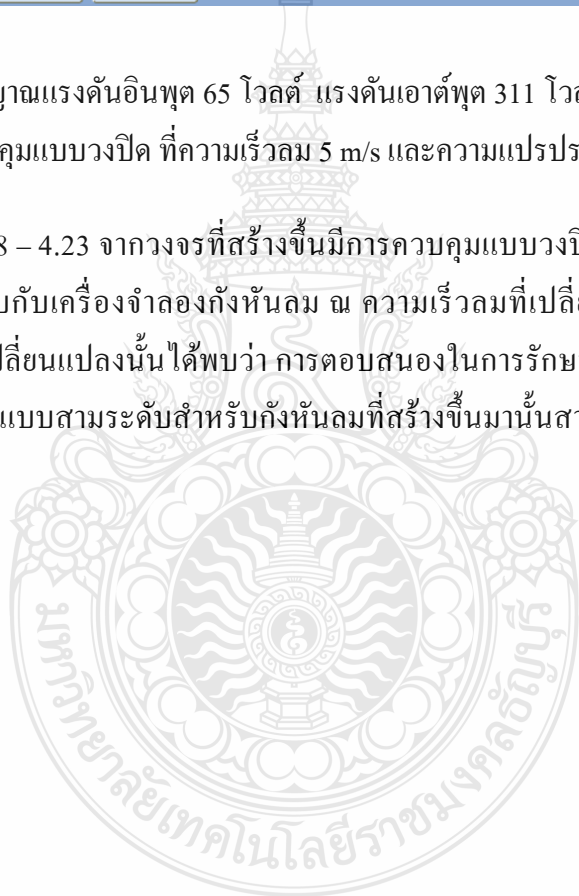


รูปที่ 4.22 สัญญาณแรงดันอินพุต 48 โวลต์ แรงดันเอาต์พุต 311 โวลต์ ที่คิวตี้ไซเคิล 40%  
ควบคุมแบบวงปิด ที่ความเร็วลม 4 m/s และความแปรปรวนลม 5 %



รูปที่ 4.23 สัญญาณแรงดันอินพุต 65 โวลต์ แรงดันเอาต์พุต 311 โวลต์ ที่คิวตี้ไซเคิล 30%  
ควบคุมแบบวงปิด ที่ความเร็วลม 5 m/s และความแปรปรวนลม 5 %

จากรูปที่ 4.18 – 4.23 จากวงจรที่สร้างขึ้นมีการควบคุมแบบวงปิดแบบเปลี่ยนแปลงโหลดทันที ผลการทดสอบกับเครื่องจำลองกังหันลม ณ ความเร็วลมที่เปลี่ยนแปลงไป รวมคือความแปรปรวนของลมที่เปลี่ยนแปลงนั้นได้พบว่า การตอบสนองในการรักษาระดับแรงดันเอาต์พุตของวงจรทระดับแรงดันแบบสามระดับสำหรับกังหันลมที่สร้างขึ้นมานั้นสามารถคงแรงดันเอาต์พุตไว้ได้จริง



## บทที่ 5

### สรุปผลและข้อเสนอแนะ

วิทยานิพนธ์ฉบับนี้ ศึกษาการทำงานและออกแบบวงจรทบทระดับแรงดันแบบคาสเคดแบบสามระดับเพื่อใช้งานร่วมกับเครื่องกำเนิดไฟฟ้ากระแสตรง โดยมีเครื่องจำลองกังหันลมเป็นต้นกำลังที่มีการควบคุมและแสดงผลด้วยอินเทอร์เฟซการ์ด dSPACE โดยจากการศึกษาลักษณะการทำงานของทบทระดับแรงดันไฟฟ้าแบบเดิม พบว่าสามารถต่อแบบคาสเคดเพื่อเปลี่ยนแปลงระดับแรงดันไฟฟ้าให้สูงเป็นระดับๆได้มากขึ้น โดยใช้สวิทช์และตัวเหนี่ยวนำอย่างละหนึ่งตัว และเมื่อนำวงจรทบทระดับแรงดันไฟฟ้าที่สร้างขึ้นต่อร่วมกับเครื่องจำลองกังหันลมที่มีเครื่องกำเนิดไฟฟ้ากระแสตรงเป็นแรงดันอินพุตให้กับวงจรแปลงผัน พบว่าไม่สามารถรักษาแรงดันเอาต์พุตให้คงที่ได้เมื่อมีการเปลี่ยนแปลงโหลดทันทีทันใด ซึ่งในงานวิจัยนี้ได้เสนอตัวควบคุมแบบวงปิดแบบเฟสนำหน้า-ล่าหลัง

ผู้วิจัยได้สร้างวงจรทบทระดับแรงดันไฟฟ้าแบบสามระดับสำหรับกังหันลม ซึ่งประกอบด้วยวงจรทบทระดับไฟฟ้าแบบคาสเคด เครื่องจำลองกังหันลมใช้มอเตอร์เหนี่ยวนำที่มีการควบคุมและแสดงผลด้วยอินเทอร์เฟซการ์ด dSPACE ที่ต่อร่วมกับเครื่องกำเนิดไฟฟ้ากระแสตรง เพื่อทำการทดสอบวงจรทบทระดับแรงดันไฟฟ้าแบบสามระดับที่มีการเปลี่ยนแปลงโหลดทันทีทันใด และรักษาแรงดันเอาต์พุตให้มีระดับแรงดันไฟฟ้า 311 โวลต์ให้คงที่ ผลการทดสอบร่วมกับผลการศึกษานำมาสรุปเป็นผลการวิจัยและข้อเสนอแนะได้ดังนี้

#### 5.1 สรุปผลงานวิจัย

วงจรทบทระดับแรงดันแบบสามระดับ(ตัวทดสอบ)ที่ต่อกับเครื่องจำลองกังหันลม(ต้นกำลัง)ใช้มอเตอร์เหนี่ยวนำที่มีการควบคุมและแสดงผลด้วยอินเทอร์เฟซการ์ด dSPACE ร่วมกับเครื่องกำเนิดไฟฟ้ากระแสตรงเป็นอินพุตให้วงจรนั้น พบว่าวงจรทบทระดับแรงดันแบบสามระดับไม่สามารถรักษาแรงดันเอาต์พุตให้คงที่ 311 โวลต์ให้คงที่ได้เมื่อมีการเปลี่ยนแปลงโหลดทันทีทันใด ดังนั้น วิทยานิพนธ์ฉบับนี้จึงนำเสนอตัวควบคุมแบบวงปิดแบบเฟสนำหน้า-ล่าหลัง

จากผลการทดสอบพบว่าเครื่องจำลองกังหันลมใช้มอเตอร์เหนี่ยวนำที่มีการควบคุมและแสดงผลด้วยอินเทอร์เฟซการ์ด dSPACE ต่อร่วมกับเครื่องกำเนิดไฟฟ้ากระแสตรงเป็นอินพุตให้วงจรที่มีความเร็วลม 3 - 5 m/s มีความแปรปรวนลม 2 - 5 % มีระดับแรงดันไฟฟ้า 35 - 65 โวลต์ ดังรูปที่ 4.18 - 4.23 นี้วงจรทบทระดับแรงดันแบบสามระดับควบคุมแบบวงปิดแบบเฟสนำหน้า-ล่าหลังที่มีการเปลี่ยนแปลงโหลดทันทีทันใด สามารถรักษาแรงดันเอาต์พุตให้คงที่ 311 โวลต์ให้คงที่

จากที่กล่าวมาทั้งหมดวงจรทบทระดับแรงดันไฟฟ้าแบบคาสเคดสามระดับควบคุมแบบวงปิดที่สร้างขึ้นมานั้นสามารถเปลี่ยนแปลงระดับแรงดันอินพุตที่ค่าให้มีระดับแรงดันเอาต์พุตให้สูงขึ้น



ที่มีการเปลี่ยนแปลงโหลดทันทีทันใด สามารถรักษาแรงดันไฟฟ้า 311 โวลต์ให้คงที่ โดยการทดสอบสามารถต่อร่วมกับเครื่องจำลองกังหันลมที่มีเครื่องกำเนิดไฟฟ้ากระแสตรงเป็นอินพุตให้วงจรที่กำหนดค่าความเร็วลมได้จากโปรแกรม Matlab/Simulink หรือโปรแกรม Control Desk แต่มีข้อเสียคือต้องเลือกเครื่องกำเนิดไฟฟ้าให้เหมาะสมกับมอเตอร์เหนี่ยวนำหรือเลือกใช้เครื่องกำเนิดไฟฟ้าที่ถูกออกแบบมาสำหรับกังหันลม เพราะแรงดันเอาต์พุตจะมีระดับที่สูงกว่าที่ได้นำเสนอได้

## 5.2 ข้อเสนอแนะในการวิจัย

เนื่องจากงานวิจัยนี้ต้องการนำเสนอ วงจรทระดับแรงดันแบบสามระดับสำหรับกังหันลม ดังนั้นจึงควรแก้ไขเพิ่มเติมในส่วนต่อไปนี้

5.2.1 ควรนำข้อดีของการควบคุมแบบเฟสนำหน้า-ล่าหลังมาใช้เพื่อรักษาระดับแรงดันไฟฟ้าให้คงที่ได้แบบวงปิด

5.2.2 ควรนำตัวควบคุมที่สร้างขึ้นมาทดสอบกับกังหันลมจริง

5.2.3 ควรมีการทดสอบกับเครื่องกำเนิดไฟฟ้าหลายประเภท

5.2.4 ควรพัฒนาให้สามารถทำงานร่วมกับระบบส่งจ่ายไฟฟ้าได้

5.2.5 หากต้องการลดกำลังสูญเสียให้น้อยที่สุด จึงควรใช้คอนเวอร์เตอร์ที่ใช้เทคนิคสวิตช์แบบนิ่มนวล (Soft Switching)

## เอกสารอ้างอิง

- [1] การพยากรณ์ความต้องการไฟฟ้า,คณะอนุกรรมการพยากรณ์ความต้องการไฟฟ้า มกราคม 2545.  
<http://www.eppo.go.th/load/load-forecast/index.html> (18 เมษายน 2554).
- [2] Middlebrook R.D., “Transformerless DC-to-DC converters with large conversion ratios,”  
**IEEE Trans. Power Electron.**, pp. 484–488,1988.
- [3] Maksimovic D., and CUK S., “Switching converters with wide DC conversion range,” **IEEE Trans. Power Electron.**, pp. 151–157,1991.
- [4] Dongyan Z, Pietkiewicz, Pietkiewicz A, and CUK S., “A three-switch high-voltage converter,”  
**IEEE Trans. Power Electron.**, pp. 177–183,1999.
- [5] Abutbul O, Gherlitz A, Berkovich Y, and Ioinovici A., “Step-up switching-mode converter with high voltage gain using a switched-capacitor circuit,” **IEEE Trans. Circuits Syst. I: Fundam. Theory.**, pp. 1098–1102,2003.
- [6] Yonetani S, KondoY, Akagi H, and Fujita H ., “A6.6-kV Transformerless STATCOM based on a five-level diode-clamped PWM converter system design and experimentation of a 200-V 10-kVA laboratory model,” **IEEE Trans. Ind.**, pp. 672–680.
- [7] Rodriguez J, Lai J.-S, and Peng F.Z., “Multilevel inverters a survey of topologies, controls, and applications,” **IEEE Trans. Ind. Electron.**, pp. 724–738,2002.
- [8] Lai J.-S, and Peng F.Z., “Multilevel converters – a new breed of power converters,” **IEEE Trans. Ind.**, pp. 509–517, 1996.
- [9] Fan Z, Peng F.Z, and Zhaoming Q., “Study of the multilevel converters in DC–DC applications,” **IEEE 35th Annual Power Electronics Specialists Conf.**, PESC 04, vol. 2, pp. 1702–1706,2004.
- [10] Julio C.R.-C, Ramirez J.M, and Dedro M.G.-V., “NovelDC–DC multilevel boost converter,” **Proc. IEEE Power Electronics Specialists Conf.**, 2008.
- [11] วีรเชษฐ์ ชันเงิน, วุฒิพล ชาราธิรเศรษฐ์, อิเล็กทรอนิกส์กำลัง, กรุงเทพฯ: หจก.วี.เจ.พรีนติ้ง, 2547, หน้า 353 – 375.
- [12] Julio C.R.-C, Ramirez J.M, Peng F.Z, and Valderrabano A., “A DC-DC multilevel boost Converter,” **IET Power Electron.**, Vol. 3, pp129-137,2010.
- [13] Heier, and Siegfried, “**Grid integration of Wind energy conversion systems**,” chichester,England: Wiley,2006.

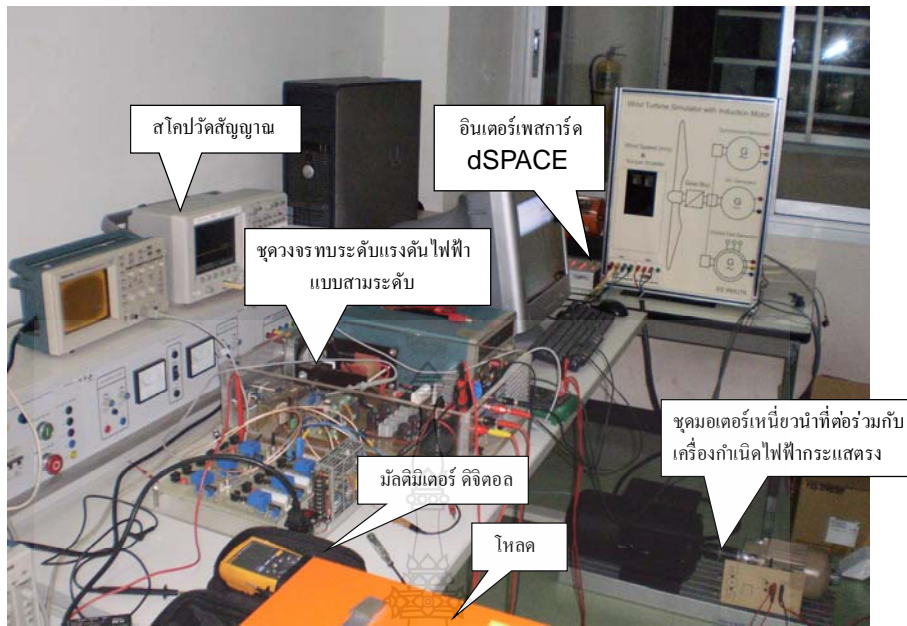
- [14] กรวิทย์ กระจ่างพันธ์, การสร้างและการเปรียบเทียบสมรรถนะของการควบคุมกังหันลมแบบ  
ป้อนล่วงหน้า แบบติดตามกำลังสูงสุด และ แบบพีซีซี สำหรับกังหันลมขนาดเล็กแบบมุมใบ  
พัดคงที่ วิทยานิพนธ์นิพนธ์ สาขาวิชาวิศวกรรมไฟฟ้า ภาควิชาวิศวกรรมไฟฟ้า  
สถาบันเทคโนโลยีพระจอมเกล้าพระนครเหนือ,2549.
- [15] แผนที่ศักยภาพ พลังงานลมในประเทศไทย,กรมพัฒนาพลังงานทดแทนและอนุรักษ์พลังงาน  
กระทรวงพลังงาน มกราคม 2546 . <http://www.dede.go.th/dede/index.php> (เมษายน 2552)
- [16] Nod Mohan, “First Course on Power Electronics,” England: Wiley,2009.



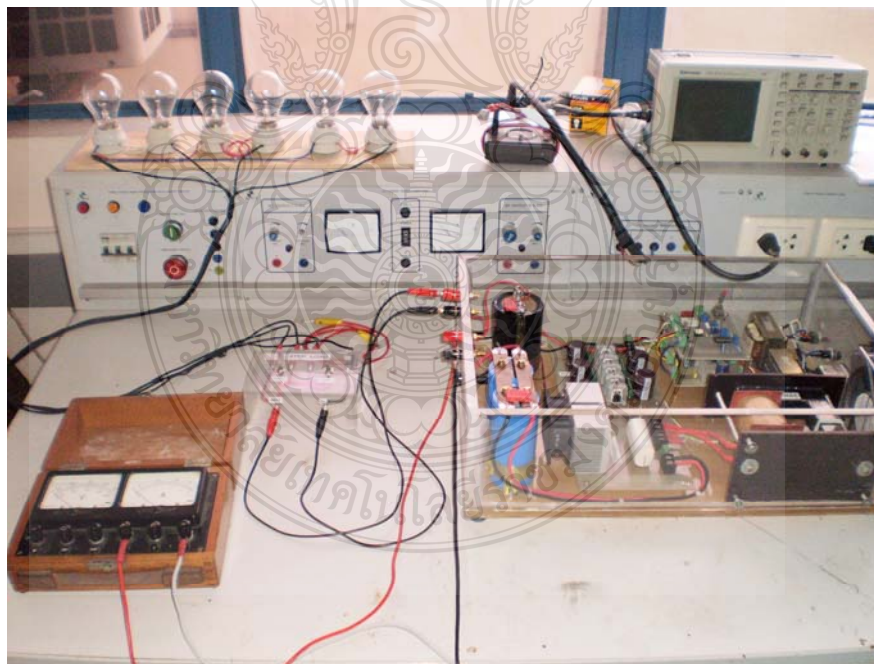


ภาคผนวก ก

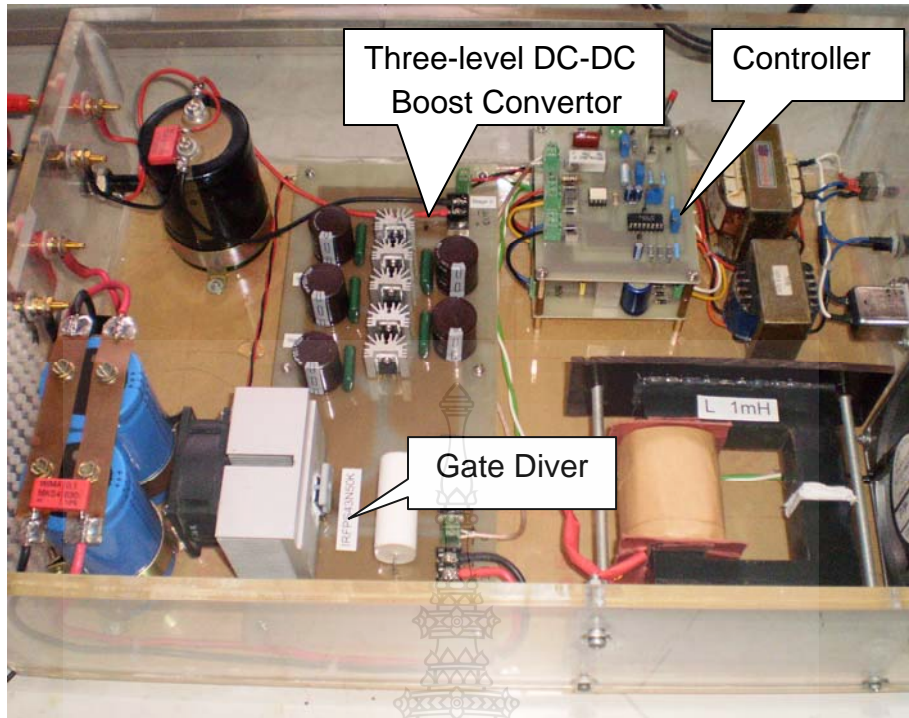
รูปเครื่องต้นแบบ



รูปที่ ก.1 เครื่องต้นแบบวงจรทระดับแรงดันไฟฟ้าแบบสามระดับทดสอบด้วยเครื่องจำลองกังหันลม



รูปที่ ก.2 เครื่องต้นแบบวงจรทระดับแรงดันไฟฟ้าแบบสามระดับที่ใช้ทดสอบ



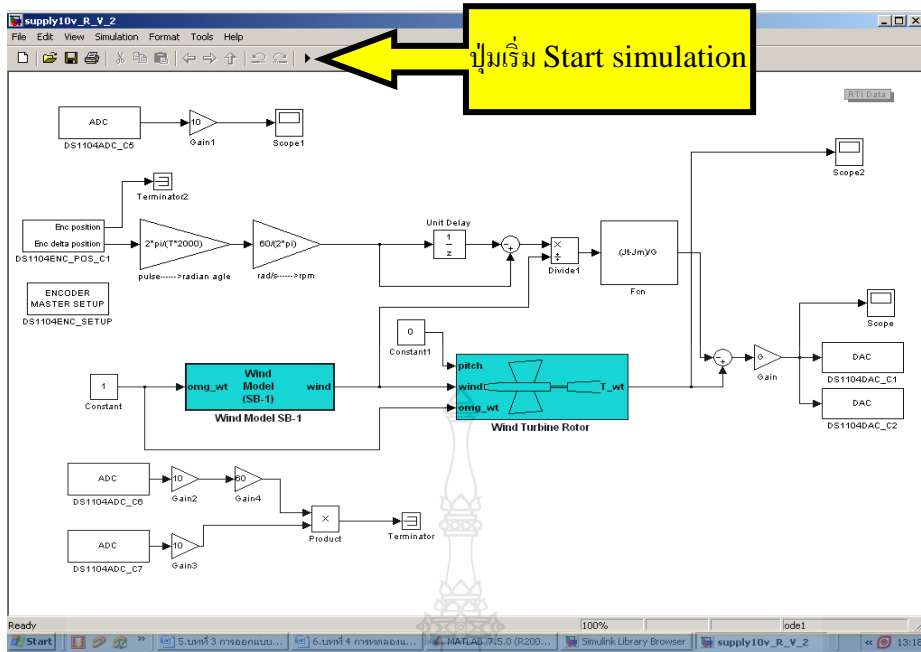
รูปที่ ก.3 อุปกรณ์เครื่องต้นแบบวงจรทบทระดับแรงดันแบบสามระดับ



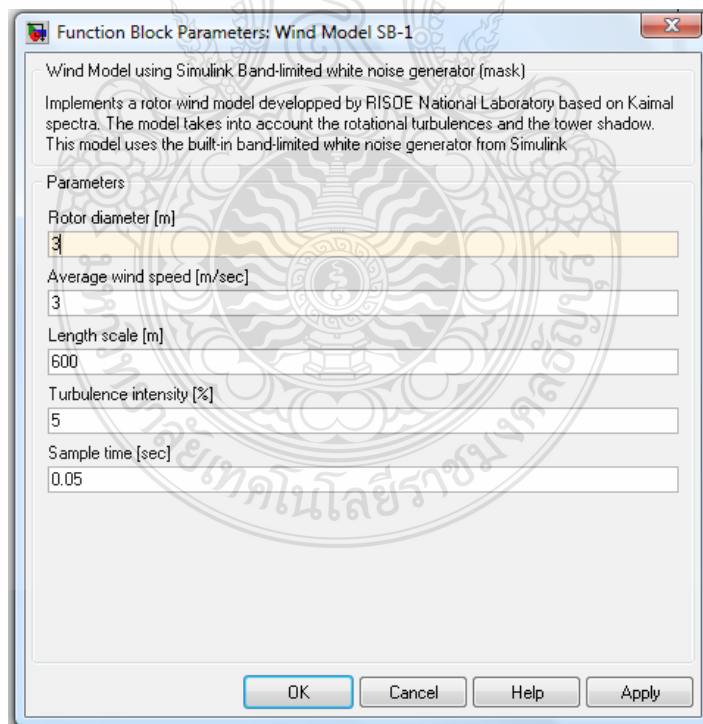
ภาคผนวก ข

โปรแกรมที่ใช้ในการจำลองของเครื่องจำลองกังหันลม



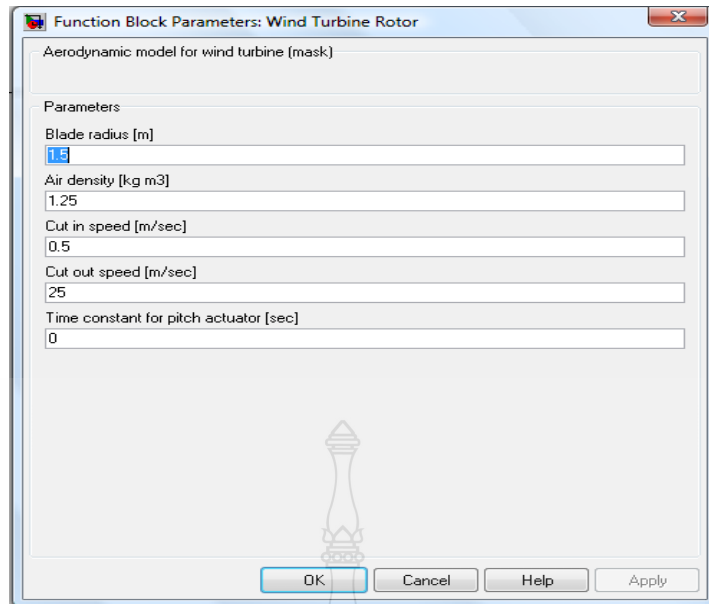


รูปที่ ข.1 โปรแกรม Matlab/Simulink ที่ใช้แบบจำลองระบบเครื่องจำลองกังหันลม

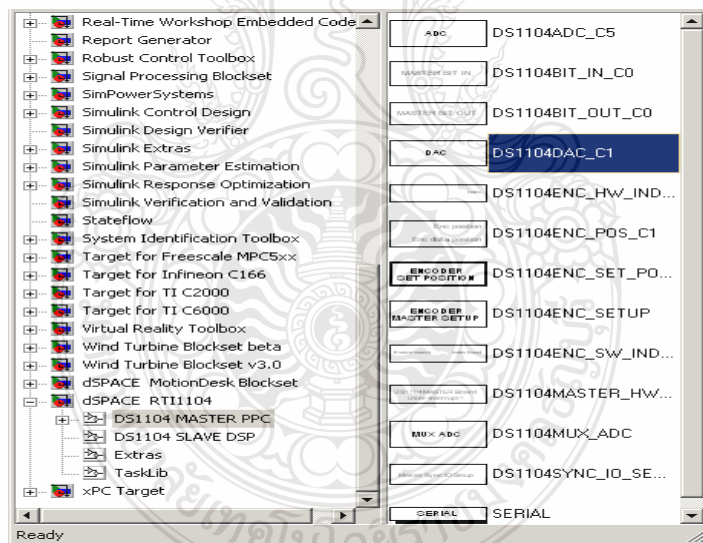


รูปที่ ข.2 การกำหนดค่าใน Block Parameters Wind Model SB-1 ในโปรแกรม Matlab/Simulink

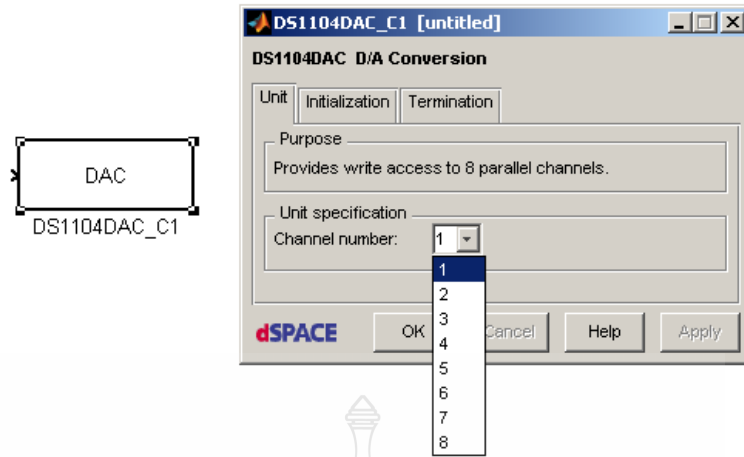




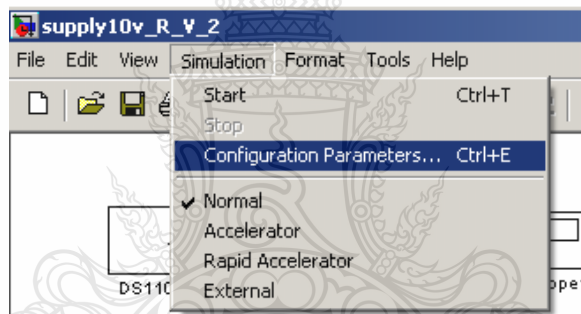
รูปที่ ข.3 การกำหนดค่าใน Block Parameters Wind Turbine Rotor  
ในโปรแกรม Matlab/Simulink



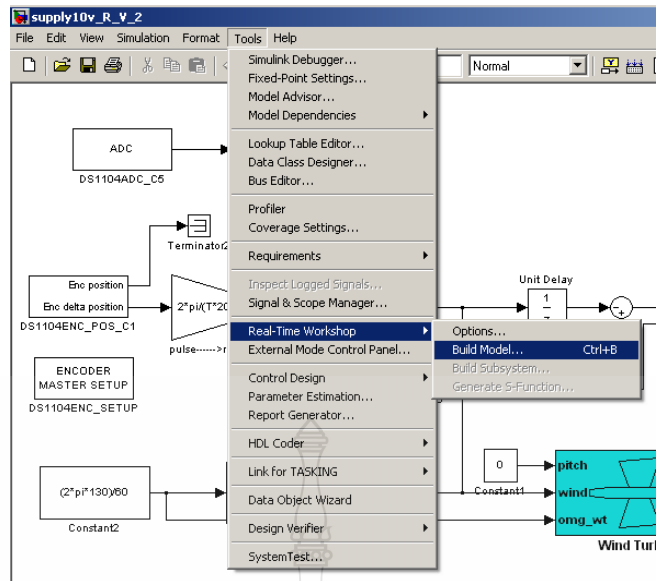
รูปที่ ข.4 การเลือกช่องเอาต์พุตของ Block set D/A โดยไปที่หน้าต่างของ  
Simulink Library Browser



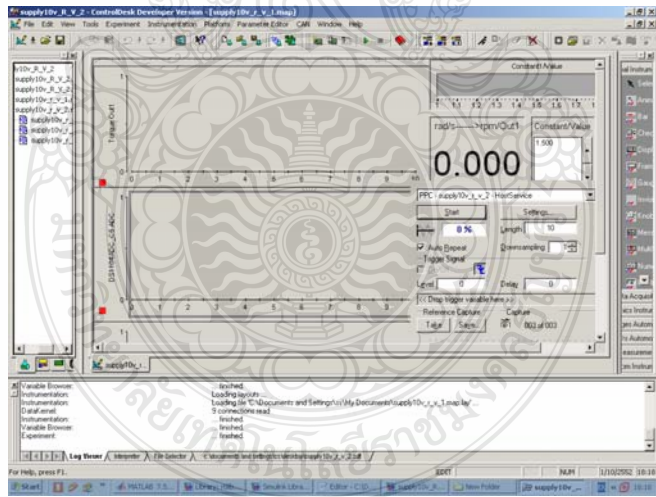
รูปที่ ข.5 การเลือกช่องเอาต์พุตของ Block set D/A



รูปที่ ข.6 การกำหนดค่าคุณลักษณะการแสดงผล โดยไปที่หน้าต่างของ Simulation > Configuration Parameter



รูปที่ ข.7 การส่งสัญญาณให้กับอินเทอร์เฟสการ์ด dSPACE ทำการประมวลผลแปลงเป็นแบบทันเวลาโดยไปที่หน้าต่างของ Tool >Real Times Works >Build Model >Enter

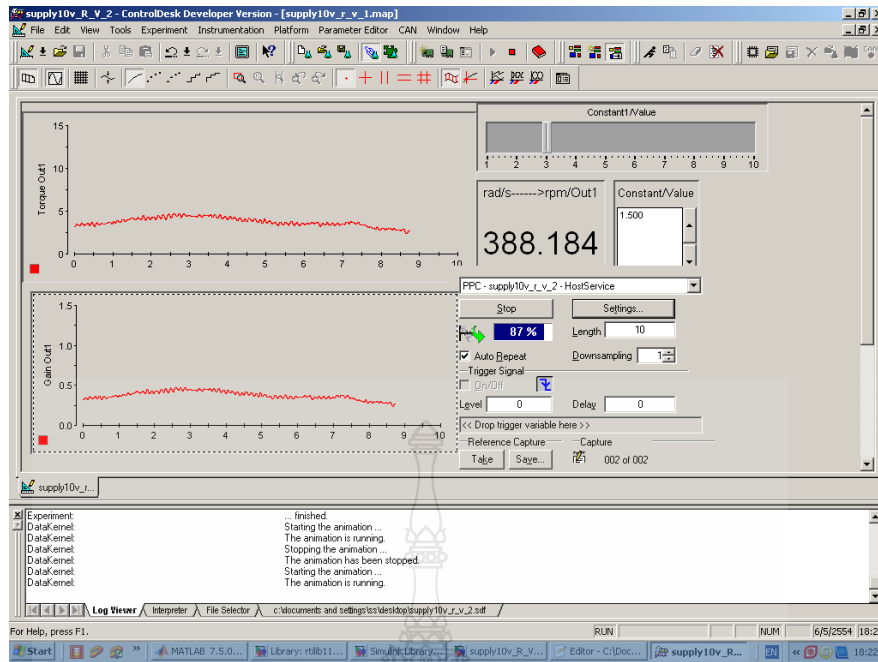


รูปที่ ข.8 โปรแกรม Control Desk เป็นโปรแกรมที่ Control Parameters ผ่านหน้าต่างของ Graphic User Interface แบบทันเวลา

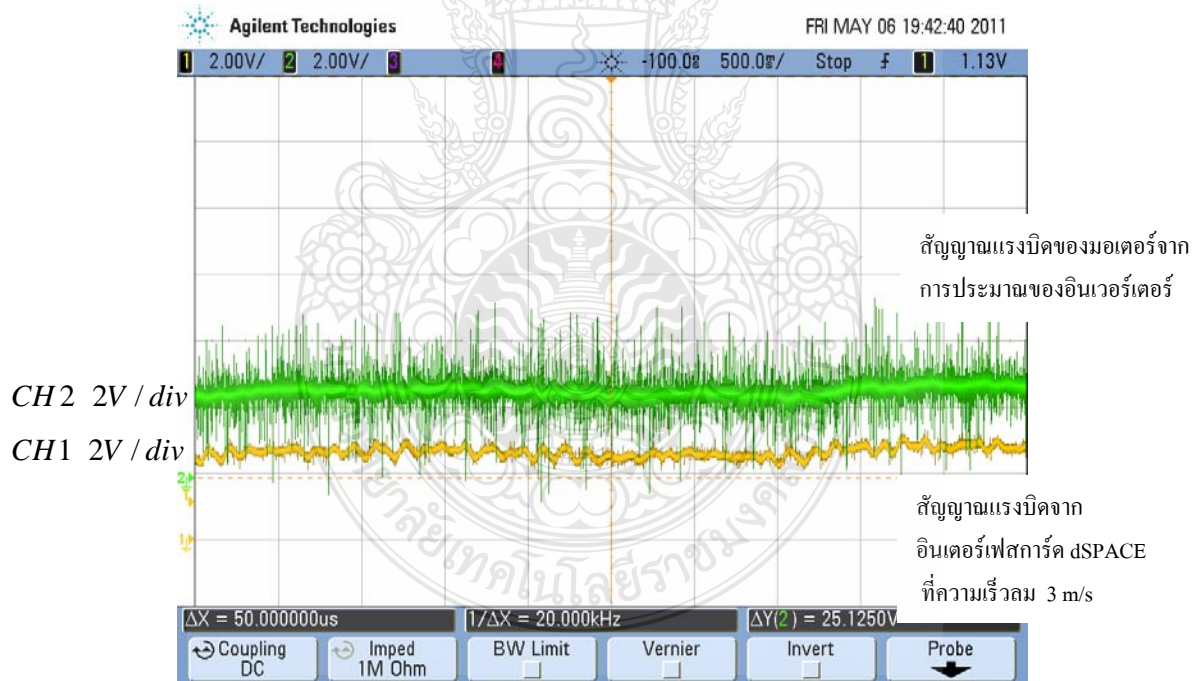


ภาคผนวก ค

ผลการทดสอบเครื่องจำลองกั้นหมจากโปรแกรม Control Desk  
กับวงจรทระดับแรงดันไฟฟ้าแบบสามระดับ

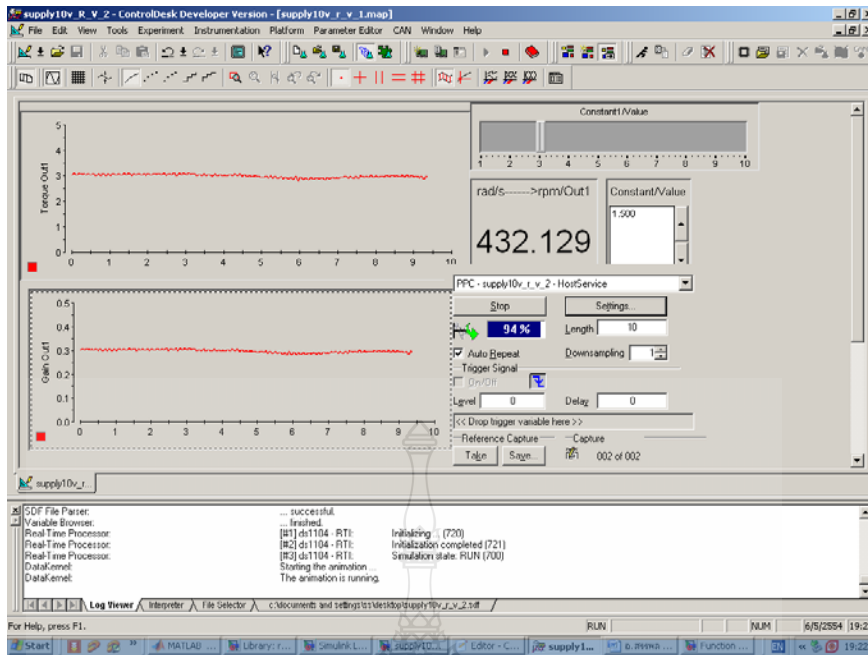


ก)

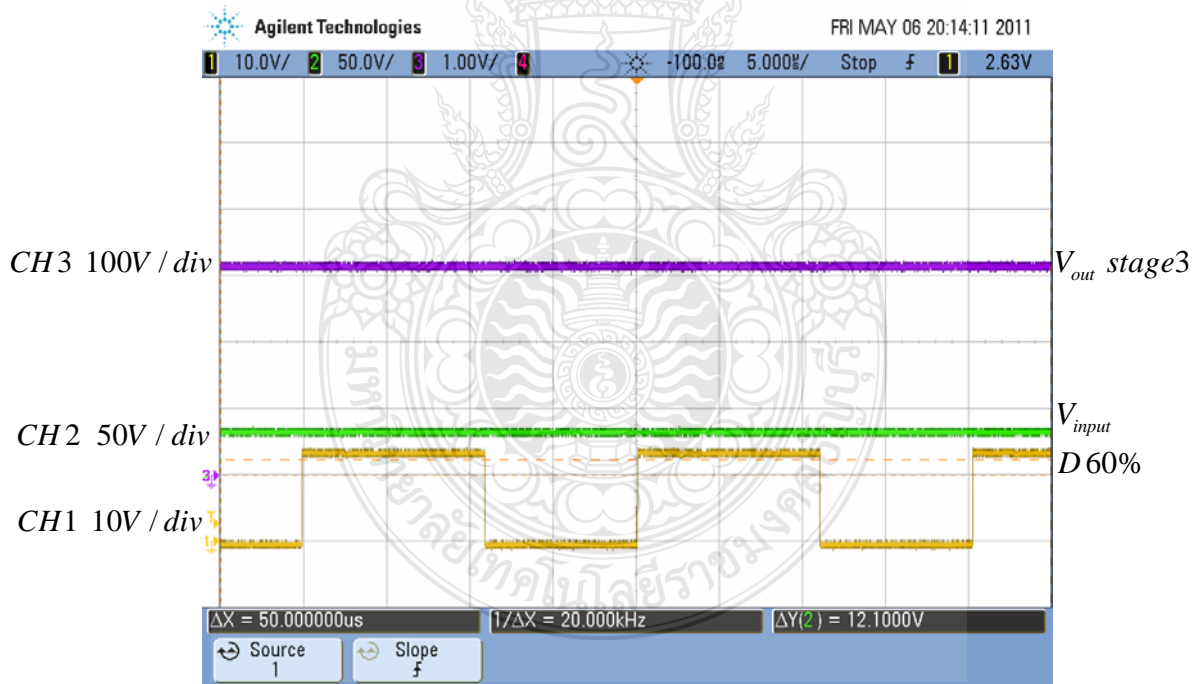


ข)

รูปที่ ก.1 ก) โปรแกรม Control Desk ปรับเปลี่ยนความเร็วลมที่ 3m/s ผ่านหน้าต่างของ GUI  
 ข) สัญญาณแรงบิดของมอเตอร์และสัญญาณแรงบิดอินเตอร์เฟสการ์ดที่ความเร็วลม 3m/s

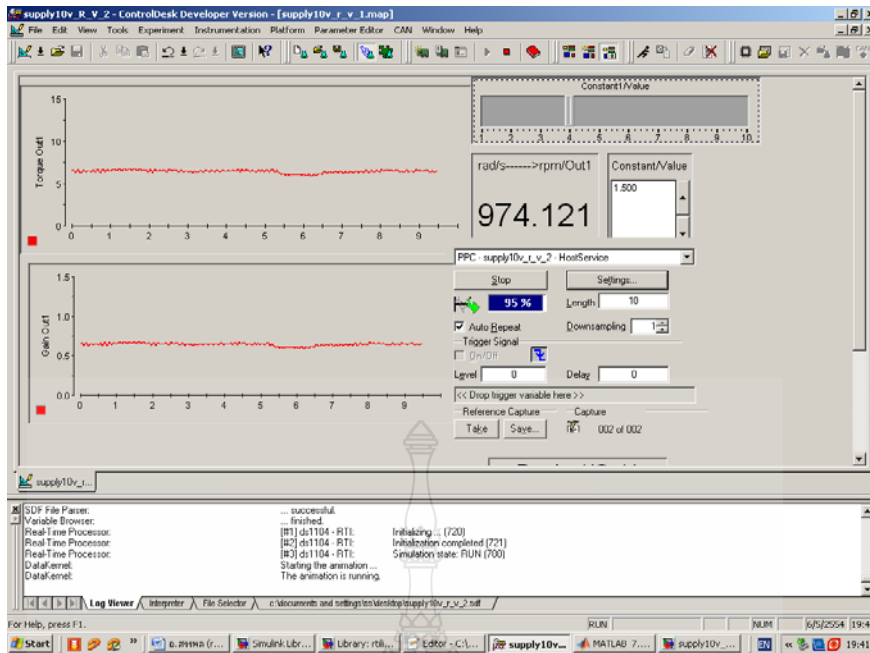


ก)

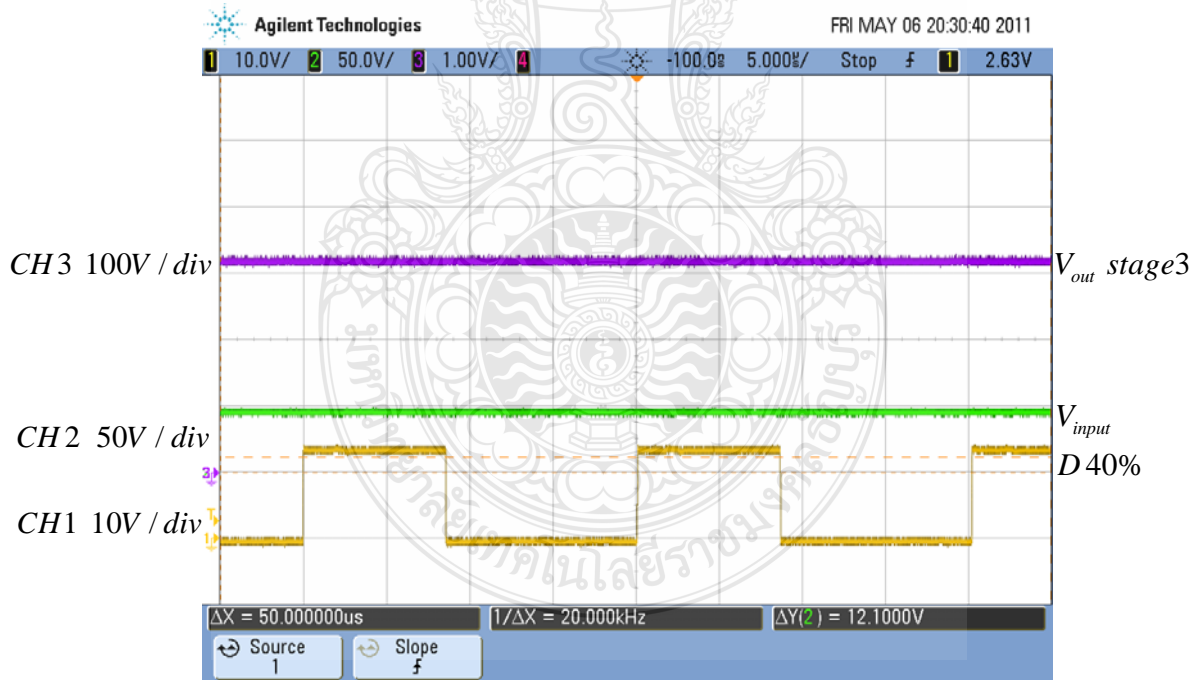


ข)

- รูปที่ ค.2 ก) โปรแกรม Control Desk ปรับเปลี่ยนความเร็วลมที่ 3m/s ที่ความแปรปรวนลม 2%  
 ข) สัญญาณแรงดันอินพุต 35 โวลต์ แรงดันเอาต์พุต 311 โวลต์ ที่คิวตี้ไซเคิล 60%  
 ควบคุมแบบวงปิด ที่ความเร็วลม 5 m/s และความแปรปรวนลม 2 %



ก)



ข)

- รูปที่ ค.3 ก) โปรแกรม Control Desk ปรับเปลี่ยนความเร็วลมที่ 4m/s ที่ความแปรปรวนลม 5%
- ข) สัญญาณแรงดันอินพุต 48 โวลต์ แรงดันเอาต์พุต 311 โวลต์ ที่คิวตี้ไซเคิล 40%  
ควบคุมแบบวงปิด ที่ความเร็วลม 4 m/s และความแปรปรวนลม 5 %



ภาคผนวก ง

ข้อมูลอุปกรณ์



## HIGH SPEED PWM CONTROLLER

### FEATURES

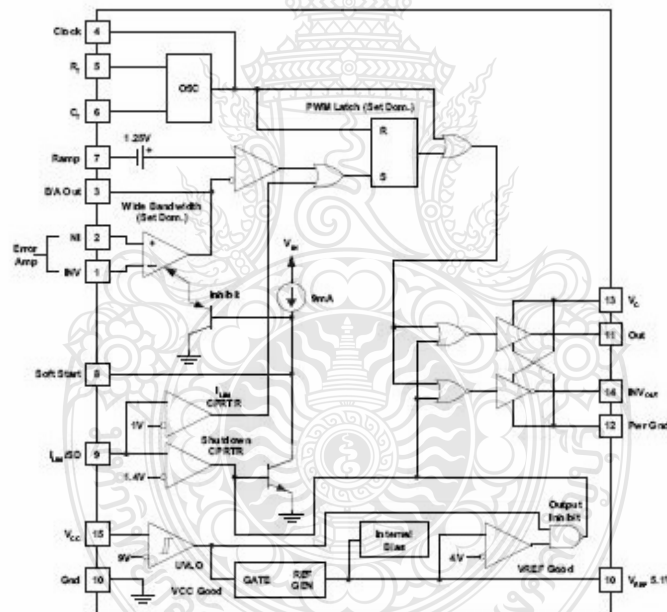
- Complementary Outputs
- Practical Operation Switching Frequencies to 1 MHz
- 50-ns Propagation Delay to Output
- High Current Dual Totem Pole Outputs (1.5 A Peak)
- Wide Bandwidth Error Amplifier
- Fully Latched Logic With Double Pulse Suppression
- Pulse-by-Pulse Current Limiting
- Soft Start/Maximum Duty Cycle Control
- Under-Voltage Lockout with Hysteresis
- Low Start Up Current (1.1 mA)
- Trimmed Bandgap Reference (5.1 V  $\pm$  1%)

### DESCRIPTION

The UC1824 family of PWM control devices is optimized for high frequency switched mode power supply applications. Particular care was given to minimizing propagation delays through the comparators and logic circuitry while maximizing bandwidth and slew rate of the error amplifier. This controller is designed for use in either current mode or voltage mode systems with the capability for input voltage feed-forward.

Protection circuitry includes a current limit comparator with a 1-V threshold, a TTL compatible shutdown port, and a soft-start pin which doubles as a maximum duty cycle clamp. The logic is fully latched to provide jitter free operation and prohibit multiple pulses at an output. An under-voltage lockout section with 800 mV of hysteresis assures low start up current. During under-voltage lockout, the outputs are high impedance.

### BLOCK DIAGRAM



Please be aware that an important notice concerning availability, standard warranty, and use in critical applications of Texas Instruments semiconductor products and disclaimers thereto appears at the end of this data sheet.

PRODUCTION DATA information is current as of publication date. Products conform to specifications per the terms of the Texas Instruments standard warranty. Production processing does not necessarily include testing of all parameters.

Copyright © 1997–2007, Texas Instruments Incorporated

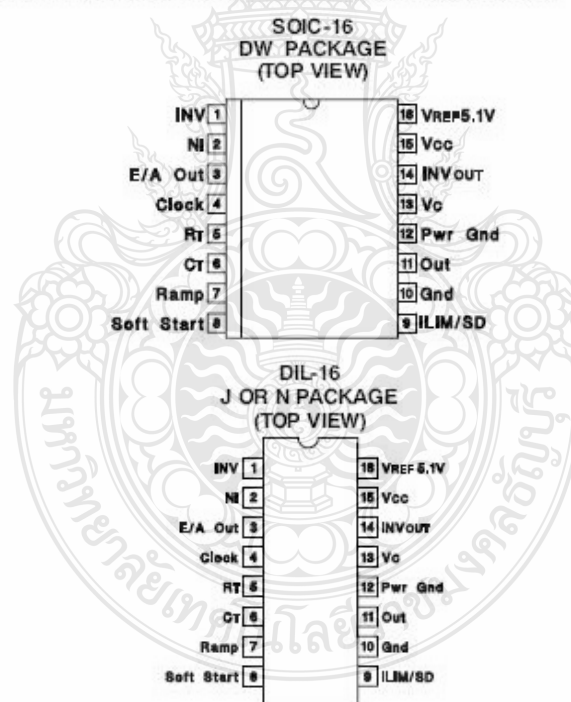
### DESCRIPTION (CONTINUED)

These devices feature totem pole outputs designed to source and sink high peak currents from capacitive loads, such as the gate of a power MOSFET. The on state is designed as a high level.

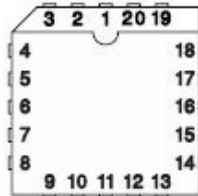
### ABSOLUTE MAXIMUM RATINGS<sup>(1)(2)</sup>

	VALUE	UNIT
Supply voltage (pins 13, 15)	30	V
Output current, source or sink (pins 11, 14)		
DC	0.5	A
Pulse (0.5 ms)	2	
Analog inputs		
(Pins 1, 2, 7)	-0.3 TO 7	V
(Pin 8, 9)	-0.3 TO 6	
Clock output current (pin 4)	-5	mA
Error amplifier output current (pin 3)	5	
Soft start sink current (pin 8)	20	
Oscillator charging current (pin 5)	-5	
Power dissipation	1	
Storage temperature range	-65 to 150	°C
Lead temperature (soldering, 10 seconds)	300	

- (1) All voltages are with respect to GND (Pin 10); all currents are positive into, negative out of part; pin numbers refer to DIL-16 package.  
(2) Consult Unifrote Integrated Circuit Databook for thermal limitations and considerations of package.



**PLCC-20 AND LCC-20  
 Q AND L PACKAGES  
 (TOP VIEW)**



PACKAGE PIN FUNCTION	
FUNCTION	PIN
N/C	1
INV	2
NI	3
E/A Out	4
Clock	5
N/C	6
RT	7
Ct	8
Ramp	9
Soft Start	10
N/C	11
ILIM/SD	12
Gnd	13
Out	14
Pwr Gnd	15
N/C	16
Vc	17
INVout	18
Vcc	19
VREF 5.1V	20



### ELECTRICAL CHARACTERISTICS

Unless otherwise stated, these specifications apply for,  $R_T = 3.65k$ ,  $C_T = 1$  nF,  $V_{OC} = 15$  V,  $-55^\circ\text{C} < T_A < 125^\circ\text{C}$  for the UC1824,  $-40^\circ\text{C} < T_A < 85^\circ\text{C}$  for the UC2824, and  $0^\circ\text{C} < T_A < 70^\circ\text{C}$  for the UC3824,  $T_A = T_J$ .

PARAMETER	TEST CONDITIONS	UC1824 UC2824			UC3824			UNIT	
		MIN	TYP	MAX	MIN	TYP	MAX		
<b>Reference Section</b>									
Output voltage	$T_J = 25^\circ\text{C}$ , $I_O = 1$ mA	5.05	5.10	5.15	5	5.10	5.20	V	
Line regulation	$10\text{ V} < V_{OC} < 30\text{ V}$		2	20		2	20	mV/mV	
Load regulation	$1\text{ mA} < I_O < 10\text{ mA}$		5	20		5	20		
Temperature stability <sup>(1)</sup>	$T_{MIN} < T_A < T_{MAX}$		0.2	0.4		0.2	0.4	mV/°C	
Total output variation <sup>(1)</sup>	Line, Load, Temperature		5	5.20		4.95	5.25	V	
Output noise voltage <sup>(1)</sup>	$10\text{ Hz} < f < 10\text{ kHz}$			50			50	µV	
long term stability <sup>(1)</sup>	$T_J = 125^\circ\text{C}$ , 1000 hrs.		5	25		5	25	mV	
Short circuit current	$V_{REF} = 0\text{ V}$	-15	-50	-100	-15	-50	-100	mA	
<b>Oscillator Section</b>									
Initial accuracy <sup>(1)</sup>	$T_J = 25^\circ\text{C}$	360	400	440	360	400	440	kHz	
Voltage stability <sup>(1)</sup>	$10\text{ V} < V_{OC} < 30\text{ V}$		0.2%	2%		0.2%	2%		
Temperature stability <sup>(1)</sup>	$T_{MIN} < T_A < T_{MAX}$			5%			5%		
Total variation <sup>(1)</sup>	Line, Temperature		340	460		340	460	kHz	
Clock out high			3.9	4.5		3.9	4.5	V	
Clock out low				2.3			2.3		
Ramp peak <sup>(1)</sup>			2.6	2.8		2.6	2.8		
Ramp valley <sup>(1)</sup>			0.7	1		0.7	1		
Ramp valley to peak <sup>(1)</sup>			1.6	1.8		1.6	1.8		
Input offset voltage				10			15		mV
Input bias current			0.6	3		0.6	3		µA
Input offset current			0.1	1		0.1	1		µA
Open loop gain	$1\text{ V} < V_O < 4\text{ V}$		60	95		60	95	dB	
CMRR	$1.5\text{ V} < V_{CM} < 5.5\text{ V}$		75	95		75	95		
PSRR	$10\text{ V} < V_{OC} < 30\text{ V}$		85	110		85	110		
Output sink current	$V_{PIN3} = 1\text{ V}$		1	2.5		1	2.5	mA	
Output source current	$V_{PIN3} = 4\text{ V}$		-0.5	-1.3		-0.5	-1.3		
Output high voltage	$I_{PIN3} = -0.5\text{ mA}$		4	4.7		4	4.7	V	
Output low voltage	$I_{PIN3} = 1\text{ mA}$		0	0.5		0	0.5		
Unity gain bandwidth <sup>(1)</sup>			3	5.5		3	5.5	MHz	
Slew rate <sup>(1)</sup>			6	12		6	12	V/µs	
<b>PWM Comparator Section</b>									
Pin 7 bias current	$V_{PIN7} = 0\text{ V}$			-1			-5	µA	
Duty cycle range			0	80		0	85	%	
Pin 3 zero dc threshold	$V_{PIN7} = 0\text{ V}$		1.1	1.25		1.1	1.25	V	
Delay to output <sup>(1)</sup>				50			80	ns	
<b>Soft-Start Section</b>									
Charge current	$V_{PIN8} = 0.5\text{ V}$		3	9		3	9	µA	
Discharge current	$V_{PIN8} = 1\text{ V}$			1			1	mA	
<b>Current Limit/Shutdown Section</b>									
Pin 9 bias current	$0 < V_{PIN9} < 4\text{ V}$			15			10	µA	

(1) This parameter not 100% tested in production but guaranteed by design.

### ELECTRICAL CHARACTERISTICS (continued)

Unless otherwise stated, these specifications apply for,  $R_T = 3.65k$ ,  $C_T = 1$  nF,  $V_{OC} = 15$  V,  $-55^\circ\text{C} < T_A < 125^\circ\text{C}$  for the UC1824,  $-40^\circ\text{C} < T_A < 85^\circ\text{C}$  for the UC2824, and  $0^\circ\text{C} < T_A < 70^\circ\text{C}$  for the UC3824,  $T_A = T_J$ .

PARAMETER	TEST CONDITIONS	UC1824 UC2824			UC3824			UNIT
		MIN	TYP	MAX	MIN	TYP	MAX	
Current limit threshold		0.9	1	1.1	0.9	1	1.1	V
Shutdown threshold		1.25	1.40	1.55	1.25	1.40	1.55	V
Delay to output			50	60		50	60	ns
<b>Output Section</b>								
Output low level	$I_{OUT} = 20$ mA		0.25	0.40		0.25	0.40	V
	$I_{OUT} = 200$ mA		1.2	2.2		1.2	2.2	
Output high level	$I_{OUT} = -20$ mA	13	13.5		13	13.5		V
	$I_{OUT} = -200$ mA	12	13		12	13		
Collector leakage	$V_C = 30$ V		100	500		10	500	$\mu\text{A}$
Rise/fall time <sup>(2)</sup>	$CL = 1$ nF		30	60		30	60	ns
<b>Under-Voltage Lockout Section</b>								
Start threshold		8.8	9.2	9.6	8.8	9.2	9.6	V
UVLO hysteresis		0.4	0.8	1.2	0.4	0.8	1.2	V
<b>Supply Current Section</b>								
Start up current	$V_{OC} = 8$ V		1.1	2.5		1.1	2.5	mA
ICC	$V_{PIN1}, V_{PIN7}, V_{PIN9} = 0$ V; $V_{PIN2} = 1$ V		22	33		22	33	

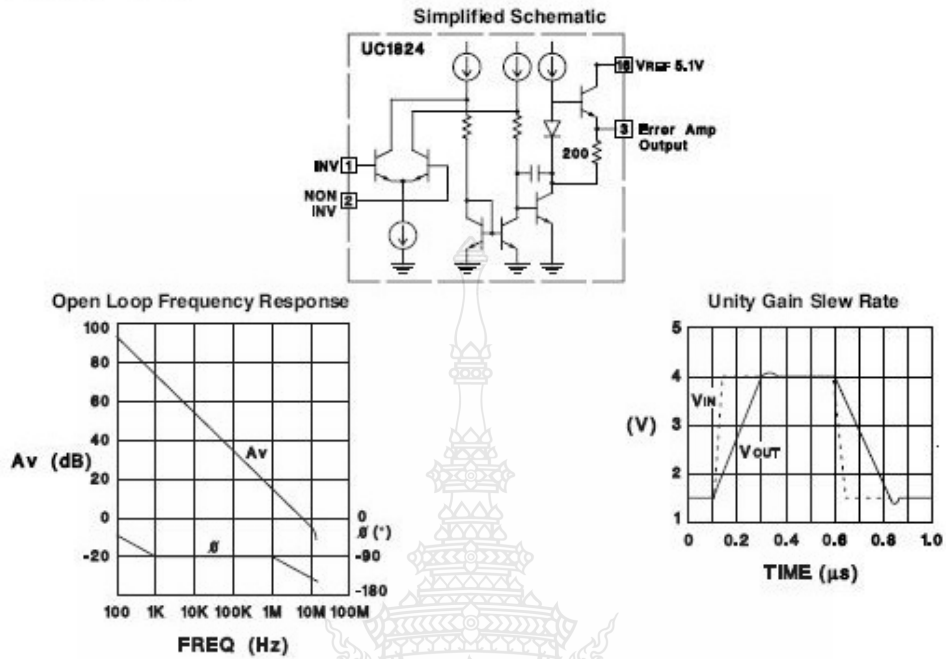
(2) This parameter not 100% tested in production but guaranteed by design.

### UC1824 Printed Circuit Board Layout Considerations

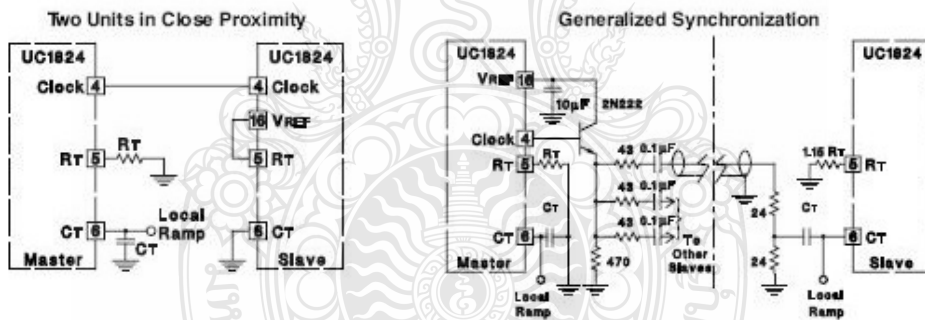
High speed circuits demand careful attention to layout and component placement. To assure proper performance of the UC1824 follow these rules:

1. Use a ground plane.
2. Damp or clamp parasitic inductive kick energy from the gate of driven MOSFETs. Do not allow the output pins to ring below ground. A series gate resistor or a shunt 1-A Schottky diode at the output pin serves this purpose.
3. Bypass  $V_{CC}$ ,  $V_C$ , and  $V_{REF}$ . Use 0.1- $\mu\text{F}$  monolithic ceramic capacitors with low equivalent series inductance. Allow less than 1 cm of total lead length for each capacitor between the bypassed pin and the ground plane.
4. Treat the timing capacitor,  $C_T$ , like a bypass capacitor.

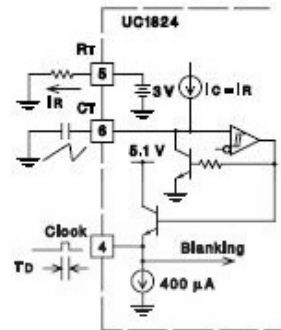
Error Amplifier Circuit



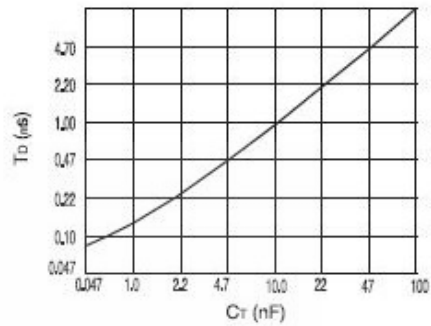
Synchronized Operation



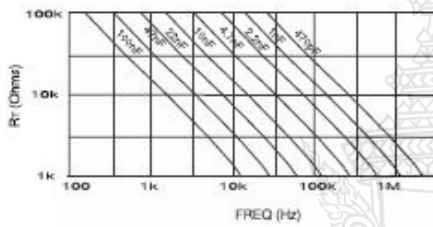
Oscillator Circuit



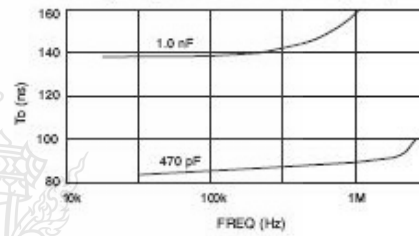
Primary Output Deadtime vs  $C_T$  ( $3k \leq R_T \leq 100k$ )



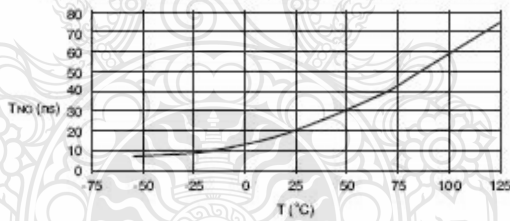
Timing Resistance vs Frequency



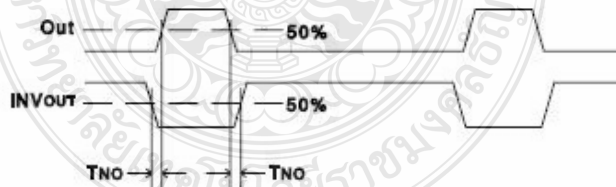
Primary Output Deadtime vs Frequency



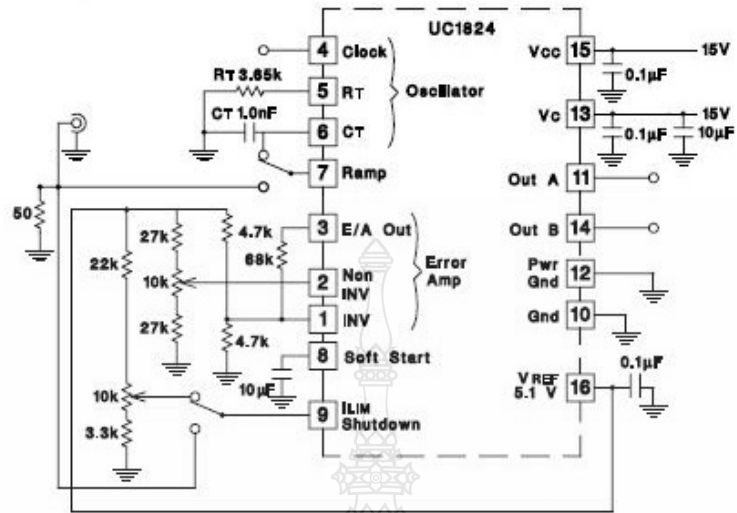
Typical Non-Overlap Time (T<sub>NO</sub>) Over Temperature



Non-Overlap Time (T<sub>NO</sub>)



Open-Loop Laboratory Test Fixture

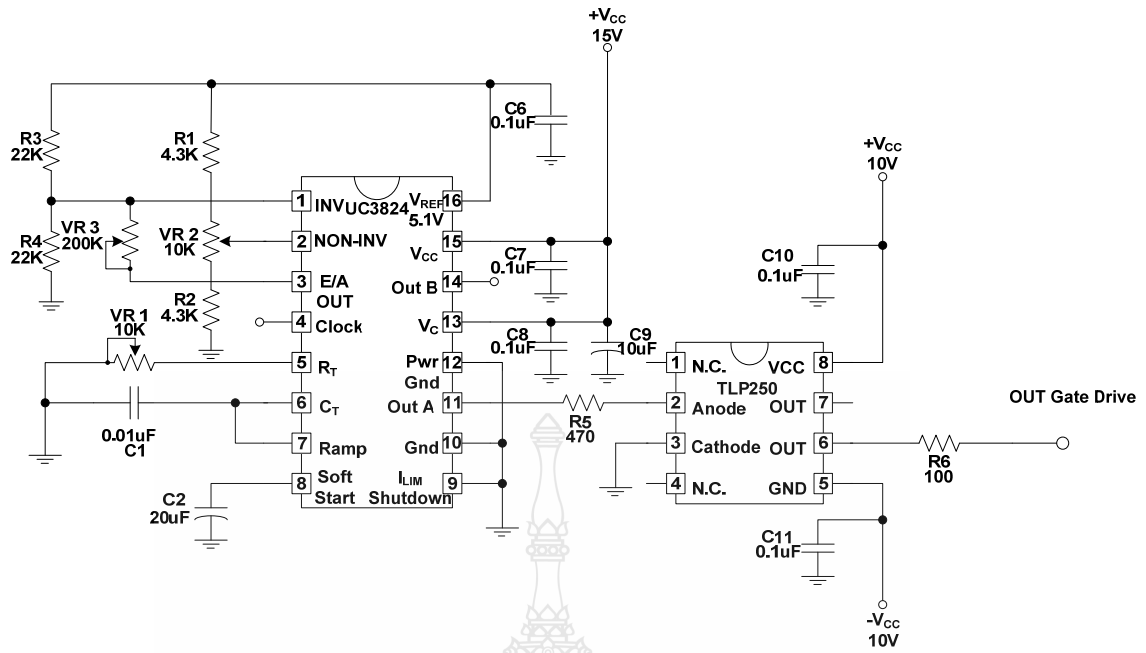


UDG-92042

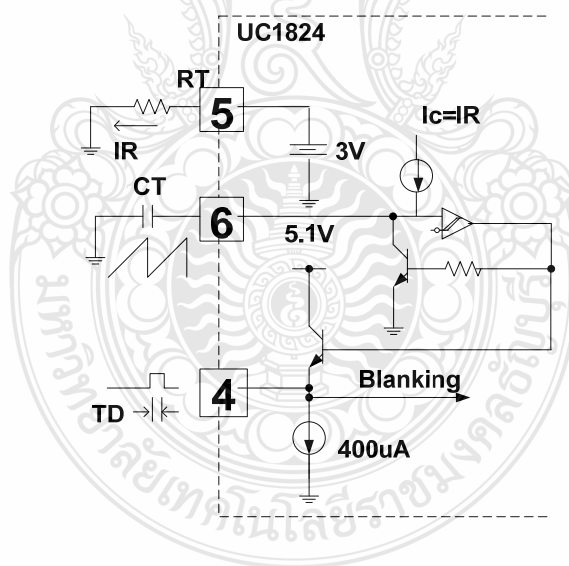
This test fixture is useful for exercising many of the UC1824's functions and measuring their specifications. As with any wideband circuit, careful grounding and bypass procedures should be followed. The use of a ground plane is highly recommended.



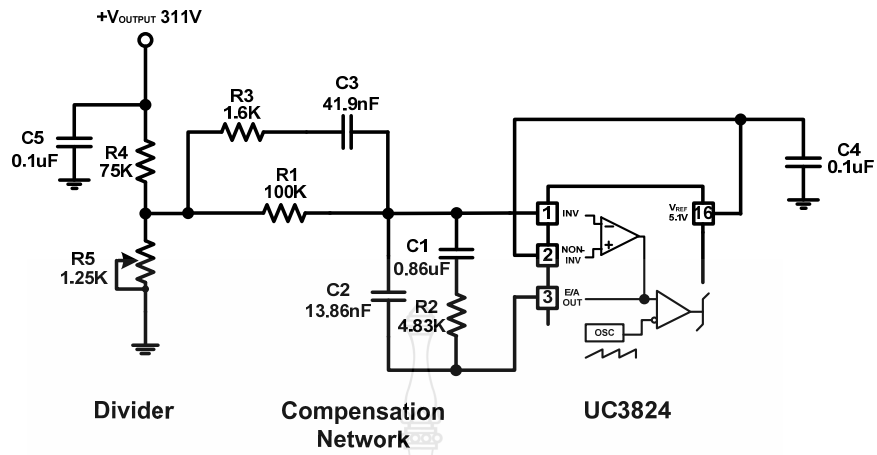




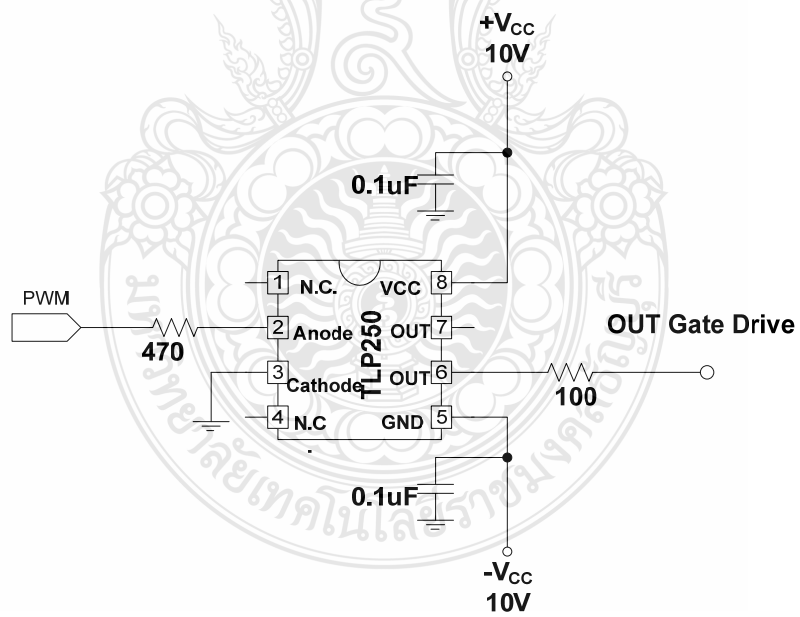
รูปที่ ง.1 วงจรที่ใช้งานจริงแบบวงเปิด



รูปที่ ง.2 วงจรกำเนิดสัญญาณความถี่ของไอซี UC3824



รูปที่ ง.3 วงจร โหมคควบคุมแรงดันและวงจรชดเชยด้วยตัวควบคุมแบบเฟสนำหน้า-ล่าหลัง



รูปที่ ง.4 วงจรขับนำเกต โดยใช้ไอซีเบอร์ TLP250

# TLP250

Transistor Inverter  
 Inverter For Air Conditioner  
 IGBT Gate Drive  
 Power MOS FET Gate Drive

The TOSHIBA TLP250 consists of a GaAlAs light emitting diode and a integrated photodetector.  
 This unit is 8-lead DIP package.  
 TLP250 is suitable for gate driving circuit of IGBT or power MOS FET.

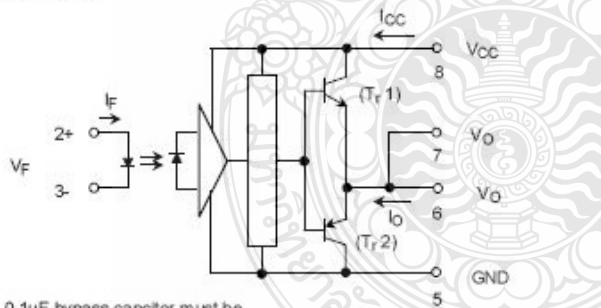
- Input threshold current:  $I_F=5\text{mA}(\text{max.})$
- Supply current ( $I_{CC}$ ):  $11\text{mA}(\text{max.})$
- Supply voltage ( $V_{CC}$ ):  $10\text{--}35\text{V}$
- Output current ( $I_O$ ):  $\pm 1.5\text{A}(\text{max.})$
- Switching time ( $t_{pLH}/t_{pHL}$ ):  $1.5\mu\text{s}(\text{max.})$
- Isolation voltage:  $2500\text{V}_{\text{rms}}(\text{min.})$
- UL recognized: UL1577, file No.E67349
- Option (D4) type

VDE approved: DIN VDE0884/06.92, certificate No.76823  
 Maximum operating insulation voltage: 630V<sub>PK</sub>  
 Highest permissible over voltage: 4000V<sub>PK</sub>

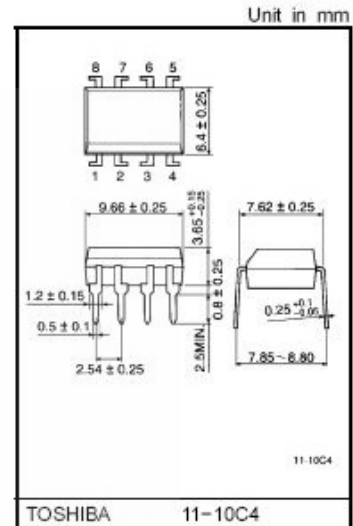
(Note) When a VDE0884 approved type is needed, please designate the "option (D4)"

- Creepage distance:  $6.4\text{mm}(\text{min.})$
- Clearance:  $6.4\text{mm}(\text{min.})$

### Schematic



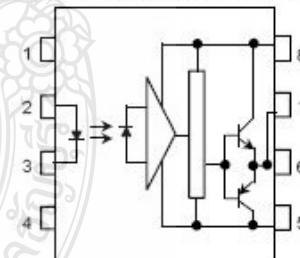
A 0.1 $\mu\text{F}$  bypass capacitor must be connected between pin 8 and 5 (See Note 5).



TOSHIBA 11-10C4

Weight: 0.54 g

### Pin Configuration (top view)



- 1 : N.C.
- 2 : Anode
- 3 : Cathode
- 4 : N.C.
- 5 : GND
- 6 :  $V_O$  (Output)
- 7 :  $V_O$
- 8 :  $V_{CC}$

### Truth Table

		Tr1	Tr2
Input LED	On	On	Off
	Off	Off	On

**Absolute Maximum Ratings (Ta = 25°C)**

Characteristic		Symbol	Rating	Unit	
LED	Forward current	$I_F$	20	mA	
	Forward current derating (Ta ≥ 70°C)	$\Delta I_F / \Delta T_a$	-0.36	mA / °C	
	Peak transient forward current (Note 1)	$I_{FPT}$	1	A	
	Reverse voltage	$V_R$	5	V	
	Junction temperature	$T_J$	125	°C	
Detector	*H*peak output current (P <sub>W</sub> ≤ 2.5μs, f ≤ 15kHz) (Note 2)	$I_{OPH}$	-1.5	A	
	*L*peak output current (P <sub>W</sub> ≤ 2.5μs, f ≤ 15kHz) (Note 2)	$I_{OPL}$	+1.5	A	
	Output voltage	$V_O$	(Ta ≤ 70°C)	35	V
			(Ta = 85°C)	24	
	Supply voltage	$V_{CC}$	(Ta ≤ 70°C)	35	V
			(Ta = 85°C)	24	
	Output voltage derating (Ta ≥ 70°C)	$\Delta V_O / \Delta T_a$	-0.73	V / °C	
	Supply voltage derating (Ta ≥ 70°C)	$\Delta V_{CC} / \Delta T_a$	-0.73	V / °C	
	Junction temperature	$T_J$	125	°C	
Operating frequency (Note 3)	f	25	kHz		
Operating temperature range	$T_{opr}$	-20~85	°C		
Storage temperature range	$T_{stg}$	-55~125	°C		
Lead soldering temperature (10 s)	$T_{sol}$	260	°C		
Isolation voltage (AC, 1 min., R.H. ≤ 60%) (Note 4)	$BV_S$	2500	V <sub>rms</sub>		

(Note 1) Pulse width P<sub>W</sub> ≤ 1μs, 300pps

(Note 2) Exponential waveform

(Note 3) Exponential waveform, I<sub>OPH</sub> ≤ -1.0A (≤ 2.5μs), I<sub>OPL</sub> ≤ +1.0A (≤ 2.5μs)

(Note 4) Device considered a two terminal device; Pins 1, 2, 3 and 4 shorted together, and pins 5, 6, 7 and 8 shorted together.

(Note 5) A ceramic capacitor(0.1μF) should be connected from pin 8 to pin 5 to stabilize the operation of the high gain linear amplifier. Failure to provide the bypassing may impair the switching property. The total lead length between capacitor and coupler should not exceed 1cm.

**Recommended Operating Conditions**

Characteristic	Symbol	Min.	Typ.	Max.	Unit
Input current, on	$I_{F(ON)}$	7	8	10	mA
Input voltage, off	$V_{F(OFF)}$	0	—	0.8	V
Supply voltage	$V_{CC}$	15	—	30   20	V
Peak output current	$I_{OPH}/I_{OPL}$	—	—	±0.5	A
Operating temperature	$T_{opr}$	-20	25	70   85	°C

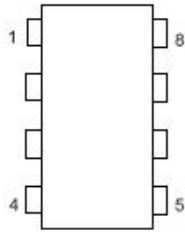
**Electrical Characteristics (Ta = -20~70°C, unless otherwise specified)**

Characteristic		Symbol	Test Cir-cuit	Test Condition	Min.	Typ.*	Max.	Unit
Input forward voltage		V <sub>F</sub>	—	I <sub>F</sub> = 10 mA, Ta = 25°C		1.6	1.8	V
Temperature coefficient of forward voltage		ΔV <sub>F</sub> / ΔTa	—	I <sub>F</sub> = 10 mA	—	-2.0	—	mV / °C
Input reverse current		I <sub>R</sub>	—	V <sub>R</sub> = 5V, Ta = 25°C		—	10	μA
Input capacitance		C <sub>T</sub>	—	V = 0, f = 1MHz, Ta = 25°C	—	45	250	pF
Output current	"H" level	I <sub>OPH</sub>	3	V <sub>CC</sub> = 30V (*) I <sub>F</sub> = 10 mA V <sub>8-6</sub> = 4V I <sub>F</sub> = 0 V <sub>6-8</sub> = 2.5V	-0.5	-1.5	—	A
	"L" level	I <sub>OPL</sub>	2		0.5	2	—	
Output voltage	"H" level	V <sub>OH</sub>	4	V <sub>CC1</sub> = +15V, V <sub>EE1</sub> = -15V R <sub>L</sub> = 200Ω, I <sub>F</sub> = 5mA	11	12.8	—	V
	"L" level	V <sub>OL</sub>	5	V <sub>CC1</sub> = +15V, V <sub>EE1</sub> = -15V R <sub>L</sub> = 200Ω, V <sub>F</sub> = 0.8V	—	-14.2	-12.5	
Supply current	"H" level	I <sub>CCH</sub>	—	V <sub>CC</sub> = 30V, I <sub>F</sub> = 10mA Ta = 25°C	—	7	—	mA
				V <sub>CC</sub> = 30V, I <sub>F</sub> = 10mA	—	—	11	
	"L" level	I <sub>CCL</sub>	—	V <sub>CC</sub> = 30V, I <sub>F</sub> = 0mA Ta = 25°C	—	7.5	—	
				V <sub>CC</sub> = 30V, I <sub>F</sub> = 0mA	—	—	11	
Threshold input current	*Output L→H	I <sub>FLH</sub>	—	V <sub>CC1</sub> = +15V, V <sub>EE1</sub> = -15V R <sub>L</sub> = 200Ω, V <sub>O</sub> > 0V	—	1.2	5	mA
Threshold input voltage	*Output H→L	I <sub>FHL</sub>	—	V <sub>CC1</sub> = +15V, V <sub>EE1</sub> = -15V R <sub>L</sub> = 200Ω, V <sub>O</sub> < 0V	0.8	—	—	V
Supply voltage		V <sub>CC</sub>	—		10	—	35	V
Capacitance (input-output)		C <sub>S</sub>	—	V <sub>S</sub> = 0, f = 1MHz Ta = 25°C	—	1.0	2.0	pF
Resistance(input-output)		R <sub>S</sub>	—	V <sub>S</sub> = 500V, Ta = 25°C R <sub>H</sub> ≤ 60%	1×10 <sup>12</sup>	10 <sup>14</sup>	—	Ω

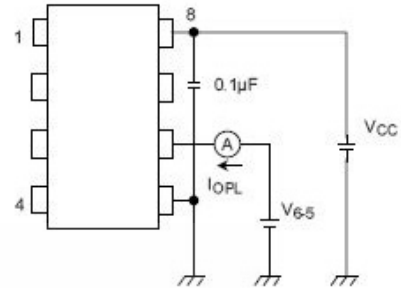
\* All typical values are at Ta = 25°C (\*) : Duration of I<sub>O</sub> time ≤ 50μs



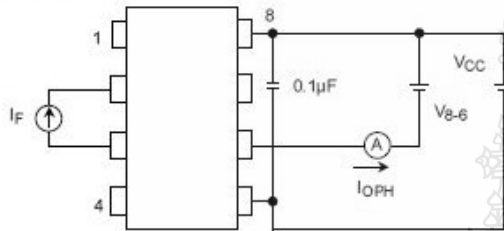
Test Circuit 1 :



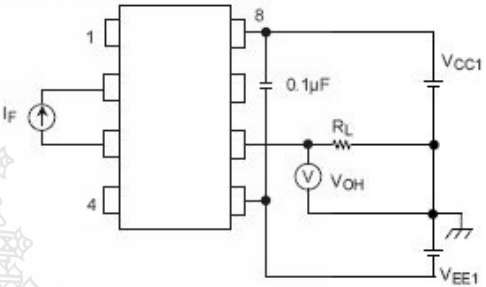
Test Circuit 2 : IOPL



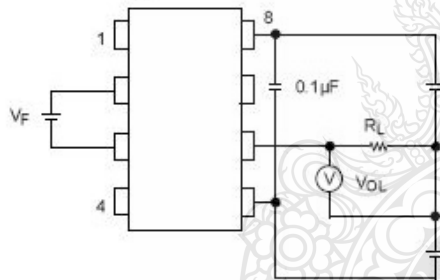
Test Circuit 3 : IOPH



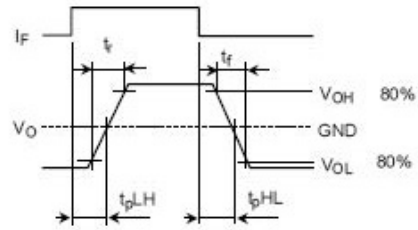
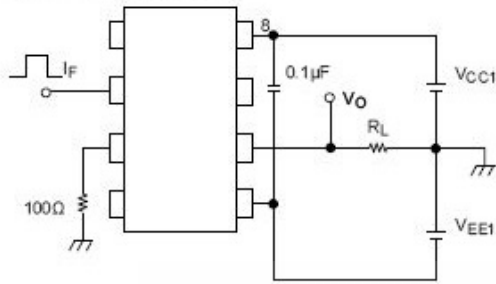
Test Circuit 4 : VOH



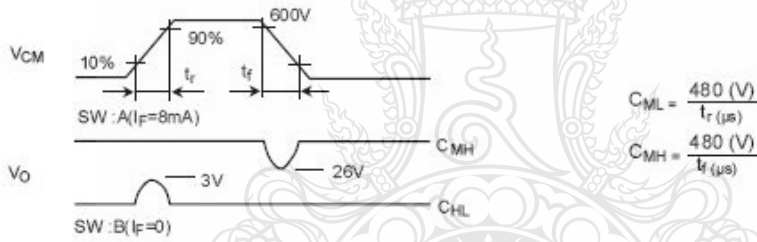
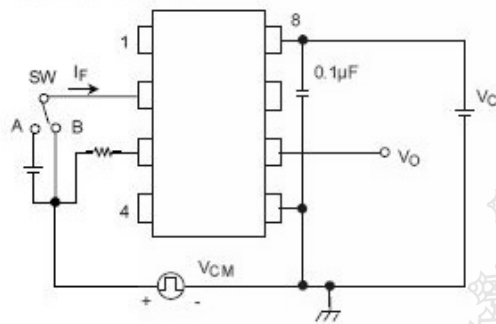
Test Circuit 5 : VOL



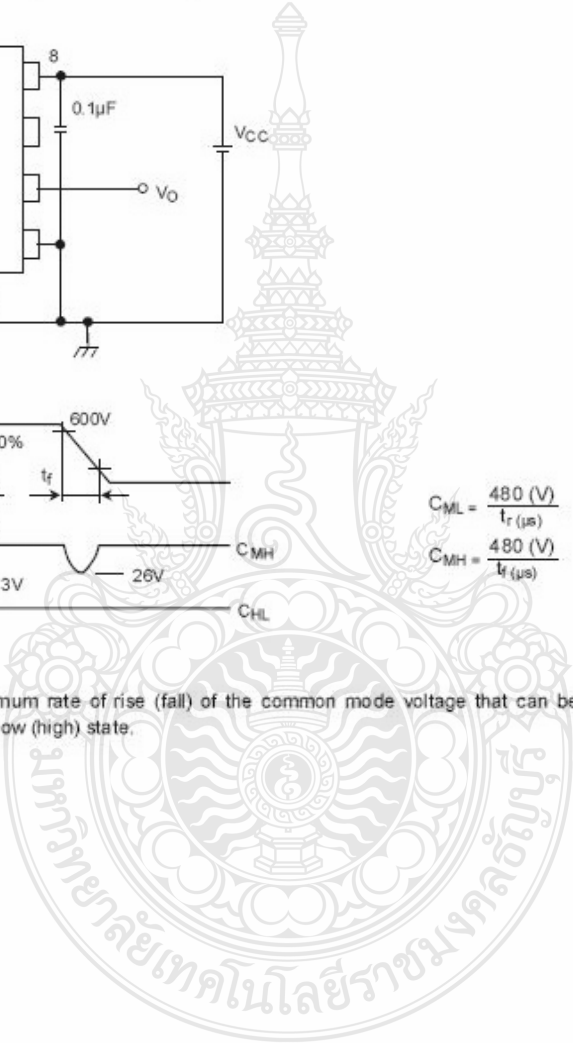
Test Circuit 6:  $t_{pLH}$ ,  $t_{pHL}$ ,  $t_r$ ,  $t_f$

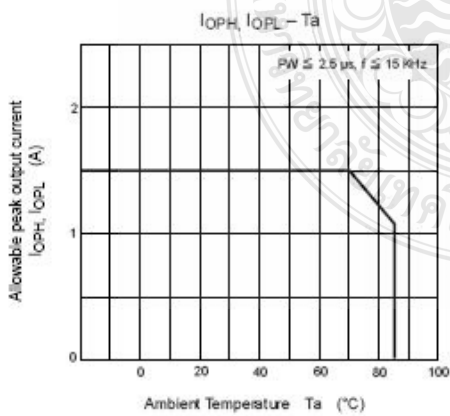
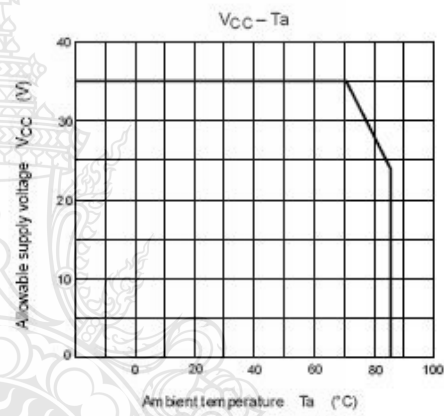
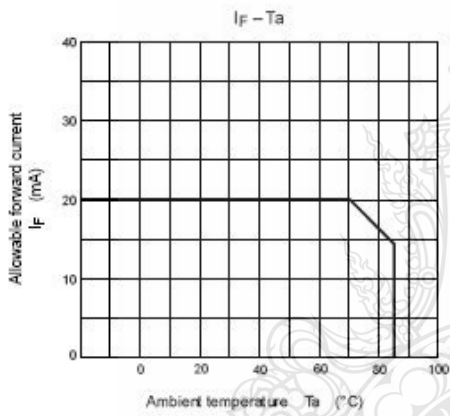
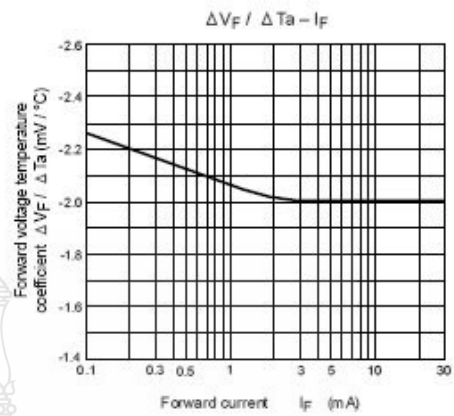
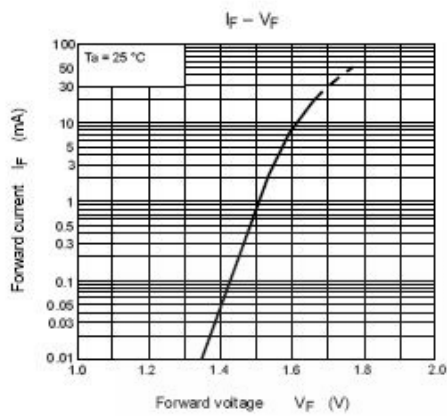


Test Circuit 7:  $C_{MH}$ ,  $C_{ML}$



$C_{ML}(C_{MH})$  is the maximum rate of rise (fall) of the common mode voltage that can be sustained with the output voltage in the low (high) state.







**15A, 1200V Hyperfast Diode**

The RHRP15120 is a hyperfast diode with soft recovery characteristics ( $t_{rr} < 65\text{ns}$ ). It has half the recovery time of ultrafast diodes and is of silicon nitride passivated ion-implanted epitaxial planar construction.

This device is intended for use as a freewheeling/clamping diode and rectifier in a variety of switching power supplies and other power switching applications. Its low stored charge and hyperfast soft recovery minimize ringing and electrical noise in many power switching circuits, thus reducing power loss in the switching transistors.

Formerly developmental type TA49098.

**Ordering Information**

PART NUMBER	PACKAGE	BRAND
RHRP15120	TO-220AC	RHR15120

NOTE: When ordering, use the entire part number.

**Symbol**



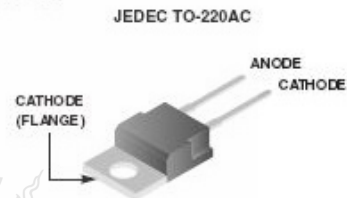
**Features**

- Hyperfast with Soft Recovery ..... <65ns
- Operating Temperature ..... 175°C
- Reverse Voltage ..... 1200V
- Avalanche Energy Rated
- Planar Construction

**Applications**

- Switching Power Supplies
- Power Switching Circuits
- General Purpose

**Packaging**



**Absolute Maximum Ratings**  $T_C = 25^\circ\text{C}$ , Unless Otherwise Specified

	RHRP15120	UNITS
Peak Repetitive Reverse Voltage .....	$V_{RRM}$ 1200	V
Working Peak Reverse Voltage .....	$V_{RWM}$ 1200	V
DC Blocking Voltage .....	$V_R$ 1200	V
Average Rectified Forward Current .....	$I_{F(AV)}$ 15	A
( $T_C = 140^\circ\text{C}$ )		
Repetitive Peak Surge Current .....	$I_{FRM}$ 30	A
(Square Wave, 20kHz)		
Nonrepetitive Peak Surge Current .....	$I_{FSM}$ 200	A
(Halfwave, 1 Phase, 60Hz)		
Maximum Power Dissipation .....	$P_D$ 100	W
Avalanche Energy (See Figures 10 and 11) .....	$E_{AVL}$ 20	mJ
Operating and Storage Temperature .....	$T_{STG}, T_J$ -65 to 175	°C

## RHRP15120

### Electrical Specifications $T_C = 25^\circ\text{C}$ , Unless Otherwise Specified

SYMBOL	TEST CONDITION	MIN	TYP	MAX	UNITS
$V_F$	$I_F = 15\text{A}$	-	-	3.2	V
	$I_F = 15\text{A}, T_C = 150^\circ\text{C}$	-	-	2.6	V
$I_R$	$V_R = 1200\text{V}$	-	-	100	$\mu\text{A}$
	$V_R = 1200\text{V}, T_C = 150^\circ\text{C}$	-	-	500	$\mu\text{A}$
$t_{rr}$	$I_F = 1\text{A}, dI_F/dt = 100\text{A}/\mu\text{s}$	-	-	65	ns
	$I_F = 15\text{A}, dI_F/dt = 100\text{A}/\mu\text{s}$	-	-	75	ns
$t_a$	$I_F = 15\text{A}, dI_F/dt = 100\text{A}/\mu\text{s}$	-	36	-	ns
$t_b$	$I_F = 15\text{A}, dI_F/dt = 100\text{A}/\mu\text{s}$	-	28	-	ns
$Q_{RR}$	$I_F = 15\text{A}, dI_F/dt = 100\text{A}/\mu\text{s}$	-	150	-	nC
$C_J$	$V_R = 10\text{V}, I_F = 0\text{A}$	-	55	-	pF
$R_{\theta JC}$		-	-	1.5	$^\circ\text{C}/\text{W}$

#### DEFINITIONS

$V_F$  = Instantaneous forward voltage (pw = 300 $\mu\text{s}$ , D = 2%).

$I_R$  = Instantaneous reverse current.

$t_{rr}$  = Reverse recovery time (See Figure 9), summation of  $t_a + t_b$ .

$t_a$  = Time to reach peak reverse current (See Figure 9).

$t_b$  = Time from peak  $I_{RM}$  to projected zero crossing of  $I_{RM}$  based on a straight line from peak  $I_{RM}$  through 25% of  $I_{RM}$  (See Figure 9).

$Q_{RR}$  = Reverse recovery charge.

$C_J$  = Junction capacitance.

$R_{\theta JC}$  = Thermal resistance junction to case.

pw = pulse width.

D = duty cycle.

### Typical Performance Curves

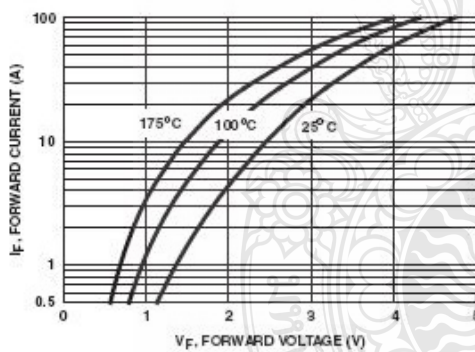


FIGURE 1. FORWARD CURRENT vs FORWARD VOLTAGE

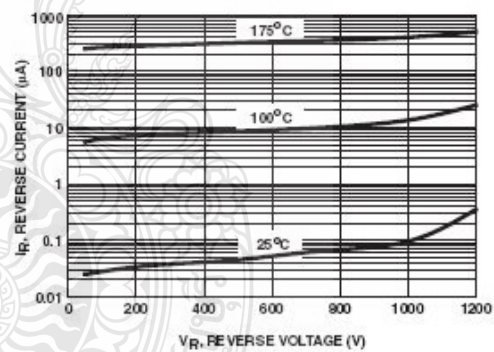


FIGURE 2. REVERSE CURRENT vs REVERSE VOLTAGE

Typical Performance Curves (Continued)

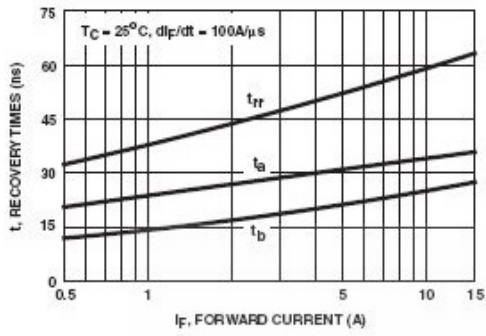


FIGURE 3.  $t_{rr}$ ,  $t_a$  AND  $t_b$  CURVES vs FORWARD CURRENT

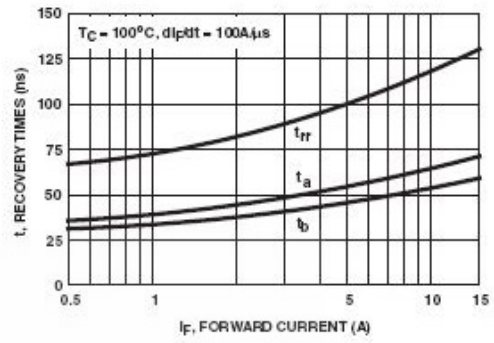


FIGURE 4.  $t_{rr}$ ,  $t_a$  AND  $t_b$  CURVES vs FORWARD CURRENT

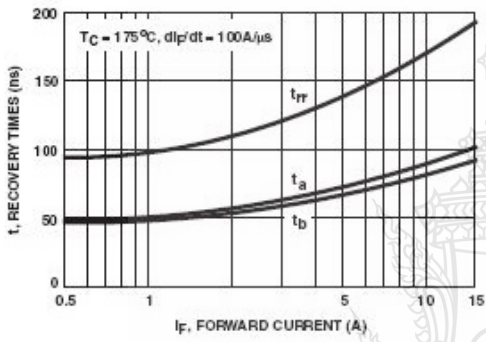


FIGURE 5.  $t_{rr}$ ,  $t_a$  AND  $t_b$  CURVES vs FORWARD CURRENT

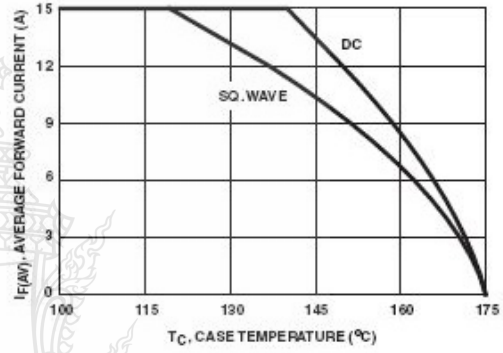


FIGURE 6. CURRENT DERATING CURVE

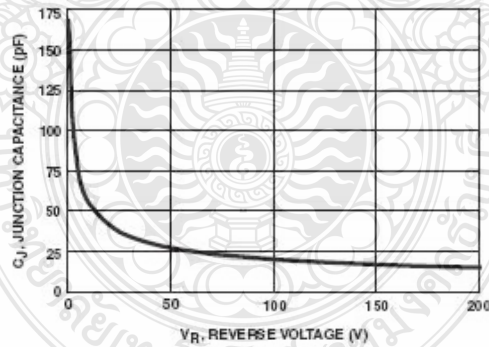


FIGURE 7. JUNCTION CAPACITANCE vs REVERSE VOLTAGE

Test Circuits and Waveforms

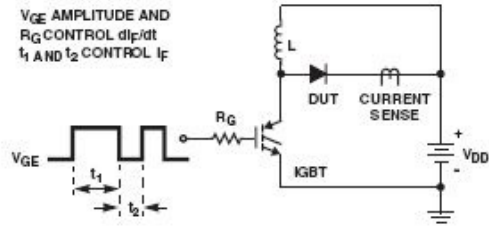


FIGURE 8.  $t_{rr}$  TEST CIRCUIT

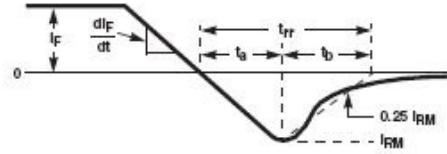


FIGURE 9.  $t_{rr}$  WAVEFORMS AND DEFINITIONS

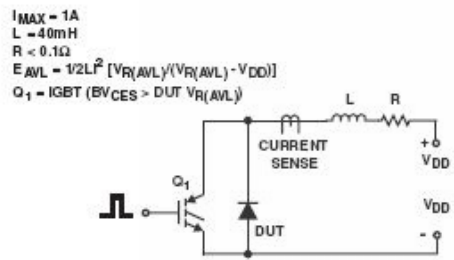


FIGURE 10. AVALANCHE ENERGY TEST CIRCUIT

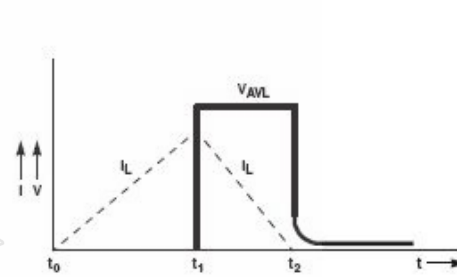
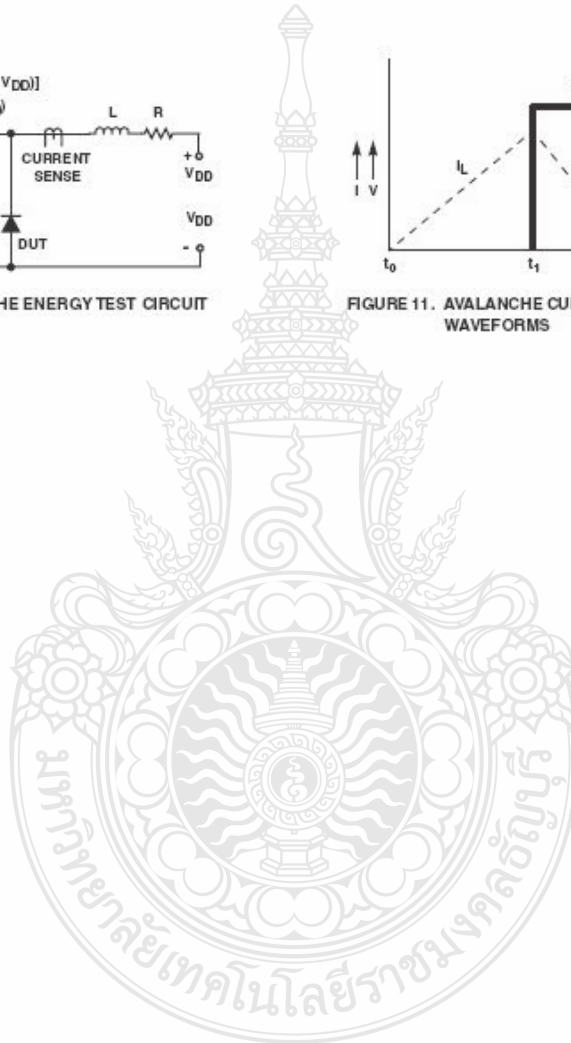


FIGURE 11. AVALANCHE CURRENT AND VOLTAGE WAVEFORMS



**SMPS MOSFET IRFPS43N50K**

HEXFET® Power MOSFET

**Applications**

- Switch Mode Power Supply (SMPS)
- Uninterruptible Power Supply
- High Speed Power Switching
- Hard Switched and High Frequency Circuits

V <sub>DSS</sub>	R <sub>DS(on)</sub> typ.	I <sub>D</sub>
500V	0.078Ω	47A

**Benefits**

- Low Gate Charge Q<sub>g</sub> results in Simple Drive Requirement
- Improved Gate, Avalanche and Dynamic dv/dt Ruggedness
- Fully Characterized Capacitance and Avalanche Voltage and Current
- Low R<sub>DS(on)</sub>



**Absolute Maximum Ratings**

Parameter	Parameter	Max.	Units
I <sub>D</sub> @ T <sub>C</sub> = 25°C	Continuous Drain Current, V <sub>GS</sub> @ 10V	47	A
I <sub>D</sub> @ T <sub>C</sub> = 100°C	Continuous Drain Current, V <sub>GS</sub> @ 10V	29	
I <sub>DM</sub>	Pulsed Drain Current ①	190	
P <sub>D</sub> @ T <sub>C</sub> = 25°C	Power Dissipation	540	W
	Linear Derating Factor	4.3	W/°C
V <sub>GS</sub>	Gate-to-Source Voltage	± 30	V
	dv/dtPeak Diode Recovery dv/dt ②	9.0	V/ns
T <sub>J</sub>	Operating Junction and	-55 to + 150	°C
T <sub>STG</sub>	Storage Temperature Range		
	Soldering Temperature, for 10 seconds (1.6mm from case )	300	

**Avalanche Characteristics**

Symbol	Parameter	Typ.	Max.	Units
E <sub>AS</sub>	Single Pulse Avalanche Energy②	—	910	mJ
I <sub>AR</sub>	Avalanche Current①	—	47	A
E <sub>AR</sub>	Repetitive Avalanche Energy①	—	54	mJ

**Thermal Resistance**

Symbol	Parameter	Typ.	Max.	Units
R <sub>θJC</sub>	Junction-to-Case	—	0.23	°C/W
R <sub>θCS</sub>	Case-to-Sink, Flat, Greased Surface	0.24	—	
R <sub>θJA</sub>	Junction-to-Ambient	—	40	

www.irf.com

1

04/03/01

# IRFPS43N50K

International  
**IR** Rectifier

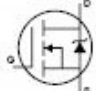
## Static @ $T_J = 25^\circ\text{C}$ (unless otherwise specified)

Symbol	Parameter	Min.	Typ.	Max.	Units	Conditions
$V_{(BR)DSS}$	Drain-to-Source Breakdown Voltage	500	—	—	V	$V_{GS} = 0V, I_D = 250\mu A$
$\Delta V_{(BR)DSS}/\Delta T_J$	Breakdown Voltage Temp. Coefficient	—	0.60	—	V/ $^\circ\text{C}$	Reference to $25^\circ\text{C}, I_D = 1\text{mA}$ ①
$R_{DS(on)}$	Static Drain-to-Source On-Resistance	—	0.078	0.090	$\Omega$	$V_{GS} = 10V, I_D = 28A$ ②
$V_{GS(th)}$	Gate Threshold Voltage	3.0	—	5.0	V	$V_{DS} = V_{GS}, I_D = 250\mu A$
$I_{DSS}$	Drain-to-Source Leakage Current	—	—	50	$\mu A$	$V_{DS} = 500V, V_{GS} = 0V$
		—	—	250	$\mu A$	$V_{DS} = 400V, V_{GS} = 0V, T_J = 125^\circ\text{C}$
$I_{GSS}$	Gate-to-Source Forward Leakage	—	—	100	nA	$V_{GS} = 30V$
	Gate-to-Source Reverse Leakage	—	—	-100	nA	$V_{GS} = -30V$

## Dynamic @ $T_J = 25^\circ\text{C}$ (unless otherwise specified)

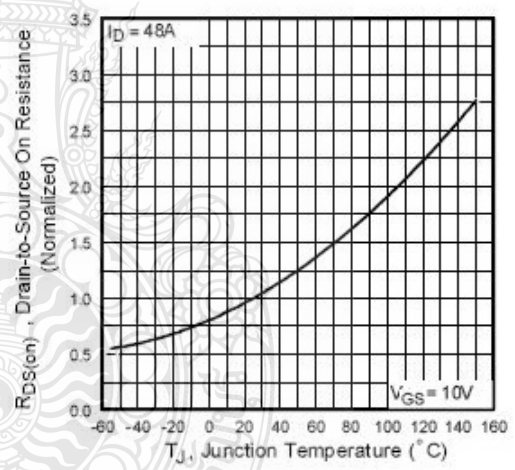
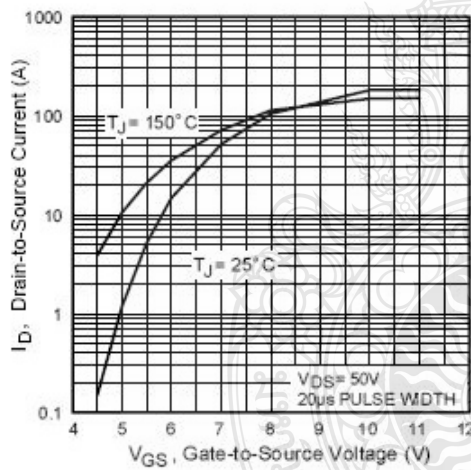
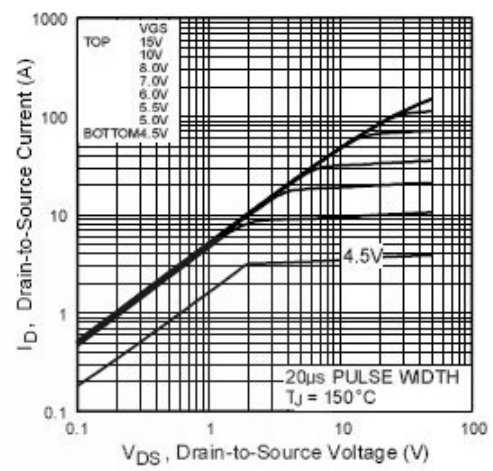
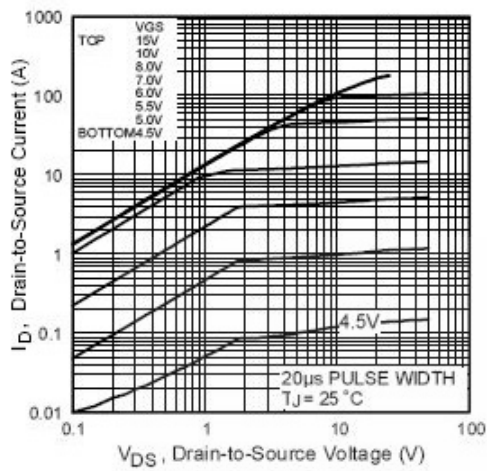
Symbol	Parameter	Min.	Typ.	Max.	Units	Conditions
$g_{fs}$	Forward Transconductance	23	—	—	S	$V_{DS} = 50V, I_D = 28A$
$Q_g$	Total Gate Charge	—	—	350	nC	$I_D = 47A$
$Q_{gs}$	Gate-to-Source Charge	—	—	85	nC	$V_{DS} = 400V$
$Q_{gd}$	Gate-to-Drain ("Miller") Charge	—	—	180	nC	$V_{GS} = 10V$ , See Fig. 6 and 13 ③
$t_{d(on)}$	Turn-On Delay Time	—	25	—	ns	$V_{DD} = 250V$
$t_r$	Rise Time	—	140	—	ns	$I_D = 47A$
$t_{d(off)}$	Turn-Off Delay Time	—	55	—	ns	$R_G = 1.0\Omega$
$t_f$	Fall Time	—	74	—	ns	$V_{GS} = 10V$ , See Fig. 10 ③
$C_{iss}$	Input Capacitance	—	8310	—	pF	$V_{GS} = 0V$
$C_{oss}$	Output Capacitance	—	960	—	pF	$V_{DS} = 25V$
$C_{rss}$	Reverse Transfer Capacitance	—	120	—	pF	$f = 1.0\text{MHz}$ , See Fig. 5
$C_{oss}$	Output Capacitance	—	10170	—	pF	$V_{GS} = 0V, V_{DS} = 1.0V, f = 1.0\text{MHz}$
$C_{oss}$	Output Capacitance	—	240	—	pF	$V_{GS} = 0V, V_{DS} = 400V, f = 1.0\text{MHz}$
$C_{oss \text{ eff.}}$	Effective Output Capacitance	—	440	—	pF	$V_{GS} = 0V, V_{DS} = 0V \text{ to } 400V$ ④

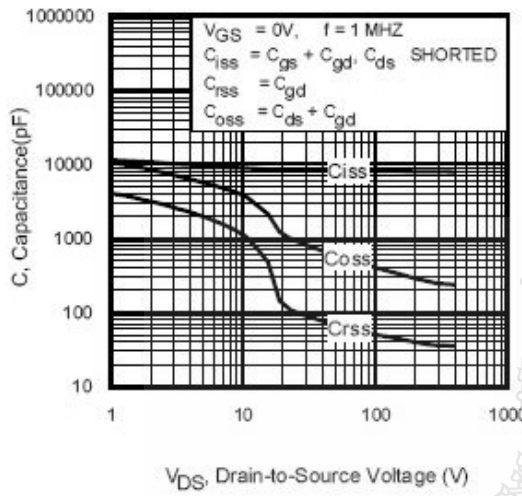
## Diode Characteristics

Symbol	Parameter	Min.	Typ.	Max.	Units	Conditions
$I_S$	Continuous Source Current (Body Diode)	—	—	47	A	MOSFET symbol showing the integral reverse p-n junction diode. 
$I_{SM}$	Pulsed Source Current (Body Diode) ①	—	—	190	A	
$V_{SD}$	Diode Forward Voltage	—	—	1.5	V	$T_J = 25^\circ\text{C}, I_S = 47A, V_{GS} = 0V$ ②
$t_{rr}$	Reverse Recovery Time	—	620	940	ns	$T_J = 25^\circ\text{C}, I_F = 47A$
$Q_{rr}$	Reverse Recovery Charge	—	14	21	$\mu\text{C}$	$di/dt = 100A/\mu\text{s}$ ③
$I_{RRM}$	Reverse Recovery Current	—	38	—	A	
$t_{on}$	Forward Turn-On Time	Intrinsic turn-on time is negligible (turn-on is dominated by $I_S + I_D$ )				

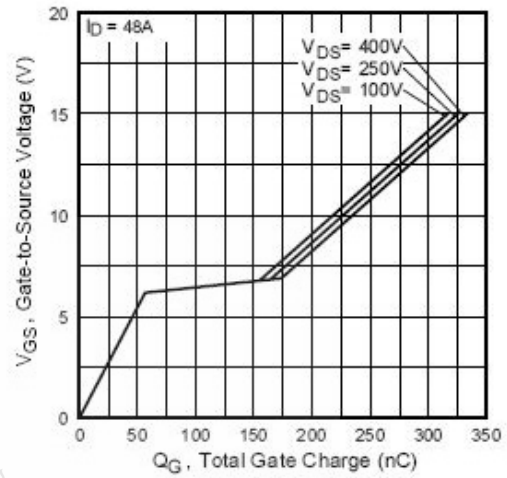
### Notes:

- ① Repetitive rating; pulse width limited by max. junction temperature. (See Fig. 11)
- ② Starting  $T_J = 25^\circ\text{C}$ ,  $L = 0.82\text{mH}$ ,  $R_G = 25\Omega$ ,  $I_{AS} = 47A$  (See Figure 12a).
- ③  $I_{SD} \leq 47A$ ,  $di/dt \leq 230A/\mu\text{s}$ ,  $V_{DD} \leq V_{(BR)DSS}$ ,  $T_J \leq 150^\circ\text{C}$ .
- ④ Pulse width  $\leq 400\mu\text{s}$ ; duty cycle  $\leq 2\%$ .
- ⑤  $C_{oss \text{ eff.}}$  is a fixed capacitance that gives the same charging time as  $C_{oss}$  while  $V_{DS}$  is rising from 0 to 80%  $V_{DSS}$ .

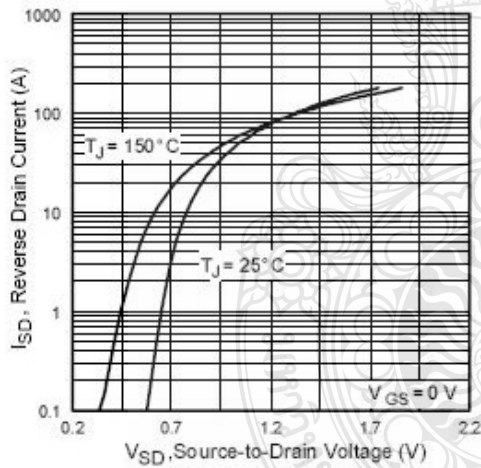




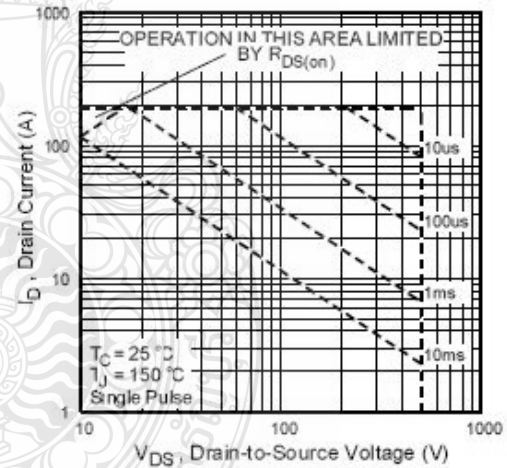
**Fig 5.** Typical Capacitance Vs. Drain-to-Source Voltage



**Fig 6.** Typical Gate Charge Vs. Gate-to-Source Voltage

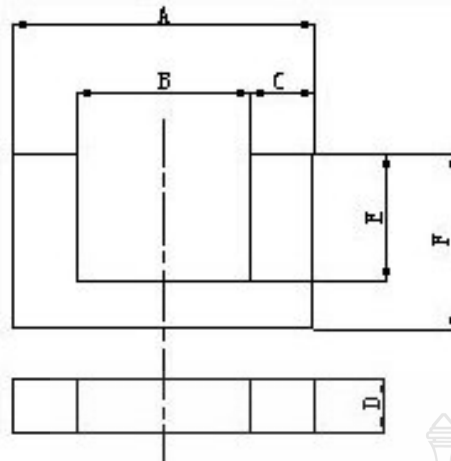


**Fig 7.** Typical Source-Drain Diode Forward Voltage



**Fig 8.** Maximum Safe Operating Area

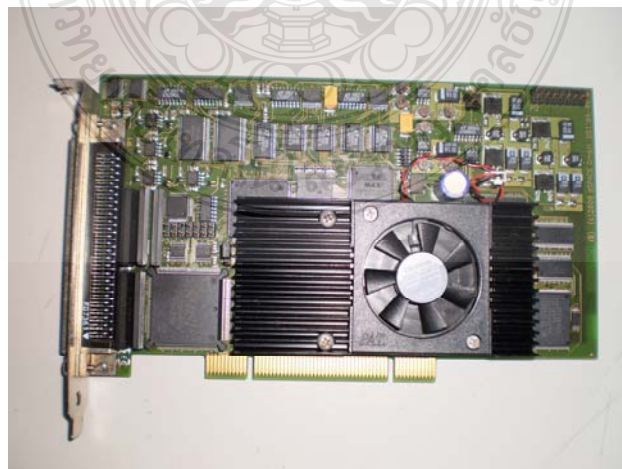




รูปที่ ง.5 ลักษณะของแกนเฟอร์ไรต์เบอร์ UF 160

Parameter			
Core factor	C1	$mm^{-1}$	0.474
Effective core volume	Ve	$mm^3$	1103300
Effective cross – sectional area	Ae	$mm^2$	723
Minimum cross – sectional center pole area	ACW	$mm^2$	1526

รูปที่ ง.6 ค่าพารามิเตอร์ต่างๆของแกนเฟอร์ไรต์เบอร์ UF160



รูปที่ ง.7 การ์ดอินเตอร์เฟส DS1104 โดยบริษัท dSPACE



รูปที่ ง.8 การ์ดอินเตอร์เฟส DS1104 โดยบริษัท dSPACE และอุปกรณ์ต่อพ่วง



รูปที่ ง.9 อินเวอร์เตอร์ 3 เฟส FUJI รุ่น FRENIC MEGA พิกัด 3 kW



รูปที่ ง.10 เครื่องกำเนิดไฟฟ้ากระแสตรงแบบแยกกระตุ้นขนาด พิกัด 0.37 kW



รูปที่ ง.11 มอเตอร์เหนี่ยวนำสามเฟสขนาด พิกัด 3 kW



**ภาคผนวก จ**

**ผลงานตีพิมพ์เผยแพร่**

**IUTSB**

**3+enet**

**ELECTRONICAL ENGINEERING NETWORK 2011**

- Group 1** Power Electronics, Electric Machines, Motor Control and Drive, Measurement, Control and Robotics.
- Group 2** Power System, Transmission and Distribution, High Voltage and Electrical Energy Generating Systems.
- Group 3** Renewable Energy, Energy Saving Technologies, Industry Specific Energy Conversion and Conditioning Technologies.
- Group 4** Telecommunication, Electronics, Information and Communication Technologies, Antennas, Microwave Theory and Techniques.
- Group 5** Computer Technologies and Network, Computer Graphics, Machine Learning and Human-Computer Interaction.
- Group 6** Education in Electrical Engineering, Simulation Software and Design tools, Related Topics in Electrical Engineering.

**Between 9-11 March 2011**  
 At ARIT Nonthaburi Campus  
 (North Zone) Rajamangala University  
 of Technology Suvarnabhumi



เครื่องไถ เหยื่อขี้พด	มหาวิทยาลัยเทคโนโลยีราชมงคลพระนคร ศูนย์พระนครเหนือ
กฤษณ์ชานม ภูมิภักดีพิชญ์	มหาวิทยาลัยเทคโนโลยีราชมงคลธัญบุรี
กิตจา สักกะพันธ์นวงพร	มหาวิทยาลัยเทคโนโลยีราชมงคลพระนคร ศูนย์พระนครเหนือ
กิตติวงค์ สุธรรมโม	มหาวิทยาลัยเทคโนโลยีราชมงคลธัญบุรี ศูนย์กลาง
กิตติวุฒิ ชินนงบุตร	มหาวิทยาลัยเทคโนโลยีราชมงคลธัญบุรี ศูนย์กลาง
เกษม เวียงแก้ว	มหาวิทยาลัยเทคโนโลยีราชมงคลธัญบุรี วิทยาเขตขอนแก่น
โกศล นิธิโยธา	มหาวิทยาลัยเทคโนโลยีราชมงคลพระนคร ศูนย์พระนครเหนือ
โกศล ไวยหาโรโรจน์	มหาวิทยาลัยเทคโนโลยีราชมงคลธัญบุรี
ฉะเชิงริญ สุ้มบุญ	มหาวิทยาลัยเทคโนโลยีราชมงคลธัญบุรี วิทยาเขตสกลนคร
จตุรงค์ จตุรชิตชัยตฤต	มหาวิทยาลัยเทคโนโลยีราชมงคลพระนคร ศูนย์พระนครเหนือ
จรินทร์ จุฑานิช	มหาวิทยาลัยเทคโนโลยีราชมงคลพระนคร ศูนย์พระนครเหนือ
จัตตุฤทธิ์ ทองปรอน	มหาวิทยาลัยเทคโนโลยีราชมงคลธัญบุรี
สนศักดิ์ เขกบุตรฉะวีรัมย์	มหาวิทยาลัยเทคโนโลยีรัตนโกสินทร์ วิทยาเขตสาธา
สมญา พรหมเกษ	มหาวิทยาลัยเทคโนโลยีราชมงคลธัญบุรี วิทยาเขตสกลนคร
ศักดิ์ชัย สุภทิทัศน์ตฤต	มหาวิทยาลัยเทคโนโลยีราชมงคลธัญบุรี
เฉลิมชาติ มานพ	สถาบันเทคโนโลยีพระจอมเกล้าเจ้าคุณทหารลาดกระบัง
เฉลิมยศ เวียงคำสมาวีรัมย์	มหาวิทยาลัยเทคโนโลยีราชมงคลสุวรรณภูมิ
เฉลิมลา เกตุแก้ว	มหาวิทยาลัยเทคโนโลยีราชมงคลสุวรรณภูมิ
ชลากร สุวรรณสิทธิ์	มหาวิทยาลัยเทคโนโลยีราชมงคลธัญบุรี
ชัยณรงค์ วิเศษศักดิ์วิจิตร	มหาวิทยาลัยเทคโนโลยีราชมงคลสุราษฎร์
ชาญชัย เลขธรรมรงค์	มหาวิทยาลัยเทคโนโลยีราชมงคลธัญบุรี
ชาญฤทธิ์ ธาราสันติสุข	มหาวิทยาลัยเทคโนโลยีราชมงคลสุราษฎร์
ชาญวิทย์ ศังศิริวิฑูต	มหาวิทยาลัยเทคโนโลยีพระจอมเกล้าพระนครเหนือ
ชูศักดิ์ กมลขันดิษฐ	มหาวิทยาลัยเทคโนโลยีราชมงคลสุราษฎร์
ไชยวัฒน์ บุญมี	มหาวิทยาลัยเทคโนโลยีราชมงคลสุวรรณภูมิ
ฉัฐภัทร พันธุ์คง	มหาวิทยาลัยเทคโนโลยีราชมงคลธัญบุรี
ฉรงค์ นันทฤต	มหาวิทยาลัยเทคโนโลยีราชมงคลธัญบุรี
ฉรงค์ฤทธิ์ ทิมศักดิ์วงค์	มหาวิทยาลัยเทคโนโลยีราชมงคลธัญบุรี
ฉวีพรพงศ์ สอนงคุณ	มหาวิทยาลัยเทคโนโลยีราชมงคลสุวรรณภูมิ



ฉัตรพงษ์ พันบุษ	มหาวิทยาลัยเทคโนโลยีราชมงคลพระนคร ศูนย์พระนครเหนือ
ฉัตรยศ หาญปลง	มหาวิทยาลัยเทคโนโลยีราชมงคลธัญบุรี
ศุภฤกษ์ ศำปิวัญญา	มหาวิทยาลัยเทคโนโลยีราชมงคลสุราษฎร์ธานี
สุภรณ์พิเชษฐ ฤกษ์บุรีพิลาพงศ์	มหาวิทยาลัยเกษตรศาสตร์ บางเขน
สุศักดิ์ ฤกษ์สุภนทร	มหาวิทยาลัยเทคโนโลยีราชมงคลธัญบุรี วิทยาเขตขอนแก่น
ศะวัน บุณยสา	มหาวิทยาลัยเทคโนโลยีราชมงคลสุราษฎร์ธานี
เส็มศักดิ์ แสนเพ็ญ	มหาวิทยาลัยเทคโนโลยีราชมงคลธัญบุรี วิทยาเขตสกลนคร
เสียม ไช อธิษิตพานิช	มหาวิทยาลัยเทคโนโลยีราชมงคลสุราษฎร์ธานี
ทอง ตานธารทอง	มหาวิทยาลัยเทคโนโลยีราชมงคลพระนคร ศูนย์พระนครเหนือ
ทศพล อดทอง	มหาวิทยาลัยเทคโนโลยีราชมงคลรัตนโกสินทร์
ธงชัย ศาสตร์กิจ	มหาวิทยาลัยเทคโนโลยีราชมงคลธัญบุรี ศูนย์กลาง
ธนวัฒน์ ฤกษ์ศฤง	มหาวิทยาลัยเทคโนโลยีราชมงคลพระนคร ศูนย์พระนครเหนือ
ชวีชัย เกิดชื่น	มหาวิทยาลัยเทคโนโลยีราชมงคลธัญบุรี ศูนย์กลาง
ธานี สมวงศ์	มหาวิทยาลัยเทคโนโลยีราชมงคลสุราษฎร์ธานี
ธีรพล เหมเย็นขาว	มหาวิทยาลัยเทคโนโลยีราชมงคลธัญบุรี
นคร ทองเล็ก	มหาวิทยาลัยเทคโนโลยีราชมงคลรัตนโกสินทร์
นศรินทร์ ศรีวิญญา	มหาวิทยาลัยเทคโนโลยีราชมงคลธัญบุรี วิทยาเขตสกลนคร
นพพร พังขระภักดิ์	มหาวิทยาลัยเทคโนโลยีราชมงคลรัตนโกสินทร์ เชียงราย
นภัทร วัฒนเทพินทร์	มหาวิทยาลัยเทคโนโลยีราชมงคลสุราษฎร์ธานี
นราวิทย์ กิจเจริญ	มหาวิทยาลัยเทคโนโลยีราชมงคลธัญบุรี วิทยาเขตสกลนคร
นรินทร์ หล้าทอง	มหาวิทยาลัยเทคโนโลยีราชมงคลธัญบุรี วิทยาเขตสกลนคร
นารตภา ศาสตร์เรือง	มหาวิทยาลัยเกษตรศาสตร์ ศรีราชา
นิติพงษ์ ปานกลาง	มหาวิทยาลัยเทคโนโลยีราชมงคลธัญบุรี
นิติพงษ์ สมไชยวงศ์	มหาวิทยาลัยเทคโนโลยีราชมงคลรัตนโกสินทร์ เชียงราย
นิธิโรจน์ พรสุราษฎร์เจริญ	มหาวิทยาลัยเทคโนโลยีราชมงคลธัญบุรี วิทยาเขตสกลนคร
นิพนธ์ วงศ์ทา	มหาวิทยาลัยเทคโนโลยีราชมงคลรัตนโกสินทร์
นิพนธ์ สุภนทร	มหาวิทยาลัยเทคโนโลยีราชมงคลสุราษฎร์ธานี
นิพนธ์ เกตุชัย	มหาวิทยาลัยนครสวรรค์
นิคมิต นิลาศ	มหาวิทยาลัยเทคโนโลยีราชมงคลพระนคร ศูนย์พระนครเหนือ



นิวัติ จารุวรรณกุล	มหาวิทยาลัยเทคโนโลยีราชมงคลพระนคร ศูนย์พระนครเหนือ
บุญช่วง เจริญผล	มหาวิทยาลัยเทคโนโลยีราชมงคลกรุงเทพ
บุญช่วง ปรีดีกลาง	มหาวิทยาลัยเทคโนโลยีราชมงคลธัญบุรี
ปฎิวัติ บุญมา	มหาวิทยาลัยเทคโนโลยีราชมงคลสุราษฎร์ธานี
ประกาศิต ศรีชนะแก้ว	มหาวิทยาลัยเทคโนโลยีราชมงคลธัญบุรี เชียงราย
ประคินธุ์ เคียงหมื่นไว	มหาวิทยาลัยเทคโนโลยีราชมงคลธัญบุรี ศูนย์กลาง
ประคินธุ์ แสงอน	มหาวิทยาลัยเทคโนโลยีราชมงคลสุราษฎร์ธานี
ประทีป แสงสว่าง	มหาวิทยาลัยเทคโนโลยีราชมงคลธัญบุรี
ประมุข สุขเกษมสุข	มหาวิทยาลัยเทคโนโลยีราชมงคลสุราษฎร์ธานี
ประวิษ เปรื่องหมื่นอน	มหาวิทยาลัยเทคโนโลยีราชมงคลธัญบุรี วิทยาเขตขอนแก่น
ปราโมทย์ อนุบาลทรัพย์	มหาวิทยาลัยเทคโนโลยีราชมงคลกรุงเทพ
ปรีชา สกนธ์รังษ์	มหาวิทยาลัยเทคโนโลยีราชมงคลสุราษฎร์ธานี
ศ.ดร.บุญวุฒิ โทณะเขตเจริญทร์	มหาวิทยาลัยเทคโนโลยีราชมงคลธัญบุรี
พรชัยศักดิ์ อภิมสิกุล	มหาวิทยาลัยเทคโนโลยีราชมงคลธัญบุรี
พันธ์ พิธิยะวรรณ	มหาวิทยาลัยเทคโนโลยีราชมงคลธัญบุรี วิทยาเขตขอนแก่น
พิชิต เก่งพันธุ์พัฒน์	มหาวิทยาลัยเทคโนโลยีราชมงคลธัญบุรี
พิชิต อดุลย์ปถา	มหาวิทยาลัยเทคโนโลยีราชมงคลธัญบุรี วิทยาเขตสุพรรณบุรี
พิเชิฐ ศรีธรรม	มหาวิทยาลัยเทคโนโลยีราชมงคลธัญบุรี ศูนย์กลาง
พิเชิฐ อิศกร	มหาวิทยาลัยเทคโนโลยีราชมงคลธัญบุรี
พิศกษิ วิฑูทธิณิกร	มหาวิทยาลัยเทคโนโลยีราชมงคล
พิศกษิ ธีระนกุล	มหาวิทยาลัยเทคโนโลยีพระจอมเกล้าพระนครเหนือ
พิรพท ชีราพงษ์	มหาวิทยาลัยเทคโนโลยีราชมงคลธัญบุรี เชียงราย
พูนศรี วรรณการ	มหาวิทยาลัยเทคโนโลยีราชมงคลพระนคร ศูนย์พระนครเหนือ
ภัควัฒน์ จันทร์ศิริ	มหาวิทยาลัยเทคโนโลยีราชมงคลสุราษฎร์ธานี
ภาณุเมศ แสงพวง	มหาวิทยาลัยเทคโนโลยีราชมงคลธัญบุรี วิทยาเขตสุพรรณบุรี
มงคล ต่านบำรุงคุณกุล	มหาวิทยาลัยเทคโนโลยีราชมงคลธัญบุรี ศูนย์กลาง
มังกร ศิริจันทร์ชื่น	มหาวิทยาลัยเทคโนโลยีราชมงคลธัญบุรี
มาณฑ วนะคำดี	มหาวิทยาลัยเทคโนโลยีราชมงคลธัญบุรี วิทยาเขตสุพรรณบุรี
มาลีดา สัจฉิตเจษฎา	มหาวิทยาลัยเทคโนโลยีราชมงคลสุราษฎร์ธานี





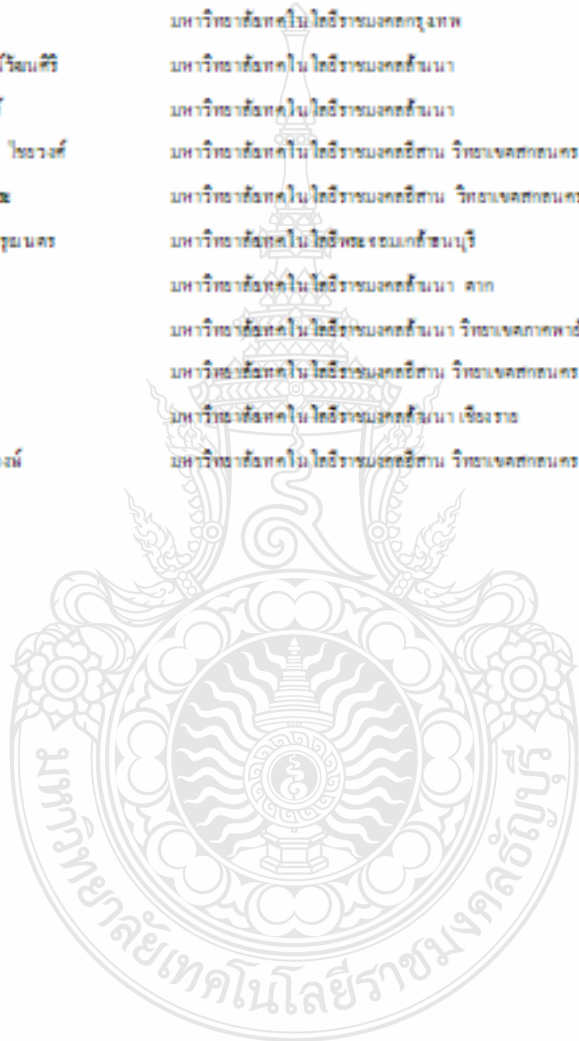
มีชัย แก้วโมลี	มหาวิทยาลัยเทคโนโลยีราชมงคลธัญบุรี วิทยาลัยสัตวศาสตร์
อุษณา กัณเฑาะพละ	มหาวิทยาลัยเทคโนโลยีราชมงคลสุวรรณภูมิ
อุษณา จำสุวรรณ์	มหาวิทยาลัยเชียงใหม่
วัช สฤตพงศ์	มหาวิทยาลัยเทคโนโลยีราชมงคลธัญบุรี วิทยาลัยสัตวศาสตร์
เรวัต อรรถธานี	มหาวิทยาลัยเทคโนโลยีราชมงคลรัตนโกสินทร์
วณรัตน์ วัชรวิชัย	มหาวิทยาลัยเทคโนโลยีราชมงคลพระนคร ศูนย์พระนครเหนือ
วรรณวิทย์ วงศ์โคตรรัตน์	มหาวิทยาลัยเทคโนโลยีราชมงคลธัญบุรี ศูนย์กลาง
วัชชัย สิมมา	มหาวิทยาลัยเทคโนโลยีราชมงคลธัญบุรี วิทยาลัยสัตวศาสตร์
วันชัย ทวีวัฒน์สิงห์	มหาวิทยาลัยเทคโนโลยีราชมงคลธัญบุรี
วราภูมิ กฤษพันธ์	มหาวิทยาลัยเทคโนโลยีราชมงคลสุวรรณภูมิ
วราภูมิ ศรีสงคราม	มหาวิทยาลัยเทคโนโลยีราชมงคลสุวรรณภูมิ
วิจิตร กิมยศ	สถาบันเทคโนโลยีพระจอมเกล้าเจ้าคุณทหารลาดกระบัง
วิชัย ผดุงศิลป์	มหาวิทยาลัยเทคโนโลยีราชมงคลธัญบุรี
วิภา ฉันทิ	มหาวิทยาลัยเทคโนโลยีราชมงคลรัตนโกสินทร์
วิจิตร สุทธิพร	มหาวิทยาลัยเทคโนโลยีราชมงคลธัญบุรี วิทยาลัยสัตวศาสตร์
วิชัย หทัยรัตนศิริ	มหาวิทยาลัยเทคโนโลยีราชมงคลสุวรรณภูมิ
วิฑูรย์ พรหมณี	มหาวิทยาลัยเทคโนโลยีราชมงคลรัตนโกสินทร์ เชียงราย
วิวัฒน์ เมธาวิฑิต	มหาวิทยาลัยเทคโนโลยีราชมงคลสุวรรณภูมิ
วิบุรณ์ ชื่นเมฆ	มหาวิทยาลัยเทคโนโลยีพระจอมเกล้าพระนครเหนือ
วิรัตน์ นักรทองดี	มหาวิทยาลัยเทคโนโลยีราชมงคลรัตนโกสินทร์
วิโรจน์ เพชรพันธุ์ศิริ	มหาวิทยาลัยเทคโนโลยีราชมงคลสุวรรณภูมิ
วิรัตน์ ทิพจร	มหาวิทยาลัยเทคโนโลยีราชมงคลรัตนโกสินทร์ เชียงราย
วิวัฒน์ เจริญสุข	มหาวิทยาลัยเทคโนโลยีราชมงคลธัญบุรี
วิเช สันตภักดิ์	มหาวิทยาลัยเทคโนโลยีราชมงคลธัญบุรี วิทยาลัยสัตวศาสตร์
วิเชชัย อรบูรณะ	มหาวิทยาลัยเทคโนโลยีราชมงคลธัญบุรี วิทยาลัยสัตวศาสตร์
วิเชตุล วัชรคุณศิริ	มหาวิทยาลัยเทคโนโลยีราชมงคลสุวรรณภูมิ
วุฒิชัย สว่างงาม	มหาวิทยาลัยเทคโนโลยีราชมงคลธัญบุรี ศูนย์กลาง
วุฒิพร อารเชิษกรณ์	สถาบันเทคโนโลยีพระจอมเกล้าเจ้าคุณทหารลาดกระบัง
ศรีศักดิ์ นีละไวฑูรย์	มหาวิทยาลัยเทคโนโลยีราชมงคลพระนคร ศูนย์พระนครเหนือ



ศักดิ์ชัย วัฒนกุล	มหาวิทยาลัยเทคโนโลยีราชมงคลธัญธานี วิทยาเขตขอนแก่น
ศิริชัย แผลงขอม	มหาวิทยาลัยเทคโนโลยีราชมงคลธัญบุรี
ศิริชัย สภาภสธป๋อธ	มหาวิทยาลัยเทคโนโลยีราชมงคลธัญธานี ศูนย์กลาง
ศุภลักษณ์ ศรีธา	มหาวิทยาลัยเทคโนโลยีราชมงคลธัญธานี
ศุภภาณี เนตรโพธิ์แก้ว	มหาวิทยาลัยเทคโนโลยีราชมงคลพระนคร ศูนย์พระนครเหนือ
สมเกียรติ อุดมพรธนากุล	มหาวิทยาลัยเทคโนโลยีราชมงคลสุราษฎร์ธานี
สมเกียรติ ทองแก้ว	มหาวิทยาลัยเทคโนโลยีราชมงคลพระนคร ศูนย์พระนครเหนือ
สมชัย วิทยุวไรศม	มหาวิทยาลัยเทคโนโลยีราชมงคลธัญบุรี
สมชาย เวียงสุวณิม	มหาวิทยาลัยเทคโนโลยีราชมงคลธัญบุรี
สมนึก เจริญชน	มหาวิทยาลัยเทคโนโลยีราชมงคลธัญธานี ลาด
สมพร ศรีวิชัยพร	มหาวิทยาลัยเทคโนโลยีราชมงคลสุราษฎร์ธานี
สยาม ประจวบาศรี	มหาวิทยาลัยเทคโนโลยีราชมงคลธัญธานี วิทยาเขตพระนคร
สรรพรส คุ้มทรัพย์	มหาวิทยาลัยเทคโนโลยีราชมงคลกรุงเทพ
สรรณูช ทองอุบลเกียรติ์	มหาวิทยาลัยเทคโนโลยีราชมงคลสุราษฎร์ธานี
สันติ อัครศรีวงค์ชย	มหาวิทยาลัยอานนครสวรรค์-น่าน
สันติภาพ โสภณเส	มหาวิทยาลัยเทคโนโลยีราชมงคลธัญธานี ลาด
สาคร ปินลา	มหาวิทยาลัยเทคโนโลยีราชมงคลธัญธานี
สาธิต รุ่งสว่าง	มหาวิทยาลัยเทคโนโลยีราชมงคลธัญธานี
สาธิต อุดมจิตริน	มหาวิทยาลัยเทคโนโลยีราชมงคลกรุงเทพ
สำเริง สีนท่าไฉ้	มหาวิทยาลัยศรีปทุม
สิงห์ทอง พัฒนเศรษฐานนท์	มหาวิทยาลัยมหาสารคาม
สุภูมิ อุดมสุริยธรรมวัฒน์	มหาวิทยาลัยเทคโนโลยีราชมงคลธัญธานี วิทยาเขตพระนคร
สุชาติ อังการธรรมภักดิ์	มหาวิทยาลัยเทคโนโลยีราชมงคลธัญธานี
สุทธินันท์ สีนโพธิ์	มหาวิทยาลัยเทคโนโลยีราชมงคลธัญธานี ศูนย์กลาง
สุพรรณ อังการวิวัฒน์	มหาวิทยาลัยเทคโนโลยีพระจอมเกล้าพระนครเหนือ
สุพรรณัฐ เลขสูง	มหาวิทยาลัยเทคโนโลยีราชมงคลพระนคร ศูนย์พระนครเหนือ
สุรพันธ์ ไร่โพธิ์จร	มหาวิทยาลัยเทคโนโลยีราชมงคลธัญธานี
สุรศักดิ์ ธัญศรีสวัสดิ์	มหาวิทยาลัยเทคโนโลยีราชมงคลธัญธานี
สุรศักดิ์ แสนเกษม	มหาวิทยาลัยเทคโนโลยีราชมงคลธัญธานี ลาด



สุจินทร์ แหมงงาม	มหาวิทยาลัยเทคโนโลยีราชมงคลธัญบุรี
สุริยา แก้วขานา	มหาวิทยาลัยเทคโนโลยีราชมงคลธัญบุรี วิทยาเขตสกลนคร
สุวิธดา ศิริศิณี	มหาวิทยาลัยเทคโนโลยีราชมงคลธัญบุรี วิทยาเขตสกลนคร
ธงธช แสศโหม้	มหาวิทยาลัยเทคโนโลยีราชมงคลธัญบุรี
ชนนธ์ น้าอิน	มหาวิทยาลัยเทคโนโลยีราชมงคลธัญบุรี เชียงราย
ชนันต์ ไชยภัม	มหาวิทยาลัยเทคโนโลยีราชมงคลธัญบุรี
ชโนชา รุ่งโรจน์วิวัฒน์ศิริ	มหาวิทยาลัยเทคโนโลยีราชมงคลธัญบุรี
ชัยวัน แก้วสิงห์	มหาวิทยาลัยเทคโนโลยีราชมงคลธัญบุรี
ชารินทร์ชบคุณ ไชยวงศ์	มหาวิทยาลัยเทคโนโลยีราชมงคลธัญบุรี วิทยาเขตสกลนคร
ชกรพล มหาวีระ	มหาวิทยาลัยเทคโนโลยีราชมงคลธัญบุรี วิทยาเขตสกลนคร
ชัญญา บุญญาอรุณนคร	มหาวิทยาลัยเทคโนโลยีราชมงคลธัญบุรี
ชุคม เกษิณฑพ	มหาวิทยาลัยเทคโนโลยีราชมงคลธัญบุรี สกล
ชุตาน ศักดิ์มั่ง	มหาวิทยาลัยเทคโนโลยีราชมงคลธัญบุรี วิทยาเขตภาคพายัพ
ชุตรา สันนิแก้ว	มหาวิทยาลัยเทคโนโลยีราชมงคลธัญบุรี วิทยาเขตสกลนคร
เชกข์ ชังดี	มหาวิทยาลัยเทคโนโลยีราชมงคลธัญบุรี เชียงราย
เชกวีรท์ หารักษ์งาม	มหาวิทยาลัยเทคโนโลยีราชมงคลธัญบุรี วิทยาเขตสกลนคร





OE1_1	ระบบควบคุมแรงดันไฟฟ้าอัตโนมัติสำหรับพื้นที่อุตสาหกรรมด้านปิโตรเคมี	1
OE1_2	การออกแบบระบบเครื่องจักรกลอัตโนมัติแบบ PLC	5
OE1_3	การคำนวณกฎการกระจายตัวผู้โดยสารที่มีผลต่อประสิทธิภาพการบริการรถโดยสาร	9
OE1_4	โมเดลเชิงคณิตศาสตร์ของตัวชี้วัดการกระจายของเงิน	13
OE1_5	การวิเคราะห์ความเสถียรของโหนดในระบบพลังงานในระบบโครงข่าย	17
OE1_6	เครื่องวัดความชื้นแบบพกพาชนิด XLDR	22
OE1_7	เครื่องเชื่อมไฟฟ้าในแนวตั้งที่มีความถี่สูงขนาด 1,000 โวลต์	26
OE1_8	การออกแบบระบบลิฟต์อัตโนมัติ	30
OE1_9	มูลนิธิวิจัยระบบควบคุมแบบปรับตัวสำหรับหุ่นยนต์	32
OE1_10	การศึกษารูปแบบการไหลของข้อมูลในระบบอัตโนมัติของระบบขนส่งมวลชน	41
OE1_11	การออกแบบระบบติดตามสถานะไปรษณีย์ร่วมกับระบบควบคุมแบบฟอสซิลโดยวิธีแบบจำลองเชิงซ้อนเพื่อเพิ่มประสิทธิภาพการดำเนินงานของเครื่องจักร	45
OE1_12	การพัฒนาระบบควบคุมของเครื่องจักรอัตโนมัติสำหรับระบบการขนส่งด้วยระบบรางที่มีจุดควบคุมของระบบโดยวิธีแบบจำลองเชิงซ้อน	49
OE1_13	นิเวศศาสตร์เชิงทฤษฎีของหุ่นยนต์สำหรับระบบควบคุมแบบปรับตัวในระบบขนส่งมวลชนโดยวิธีแบบจำลองเชิงซ้อน	53
OE1_14	นิเวศศาสตร์เชิงทฤษฎีของหุ่นยนต์สำหรับระบบไฟฟ้าในระบบขนส่งมวลชนที่มีระบบควบคุมแบบปรับตัวที่ปรับค่า	57
OE1_15	การพัฒนาเครื่องจักรกลอัตโนมัติเชิงซ้อนสำหรับระบบการพิมพ์แบบพกพา	61
OE1_16	Evaluation of Switching Behavior of SiC JFET Based on Static I-V and C-V Characteristics	65
OE1_17	การประเมินเชิงทฤษฎีของระบบอัตโนมัติในการใช้พลังงานในการประมวลผลข้อมูลในระบบโครงข่ายไฟฟ้า	69
OE1_18	แหล่งจ่ายไฟฟ้าในระบบของนิเวศวิทยา 1000 โวลต์ ที่ทำงานในรูปแบบระบบอัตโนมัติ	73







จะวัดแรงดันที่ขั้วสายส่งของตัวแปลงกำลังไฟฟ้าที่ขั้วสายส่งและที่ขั้วสายรับ  
ที่แรงดัน  $V_1$ ,  $V_2$ , และ  $V_3$  ได้ดังรูปต่อไปนี้  
ซึ่งแรงดันขั้วสายส่งและขั้วสายรับจะสัมพันธ์กันโดยที่โวลต์แอมแปร์กำลังไฟฟ้า  
สามารถแสดงโดยสมการที่ (5) และ (6)

$$\frac{V_2}{V_1} = \frac{1}{1-D} \quad (5)$$

และ 
$$\frac{V_3}{V_1} = \frac{N}{1-D} \quad (6)$$

การแปลงพลังงานในระบบกำลังไฟฟ้าแบบสามเฟสที่ขั้วสายส่งและที่ขั้วสายรับ  
สามารถแสดงโดยสมการต่อไปนี้

$$V_1 I_1 = V_2 I_2 = V_3 I_3 = N V_1 \frac{N I_3}{R_s} = \frac{N^2 V_1^2}{R_s} \quad (7)$$

$$I_3 = \frac{V_1 N^2 I_3}{V_1 R_s} = \frac{N^2 I_3}{(1-D) R_s} \quad (8)$$

เมื่อสมการที่ (7) และ (8) ไม่สามารถใช้ได้เพราะการสูญเสียกำลังไฟฟ้าที่ขั้วสายรับ  
และที่ขั้วสายส่งเป็นสัดส่วนโดยตรงกับกำลังสูญเสียที่ขั้วสายรับ และที่ขั้วสายส่ง  
และที่ขั้วสายรับในกรณีที่มีแรงดันขั้วสายรับและที่ขั้วสายส่งสัมพันธ์กันโดย  
สมการที่ (5) และ (6) ดังนี้

$$V_2 = D(V_1 - I_2 R_{sc}) + (1-D)(V_1 - V_2 - I_2 R_{sc}) = 0 \quad (9)$$

$$D V_1 - D I_2 R_{sc} + (1-D) V_1 - (1-D) V_2 - (1-D) I_2 R_{sc} = 0 \quad (10)$$

$$V_1 (D+1-D) + I_2 R_{sc} (-D-1+D) = (1-D) V_2 \quad (11)$$

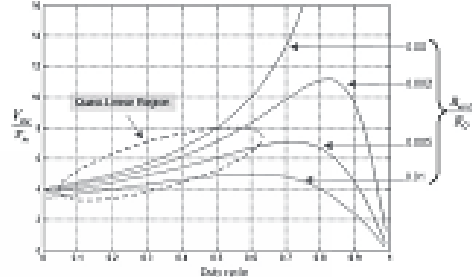
$$V_1 = (1-D) V_2 + I_2 R_s \quad (12)$$

$$V_1 = (1-D) \frac{V_1 N}{N} + \frac{N I_3}{(1-D) R_s} R_{sc} \quad (13)$$

จากสมการที่ (13) เป็นสมการกำลังสองที่การแปลงพลังงานในระบบกำลังไฟฟ้า  
สามารถแสดงโดยสมการต่อไปนี้ซึ่งจะแสดงโดยสมการต่อไปนี้

$$\frac{V_1}{V_2} = \frac{1}{(1-D)/N + (N R_{sc}) / ((1-D) R_s)} \quad (14)$$

รูปที่ 10 แสดงโวลต์แอมแปร์กำลังไฟฟ้าแบบสามเฟสที่ขั้วสายส่งและที่ขั้วสายรับ  
การแปลงพลังงานในระบบกำลังไฟฟ้าแบบสามเฟสที่ขั้วสายส่งและที่ขั้วสายรับ  
สามารถแสดงโดยสมการต่อไปนี้ซึ่งจะแสดงโดยสมการต่อไปนี้  
และที่ขั้วสายรับในกรณีที่มีแรงดันขั้วสายรับและที่ขั้วสายส่งสัมพันธ์กันโดย  
สมการที่ (5) และ (6) ดังนี้



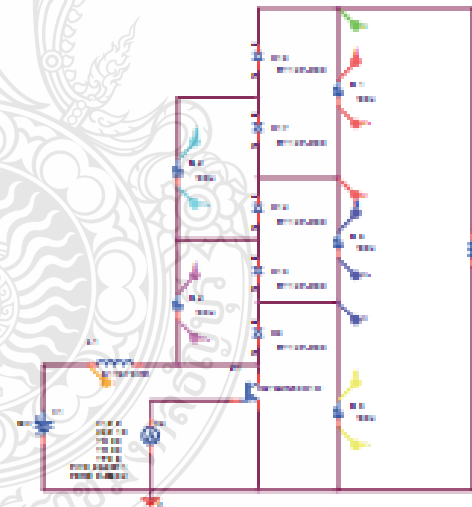
รูปที่ 10 ความสัมพันธ์ของอัตราส่วนแรงดันขั้วสายส่งและที่ขั้วสายรับ  
กับ โวลต์แอมแปร์กำลังไฟฟ้า

3. กรณีการแปลง 3

3.1 กรณีการแปลง 3 เฟสแบบสามเฟสแบบสามเฟสแบบสามเฟส

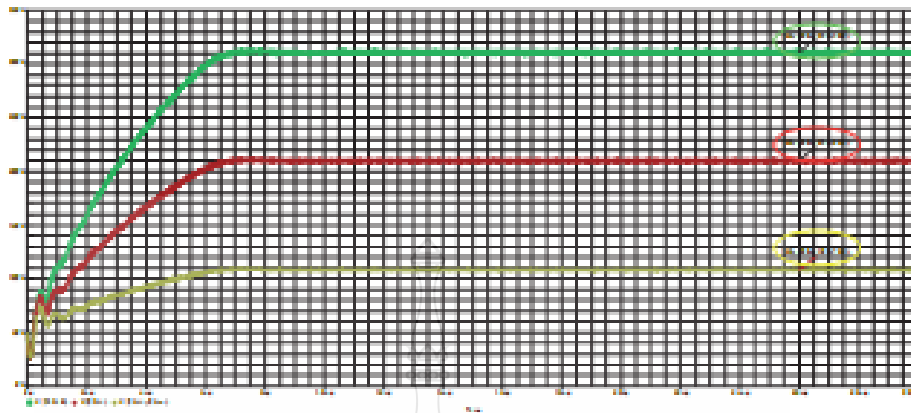
การแปลงพลังงานในระบบกำลังไฟฟ้าแบบสามเฟสที่ขั้วสายส่งและที่ขั้วสายรับ  
สามารถแสดงโดยสมการต่อไปนี้ซึ่งจะแสดงโดยสมการต่อไปนี้  
และที่ขั้วสายรับในกรณีที่มีแรงดันขั้วสายรับและที่ขั้วสายส่งสัมพันธ์กันโดย  
สมการที่ (5) และ (6) ดังนี้

- Level 1 = 108788 V
- Level 2 = 210849 V
- Level 3 = 212100 V



รูปที่ 11 การแปลงพลังงานในระบบกำลังไฟฟ้าแบบสามเฟสที่ขั้วสายส่งและที่ขั้วสายรับ





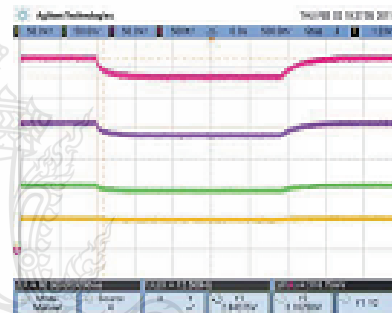
รูปที่ 12 ผลการทดลองที่สัมพันธ์ระหว่างแรงดันที่ขั้วขั้วที่เก็บประจุต่อแรงดันที่ขาอินพุต

3.2 ผลการทดลองของแรงดันที่ขั้วขั้วที่เก็บประจุต่อแรงดันที่ขาอินพุต

ในรูปที่ 12 แสดงผลที่ได้จากการทดลองที่ขาอินพุตที่ต่อแรงดัน 0.76 โวลต์ ซึ่งค่าที่ปรากฏ 30 โวลต์ ส่วนนี้คือแรงดันที่ขาอินพุต 50 โวลต์ ค่าที่ปรากฏ (R) 0.111mF ค่าที่ปรากฏ (C) 100μF ซึ่งค่าที่ปรากฏของตัวเก็บประจุที่ได้ใช้คือค่าที่ปรากฏในเอกสารที่ขาอินพุตของ CrossPage คือ

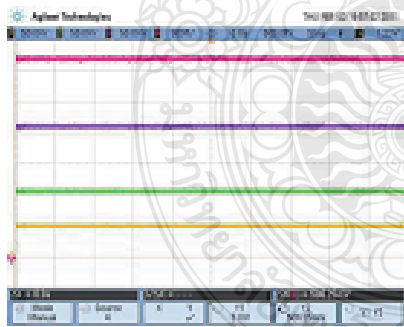
- Level1 = 110 V
- Level2 = 210 V
- Level3 = 310 V

ในรูปที่ 13-15 เป็นการทดลองที่ขั้วขั้วที่เก็บประจุต่อแรงดันที่ขาอินพุตที่เปลี่ยนค่าของแรงดันที่ขาอินพุต



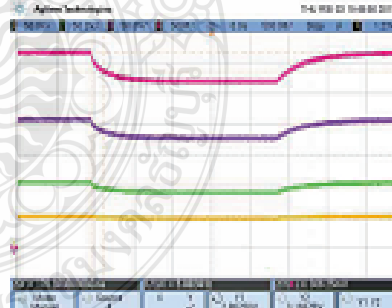
รูปที่ 13 ผลการทดลองที่ขาอินพุตที่ต่อแรงดัน 0.76 → 1.0774

ค่าใน  $V_1$ ,  $C_{in}$ ,  $V_{out}$ ,  $C_{out}$ ,  $V_{in}$ ,  $C_{in}$ ,  $V_{out}$



รูปที่ 14 ผลการทดลองที่ขาอินพุตที่ต่อแรงดัน 0.76 → 1.134

ค่าใน  $V_1$ ,  $C_{in}$ ,  $V_{out}$ ,  $C_{out}$ ,  $V_{in}$ ,  $C_{in}$ ,  $V_{out}$



รูปที่ 15 ผลการทดลองที่ขาอินพุตที่ต่อแรงดัน 0.76 → 1.134

ค่าใน  $V_1$ ,  $C_{in}$ ,  $V_{out}$ ,  $C_{out}$ ,  $V_{in}$ ,  $C_{in}$ ,  $V_{out}$

PE1\_9



รูปที่ 16 วงจร DC-DC Boost Converter

4. สรุปย่อ

วงจร DC-DC Boost Converter เป็นระบบการแปลงที่มีประสิทธิภาพสูงในการแปลงแรงดันไฟฟ้ากระแสตรงที่มีแรงดันต่ำกว่าแรงดันที่ต้องการเป็นแรงดันที่สูงกว่าแรงดันเดิม โดยไม่สูญเสียพลังงานมากเกินไป การประยุกต์ใช้วงจรนี้สามารถพบได้ในหลายๆสาขา เช่น ระบบจ่ายไฟให้กับอุปกรณ์อิเล็กทรอนิกส์พกพา ระบบจ่ายไฟให้กับระบบสื่อสารไร้สาย ระบบจ่ายไฟให้กับระบบการแพทย์ และระบบจ่ายไฟให้กับระบบการเกษตร เป็นต้น

เอกสารอ้างอิง

- [1] Ersh Hsu, Wind Turbine, Fundamentals, Technologies, Application, Economics, Springer Berlin Heidelberg New York, 2006.
- [2] Florinlov, Anca Daniela Huzar, Pool Sarason, Fraide Huhjorg, Wind Turbine Blocker & Math/Simulink, General Overview and Description of the Model, Institute of Energy Technology Aalborg University 2004
- [3] J.C. Rosas-Caro, J.M. Ramirez, F.Z. Fung, A. Valdearabano, A DC-DC multilevel boost converter, The Institution of Engineering and Technology 2009, IET Power Electron, 2010, Vol.3, Issue 1, pp.129-137

ผู้จัดทำเอกสาร



ดร.สมศักดิ์ สอนธนาสนธิ์ เป็นรองคณบดีฝ่ายวิชาการ มหาวิทยาลัยเทคโนโลยีราชมงคลธัญบุรี และดำรงตำแหน่งหัวหน้าภาควิชาวิศวกรรมเครื่องกล มหาวิทยาลัยเทคโนโลยีราชมงคลธัญบุรี



ดร.สมศักดิ์ สอนธนาสนธิ์ เป็นรองคณบดีฝ่ายวิชาการ มหาวิทยาลัยเทคโนโลยีราชมงคลธัญบุรี และดำรงตำแหน่งหัวหน้าภาควิชาวิศวกรรมเครื่องกล มหาวิทยาลัยเทคโนโลยีราชมงคลธัญบุรี

ผู้ดูแลโครงการ FACTS

## ประวัติผู้เขียน

ชื่อ - นามสกุล	นายสรรพล คุ่มทรัพย์
วัน เดือน ปีเกิด	8 กุมภาพันธ์ 2514
ที่อยู่	42/115 ซอยนิมิตใหม่6/1 หมู่บ้านพนาสนธิ์4 ถนนนิมิตใหม่ แขวงมีนบุรี เขตมีนบุรี กรุงเทพฯ 10510
ประวัติการศึกษา	ปีการศึกษา 2532 ระดับประกาศนียบัตรวิชาชีพชั้นสูง สาขาวิชาช่างไฟฟ้า วิทยาลัยช่างกลปทุมวัน ปีการศึกษา 2544 ระดับปริญญาตรี สาขาวิชาวิศวกรรมไฟฟ้า สถาบันเทคโนโลยีราชมงคลวิทยาเขตเทคนิคกรุงเทพ
ประวัติการทำงาน	
พ.ศ. 2532 - 2540	ช่างเทคนิคไฟฟ้า เครื่องกลไฟฟ้าและเครื่องปรับอากาศและระบาย อากาศ ประจำบริษัทวรจักรอินเตอร์เนชั่นแนลจำกัด(รับเหมา)
พ.ศ. 2540 - 2545	ช่างเทคนิคไฟฟ้า เครื่องกลไฟฟ้าและเครื่องปรับอากาศและระบาย อากาศ ประจำบริษัทเคซีเอสแอนแอสซีโอซิเอตจำกัด(ควบคุมงาน)
พ.ศ. 2545 - ปัจจุบัน	อาจารย์ประจำภาควิชาวิศวกรรมไฟฟ้าและโทรคมนาคม มหาวิทยาลัยเทคโนโลยีราชมงคลกรุงเทพ
ผลงานตีพิมพ์เผยแพร่	
	สรรพล คุ่มทรัพย์, วันชัย ทรัพย์สิงห์, และชาญฤทธิ์ ชาราลันตีสูข “สเปซเวกเตอร์พัลส์วิทมอด ดูเลชั่นสำหรับการขับเคลื่อนมอเตอร์ไฟฟ้าเหนี่ยวนำแบบทันเวลา” มหาวิทยาลัยเทคโนโลยีราชมงคล วิชาการ ครั้งที่ 1, โรงแรมธรรมรินทร์ ธนา จังหวัดตรัง, สิงหาคม 2551
	วันชัย ทรัพย์สิงห์, สรรพล คุ่มทรัพย์, และเวคิน ปิยรัตน์ “สเปซเวกเตอร์พัลส์วิทมอดดูเลชั่น สำหรับการควบคุมอินเวอร์เตอร์แบบทันเวลา” การประชุมวิชาการทางวิศวกรรมไฟฟ้า ครั้งที่ 31, ณ รอยัลฮิลล์ กอล์ฟ รีสอร์ท แอนด์ สปา จังหวัดนครนายก, ตุลาคม 2551
	สรรพล คุ่มทรัพย์, วันชัย ทรัพย์สิงห์ “บุตตีซึทึซึคอนเวอร์เตอร์แบบสามระดับสำหรับกังหัน ลม” การประชุมเครือข่ายวิชาการวิศวกรรมไฟฟ้ามหาวิทยาลัยเทคโนโลยีราชมงคล ครั้งที่ 3, ณ มหาวิทยาลัยเทคโนโลยีราชมงคลสุวรรณภูมิจังหวัดกรุงเทพ, มีนาคม 2554